



**HAL**  
open science

## Schémas boîte : étude théorique et numérique

Isabelle Greff

► **To cite this version:**

Isabelle Greff. Schémas boîte : étude théorique et numérique. Mathématiques générales [math.GM].  
Université Paul Verlaine - Metz, 2003. Français. NNT : 2003METZ025S . tel-01749815

**HAL Id: tel-01749815**

**<https://hal.univ-lorraine.fr/tel-01749815>**

Submitted on 29 Mar 2018

**HAL** is a multi-disciplinary open access archive for the deposit and dissemination of scientific research documents, whether they are published or not. The documents may come from teaching and research institutions in France or abroad, or from public or private research centers.

L'archive ouverte pluridisciplinaire **HAL**, est destinée au dépôt et à la diffusion de documents scientifiques de niveau recherche, publiés ou non, émanant des établissements d'enseignement et de recherche français ou étrangers, des laboratoires publics ou privés.



## AVERTISSEMENT

Ce document est le fruit d'un long travail approuvé par le jury de soutenance et mis à disposition de l'ensemble de la communauté universitaire élargie.

Il est soumis à la propriété intellectuelle de l'auteur. Ceci implique une obligation de citation et de référencement lors de l'utilisation de ce document.

D'autre part, toute contrefaçon, plagiat, reproduction illicite encourt une poursuite pénale.

Contact : [ddoc-theses-contact@univ-lorraine.fr](mailto:ddoc-theses-contact@univ-lorraine.fr)

## LIENS

Code de la Propriété Intellectuelle. articles L 122. 4

Code de la Propriété Intellectuelle. articles L 335.2- L 335.10

[http://www.cfcopies.com/V2/leg/leg\\_droi.php](http://www.cfcopies.com/V2/leg/leg_droi.php)

<http://www.culture.gouv.fr/culture/infos-pratiques/droits/protection.htm>



**Thèse**  
*Présentée à*  
**l'Université de Metz**

BIBLIOTHEQUE UNIVERSITAIRE - METZ	
N° inv.	20030735
Date	S/M <sub>3</sub> 03/25
Loc	

**Pour obtenir le grade de Docteur de l'Université de Metz**  
**Spécialité : Mathématiques appliquées**

*par*  
**Isabelle GREFF**

**Schémas boîte :**  
**Etude théorique et numérique**

**Soutenue le 15 décembre 2003 devant le Jury composé de :**

Monsieur Roland BECKER, Professeur à l'Université de Pau et des pays de l'Adour  
Rapporteur, Excusé  
Madame Vivette GIRAULT, Maître de Conférences à l'Université de Paris VI  
Rapporteur

Monsieur Jean-Pierre CROISILLE, Professeur à l'Université de Metz, Directeur de thèse  
Monsieur François DUBOIS, Professeur au CNAM, Président du jury  
Monsieur Alexandre ERN, Professeur à l'ENPC, Invité  
Monsieur Jean-Luc GUERMOND, Directeur de Recherches CNRS au LIMSI  
Monsieur Eric SONNENDRUCKER, Professeur à l'Université Louis Pasteur de Strasbourg

*Laboratoire de Mathématiques et Applications de Metz*  
**UFR MIM - CNRS UMR 7122, Ile du Saulcy, 57045 METZ Cedex 1**

BIBLIOTHEQUE UNIVERSITAIRE DE METZ



031 520621 6



005 081 994 699

# Thèse

Présentée à  
l'Université de Metz

Pour obtenir le grade de Docteur de l'Université de Metz  
Spécialité : Mathématiques appliquées

par

Isabelle GREFF

## Schémas boîte : Etude théorique et numérique

Soutenue le 15 décembre 2003 devant le Jury composé de :

Monsieur Roland BECKER, Professeur à l'Université de Pau et des pays de l'Adour  
Rapporteur, Excusé

Madame Vivette GIRAULT, Maître de Conférences à l'Université de Paris VI  
Rapporteur

Monsieur Jean-Pierre CROISILLE, Professeur à l'Université de Metz, Directeur de thèse

Monsieur François DUBOIS, Professeur au CNAM, Président du jury

Monsieur Alexandre ERN, Professeur à l'ENPC, Invité

Monsieur Jean-Luc GUERMOND, Directeur de Recherches CNRS au LIMSI

Monsieur Eric SONNENDRUCKER, Professeur à l'Université Louis Pasteur de Strasbourg

Laboratoire de Mathématiques et Applications de Metz  
UFR MIM - CNRS UMR 7122, Ile du Saulcy, 57045 METZ Cedex 1

## REMERCIEMENTS

*Je tiens à remercier plus particulièrement Monsieur Jean-Pierre Croisille d'avoir accepté de diriger cette thèse, de m'avoir encadrée et initiée au travail de la recherche. J'ai apprécié sa disponibilité et les discussions intéressantes que nous avons menées.*

*Toute ma considération va à Monsieur Roland Becker pour avoir accepté la lourde tâche de rapporteur. Ses questions intéressantes et ses encouragements m'ont aidée.*

*Un grand merci à Madame Vivette Girault qui m'a fait l'honneur d'apporter ses remarques et ses commentaires sur ce travail. Ils m'ont été fort utiles pour affiner la rédaction de ce mémoire.*

*J'adresse tous mes remerciements à Messieurs François Dubois, Jean-Luc Guermond et Eric Sonnendruker pour avoir participé au jury de cette thèse.*

*Je remercie Monsieur Alexandre Ern d'avoir été présent lors de la soutenance de cette thèse et surtout de nous avoir encouragées Linda El Alaoui et moi pour notre travail de réflexion sur les schémas boîte pour l'équation de convection-diffusion.*

*Je remercie le Laboratoire de Mathématiques et Applications de Metz pour m'avoir accueillie et soutenue pendant ces années et m'avoir permis de finaliser ma thèse.*

*Je remercie également l'Institut Max-Planck pour les Mathématiques appliquées aux sciences de Leipzig et plus particulièrement Monsieur Wolfgang Hackbusch et son équipe pour leur accueil chaleureux depuis septembre 2003.*

# Sommaire

<b>1</b>	<b>Le schéma de Keller pour l'équation de la chaleur</b>	<b>11</b>
1.1	Introduction . . . . .	11
1.2	Le schéma de Keller pour l'équation de la chaleur . . . . .	11
1.2.1	Principe du schéma . . . . .	11
1.2.2	Estimations d'erreur . . . . .	14
1.3	Comportement numérique du schéma boîte pour une condition initiale de type créneau . . . . .	16
1.4	Une première généralisation du schéma de Keller . . . . .	19
1.4.1	La construction du schéma boîte décentré en temps . . . . .	19
1.4.2	Etude du schéma boîte décentré en temps . . . . .	24
1.4.3	Etude numérique . . . . .	26
1.4.4	Interprétation des oscillations lorsque $\vartheta = \frac{1}{2}$ . . . . .	27
1.5	Interprétation du schéma à l'aide des éléments finis . . . . .	28
1.6	Une deuxième généralisation du schéma de Keller . . . . .	30
1.6.1	Design du $\beta$ -schéma . . . . .	30
1.6.2	Etude du facteur d'amplification du $\beta$ -schéma . . . . .	33
1.6.3	Résultats numériques . . . . .	34
<b>2</b>	<b>Quelques schémas boîte sur maillages en triangles</b>	<b>39</b>
2.1	Introduction . . . . .	39
2.2	Rappels sur les méthodes mixtes . . . . .	39
2.2.1	Formes mixtes du problème de Poisson . . . . .	39
2.2.2	Le théorème de Babuška-Brezzi . . . . .	40
2.2.3	Notations géométriques . . . . .	43
2.2.4	Quelques Lemmes et Définitions . . . . .	44
2.3	Principe des schémas boîte . . . . .	47
2.3.1	Introduction . . . . .	47
2.3.2	L'espace $P_1$ non-conforme de Crouzeix-Raviart . . . . .	47
2.3.3	L'espace $RT^0$ de Raviart-Thomas . . . . .	49
2.3.4	Le schéma boîte de Courbet et Croisille . . . . .	50
2.3.5	Principe général des schémas boîte . . . . .	58
2.4	Schémas boîte quadratiques . . . . .	59
2.4.1	L'espace d'éléments finis $P_{c,0}^2$ . . . . .	59

2.4.2	L'espace d'éléments finis $P_{nc}^2$ . . . . .	60
2.4.3	Les espaces pour le flux $\nabla u$ . . . . .	66
2.5	Schéma $(u_h, p_h) \in P_{nc,0}^2 \times (BDM_1 + \Phi)$ . . . . .	69
2.5.1	Présentation du schéma . . . . .	69
2.5.2	Comparaison avec la méthode mixte de Farhloul et Fortin . . . . .	79
2.6	Schéma $(u_h, p_h) \in P_{nc,0}^2 \times (RT^1 + \Phi)$ . . . . .	81
2.7	Quelques applications numériques . . . . .	88
2.7.1	Introduction . . . . .	88
2.7.2	Test 1 . . . . .	89
2.7.3	Test 2 . . . . .	91
2.7.4	Test 3 . . . . .	93
2.7.5	Test 4 . . . . .	96
<b>3</b>	<b>Quelques schémas boîte sur maillages en rectangles</b> . . . . .	<b>99</b>
3.1	Introduction . . . . .	99
3.2	Notations . . . . .	100
3.2.1	Le changement de base . . . . .	100
3.2.2	Notations géométriques . . . . .	101
3.2.3	Quelques lemmes . . . . .	104
3.3	Espaces fonctionnels discrets . . . . .	104
3.3.1	L'espace scalaire $Q^1$ conforme . . . . .	104
3.3.2	L'espace scalaire $Q^1$ non-conforme . . . . .	105
3.3.3	Espaces vectoriels pour $\nabla u$ . . . . .	110
3.4	Le schéma boîte 1 : $(u_h, p_h) \in Q_{nc,0}^1 \times (RT^0 + \Phi)$ . . . . .	112
3.4.1	Introduction . . . . .	112
3.4.2	Définition du schéma 1 . . . . .	113
3.4.3	Analyse numérique du schéma . . . . .	117
3.5	Schéma boîte de B. Courbet : Schéma boîte 2 . . . . .	124
3.5.1	Principe du schéma boîte . . . . .	124
3.5.2	Le schéma boîte $(u_h, p_h) \in Q_{c,0}^1 \times RT^0$ . . . . .	129
3.6	Schéma boîte 3 : $(u_h, p_h) \in Q_{rot}^1 \times RT^0$ . . . . .	141
3.6.1	L'espace $Q_{rot}^1$ . . . . .	141
3.6.2	Schéma boîte 3 . . . . .	143
3.6.3	Etude de la stabilité du schéma boîte 3 . . . . .	147
3.6.4	Lien avec le schéma mixte de Raviart-Thomas . . . . .	149
<b>4</b>	<b>Equation de convection-diffusion en une et deux dimensions d'espace</b> . . . . .	<b>151</b>
4.1	Introduction . . . . .	151
4.2	L'équation de convection-diffusion stationnaire . . . . .	152
4.2.1	Principe du schéma boîte pour l'équation de convection-diffusion stationnaire 1d . . . . .	152
4.3	L'équation de convection-diffusion 1d instationnaire . . . . .	154

4.3.1	Introduction . . . . .	154
4.3.2	Le schéma boîte semi-discret . . . . .	154
4.3.3	Intégration en temps par un $\vartheta$ -schéma . . . . .	158
4.3.4	Schéma tridiagonal . . . . .	162
4.4	Interprétation éléments finis du schéma boîte . . . . .	163
4.5	Equation équivalente . . . . .	165
4.6	Analyse numérique de type différences finies . . . . .	167
4.6.1	Stabilité . . . . .	167
4.6.2	Consistance du schéma boîte . . . . .	168
4.7	Comportement numérique du schéma sur le créneau . . . . .	174
4.7.1	Introduction . . . . .	174
4.7.2	Tests numériques . . . . .	174
4.7.3	Interprétation . . . . .	183
4.7.4	Un cas test pour une équation de convection-diffusion à fort contraste de coefficient de diffusion . . . . .	184
4.8	Convection diffusion 2d . . . . .	185
4.8.1	Introduction . . . . .	185
4.8.2	La méthode ADI pour l'équation de la chaleur . . . . .	187
4.8.3	La méthode ADI pour le problème de convection-diffusion . . . . .	188
4.8.4	Etude de la stabilité du schéma ADI . . . . .	193
4.8.5	Consistance du schéma ADI . . . . .	194
4.9	Applications numériques . . . . .	196
4.9.1	Introduction . . . . .	196
4.9.2	Le cas test de Noye et Tan . . . . .	198
4.9.3	Second cas test . . . . .	199
4.9.4	Troisième cas test . . . . .	205
4.10	Conclusion . . . . .	208

# Introduction générale

## Présentation des schémas boîte

### Schémas boîte en dimension 1

La notion de schémas boîte est introduite par Keller dans [31]. Il s'agit à l'origine d'une méthode numérique pour l'approximation de l'équation de convection-diffusion 1d. Cette méthode est à l'interface des méthodes de différences finies et des méthodes de volumes finis. Elle s'apparente à la méthode de différences finies au sens où les inconnues discrètes sont situées au niveau des nœuds du maillage. Elle s'apparente aussi à la méthode de volumes finis au sens où la discrétisation s'opère en moyennant les équations sur les cellules du maillage. Dans le cas des schémas boîte, le maillage est utilisé à la fois pour localiser les inconnues au niveau des nœuds du maillage et pour localiser les volumes de contrôles, sur lesquels on moyenne les équations. L'inconvénient majeur est que le nombre de nœuds est différent du nombre de volumes en général : *a priori*, on n'a pas le bon décompte, entre nombre d'inconnues et nombre d'équations. Ceci n'est le cas ni pour la méthode de différences finies, où la discrétisation se fait au niveau des nœuds, ni pour la méthode de volumes finis, où les inconnues sont situées au niveau des volumes de contrôle. Cependant pour des opérateurs elliptiques, H.B. Keller a remarqué qu'en ajoutant au système d'équations une variable auxiliaire  $p$  égale au flux, ainsi que les conditions limites de Dirichlet pour l'inconnue primale, on obtient le bon décompte :

$$\text{nombre d'équations} = \text{nombre d'inconnues.}$$

C'est-à-dire  $2 \times (N-1)$  boîtes + 2 C.L. =  $2N$  inconnues. A la suite de Keller, l'effort principal a porté sur les lois de conservation hyperboliques (convection pure, équations d'Euler...), Courbet [12, 13], Chattot [8, 9], Wornom, Hafez [46, 47]. Cependant ces travaux sont restés peu diffusés et peu étudiés en raison du succès de la méthode des volumes finis classique (MUSCL), qui utilise des flux numériques d'interface.

### Schémas boîte en dimension 2

En dimension 2 et 3, la difficulté principale des schémas boîte réside dans l'adéquation entre nombre d'équations et nombre d'inconnues. Une étude préliminaire menée par B. Courbet dans [14] a cependant proposé une idée originale pour un problème elliptique sur

maillages triangulaires. Si on localise  $u$  et  $p \cdot \nu = \frac{\partial u}{\partial \nu}$  au milieu des arêtes du maillage, alors, on obtient un bon décompte. L'interprétation de cette observation en terme d'espaces d'éléments finis mixtes a été effectuée ensuite par B. Courbet et J-P. Croisille dans [15]. La méthode boîte peut donc se voir comme une méthode de type Petrov-Galerkin, où les espaces d'approximation sont des espaces d'éléments finis et les espaces de test sont de type Galerkin discontinus.

## Principes généraux des schémas boîte

### Schémas boîte elliptiques et éléments finis mixtes

Peut-on dégager un cadre général pour le design de tels schémas pour les problèmes elliptiques? C'est-à-dire existe-t-il d'une part des espaces d'éléments finis  $M_{1,h}$  et  $X_{1,h}$  et d'autre part des espaces de type Galerkin discontinus  $M_{2,h}$  et  $X_{2,h}$  tels que le problème discret : chercher  $(u_h, p_h) \in M_{1,h} \times X_{1,h}$  solution de

$$\begin{cases} \sum_K \int_K (\operatorname{div} p_h + f) v_h dx = 0, & \forall v_h \in M_{2,h} \\ \sum_K \int_K (p_h - \nabla u_h) \cdot q_h dx = 0, & \forall q_h \in X_{2,h} \end{cases} \quad (0.1)$$

admette une unique solution qui converge vers la solution exacte du problème mixte de Poisson? Le problème discret (0.1) est alors appelé **Schéma boîte**. Le choix des espaces  $M_{1,h}$ ,  $X_{1,h}$ ,  $M_{2,h}$  et  $X_{2,h}$  n'est pas simple et doit satisfaire la condition nécessaire mais non suffisante

$$\dim M_{1,h} + \dim X_{1,h} = \dim M_{2,h} + \dim X_{2,h}. \quad (0.2)$$

On s'est attaché au cas particulier des maillages en triangles et en rectangles. On mêle de façon harmonieuse des espaces d'éléments finis pour les espaces d'approximation à des espaces de type Galerkin discontinus pour les fonctions tests. Les schémas boîte ainsi construits sont équivalents à des méthodes d'éléments finis mixtes usuelles. La solution  $(u_h, p_h) \in M_{1,h} \times X_{1,h}$  du schéma boîte (0.1) est en fait, la solution d'une formulation variationnelle pour l'inconnue scalaire  $u_h$  et une réécriture locale du gradient  $p_h$ , en fonction de  $u_h$ . D'autre part, dans certains cas, on peut reconstruire la solution de problèmes mixtes classiques (Raviart-Thomas) à partir de la solution  $(u_h, p_h) \in M_{1,h} \times X_{1,h}$  du schéma boîte (0.1).

### Extension des schémas boîte à des équations de convection-diffusion

Le point de départ est l'article de B. Courbet [12], où un design de schémas boîte en 1d pour l'équation de convection  $u_t + c u_x = 0$  est proposé. Le principe consiste à prendre la

moyenne de l'équation de convection sur les mailles 1d :

$$\frac{d}{dt} \bar{u}_{j-1/2}(t) + c \frac{u_j(t) - u_{j-1}(t)}{h_{j-1/2}} = 0$$

et de choisir ensuite une formule de quadrature pour approcher la moyenne  $\bar{u}_{j-1/2}(t)$  de la boîte  $j - 1/2$  en fonction des inconnues nodales  $u_j(t)$  et  $u_{j-1}(t)$ . Il s'agit donc d'un problème de quadrature numérique et non pas de flux numérique. Quelle est la nature de cette moyenne numérique? Afin de refléter une approximation locale dans la boîte  $K_{j-1/2}$ , on choisit une formule du type

$$\bar{u}_{j-1/2}(t) = \frac{u_j(t) + u_{j-1}(t)}{2} + D_u(t) (u_j(t) - u_{j-1}(t))$$

où  $D_u(t)$  est un coefficient de décentrement par boîte à préciser. Pour l'équation de convection-diffusion 1d,  $u_t + c u_x - \varepsilon u_{xx} = 0$ , on suit le même principe en étudiant la forme mixte de l'équation de convection-diffusion. C'est-à-dire l'équation de convection-diffusion dans laquelle on introduit le flux de diffusion  $p = -\varepsilon u_x$ . On obtient alors deux moyennes de mailles,  $\bar{u}_{j-1/2}(t)$  une moyenne sur  $u$  et  $\bar{p}_{j-1/2}(t)$  une moyenne sur le flux  $p$ , pour lesquelles on introduit deux décentrement de maille  $D_u$  et  $D_p$ .

Les questions qui se posent sont naturellement de savoir si on définit effectivement un schéma de la sorte, si le schéma converge et comment choisir les paramètres de décentrement  $D_u$  et  $D_p$ .

En vue des applications pratiques, nous nous limitons à une généralisation en deux dimensions du schéma boîte 1d proposé pour l'équation de convection-diffusion 1d par une méthode de type ADI. Ce choix d'une méthode de splitting, au détriment d'une généralisation sur maillage triangulaire ou quadrangulaire du schéma boîte, a été motivé par une mise en œuvre rapide. Néanmoins, l'objectif à plus long terme est la construction d'un schéma boîte pour l'équation de convection-diffusion 2d. Les domaines d'applications possibles sont les problèmes d'écoulement en milieux poreux, en particulier le cas test Couplex proposé par l'ANDRA.

## Plan, Présentation des résultats obtenus

**Chapitre 1 : Le schéma de Keller pour l'équation de la chaleur** Dans ce chapitre, nous rappelons le schéma de Keller pour l'équation de la chaleur en dimension 1. On s'intéresse au problème des oscillations mentionné par Keller. On propose alors une formulation différente du schéma avec l'introduction d'un paramètre  $\vartheta$  de discrétisation temporelle. Ce paramètre est en fait le coefficient du  $\vartheta$ -schéma qui corrige dans certains cas les oscillations temporelles. Dans le cas particulier  $\vartheta = 1/2$ , pour une condition initiale de type front, apparaît un mode oscillant au niveau du front. Dans ce cas, on introduit un second paramètre, qui supprime sous certaines conditions les oscillations. Quelques exemples numériques illustrent les différents cas présentés.

**Chapitre 2 : Quelques schémas boîte sur maillages en triangles** Le second chapitre présente une généralisation en 2d de la construction du schéma boîte 1d pour le problème de Poisson sur maillages triangulaires.

On commence par rappeler le schéma boîte de plus bas degré, introduit par B. Courbet et J.-P. Croisille [15]. On propose ensuite sur le même principe deux schémas boîte d'ordre plus élevé qui utilisent l'espace quadratique,  $P^2$  non-conforme décrit par M. Fortin et M. Soulie [28]. Le premier schéma boîte est inspiré des résultats obtenus par M. Fortin et M. Fahloul, [29]. L'espace d'approximation de  $u$  est donc l'espace  $P^2$  non-conforme et l'espace d'approximation du flux est l'espace de Brezzi-Douglas-Marini de degré 1, [5], enrichi par le rotationnel de la bulle quadratique non-conforme. Le second schéma boîte est une généralisation à l'ordre 2 du schéma boîte de B. Courbet et J.-P. Croisille. L'espace d'approximation du flux est l'espace de Raviart-Thomas d'ordre 1, enrichi par la bulle quadratique. Les deux schémas boîte admettent une unique solution stable. De plus les estimations d'erreur *a priori* sont comparables à celles obtenues par la méthode des éléments finis. Finalement, quelques résultats numériques pour chacun des schémas boîte proposés concluent ce chapitre.

**Chapitre 3 : Quelques schémas boîte sur maillages en rectangles** On introduit 3 nouveaux schémas boîte sur le modèle précédent en dimension 2 sur des maillages en rectangles :

- Le schéma 1 utilise comme espace d'approximation les espaces  $Q^1$  non-conforme et l'espace de Raviart-Thomas sur rectangles, enrichi par une bulle. Les espaces test sont des espaces de type Galerkin discontinus constants par maille, également enrichis.
- Le schéma 2 est inspiré du schéma algébrique proposé par B. Courbet [12] pour les équations de Navier-Stokes. De plus, on prouve que la solution du schéma 2 s'écrit en fonction de la solution du schéma 1.
- Le schéma 3 utilise comme espace d'approximation les espaces  $Q^1_{rot}$  de R. Rannacher et S. Turek et l'espace de Raviart-Thomas sur rectangles. Les espaces de test sont des espaces de type Galerkin discontinus constants par maille, enrichis. Ce schéma boîte peut être considéré comme une généralisation naturelle du schéma boîte de B. Courbet et J.-P. Croisille [15], dans le cas de maillages en rectangles. En effet, ses inconnues sont situées au niveau des arêtes et proviennent directement de la moyenne des équations du problème elliptique. Noter que d'autres auteurs ont également étudié le schéma 3, [11].

Pour ces trois schémas boîte, nous prouvons l'existence et l'unicité de la solution ainsi que quelques estimations d'erreur *a priori*.

**Chapitre 4 : Equation de convection-diffusion en une et deux dimensions d'espace** Afin de mettre en œuvre rapidement une version de schémas boîte en dimension 2 on s'est intéressé dans le Chapitre 4 au problème de convection-diffusion instationnaire. Ce problème nécessite l'introduction de paramètres de décentrement pour stabiliser le problème. On explicite le schéma boîte et le choix des coefficients de décentrement sous des contraintes

d'existence, d'unicité, de stabilité... en dimension 1. Comme au Chapitre 1, on étudie les modes oscillants liés au schéma (indépendants de la stabilité du schéma), qui apparaissent pour des conditions initiales de type front. On utilise ensuite une méthode de splitting (en fait ADI), pour généraliser rapidement ce schéma boîte 1d en dimension 2.

### Notations générales

Nous définissons ici les notations principales utilisées dans la suite. Soit  $\Omega \subseteq \mathbb{R}^2$  un ouvert borné, de frontière  $\Gamma = \partial\Omega$ . Nous notons  $(\cdot, \cdot)$  le produit scalaire  $L^2(\Omega)$

$$(u, v)_{0,\Omega} = \int_{\Omega} u(x) v(x) dx \quad (0.3)$$

et la norme associée

$$\|v\|_{0,\Omega} = (v, v)_{0,\Omega}^{1/2}. \quad (0.4)$$

Pour tout entier  $m \geq 0$ , l'espace de Sobolev d'ordre  $m$  est défini par :

$$H^m(\Omega) = \{v, |v \in L^2(\Omega), \partial^\alpha v \in L^2(\Omega), |\alpha| \leq m\} \quad (0.5)$$

Il est muni de la norme

$$\|v\|_{m,\Omega} = \left( \sum_{|\alpha| \leq m} \|\partial^\alpha v\|_{0,\Omega}^2 \right)^{1/2}. \quad (0.6)$$

Nous utiliserons la semi-norme associée

$$|v|_{m,\Omega} = \left( \sum_{|\alpha|=m} \|\partial^\alpha v\|_{0,\Omega}^2 \right)^{1/2} \quad (0.7)$$

où  $\alpha$  désigne le multi-indice :  $\alpha = (\alpha_1, \alpha_2)$ ,  $\alpha_i \geq 0$ .  $|\alpha|$  est le module de  $\alpha$  égal à  $|\alpha| = \alpha_1 + \alpha_2$ .  $\partial^\alpha = \frac{\partial}{\partial x_1} \frac{\partial}{\partial x_2}$  représente la dérivée partielle de  $u$  d'ordre  $\alpha$  par rapport à  $x_1$  et  $x_2$ .

Nous utilisons les espaces de Hilbert  $(H_0^1(\Omega), |\cdot|_{1,\Omega})$  et  $(H_{\text{div}}(\Omega), \|\cdot\|_{\text{div},\Omega})$ , définis par :

$$H_0^1(\Omega) = \{v \in H^1(\Omega), v|_{\Gamma} = 0\} \quad \text{et} \quad H_{\text{div}}(\Omega) = \{v \in (L^2(\Omega))^2, \text{div } v \in L^2(\Omega)\}, \quad (0.8)$$

muni de la norme

$$\|v\|_{\text{div},\Omega} = \left( |v|_{0,\Omega}^2 + |\text{div } v|_{0,\Omega}^2 \right)^{1/2}. \quad (0.9)$$

Soit  $K$  une partie du domaine  $\Omega$ . On note  $P^k(K)$  les polynômes de degré total  $k$  sur  $K$  et  $Q^k(K)$  les polynômes de degré  $k$  en chaque variable d'espace de l'élément  $K$ .

Dans la suite,  $C$  désigne une constante générique, positive, ne dépendant que du domaine  $\Omega$ , indépendante de  $h$ . Elle peut prendre différentes valeurs dans chaque inéquation.

# CHAPITRE 1

## Le schéma de Keller pour l'équation de la chaleur

### 1.1 Introduction

Ce chapitre est consacré d'une part à un rappel sur le schéma boîte de Keller, introduit dans l'article [31], d'autre part à quelques expériences numériques réalisées avec ce schéma. Nous proposons ensuite, dans les Paragraphes 1.4 et 1.6 une amélioration du schéma de Keller : d'une part un schéma boîte avec un décentrement temporel  $\vartheta$ , (Section 1.4), d'autre part un schéma boîte avec une meilleure approximation pour l'inconnue  $u$  appelé  $\beta$ -schéma (Section 1.6). Nous faisons également le lien avec la méthode des éléments finis à la Section 1.5.

### 1.2 Le schéma de Keller pour l'équation de la chaleur

#### 1.2.1 Principe du schéma

Dans cette section, nous rappelons le schéma de Keller introduit dans [31], dans le cas particulier de l'équation de la chaleur.

Soit le domaine espace-temps  $R(T) = [0, 1] \times [0, T]$ ,  $T > 0$ . On considère la forme mixte de l'équation de la chaleur dans  $R(T)$ . Soit  $p$  la variable auxiliaire de flux  $p(x, t) = \varepsilon u_x(x, t)$ , donnée à tout instant  $t$ , où  $\varepsilon > 0$  est le coefficient de diffusion. En particulier, on a à l'instant initial  $p(x, 0) = \varepsilon \frac{d}{dx} u^0(x)$ . L'équation de la chaleur s'écrit alors,

$$\begin{cases} u_t - p_x = f, & (x, t) \in R(T) \\ p = \varepsilon u_x, & (x, t) \in R(T) \\ u(x, 0) = u^0(x), & x \in [0, 1] \\ p(x, 0) = p^0(x) = \varepsilon \frac{d}{dx} u^0(x), & x \in [0, 1] \\ u(0, t) = g_0(t), u(1, t) = g_1(t), & t \in ]0, T] \end{cases} \quad (1.1)$$

où les fonctions  $f, u^0, g_1, g_2$  sont données. Pour  $u^0 \in C^2([0, 1])$ ,  $f \in C^1(R(T))$ ,  $g_0, g_1 \in C^1([0, T])$ , le problème possède une unique solution dans  $C^1([0, T]; C^2([0, 1]))$ . Soit  $\mathcal{R}_h(T)$  un maillage espace-temps du domaine  $R(T)$  de nœuds  $(x_j, t^n)$ , où

$x_0 = 0 < \dots < x_j < \dots < x_J = 1$  et  $t^0 = 0 < \dots < t^n < \dots < t^N = T$ .

Soit  $K_{j-1/2}^{n-1/2} = [x_{j-1}, x_j] \times [t^{n-1}, t^n]$  une cellule du maillage  $\mathcal{R}_h(T)$ , encore appelée "boîte" (Figure 1.1). Dans une boîte  $K_{j-1/2}^{n-1/2}$  du maillage, le pas d'espace est  $h_{j-1/2} = x_j - x_{j-1}$ , pour tout  $1 \leq j \leq J$  et le pas de temps est  $k^{n-1/2} = t^n - t^{n-1}$ , pour tout  $1 \leq n \leq N$ . Les indices  $j, j + 1/2$  indexeront les boîtes spatiales, tandis que les exposants  $n, n + 1/2$  indexeront le temps.

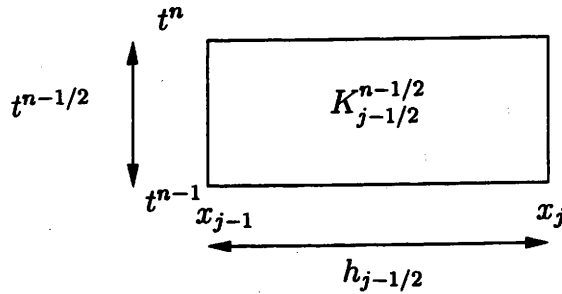


FIG. 1.1 - Cellule  $K_{j-1/2}^{n-1/2}$  du maillage

On reprend les notations de Keller : on définit les points milieux  $x_{j+1/2}$  et  $t^{n+1/2}$  et les moyennes  $\phi_{j+1/2}^n$  et  $\phi_j^{n+1/2}$  des fonctions définies aux nœuds

$$\begin{aligned} x_{j+1/2} &= \frac{1}{2}(x_j + x_{j+1}) & ; & & t^{n+1/2} &= \frac{1}{2}(t^n + t^{n+1}) \\ \phi_{j+1/2}^n &= \frac{1}{2}(\phi_j^n + \phi_{j+1}^n) & ; & & \phi_j^{n+1/2} &= \frac{1}{2}(\phi_j^n + \phi_j^{n+1}) \end{aligned} \quad (1.2)$$

Les fonctions de mailles  $\bar{D}_x \phi_{j-1/2}^n$  et  $\bar{D}_t \phi_j^{n-1/2}$  sont définies par

$$\bar{D}_x \phi_{j-1/2}^n = \frac{1}{h_{j-1/2}}(\phi_j^n - \phi_{j-1}^n) \quad ; \quad \bar{D}_t \phi_j^{n-1/2} = \frac{1}{k^{n-1/2}}(\phi_j^n - \phi_j^{n-1}). \quad (1.3)$$

Pour  $\psi(x, t)$  définie sur  $R(T)$ , on définit  $\psi_j^n, \psi_{j+1/2}^n$ , respectivement  $\psi_j^{n+1/2}$ , comme les valeurs de la fonction  $\psi$  au point  $x_j$  à l'instant  $t^n$ , au point milieu  $x_{j+1/2}$  du segment  $[x_j, x_{j+1}]$  à l'instant  $t^n$ , respectivement au point  $x_j$  à l'instant intermédiaire  $t^{n+1/2}$  :

$$\psi_j^n = \psi(x_j, t^n), \quad \psi_{j+1/2}^n = \psi(x_{j+1/2}, t^n), \quad \psi_j^{n+1/2} = \psi(x_j, t^{n+1/2}) \quad (1.4)$$

En utilisant une approximation de type différences finies centrées du problème (1.1), on obtient le schéma donné en fonction de  $u_j^n$  et  $p_j^n$  pour tout  $1 \leq j \leq J$  :

$$\begin{cases} \bar{D}_t u_{j-1/2}^{n-1/2} - \bar{D}_x p_{j-1/2}^{n-1/2} = f_{j-1/2}^{n-1/2}, & n \geq 1 \\ p_{j-1/2}^n = \varepsilon_{j-1/2} \bar{D}_x u_{j-1/2}^n, & n \geq 0. \end{cases} \quad (1.5)$$

Les données initiales sont discrétisées par :

$$\begin{aligned} u_j^0 &= u^0(x_j), & 0 \leq j \leq J \\ p_j^0 &= p^0(x_j), & 0 \leq j \leq J \end{aligned} \quad (1.6)$$

Les conditions aux limites sont discrétisées par :

$$u_0^n = g_0^n, \quad u_J^n = g_1^n, \quad n \geq 1 \quad (1.7)$$

On considère le produit scalaire (sous la condition que l'une des conditions limite soit nulle) introduit par Keller :

$$(\phi^n, \psi^n)_h = \sum_{j=1}^J \phi_{j-1/2}^n \psi_{j-1/2}^n h_{j-1/2} \quad \text{et} \quad \|\phi^n\|_h^2 = (\phi^n, \phi^n)_h. \quad (1.8)$$

La définition du produit scalaire  $(\cdot, \cdot)_h$  donne les identités suivantes :

$$(\bar{D}_x \phi, \psi)_h = [\phi_J \psi_J - \phi_0 \psi_0] - (\phi, \bar{D}_x \psi)_h \quad (1.9)$$

$$(\bar{D}_t \phi^{n-1/2}, \phi^{n-1/2})_h = \frac{1}{2k^{n-1/2}} (\|\phi^n\|_h^2 - \|\phi^{n-1}\|_h^2) \quad (1.10)$$

**Lemme 1.2.1** *Ce schéma admet une unique solution  $(u_j^n, p_j^n) \in \mathbb{R}^{J+1} \times \mathbb{R}^{J+1}$  à tout instant  $t^n$ ,  $0 \leq n \leq N$ .*

Prouvons l'existence et l'unicité de la solution du système ((1.5)-(1.6)-(1.7)).

**Preuve du Lemme 1.2.1 :**

Nous prouvons l'existence et l'unicité de la solution en tout instant  $n \geq 1$ . On suppose que  $n \geq 1$ . Soit  $(u_j^{n-1}, p_j^{n-1})$  l'unique solution à l'instant  $n-1$ , prouvons l'existence et l'unicité de  $(u_j^n, p_j^n)$  à l'instant  $n$ . La solution  $(u_j^n, p_j^n)$ , si elle existe est solution du système :

$$\begin{cases} \bar{D}_t u_{j-1/2}^{n-1/2} - \bar{D}_x p_{j-1/2}^{n-1/2} = f_{j-1/2}^{n-1/2}, & 1 \leq j \leq J \\ p_{j-1/2}^n = \varepsilon_{j-1/2} \bar{D}_x u_{j-1/2}^n, & 1 \leq j \leq J \\ u_0^n = g_0^n, \quad u_J^n = g_1^n \end{cases} \quad (1.11)$$

Le nombre d'inconnues et le nombre d'équations sont égaux à  $2(J+1)$ . On doit donc prouver l'existence et l'unicité d'un système linéaire avec autant d'équations que d'inconnues. Il suffit donc de prouver l'unicité de la solution, c'est-à-dire que  $f = 0$ ,  $u_0^n = u_J^n = 0$  et  $u^{n-1} = p^{n-1} = 0$  impliquent que  $u^n = p^n = 0$ .

Calculons  $(\varepsilon \bar{D}_x u^{n-1/2}, \bar{D}_x u^{n-1/2})_h$  :

$$(\varepsilon \bar{D}_x u^{n-1/2}, \bar{D}_x u^{n-1/2})_h = \sum_{j=1}^J h_{j-1/2} \varepsilon_{j-1/2} D_x u_{j-1/2}^{n-1/2} D_x u_{j-1/2}^{n-1/2} \quad (1.12)$$

D'après l'équation (1.11)<sub>2</sub>, par bilinéarité de  $(\phi^n, \phi^{n-1}) \mapsto \phi^{n-1/2}$ , on a  $\varepsilon_{j-1/2} D_x u_{j-1/2}^{n-1/2} = p_{j-1/2}^{n-1/2}$ . En remplaçant cette expression dans (1.12) et en utilisant l'identité (1.9), on obtient puisque  $u_0 = u_J = 0$

$$(\varepsilon \bar{D}_x u^{n-1/2}, \bar{D}_x u^{n-1/2})_h = (p^{n-1/2}, \bar{D}_x u^{n-1/2})_h = -(\bar{D}_x p^{n-1/2}, u^{n-1/2})_h \quad (1.13)$$

On utilise l'équation (1.11)<sub>1</sub> qui donne  $\bar{D}_x p^{n-1/2} = \bar{D}_t u^{n-1/2}$

$$(\varepsilon \bar{D}_x u^{n-1/2}, \bar{D}_x u^{n-1/2})_h = -(\bar{D}_t u^{n-1/2}, u^{n-1/2})_h \quad (1.14)$$

Grâce à l'identité (1.10) on obtient

$$2k^{n-1/2} \|\sqrt{\varepsilon} \bar{D}_x u^{n-1/2}\|_h^2 + (\|u^n\|_h^2 - \|u^{n-1}\|_h^2) = 0 \quad (1.15)$$

Par unicité de la solution à l'instant  $n-1$ ,  $u^{n-1} = 0$  et  $p^{n-1} = 0$ , donc

$$\|\sqrt{\varepsilon} \bar{D}_x u^{n-1/2}\|_h^2 + \frac{1}{2k^{n-1/2}} \|u^n\|_h^2 = 0 \quad (1.16)$$

Ce qui implique que  $u^n = 0$  et  $\bar{D}_x u^{n-1/2} = 0$ . En reportant dans les équation (1.11), on déduit que  $p^n = 0$ . Ce qui prouve l'existence et l'unicité de la solution à tout instant  $n$ . ■

## 1.2.2 Estimations d'erreur

Dans la suite on suppose que le terme source  $f$  est nul. Soit  $(U(x, t), P(x, t))$  la solution du problème continu (1.1). On suppose que  $U$  et  $P$  sont de classe  $C^\infty([0, 1] \times [0, T])$ . Soient  $e$  et  $d$  les erreurs aux noeuds du maillage spatio-temporel  $\mathcal{R}_h(T)$  définies pour tout  $0 \leq j \leq J$  et  $0 \leq n \leq N$  par :

$$e_j^n = U(x_j, t^n) - u_j^n, \quad d_j^n = P(x_j, t^n) - p_j^n. \quad (1.17)$$

Alors,  $e$  et  $d$  satisfont le système aux différences :

$$\begin{cases} \bar{D}_t e_{j-1/2}^{n-1/2} - \bar{D}_x d_{j-1/2}^{n-1/2} = \sigma_{j-1/2}^{n-1/2}, & 1 \leq j \leq J \\ d_{j-1/2}^n - \varepsilon_{j-1/2} \bar{D}_x e_{j-1/2}^n = -\rho_{j-1/2}^n, & 1 \leq j \leq J \\ e_j^0 = 0, & 0 \leq j \leq J \\ d_j^0 = 0, & 0 \leq j \leq J \\ e_0^n = 0, & e_J^n = 0 \end{cases} \quad (1.18)$$

où les termes de troncatures  $\rho_{j-1/2}^n$  et  $\sigma_{j-1/2}^{n-1/2}$  sont donnés par :

$$\begin{cases} \rho_{j-1/2}^n = \varepsilon_{j-1/2} \left( \bar{D}_x U(x_j, t^n) - \frac{\partial U(x_{j-1/2}, t^n)}{\partial x} \right) \\ \quad + \left( P(x_{j-1/2}, t^n) - \frac{1}{2} (P(x_j, t^n) + P(x_{j-1}, t^n)) \right) \\ \sigma_{j-1/2}^{n-1/2} = \left( \frac{\partial P(x_{j-1/2}, t^{n-1/2})}{\partial x} - \frac{1}{2} \bar{D}_x (P(x_j, t^n) + P(x_j, t^{n-1})) \right) \\ \quad + \left( \frac{1}{2} \bar{D}_t (U(x_j, t^n) + U(x_{j-1}, t^n)) - \frac{\partial U(x_{j-1/2}, t^{n-1/2})}{\partial t} \right) \end{cases} \quad (1.19)$$

**Lemme 1.2.2** Nous avons les estimations d'erreur pour  $u$  et  $p$  :

$$\|e^n\|_h \leq K_1 \sup_{\nu \leq n} (\|\rho^{\nu-1/2}\|_h + \|\sigma^{\nu-1/2}\|_h) \quad (1.20)$$

$$\|d^n\|_h \leq K_2 \sup_{\nu \leq n} (\|\rho^{\nu-1/2}\|_h + \|\sigma^{\nu-1/2}\|_h) \quad (1.21)$$

$K_1$  et  $K_2$  sont des constantes qui dépendent de  $\varepsilon$ .

**Preuve :**

Pour prouver ces estimations d'erreur, on calcule  $(\varepsilon \bar{D}_x e^{n-1/2}, \bar{D}_x e^{n-1/2})_h$ . Le calcul est analogue à celui de la preuve du Lemme 1.2.1.

$$\begin{aligned}
 (\varepsilon \bar{D}_x e^{n-1/2}, \bar{D}_x e^{n-1/2})_h &= (d^{n-1/2} + \rho^{n-1/2}, \bar{D}_x e^{n-1/2})_h \\
 &= -(\bar{D}_x d^{n-1/2}, e^{n-1/2})_h + (\rho^{n-1/2}, \bar{D}_x e^{n-1/2})_h \\
 &= -(\bar{D}_t e^{n-1/2} - \sigma^{n-1/2}, e^{n-1/2})_h + (\rho^{n-1/2}, \bar{D}_x e^{n-1/2})_h \\
 &= -(\bar{D}_t e^{n-1/2}, e^{n-1/2})_h + (\sigma^{n-1/2}, e^{n-1/2})_h + (\rho^{n-1/2}, \bar{D}_x e^{n-1/2})_h \\
 &= -\frac{1}{2k^{n-1/2}} (\|e^n\|_h^2 - \|e^{n-1}\|_h^2) + (\sigma^{n-1/2}, e^{n-1/2})_h \\
 &\quad + (\rho^{n-1/2}, \bar{D}_x e^{n-1/2})_h
 \end{aligned}$$

En sommant cette expression pour  $1 \leq \nu \leq n$ , on obtient

$$\begin{aligned}
 \sum_{\nu=1}^n 2k^{\nu-1/2} \|\sqrt{\varepsilon} \bar{D}_x e^{\nu-1/2}\|_h^2 &= -\sum_{\nu=1}^n (\|e^\nu\|_h^2 - \|e^{\nu-1}\|_h^2) \\
 &\quad + \sum_{\nu=1}^n 2k^{\nu-1/2} \left( (\sigma^{\nu-1/2}, e^{\nu-1/2})_h + (\rho^{\nu-1/2}, \bar{D}_x e^{\nu-1/2})_h \right) \\
 &= -(\|e^n\|_h^2 - \underbrace{\|e^0\|_h^2}_{=0}) \\
 &\quad + \sum_{\nu=1}^n 2k^{\nu-1/2} \left( (\sigma^{\nu-1/2}, e^{\nu-1/2})_h + (\rho^{\nu-1/2}, \bar{D}_x e^{\nu-1/2})_h \right)
 \end{aligned}$$

Donc en utilisant les inégalités de Cauchy-Schwarz et de Poincaré, on obtient la majoration

$$\sum_{\nu=1}^n 2k^{\nu-1/2} \|\sqrt{\varepsilon} \bar{D}_x e^{\nu-1/2}\|_h^2 + \|e^n\|_h^2 \leq C \sup_{\nu \leq n} (\|\sigma^{\nu-1/2}\|_h + \|\rho^{\nu-1/2}\|_h) \sum_{\nu=1}^n 2k^{\nu-1/2} \|\bar{D}_x e^{\nu-1/2}\|_h$$

A l'aide d'une majoration du type  $PQ \leq \frac{P^2}{4\omega} + \omega Q^2$ , on prouve qu'il existe une constante  $K_1$  dépendante de  $\varepsilon$ , telle que

$$\|e^n\|_h \leq K_1 \sup_{\nu \leq n} (\|\rho^{\nu-1/2}\|_h + \|\sigma^{\nu-1/2}\|_h)$$

On déduit l'estimation de l'erreur en  $p$  de l'équation (1.18) donnée par

$$\|d^n\|_h^2 \leq \|\varepsilon \bar{D}_x e^n\|_h^2 + \|\rho^n\|_h^2$$

et des relations précédentes. ■

Noter que  $\|\cdot\|_h$  n'est une norme uniquement que dans le cas où une des conditions limite est nulle : en effet

$$\|\phi^n\|_h = \|\psi^n\|_h \iff \text{il existe } \alpha \in \mathbb{R} \text{ tel que } \phi_j = \psi_j + \alpha(-1)^j$$

Pour que  $\|\cdot\|_h$  définisse une norme, une des deux conditions aux limites doit être nulle ; on n'a pas en général  $\|\phi^n\|_h = 0 \Rightarrow \phi = 0$ . La solution discrète  $(u_j^n, p_j^n)_j$  contient un mode

oscillant. Pour éliminer l'effet de cette oscillation, Keller propose de considérer les moyennes de mailles suivantes :

$$\bar{u}_{j-1/2}^n = \frac{1}{2}(u_j^n + u_{j-1}^n), \quad \text{ou} \quad \bar{p}_{j-1/2}^n = \frac{1}{2}(p_j^n + p_{j-1}^n), \quad \text{pour } 1 \leq j \leq J \quad (1.22)$$

Dans ce cas,  $\|\bar{u}^n\|_h = \|u^n\|_h$  et  $\|\bar{p}^n\|_h = \|p^n\|_h$  et  $\|\cdot\|_h$  est une norme pour les fonctions de grille constantes par morceau définies sur  $(K_{j-1/2})_{1 \leq j \leq J}$ .

### 1.3 Comportement numérique du schéma boîte pour une condition initiale de type créneau

Dans cette section, nous mettons en évidence numériquement deux types d'oscillations pour l'équation de la chaleur de condition initiale de type créneau. Nous présentons deux exemples de comportement transitoires sur  $u_t - u_{xx} = 0$  et sur  $u_t - \frac{1}{8}u_{xx} = 0$ , pour un même maillage et à pas de temps  $k$  fixé.

Nous étudions la solution  $u$  du schéma de Keller (1.5)-(1.6)-(1.7) associée au problème continu suivant :

$$\begin{cases} u_t - \varepsilon u_{xx} = 0, & x \in ]0, 2[, t > 0 \\ u(x, 0) = u_0(x), & x \in [0, 2] \\ u(0, t) = 1, u(2, t) = 0, & t > 0. \end{cases} \quad (1.23)$$

où  $\varepsilon = 1$  ou  $1/8$  et la condition initiale est de type créneau :

$$u_0(x) = \begin{cases} 1 & \text{si } 0 < x < 0.5 \\ 0 & \text{si } 0.5 < x < 2 \end{cases} \quad (1.24)$$

Nous considérons un maillage du segment  $[0, 2]$  en 101 points équidistants. Le pas de temps est  $k = h^2$ . Nous étudions deux cas selon la valeur du coefficient de diffusion  $\varepsilon$ , par l'intermédiaire du nombre sans dimension  $\mu = \frac{\varepsilon k}{h^2}$  :  $\mu = 1$ , puis  $\mu = 1/8$ .

Les Figures 1.2 et 1.4 représentent pour  $\mu = 1$  la solution  $u$  du schéma de Keller (1.5) en trait continu et la solution exacte du problème ((1.23)-(1.24)) en trait pointillé au bout de 5 et 50 itérations (c'est-à-dire  $T = 2 \cdot 10^{-3}$ , puis  $T = 2 \cdot 10^{-2}$ ). La solution exacte n'étant pas connue explicitement, nous la calculons numériquement à l'aide du schéma boîte.

Nous constatons l'apparition d'oscillations situées au niveau du front de la condition initiale d'abscisse  $x = 0.5$ . Les Figures 1.3 et 1.5 zooment ce mode oscillant aux instants respectifs  $T = 2 \cdot 10^{-3}$ ,  $T = 2 \cdot 10^{-2}$ .

Si  $\mu = 1/8$ , nous constatons également l'apparition d'oscillations dans la solution calculée (trait continu), situées cette fois de part et d'autre du front initial. Les Figures 1.6 et 1.7 représentent la solution exacte et la solution calculée par le schéma de Keller à l'instant  $T = 2 \cdot 10^{-3}$  et les Figures 1.8 et 1.9, les solutions exactes et calculée à l'instant  $T = 2 \cdot 10^{-2}$ .

• Evolution des oscillations pour  $\mu = 1$  :

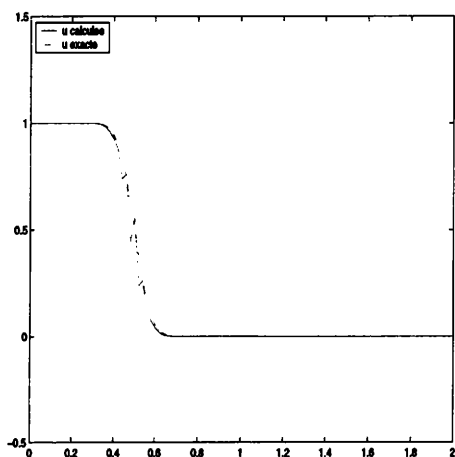


FIG. 1.2 - Schéma de Keller (1.5),  $\mu = 1$ ,  $T = 2.10^{-3}$ .

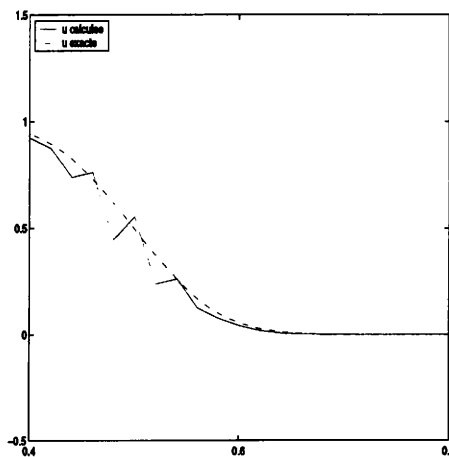


FIG. 1.3 - Schéma de Keller (1.5),  $\mu = 1$ ,  $T = 2.10^{-3}$ . Zoom sur  $[0.4, 0.8]$ .

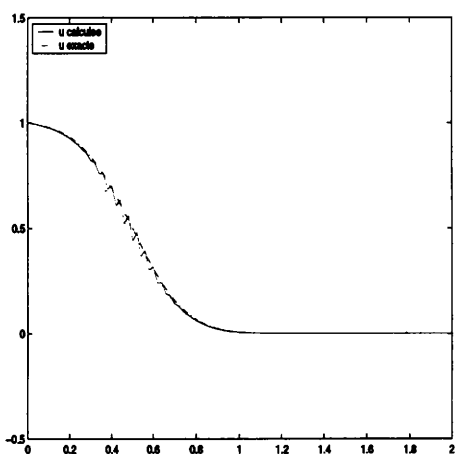


FIG. 1.4 - Schéma de Keller (1.5),  $\mu = 1$ ,  $T = 2.10^{-2}$ .

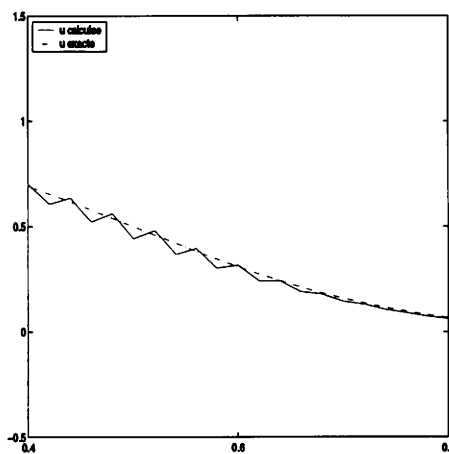


FIG. 1.5 - Schéma de Keller (1.5),  $\mu = 1$ ,  $T = 2.10^{-2}$ . Zoom sur  $[0.4, 0.8]$ .

● Evolution des oscillations pour  $\mu = 1/8$  :

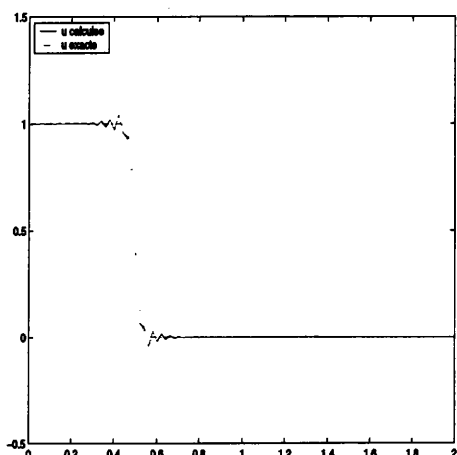


FIG. 1.6 - Schéma de Keller (1.5),  $\mu = 1/8$ ,  $T = 2.10^{-3}$ .

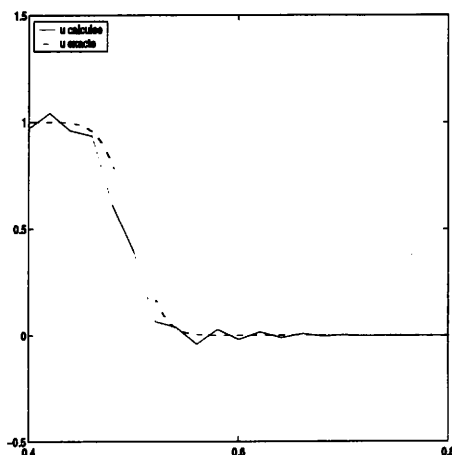


FIG. 1.7 - Schéma de Keller (1.5),  $\mu = 1/8$ ,  $T = 2.10^{-3}$ . Zoom sur  $[0.4, 0.8]$ .

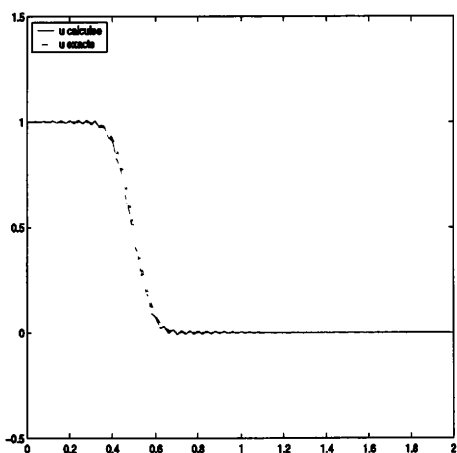


FIG. 1.8 - Schéma de Keller (1.5),  $\mu = 1/8$ ,  $T = 2.10^{-2}$ .

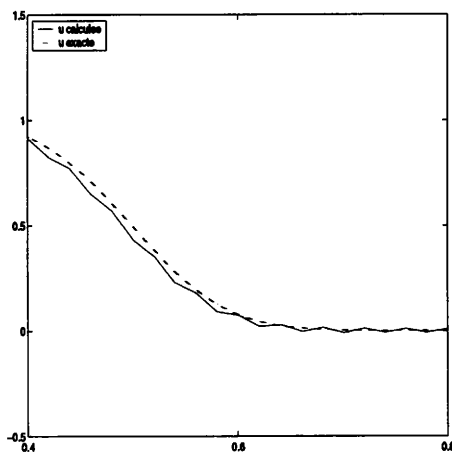


FIG. 1.9 - Schéma de Keller (1.5),  $\mu = 1/8$ ,  $T = 2.10^{-2}$ . Zoom sur  $[0.4, 0.8]$ .

A noter que ce phénomène d'oscillations n'est pas dû à un problème de stabilité du schéma et n'est pas non plus lié à de la dispersion. Nous en donnerons une interprétation au Paragraphe 1.4.4. Ce phénomène n'apparaît pas pour une condition initiale régulière de type Gaussienne. En effet : considérons la solution exacte de l'équation de la chaleur (1.23) :

$$u(x, t) = \exp(-2t) \cos\left(\frac{x}{\sqrt{5.10^{-3}}}\right) \quad (1.25)$$

de condition initiale  $u^0$ , donnée par la solution exacte à l'instant  $t = 0$ . Les conditions limites sont de type Dirichlet données par la solution exacte sur la frontière. Le coefficient de

diffusion est  $\varepsilon = 10^{-2}$ . Le segment  $[0, 2]$  est maillé par 51 points équidistants, le pas d'espace est  $h = 0.04$  et le pas de temps est  $k = h^2$ . On calcule la solution du schéma boîte de Keller en  $T = 8.10^{-3}$  (au bout de 5 itérations), puis en  $T = 8.10^{-1}$  (au bout de 500 itérations).

La solution exacte est représentée en trait continu et la solution calculée par le schéma boîte de Keller est représentée par des cercles, aux instants  $T = 8.10^{-3}$  (Figure 1.10) et  $T = 8.10^{-1}$  (Figure 1.11). Aucun mode oscillant ne vient perturber la solution, puisque la condition initiale est assez régulière.

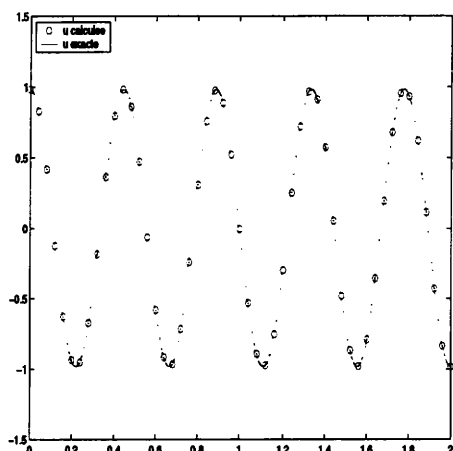


FIG. 1.10 – Solutions exacte et calculée en  $T=0.008$ .

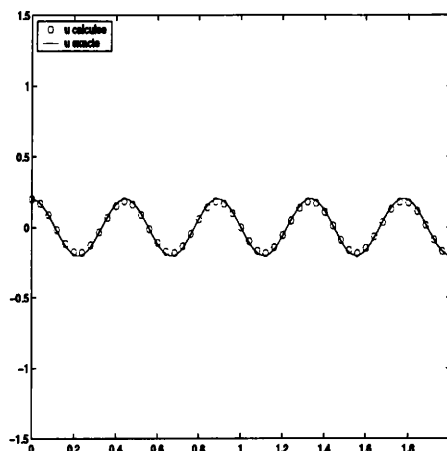


FIG. 1.11 – Solutions exacte et calculée en  $T=0.8$ .

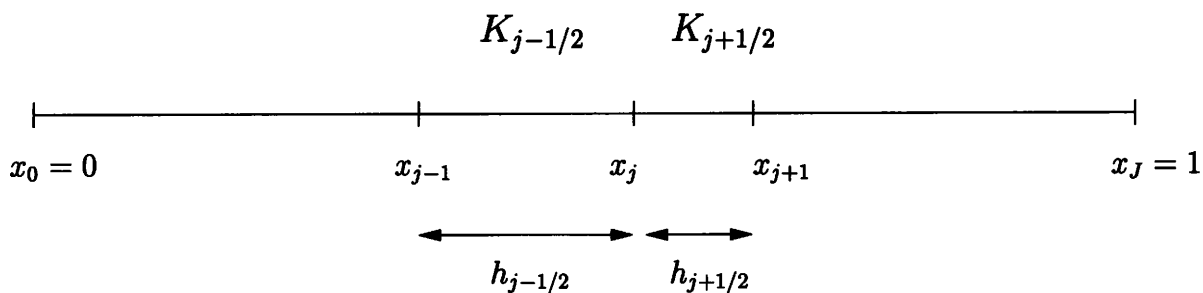
## 1.4 Une première généralisation du schéma de Keller

### 1.4.1 La construction du schéma boîte décentré en temps

Dans cette partie, nous étudions une généralisation du schéma de Keller en introduisant un décentrement temporel  $\vartheta$  lors de la discrétisation en temps de l'équation de la chaleur. On conserve le design du schéma de Keller rappelé au Paragraphe 1.2. On considère toujours la forme mixte de l'équation de la chaleur sur le segment  $[0, 1]$  :

$$\begin{cases} u_t + p_x = f, & x \in ]0, 1[, t > 0 \\ p = -\varepsilon u_x, & x \in ]0, 1[, t > 0 \\ u(x, 0) = u^0(x), & x \in [0, 1] \\ p(x, 0) = -\varepsilon \frac{d}{dx} u^0(x), & x \in [0, 1] \\ u(0, t) = u(1, t) = 0, & t > 0 \end{cases} \quad (1.26)$$

On définit un maillage non équidistant du segment  $[0, 1]$  en  $J$  intervalles (Figure 1.12). Les coordonnées des noeuds sont  $0 = x_0 < x_1 < \dots < x_j < \dots < x_J = 1$ . On note  $K_{j-1/2} = [x_{j-1}, x_j]$  la cellule spatiale du maillage encore appelée *boîte* de longueur  $h_{j-1/2}$  pour  $1 \leq j \leq J$ .

FIG. 1.12 - Maillage du segment  $[0, 1]$ .

En intégrant sur chaque boîte  $K_{j-1/2}$  ( $1 \leq j \leq J$ ) du maillage, les équations (1.26)<sub>1</sub> et (1.26)<sub>2</sub>, on obtient le système suivant, pour  $t > 0$  :

$$\begin{cases} h_{j-1/2} \frac{d}{dt} (\Pi^0 u(t))_{j-1/2} + (p(x_j, t) - p(x_{j-1}, t)) = h_{j-1/2} (\Pi^0 f(t))_{j-1/2}, & 1 \leq j \leq J \\ h_{j-1/2} (\Pi^0 p)_{j-1/2}(t) = -\varepsilon [u(x_j, t) - u(x_{j-1}, t)], & 1 \leq j \leq J \\ u(x_j, 0) = u^0(x_j), & 0 \leq j \leq J \\ p(x_j, 0) = p^0(x_j), & 0 \leq j \leq J \\ u(x_0, t) = u(x_J, t) = 0, & t > 0 \end{cases} \quad (1.27)$$

Sur chaque boîte  $K_{j-1/2}$ , on approche les moyennes spatiales des fonctions  $u$ ,  $p$  et  $f$  données par  $\Pi^0 u_{j-1/2}$ ,  $\Pi^0 p_{j-1/2}$  et  $\Pi^0 f_{j-1/2}$  respectivement par les fonctions  $\bar{u}_{j-1/2}$ ,  $\bar{p}_{j-1/2}$  et  $\bar{f}_{j-1/2}$ . Pour  $0 \leq j \leq J$ , on définit les approximations  $(u_j(t))_j$  et  $(p_j(t))_j$  à chaque instant  $t$ , de la solution exacte  $(u(x, t), p(x, t))$  au point d'abscisse  $x_j$ . On obtient ainsi le système approché suivant pour tout  $t \in ]0, T]$  et tout  $1 \leq j \leq J$  :

$$\begin{cases} \frac{d}{dt} \bar{u}_{j-1/2}(t) + \frac{p_j(t) - p_{j-1}(t)}{h_{j-1/2}} = \bar{f}_{j-1/2}(t), & 1 \leq j \leq J \\ \bar{p}_{j-1/2}(t) = -\varepsilon \frac{u_j(t) - u_{j-1}(t)}{h_{j-1/2}}, & 1 \leq j \leq J \\ u_j(0) = u^0(x_j), & 0 \leq j \leq J \\ p_j(0) = p^0(x_j), & 0 \leq j \leq J \\ u_0(t) = u_J(t) = 0, & t > 0 \end{cases} \quad (1.28)$$

Il reste à fermer le système (1.28) en exprimant  $\bar{u}_{j-1/2}(t)$  et  $\bar{p}_{j-1/2}(t)$ , en fonction de  $u_j(t)$  et  $p_j(t)$ . Pour les moyennes  $\bar{u}_{j-1/2}$  de  $u$  et  $\bar{p}_{j-1/2}$  de  $p$ , sur chaque boîte  $K_{j-1/2}$ , on choisit une approximation de type trapèze :

$$\bar{u}_{j-1/2}(t) = \frac{1}{2}(u_j(t) + u_{j-1}(t)), \quad (1.29)$$

$$\bar{p}_{j-1/2}(t) = \frac{1}{2}(p_j(t) + p_{j-1}(t)). \quad (1.30)$$

En remplaçant  $\bar{u}_{j-1/2}(t)$  et  $\bar{p}_{j-1/2}(t)$  par les formules (1.29) et (1.30) dans (1.28), on obtient

le schéma semi-discretisé en espace, continu en temps défini pour tout  $t \in ]0, T]$ ,

$$\begin{cases} \frac{1}{2} \left( \frac{d}{dt} u_j(t) + \frac{d}{dt} u_{j-1}(t) \right) + \frac{p_j(t) - p_{j-1}(t)}{h_{j-1/2}} = \bar{f}_{j-1/2}(t), & 1 \leq j \leq J \\ \frac{1}{2} (p_j(t) + p_{j-1}(t)) = -\frac{\varepsilon}{h_{j-1/2}} (u_j(t) - u_{j-1}(t)), & 1 \leq j \leq J \\ u_j(0) = u^0(x_j), & 0 \leq j \leq J \\ p_j(0) = p^0(x_j), & 0 \leq j \leq J \\ u_0(t) = u_J(t) = 0, & t > 0 \end{cases} \quad (1.31)$$

On s'intéresse maintenant à la discrétisation en temps du système (1.31). On considère une discrétisation de l'intervalle de temps  $[0, T]$  en  $N + 1$  points notés  $t^0 = 0 < \dots < t^n < \dots < t^N = T$ . Par simplicité, on suppose que le pas de temps  $k = t^n - t^{n-1}$  est constant. On approche les inconnues semi-discrètes  $u_j(t)$  et  $p_j(t)$  par les inconnues nodales  $u_j^n$  et  $p_j^n$  aux instants  $t^n$ , pour  $0 \leq n \leq N$ . On introduit la variable incrémentale en temps  $\delta^n$  définie par  $\delta^n v_j = \frac{v_j^{n+1} - v_j^n}{k}$ . L'intégration de l'équation (1.31)<sub>1</sub> par un  $\vartheta$ -schéma, donne l'équation en  $\delta^n u$  valable pour tout  $0 \leq n \leq N - 1$  et  $1 \leq j \leq J$  :

$$\frac{1}{2} (\delta^n u_j + \delta^n u_{j-1}) + \frac{\vartheta k}{h_{j-1/2}} (\delta^n p_j - \delta^n p_{j-1}) + \frac{1}{h_{j-1/2}} (p_j^n - p_{j-1}^n) = \vartheta \bar{f}_{j-1/2}^{n+1} + (1 - \vartheta) \bar{f}_{j-1/2}^n \quad (1.32)$$

On approche l'équation (1.31)<sub>2</sub> en temps par

$$\frac{1}{2} (p_j^n + p_{j-1}^n) + \frac{\varepsilon}{h_{j-1/2}} (u_j^n - u_{j-1}^n) = 0, \quad 1 \leq j \leq J, \quad 1 \leq n \leq N \quad (1.33)$$

Les conditions initiales sont approchées par

$$\begin{cases} u_j^0 = u^0(x_j), & 0 \leq j \leq J \\ p_j^0 = p^0(x_j), & 0 \leq j \leq J \end{cases} \quad (1.34)$$

Les conditions limites deviennent

$$u_0^n = u_J^n = 0, \quad 1 \leq n \leq N \quad (1.35)$$

### Remarque :

Noter que nous n'avons pas d'équation d'évolution sur  $p$ , mais simplement la relation  $p(x, t) = -\varepsilon u_x(x, t)$  à tout instant. En particulier, à l'instant initial,  $p(x, 0) = -\varepsilon \frac{d}{dx} u^0(x)$ , discrétisé par (1.34)<sub>2</sub>. Ainsi, le système linéaire (1.32-1.33-1.34-1.35) admet autant d'équations que d'inconnues, qui est une condition nécessaire pour être bien posé. Dans la suite, nous remplaçons l'équation (1.33) par le système d'équations équivalent  $1 \leq j \leq J$ ,

$$\begin{cases} \frac{1}{2} (\delta^n p_j + \delta^n p_{j-1}) + \frac{\varepsilon}{h_{j-1/2}} (\delta^n u_j - \delta^n u_{j-1}) = 0, & 0 \leq n \leq N - 1 \\ \frac{1}{2} (p_j^n + p_{j-1}^n) + \frac{\varepsilon}{h_{j-1/2}} (u_j^n - u_{j-1}^n) = 0, & 1 \leq n \leq N - 1. \end{cases} \quad (1.36)$$

Nous obtenons donc le schéma boîte suivant :

**Définition 1.4.1 (Schéma boîte pour l'équation de la chaleur)**

On définit le schéma boîte suivant associé à l'équation de la chaleur (1.26) : chercher  $(u_j^n, p_j^n)$ ,  $0 \leq j \leq J$  et  $0 \leq n \leq N$  tels que

$$\left\{ \begin{array}{l} (i) \frac{1}{2}(\delta^n u_j + \delta^n u_{j-1}) + \frac{\vartheta k}{h_{j-1/2}}(\delta^n p_j - \delta^n p_{j-1}) + \frac{1}{h_{j-1/2}}(p_j^n - p_{j-1}^n) \\ \quad = \vartheta \bar{f}_{j-1/2}^{n+1} + (1 - \vartheta) \bar{f}_{j-1/2}^n, \quad 1 \leq j \leq J, 0 \leq n \leq N - 1 \\ (ii)_1 \frac{1}{2}(\delta^n p_j + \delta^n p_{j-1}) + \frac{\varepsilon}{h_{j-1/2}}(\delta^n u_j - \delta^n u_{j-1}) = 0, \quad 1 \leq j \leq J, 0 \leq n \leq N - 1 \\ (ii)_2 \frac{1}{2}(p_j^n + p_{j-1}^n) + \frac{\varepsilon}{h_{j-1/2}}(u_j^n - u_{j-1}^n) = 0, \quad 1 \leq j \leq J, 1 \leq n \leq N - 1 \\ (iii) u_j^0 = u^0(x_j), \quad 0 \leq j \leq J \\ (iv) p_j^0 = p^0(x_j), \quad 0 \leq j \leq J \\ (v) u_0^n = u_j^n = 0, \quad 1 \leq n \leq N \end{array} \right. \quad (1.37)$$

Nous procédons à l'élimination du flux  $p_j^n$  dans l'équation (1.37-(i)) : on considère le système ((1.37-(i))-(1.37-(ii)<sub>1</sub>)) : pour tout  $1 \leq j \leq J$  et tout  $0 \leq n \leq N - 1$

$$\left\{ \begin{array}{l} \frac{1}{2}(\delta^n u_j + \delta^n u_{j-1}) + \frac{\vartheta k}{h_{j-1/2}}(\delta^n p_j - \delta^n p_{j-1}) + \frac{1}{h_{j-1/2}}(p_j^n - p_{j-1}^n) \\ \quad = \vartheta \bar{f}_{j-1/2}^{n+1} + (1 - \vartheta) \bar{f}_{j-1/2}^n \\ \frac{1}{2}(\delta^n p_j + \delta^n p_{j-1}) + \frac{\varepsilon}{h_{j-1/2}}(\delta^n u_j - \delta^n u_{j-1}) = 0 \end{array} \right. \quad (1.38)$$

On élimine la variable  $\delta^n p_j$  dans l'équation (1.38)<sub>1</sub> et la variable  $\delta^n p_{j-1}$  dans l'équation (1.38)<sub>2</sub>, on obtient le système équivalent pour tout  $1 \leq j \leq J$  et tout  $0 \leq n \leq N - 1$

$$\left\{ \begin{array}{l} \delta^n u_j \left( \frac{1}{2} - \frac{2\vartheta \varepsilon k}{h_{j-1/2}^2} \right) + \delta^n u_{j-1} \left( \frac{1}{2} + \frac{2\vartheta \varepsilon k}{h_{j-1/2}^2} \right) - 2 \frac{\vartheta k}{h_{j-1/2}} \delta^n p_{j-1} + \frac{1}{h_{j-1/2}}(p_j^n - p_{j-1}^n) \\ \quad = \vartheta \bar{f}_{j-1/2}^{n+1} + (1 - \vartheta) \bar{f}_{j-1/2}^n \\ \delta^n u_j \left( \frac{1}{2} + \frac{2\vartheta \varepsilon k}{h_{j-1/2}^2} \right) + \delta^n u_{j-1} \left( \frac{1}{2} - \frac{2\vartheta \varepsilon k}{h_{j-1/2}^2} \right) + 2 \frac{\vartheta k}{h_{j-1/2}} \delta^n p_j + \frac{1}{h_{j-1/2}}(p_j^n - p_{j-1}^n) \\ \quad = \vartheta \bar{f}_{j-1/2}^{n+1} + (1 - \vartheta) \bar{f}_{j-1/2}^n \end{array} \right. \quad (1.39)$$

Donc le schéma boîte (1.37) est encore équivalent au système ((1.39)-(1.37(ii)<sub>2</sub>)-(1.37(iii))-(1.37(iv))-(1.37(v))) donné par

$$\left\{ \begin{array}{l} (i) \frac{1}{2}(\delta^n u_j + \delta^n u_{j-1}) - \delta^n p_{j-1} \left( 2 \frac{\vartheta k}{h_{j-1/2}} \right) - \frac{2\vartheta \varepsilon k}{h_{j-1/2}^2}(\delta^n u_j - \delta^n u_{j-1}) + \frac{1}{h_{j-1/2}}(p_j^n - p_{j-1}^n) \\ \quad = \vartheta \bar{f}_{j-1/2}^{n+1} + (1 - \vartheta) \bar{f}_{j-1/2}^n, \quad 1 \leq j \leq J, 0 \leq n \leq N - 1 \\ (ii) \frac{1}{2}(\delta^n u_j + \delta^n u_{j-1}) + 2 \frac{\vartheta k}{h_{j-1/2}} \delta^n p_j + \frac{2\vartheta \varepsilon k}{h_{j-1/2}^2}(\delta^n u_j - \delta^n u_{j-1}) + \frac{1}{h_{j-1/2}}(p_j^n - p_{j-1}^n) \\ \quad = \vartheta \bar{f}_{j-1/2}^{n+1} + (1 - \vartheta) \bar{f}_{j-1/2}^n, \quad 1 \leq j \leq J, 0 \leq n \leq N - 1 \\ (iii) \frac{1}{2}(p_j^n + p_{j-1}^n) + \frac{\varepsilon}{h_{j-1/2}}(u_j^n - u_{j-1}^n) = 0, \quad 1 \leq j \leq J, 1 \leq n \leq N - 1 \\ (iv) u_j^0 = u^0(x_j), \quad 0 \leq j \leq J \\ (v) p_j^0 = p^0(x_j), \quad 0 \leq j \leq J \\ (vi) u_0^n = u_j^n = 0, \quad 1 \leq n \leq N \end{array} \right. \quad (1.40)$$

Les relations (1.40)-(i) et (1.40)-(ii) sont vraies sur chaque segment  $K_{j-1/2}$ , pour  $1 \leq j \leq J$ . On identifie les valeurs de  $\delta^n p_j$  données par (1.40)-(i) sur la boîte  $K_{j+1/2}$  et par (1.40)-(ii) sur la boîte  $K_{j-1/2}$  (condensation statique). On obtient le schéma uniquement en  $\delta^n u_j$  pour





$$g_2(\theta) = 1 + (\cos \theta - 1) \left( \frac{1}{2} - 2\vartheta\mu \right)$$

Ce qui donne

$$g(\theta) = 1 + \frac{2\mu(\cos \theta - 1)}{1 + (\cos \theta - 1) \left( \frac{1}{2} - 2\vartheta\mu \right)} \quad (1.48)$$

Donc

$$|g(\theta)| \leq 1 \iff \begin{cases} \frac{2\mu(\cos \theta - 1)}{1 + (\cos \theta - 1) \left( \frac{1}{2} - 2\vartheta\mu \right)} \leq 0 \\ 2 + \frac{2\mu(\cos \theta - 1)}{1 + (\cos \theta - 1) \left( \frac{1}{2} - 2\vartheta\mu \right)} \geq 0 \end{cases} \quad (1.49)$$

Or,  $\mu(\cos \theta - 1) \leq 0$ , donc

$$\begin{aligned} |g(\theta)| \leq 1 &\iff \begin{cases} 1 + (\cos \theta - 1) \left( \frac{1}{2} - 2\vartheta\mu \right) \geq 0 \\ 1 + (\cos \theta - 1) \left( \frac{1}{2} + (1 - 2\vartheta)\mu \right) \geq 0 \end{cases} \\ &\iff 1 + (\cos \theta - 1) \left( \frac{1}{2} + (1 - 2\vartheta)\mu \right) \geq 0 \end{aligned} \quad (1.50)$$

(puisque  $2\vartheta\mu \geq 0$ ). Le schéma est stable au sens de Von Neumann si et seulement si  $|g(\theta)| \leq 1$  pour tout  $\theta \in [0, \pi]$ . L'étude des variations de la fonction

$$L : \theta \mapsto 1 + (\cos \theta - 1) \left( \frac{1}{2} + (1 - 2\vartheta)\mu \right) \quad (1.51)$$

fait ressortir deux cas :  $L(\theta) \geq 0$  si et seulement si

$$\left( \frac{1}{2} + (1 - 2\vartheta)\mu \geq 0 \text{ et } \vartheta \geq \frac{1}{2} \right) \text{ ou } \left( \frac{1}{2} + (1 - 2\vartheta)\mu \leq 0 \right).$$

C'est-à-dire si  $\vartheta \geq \frac{1}{2}$ . Ce qui achève la preuve. ■

**Lemme 1.4.2** *Le schéma boîte (1.37) est consistant avec le problème continu (1.1) à l'ordre 2 en espace, et 1 en temps si  $\vartheta \neq \frac{1}{2}$ , 2 en temps si  $\vartheta = \frac{1}{2}$ .*

**Preuve :**

Le facteur d'amplification est

$$g(\theta) = \frac{g_1(\theta)}{g_2(\theta)} = \frac{b_0 + (b_1 + b_{-1}) \cos \theta}{a_0 + (a_1 + a_{-1}) \cos \theta} \quad (1.52)$$

On suppose que les pas de temps et d'espace  $k$  et  $h$  tendent vers 0 et que le coefficient  $\mu$  est borné par  $\mu_1$ ,  $0 < \mu < \mu_1$  quand  $k, h \rightarrow 0$ . On étudie l'ordre en  $k$  et en  $h$  du terme, [42] :

$$\frac{1}{k} \left( e^{kq(\xi)} - g(h\xi) \right) \quad (1.53)$$

où  $q$  est le symbole de l'opérateur spatial  $\varepsilon u_{xx}$ , donné par  $q(\xi) = -\varepsilon \xi^2$ . Un développement limité de  $e^{kq(\xi)}$  d'ordre 2 en  $k$  est

$$e^{kq(\xi)} = 1 - k\varepsilon \xi^2 + \frac{k^2}{2} \varepsilon^2 \xi^4 + \mathcal{O}(k^3) \quad (1.54)$$

Un développement limité de  $g$  à l'ordre 4 en  $\theta = \xi h$  au voisinage de 0 donne

$$g(\theta) = 1 - \mu \theta^2 + \mu \theta^4 \left(-\frac{1}{6} + \vartheta \mu\right) + \mathcal{O}(\theta^6) \quad (1.55)$$

En combinant les deux relations (1.54) et (1.55) on obtient

$$e^{kq(\xi)} - g(h\xi) = \varepsilon^2 \xi^4 k^2 \left(\frac{1}{2} - \vartheta\right) + h^2 k \frac{\varepsilon \xi^4}{6} + \mathcal{O}(k^3) + \mathcal{O}(h^6) \quad (1.56)$$

Ce qui donne

$$\frac{1}{k} \left( e^{kq(\xi)} - g(h\xi) \right) = \varepsilon^2 \xi^4 k \left(\frac{1}{2} - \vartheta\right) + h^2 \frac{\varepsilon \xi^4}{6} + \mathcal{O}(k^2) + \mathcal{O}(h^4) \quad (1.57)$$

Le schéma boîte (1.37) est donc consistant avec le problème continu (1.1) d'ordre 2 en espace et 1 en temps si  $\vartheta \neq \frac{1}{2}$  et 2 en temps sinon. ■

D'autre part, si l'on choisit  $k = \mathcal{O}(h^2)$ , ce qui est classique pour une équation de diffusion, alors on obtient un schéma d'ordre 2 en  $h$ .

### 1.4.3 Etude numérique

Naturellement, on se demande ce que donne le schéma boîte (1.37) sur le cas test (1.23-1.24) de la Section 1.3, pour des valeurs de  $\vartheta$  supérieures à 1/2. On reprend les tests réalisés au Paragraphe 1.3, pour le problème

$$\begin{cases} u_t - \varepsilon u_{xx} = 0, & x \in ]0, 2[, t > 0 \\ u(x, 0) = u_0(x), & x \in [0, 2] \\ u(0, t) = 1, u(2, t) = 0, & t > 0. \end{cases} \quad (1.58)$$

où la condition initiale est de type créneau :

$$u_0(x) = \begin{cases} 1 & \text{si } 0 < x < 0.5 \\ 0 & \text{si } 0.5 < x < 2 \end{cases} \quad (1.59)$$

Le pas de temps est  $k = h^2 = 4 \cdot 10^{-4}$ ,  $\varepsilon = 1$  ou  $1/8$  et  $\vartheta$  augmente à la valeur  $\vartheta = 0.505$ . On représente les solutions calculées au temps final  $T = 2 \cdot 10^{-2}$  (50 itérations en temps) sur la Figure 1.13 pour  $\varepsilon = 1$  et sur la Figure 1.14 pour  $\varepsilon = 1/8$ . Les oscillations au niveau du front initial  $x = 0.5$  n'apparaissent plus ou s'amortissent plus ou moins rapidement.

Les oscillations ont presque complètement disparu. Donc, un léger décentrement en temps de la variable  $\vartheta$  permet d'éliminer les oscillations présentes pour le schéma de Keller (1.5-1.6-1.7) à  $\vartheta = \frac{1}{2}$ . Pour expliquer ce phénomène nous étudions plus précisément le facteur d'amplification du schéma boîte (1.37).

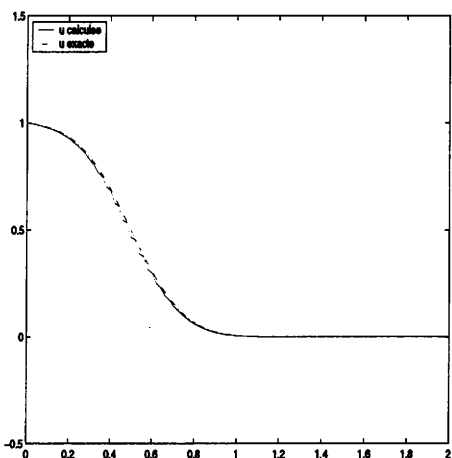


FIG. 1.13 - Schéma de boîte (1.37), augmentation de  $\vartheta = 0.505$ .  $\mu = 1$ ,  $T = 2.10^{-2}$ .

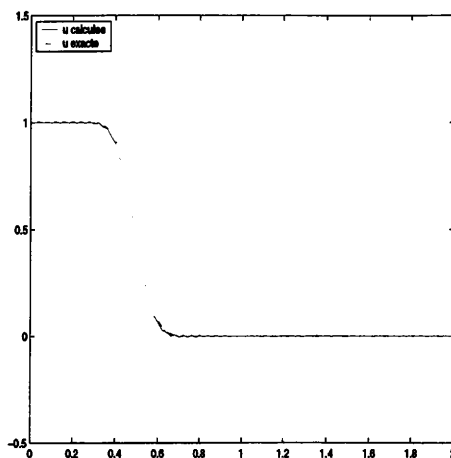


FIG. 1.14 - Schéma de boîte (1.37), augmentation de  $\vartheta = 0.505$ .  $\mu = 1/8$ ,  $T = 2.10^{-2}$ .

### 1.4.4 Interprétation des oscillations lorsque $\vartheta = \frac{1}{2}$

Interprétons les oscillations de l'équation de chaleur à l'aide du facteur d'amplification. Nous avons vu (1.48) que le facteur d'amplification du schéma boîte (1.37) est donné par la formule

$$g(\theta) = \frac{g_1(\theta)}{g_2(\theta)} \tag{1.60}$$

où  $g_1$  et  $g_2$  sont définis respectivement par

$$g_1(\theta) = 1 + (\cos \theta - 1) \left( \frac{1}{2} + 2\mu(1 - \vartheta) \right) \quad \text{et} \quad g_2(\theta) = 1 + (\cos \theta - 1) \left( \frac{1}{2} - 2\vartheta\mu \right)$$

On représente sur la Figure 1.15 le facteur d'amplification  $g : \theta \in [0, 2\pi[ \mapsto g(\theta)$  pour différentes valeurs de  $\vartheta \in [\frac{1}{2}, 1]$ , quand  $\mu = 1$ .

On s'aperçoit que pour la valeur  $\vartheta = \frac{1}{2}$ ,  $g(\pi) = -1$ . Vérifions cette observation par l'étude de  $g$  :

$$\begin{aligned} g(\theta) = -1 &\iff 1 - 2\mu(1 - 2\vartheta) + \cos \theta (1 + 2\mu(1 - 2\vartheta)) = 0 \\ &\iff L(\theta) = 0 \end{aligned} \tag{1.61}$$

où  $L$  est la fonction définie par (1.51). Sous la condition nécessaire et suffisante de stabilité  $\vartheta \geq \frac{1}{2}$ , on prouve que  $L(\theta) = 0$  si et seulement si  $(\theta = \pi \text{ et } \vartheta = \frac{1}{2})$ . C'est-à-dire  $g(\theta) = -1$  si et seulement si  $(\theta = \pi \text{ et } \vartheta = \frac{1}{2})$ .

On constate que le schéma boîte (1.37) conserve les modes oscillants éventuellement présents dans la solution initiale, puisqu'il multiplie par 1 ou -1 le mode oscillant de fréquence  $\xi = \frac{\pi}{h}$ . Le mode  $(-1)^j$  est présent dans la décomposition en série de Fourier du créneau initial  $u_0$  (1.24), avec un coefficient non nul. Ce mode parasite est donc entretenu par le schéma quand

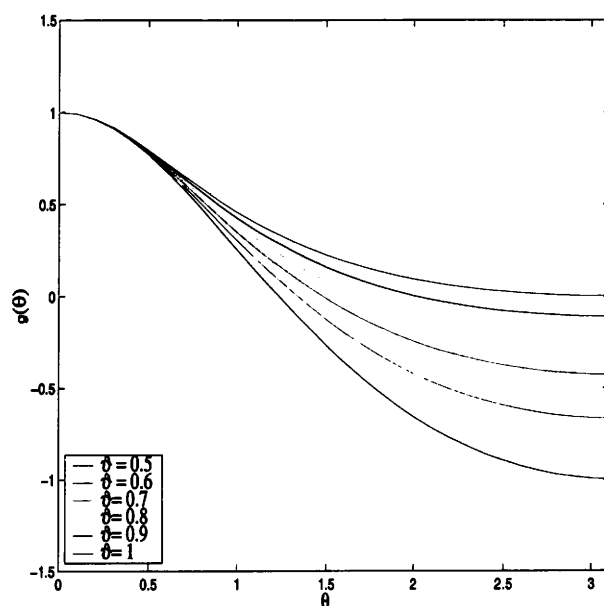


FIG. 1.15 – Représentation du facteur d'amplification  $g(\theta)$  en fonction de  $\theta$  pour  $\mu = 1$ , selon les valeurs prises par le paramètre  $\vartheta$ .

$\vartheta = \frac{1}{2}$ . Le mode oscillant observé au Paragraphe 1.3 correspond clairement à cette oscillation haute fréquence, qui est stable mais qui ne s'amortit pas. En effet, la discrétisation en temps de type Crank-Nicholson est A-stable mais non fortement A-stable. Ceci a pour conséquences de conserver les modes oscillants du type  $(-1)^j$  qui peuvent apparaître dans la solution du schéma boîte.

## 1.5 Interprétation du schéma à l'aide des éléments finis

Le schéma boîte pour l'équation de la chaleur ne nécessite aucun décentrement. Soient  $P_c^1$  l'espace d'éléments finis  $P^1$ -Lagrange en dimension 1 et  $P_{c,0}^1$ , sa restriction aux fonctions s'annulant aux points frontières. Le schéma boîte pour l'équation de la chaleur s'écrit sous forme semi-discrète : chercher  $(u_h(\cdot, t), (p_h(\cdot, t))) \in P_{c,0}^1 \times P_c^1$  tel que

$$\begin{cases} \left( \frac{d}{dt} u_h(\cdot, t) + p_{h,x}; v_h \right) = (f(\cdot, t); v_h), & \forall v_h \in P^0 \\ (p_h(\cdot, t) + \varepsilon u_{h,x}, q_h) = 0, & \forall q_h \in P^0 \end{cases} \quad (1.62)$$

Vérifions que le schéma boîte (1.62) est équivalent à

$$\begin{cases} \left( \frac{d}{dt} \Pi^0 u_h(\cdot, t); v_h \right) + (\varepsilon u_{h,x}(\cdot, t); v_{h,x}) = ((\Pi^0 f)(\cdot, t); v_h), & \forall v_h \in P_{c,0}^1 \\ p_h(\cdot, t)|_{K_{j-1/2}} = -\varepsilon u_{h,x}|_{K_{j-1/2}} + ((\Pi^0 f)(\cdot, t)|_{K_{j-1/2}} - \frac{d}{dt} (\Pi^0 u_h)_{K_{j-1/2}})(x - x_{j-1/2}) \end{cases} \quad (1.63)$$

En effet : l'équation (1.62)<sub>1</sub> implique que

$$(\Pi^0 f)|_{K_{j-1/2}} = \frac{d}{dt} \Pi^0 u_h(\cdot, t)|_{K_{j-1/2}} + p_{h,x}|_{K_{j-1/2}} \quad (1.64)$$

Soit  $v_h \in P_{c,0}^1$ . Choisissons  $q_h = v_{h,x} \in P^0$  dans l'équation (1.62)<sub>2</sub>, on obtient

$$(\varepsilon u_{h,x}(\cdot, t); v_{h,x}) = -(p_h; v_{h,x}) \quad (1.65)$$

En intégrant par partie cette expression, puisque  $v_h(x_0) = v_h(x_J) = 0$ , on obtient

$$(\varepsilon u_{h,x}(\cdot, t); v_{h,x}) = (p_{h,x}; v_h) = -\left(\frac{d}{dt} \Pi^0 u_h(\cdot, t) - (\Pi^0 f); v_h\right) \quad (1.66)$$

d'après l'identité (1.64). Ce qui donne l'équation (1.63)<sub>1</sub>. D'autre part,  $p_h$  s'écrit localement  $p_h|_{K_{j-1/2}} = (\Pi^0 p_h)|_{K_{j-1/2}} + p_{h,x}|_{K_{j-1/2}}(x - x_{j-1/2})$ , comme élément de  $P_c^1$ . D'après l'équation (1.62)<sub>2</sub>,  $(\Pi^0 p)|_{K_{j-1/2}} = (-\varepsilon u_{h,x})|_{K_{j-1/2}} \in P^0$  et  $p_{h,x}$  est donné en fonction de  $u_h$  et de  $f$  par la relation (1.64). D'où on déduit l'écriture de  $p_h$ .

Soit l'énergie  $E_h(t) = |\Pi^0 u_h(\cdot, t)|_{0,I}^2$ . On a

$$\frac{1}{2} E_h'(t) + (\varepsilon u_{h,x}(\cdot, t); u_{h,x}(\cdot, t)) = ((\Pi^0 f)(\cdot, t); u_h(\cdot, t)). \quad (1.67)$$

En particulier, dans le cas homogène, on a

$$\frac{1}{2} E_h'(t) = -\varepsilon |u_{h,x}(\cdot, t)|_{0,I}^2 \quad (1.68)$$

L'inégalité de Poincaré discrète sur  $P_{c,0}^1$  donne l'existence d'une constante  $C$  telle que pour tout  $u \in P_{c,0}^1$ , on a

$$|\Pi^0 u|_{0,I} \leq |u|_{0,I} \leq C |u_x|_{0,I} \quad (1.69)$$

En combinant les relations (1.68) et (1.69), on obtient l'inégalité

$$E_h'(t) \leq -\frac{2\varepsilon}{C^2} |\Pi^0 u_h|_{0,I}^2 \quad (1.70)$$

En posant  $B = \frac{2\varepsilon}{C^2}$ , (1.70) s'écrit  $\frac{d}{dt} E_h(t) \leq -B E_h(t)$ , qui donne en intégrant sur  $(0, t)$

$$E_h(t) \leq E_h(0) e^{-Bt}, \quad B = \frac{2\varepsilon}{C^2}.$$

On obtient donc en utilisant (1.69)

$$|\Pi^0 u_h(\cdot, t)|_{0,I} \leq |u_{0,h}|_{0,I} e^{-\frac{\varepsilon}{C^2} t}. \quad (1.71)$$

D'où l'unicité de la solution. Mais l'estimation de la stabilité de la solution en norme  $L^2$  est

$$|u_h(\cdot, t)|_{0,I} \leq \frac{1}{h} |u_{0,h}|_{0,I} e^{-C\varepsilon t} \quad (1.72)$$

non uniforme en  $h$ .

## 1.6 Une deuxième généralisation du schéma de Keller

### 1.6.1 Design du $\beta$ -schéma

Les oscillations de la solution du schéma boîte ne sont constatées que dans le cas  $\vartheta = \frac{1}{2}$ . Pour des raisons de consistance et de convergence du schéma, on ne peut pas négliger la valeur  $\vartheta = \frac{1}{2}$ , pour laquelle, on a constaté l'apparition de modes oscillants. Pour cette valeur  $\vartheta = \frac{1}{2}$ , on propose un nouveau schéma boîte. On utilise la formule d'Euler-Mac Laurin plus précise que la formule des trapèzes, pour approcher la moyenne de  $u$  sur chaque boîte dans l'équation (1.29). Dans tout le paragraphe, on se place dans le cas de maillages équidistants de pas d'espace  $h$ . Reprenons la méthode boîte. La forme mixte de l'équation de la chaleur homogène est

$$\begin{cases} u_t + p_x = 0, & x \in ]0, 1[, t > 0 \\ p = -\varepsilon u_x, & x \in ]0, 1[, t > 0 \\ u(x, 0) = u_0(x), & x \in [0, 1] \\ p(x, 0) = -\varepsilon u_{0,x}, & x \in [0, 1] \\ u(0, t) = u(1, t) = 0, & t > 0 \end{cases} \quad (1.73)$$

Contrairement à la formulation boîte (1.43), on approche  $\bar{u}_{i-1/2}$  sur la boîte  $K_{i-1/2}$ , par une formule plus précise que (1.29) :

$$\bar{u}_{i-1/2} = \frac{1}{2}(u_i + u_{i-1}) - \frac{\beta h}{12}(p_i - p_{i-1}) \quad (1.74)$$

où  $\beta$  est un certain réel à déterminer.

#### Remarque :

Si  $\beta = 0$ , on retrouve le schéma boîte (1.43). Si  $\beta = -\frac{1}{\varepsilon}$ , on retrouve la formule de quadrature de Euler-Mac Laurin qui s'écrit (avec  $h = x_i - x_{i-1}$ ) :

$$\frac{1}{h} \int_{x_{i-1}}^{x_i} u dx = \frac{1}{2}(u(x_i) + u(x_{i-1})) - \frac{h}{12}(u_x(x_i) - u_x(x_{i-1})) + \mathcal{O}(h^4) \quad (1.75)$$

On conserve la formule de quadrature (1.30) pour  $p$  :

$$\bar{p}_{j-1/2}(t) = \frac{1}{2}(p_j(t) + p_{j-1}(t)) \quad (1.76)$$

On obtient le système semi-discrétisé en espace, continu en temps : pour tout  $1 \leq j \leq J$ ,  $t > 0$

$$\begin{cases} \frac{1}{2} \left( \frac{d}{dt} u_j(t) + \frac{d}{dt} u_{j-1}(t) \right) - \frac{\beta h}{12} \left( \frac{d}{dt} p_j(t) - \frac{d}{dt} p_{j-1}(t) \right) + \frac{p_j(t) - p_{j-1}(t)}{h_{j-1/2}} = 0, & 1 \leq j \leq J \\ \frac{1}{2} (p_j(t) + p_{j-1}(t)) = -\frac{\varepsilon}{h_{j-1/2}} (u_j(t) - u_{j-1}(t)), & 1 \leq j \leq J \\ u_j^0 = u^0(x_j), & 0 \leq j \leq J \\ p(x, 0) = \varepsilon \frac{d}{dx} u^0(x), & 0 \leq j \leq J \\ u_0(t) = u_J(t) = 0, & t > 0 \end{cases} \quad (1.77)$$

En discrétisant en temps l'équation (1.77) par un  $\vartheta$ -schéma, on obtient le  $\beta$ -schéma boîte de paramètres  $\beta$  en espace, et  $\vartheta$  en temps défini par

**Définition 1.6.1** Le  $\beta$ -schéma boîte (1.77) associé à l'équation de la chaleur (1.73) est :

$$\left\{ \begin{array}{l} (i) \frac{1}{2}(\delta^n u_j + \delta^n u_{j-1}) + \left(\frac{k\vartheta}{h} - \frac{\beta h}{12}\right) \delta^n p_j \\ \quad - \left(\frac{k\vartheta}{h} - \frac{\beta h}{12}\right) \delta^n p_{j-1} + \frac{1}{h}(p_j^n - p_{j-1}^n) = 0, \quad 1 \leq j \leq J, 0 \leq n \leq N-1 \\ (ii)_1 \frac{1}{2}(\delta^n p_j + \delta^n p_{j-1}) + \frac{\varepsilon}{h_{j-1/2}}(\delta^n u_j - \delta^n u_{j-1}) = 0, \quad 1 \leq j \leq J, 0 \leq n \leq N-1 \\ (ii)_2 \frac{1}{2}(p_j^n + p_{j-1}^n) + \frac{\varepsilon}{h_{j-1/2}}(u_j^n - u_{j-1}^n) = 0, \quad 1 \leq j \leq J, 1 \leq n \leq N-1 \\ (iii) u_j^0 = u^0(x_j), \quad 0 \leq j \leq J \\ (iv) p_j^0 = p^0(x_j), \quad 0 \leq j \leq J \\ (v) u_0^n = u_J^n = 0, \quad 1 \leq n \leq N \end{array} \right. \quad (1.78)$$

Puis en éliminant l'inconnue  $\delta^n p_j$ , en suivant les étapes de construction du schéma boîte (1.37), on obtient la formulation équivalente du  $\beta$ -schéma boîte

**Lemme 1.6.1** Le  $\beta$ -schéma boîte (1.78) associé à l'équation de la chaleur (1.73) est équivalent à :

(i) la formulation en  $u$

$$\left\{ \begin{array}{l} u_{j+1}^{n+1} \left(\frac{1}{2} + \frac{\beta\varepsilon}{6} - 2\vartheta\mu\right) + 2u_j^{n+1} \left(\frac{1}{2} - \frac{\beta\varepsilon}{6} + 2\vartheta\mu\right) + u_{j-1}^{n+1} \left(\frac{1}{2} + \frac{\beta\varepsilon}{6} - 2\vartheta\mu\right) \\ \quad = u_{j+1}^n \left(\frac{1}{2} + \frac{\beta\varepsilon}{6} + 2(1-\vartheta)\mu\right) + 2u_j^n \left(\frac{1}{2} - \frac{\beta\varepsilon}{6} - 2(1-\vartheta)\mu\right) \\ \quad \quad + u_{j-1}^n \left(\frac{1}{2} + \frac{\beta\varepsilon}{6} + 2(1-\vartheta)\mu\right), \quad 1 \leq j \leq J-1, 0 \leq n \leq N-1 \\ u_j^0 = u_0(x_j), \quad 0 \leq j \leq J \\ u_1^n = u_J^n = 0, \quad 1 \leq n \leq N. \end{array} \right. \quad (1.79)$$

(ii) la reconstruction du flux  $p$  localement en fonction de  $u$

$$\left\{ \begin{array}{l} 2\delta p_j^{n+1} \left(\frac{\vartheta k}{h} - \frac{h\beta}{12}\right) = -\frac{1}{h}(p_j^n - p_{j-1}^n) \\ \quad + \left(2\frac{\varepsilon}{h} \left(\frac{h\beta}{12} - \frac{\vartheta k}{h}\right) - \frac{1}{2}\right) \delta^n u_j + \left(-2\frac{\varepsilon}{h} \left(\frac{h\beta}{12} - \frac{\vartheta k}{h}\right) - \frac{1}{2}\right) \delta^n u_{j-1}, \quad 1 \leq j \leq J-1, 0 \leq n \leq N-1 \\ 2\delta p_0^{n+1} \left(-\frac{\vartheta k}{h} + \frac{h\beta}{12}\right) = -\frac{1}{h}(p_1^n - p_0^n) \\ \quad + \left(2\frac{\varepsilon}{h} \left(-\frac{h\beta}{12} + \frac{\vartheta k}{h}\right) - \frac{1}{2}\right) \delta^n u_1 + \left(-2\frac{\varepsilon}{h} \left(-\frac{h\beta}{12} + \frac{\vartheta k}{h}\right) - \frac{1}{2}\right) \delta^n u_0 \\ \frac{1}{2}(p_j^n + p_{j-1}^n) + \frac{\varepsilon}{h_{j-1/2}}(u_j^n - u_{j-1}^n) = 0, \quad 1 \leq j \leq J, 1 \leq n \leq N-1 \\ p_j^0 = p^0(x_j), \quad 0 \leq j \leq J \end{array} \right. \quad (1.80)$$

Définissons les coefficients  $A_1, A_0, A_{-1}$  et  $B_1, B_0, B_{-1}$  en fonction des coefficients  $a_1, a_0, a_{-1}$

et  $b_1, b_0, b_{-1}$  de la formulation en  $u$  (1.45) du schéma boîte (1.37)

$$\begin{aligned} A_1 &= \left( \frac{1}{2} + \frac{\beta\varepsilon}{6} - 2\vartheta\mu \right) = \frac{a_1}{h} + \frac{\beta\varepsilon}{6} \\ A_0 &= 2 \left( \frac{1}{2} - \frac{\beta\varepsilon}{6} + 2\vartheta\mu \right) = \frac{a_0}{h} - \frac{\beta\varepsilon}{3} \\ A_{-1} &= \left( \frac{1}{2} + \frac{\beta\varepsilon}{6} - 2\vartheta\mu \right) = \frac{a_{-1}}{h} + \frac{\beta\varepsilon}{6} \\ B_1 &= \left( \frac{1}{2} + \frac{\beta\varepsilon}{6} + 2(1-\vartheta)\mu \right) = \frac{b_1}{h} + \frac{\beta\varepsilon}{6} \\ B_0 &= 2 \left( \frac{1}{2} - \frac{\beta\varepsilon}{6} - 2(1-\vartheta)\mu \right) = \frac{b_0}{h} - \frac{\beta\varepsilon}{3} \\ B_{-1} &= \left( \frac{1}{2} + \frac{\beta\varepsilon}{6} + 2(1-\vartheta)\mu \right) = \frac{b_{-1}}{h} + \frac{\beta\varepsilon}{6} \end{aligned}$$

L'équation en  $u$  du  $\beta$ -schéma s'écrit alors

$$A_1 u_{j+1}^{n+1} + A_0 u_j^{n+1} + A_{-1} u_{j-1}^{n+1} = B_1 u_{j+1}^n + B_0 u_j^n + B_{-1} u_{j-1}^n \quad (1.81)$$

**Lemme 1.6.2** *Le schéma (1.78) admet une unique solution  $(u_j^n, p_j^n)$  à chaque pas de temps donnée en fonction de la condition initiale  $u^0$ , sous la condition  $\beta\varepsilon < 12\vartheta\mu$ .*

**Preuve :** On démontre ce résultat à l'aide du théorème de Gershgorin. C'est-à-dire on vérifie que  $|A_1| + |A_{-1}| < |A_0|$ . Or,  $A_1 = A_{-1}$ , donc on distingue les cas  $(A_1 > 0, A_0 > 0)$ ,  $(A_1 < 0, A_0 > 0)$ ,  $(A_1 > 0, A_0 < 0)$  et  $(A_1 < 0, A_0 < 0)$ .

• le cas  $(A_1 > 0, A_0 > 0)$  est équivalent à  $12\vartheta\mu - 3 < \beta\varepsilon < 12\vartheta\mu + 3$  et

$$|A_1| + |A_{-1}| < |A_0| \iff \beta\varepsilon < 12\vartheta\mu$$

• le cas  $(A_1 < 0, A_0 > 0)$  est équivalent à  $12\vartheta\mu - 3 > \beta\varepsilon$ , on vérifie que  $|A_1| + |A_{-1}| < |A_0|$  est toujours vrai.

• le cas  $(A_1 > 0, A_0 < 0)$  est impossible par définition de  $A_1$  et  $A_0$ .

• le cas  $(A_1 > 0, A_0 > 0)$  est équivalent à  $\beta\varepsilon > 12\vartheta\mu + 3$ . Mais la relation  $|A_1| + |A_{-1}| < |A_0|$  n'est jamais vérifiée.

Donc le  $\beta$ -schéma (1.78) admet une unique solution sous la condition  $\beta\varepsilon < 12\vartheta\mu$ . Ceci donne l'existence de la variable  $u$  qui est unique, puisque le système en  $u$  est carré. De plus le flux de diffusion  $p$  est donné de façon unique en fonction de  $u$  par les équations (1.46). Ce qui prouve l'existence et l'unicité de la solution  $(u_j^n, p_j^n)$  sous la condition  $\beta\varepsilon < 12\vartheta\mu$ . Si  $\beta$  est nul, on retrouve le résultat d'existence de la solution  $u$  du schéma boîte (1.43). ■

L'action du coefficient  $\beta$  est analogue à un décentrement de la variable  $\vartheta$ . En posant  $\tilde{\vartheta} = \vartheta - \frac{\beta h^2}{12k}$ , les coefficients  $A_i$  et  $B_i$ ,  $i = 1, 2, 3$  sont égaux à  $A_1 = \frac{1}{2} - 2\tilde{\vartheta}\mu$ ,  $A_0 = 2(\frac{1}{2} + 2\tilde{\vartheta}\mu)$ ,  $A_{-1} = \frac{1}{2} - 2\tilde{\vartheta}\mu$ ,  $B_1 = \frac{1}{2} + 2(1-\tilde{\vartheta})\mu$ ,  $B_0 = 2(\frac{1}{2} - 2(1-\tilde{\vartheta})\mu)$  et  $B_{-1} = \frac{1}{2} + 2(1-\tilde{\vartheta})\mu$ . Puisque nous utilisons un coefficient  $\beta \leq 0$ , le coefficient  $\tilde{\vartheta}$  correspond à un décentrement de  $\vartheta$  par  $\beta$ . En augmentant  $|\beta|$ , on augmente la valeur de  $\tilde{\vartheta}$ ; quand  $\vartheta = 1/2$ ,  $\tilde{\vartheta} \geq 1/2$ , les oscillations disparaissent.

### 1.6.2 Etude du facteur d'amplification du $\beta$ -schéma

Avant d'étudier la stabilité du schéma (1.78), on cherche sous quelles conditions sur le coefficient  $\beta$ , le schéma est non-oscillant (au sens du facteur d'amplification). Le facteur d'amplification de ce nouveau schéma (1.78) est donné par la formule :

$$g_{\beta}(\theta) = \frac{(\frac{1}{2} + \frac{\beta\varepsilon}{6} + 2(1 - \vartheta)\mu) \cos \theta + (\frac{1}{2} - \frac{\beta\varepsilon}{6} - 2(1 - \vartheta)\mu)}{(\frac{1}{2} + \frac{\beta\varepsilon}{6} - 2\vartheta\mu) \cos \theta + (\frac{1}{2} - \frac{\beta\varepsilon}{6} + 2\vartheta\mu)} \quad (1.82)$$

Existe-t-il des valeurs de  $\beta$  telles que  $g_{\beta}(\theta) \neq -1$  pour tout  $\theta \in [0, \pi[$  ?

$$g_{\beta}(\theta) = -1 \iff (1 + \frac{\beta\varepsilon}{3} + 2(1 - 2\vartheta)\mu) \cos \theta + (1 - \frac{\beta\varepsilon}{3} - 2(1 - 2\vartheta)\mu) = 0 \quad (1.83)$$

Soit  $l_{\beta}$  la fonction définie par

$$l_{\beta}(\theta) = (1 + \frac{\beta\varepsilon}{3} + 2(1 - 2\vartheta)\mu) \cos \theta + (1 - \frac{\beta\varepsilon}{3} - 2(1 - 2\vartheta)\mu).$$

L'étude de la fonction  $l_{\beta}$  permet de prouver que

$$g_{\beta}(\theta) \neq -1 \text{ si et seulement si } \beta\varepsilon < -6(1 - 2\vartheta)\mu$$

En particulier, si  $\vartheta = 1/2$  il faut choisir  $\beta < 0$  pour que  $g_{\beta}(\theta) \neq -1$ , pour tout  $\theta \in [0, \pi]$ . D'autre part, si  $\beta = 0$ , le schéma conserve les modes oscillants éventuels. De plus, d'après le Lemme 1.6.2 sous la condition

$$\beta\varepsilon < -6(1 - 2\vartheta)\mu \quad (1.84)$$

le  $\beta$ -schéma admet une unique solution. Prouvons la stabilité du schéma sous la condition (1.84).

#### Lemme 1.6.3 (Stabilité)

*Le schéma (1.78) est stable au sens de Von Neumann sous la condition  $\beta\varepsilon < -6(1 - 2\vartheta)\mu$ .*

**Preuve :**

On étudie le facteur d'amplification du schéma. Le facteur d'amplification (1.82) est encore égal à

$$g_{\beta}(\theta) = 1 + \frac{2\mu(\cos \theta - 1)}{(\frac{1}{2} + \frac{\beta\varepsilon}{6} - 2\vartheta\mu) \cos \theta + (\frac{1}{2} - \frac{\beta\varepsilon}{6} + 2\vartheta\mu)} \quad (1.85)$$

On note  $D = (\frac{1}{2} + \frac{\beta\varepsilon}{6} - 2\vartheta\mu) \cos \theta + (\frac{1}{2} - \frac{\beta\varepsilon}{6} + 2\vartheta\mu)$  le dénominateur de  $g_{\beta}$ . A-t-on  $|g_{\beta}(\theta)| \leq 1$  sous la condition (1.84) de non oscillation au sens du facteur d'amplification,  $\beta\varepsilon < -6(1 - 2\vartheta)\mu$  ?

$$\begin{aligned} g_{\beta}(\theta) \leq 1 &\iff -1 \leq 1 + \frac{2\mu(\cos \theta - 1)}{D} \leq 1 \\ &\iff \begin{cases} 0 \leq \frac{D + \mu(\cos \theta - 1)}{D} \\ D \geq 0 \end{cases} \end{aligned} \quad (1.86)$$

En utilisant la condition  $\beta\varepsilon < -6(1 - 2\vartheta)\mu$ , on prouve facilement les deux inégalités  $D \geq 0$  et  $\frac{D + \mu(\cos\theta - 1)}{D} \geq 0$ . Le  $\beta$ -schéma (1.78)<sub>1</sub> est inconditionnellement stable sous la condition (1.84). ■

En particulier, si  $\vartheta = \frac{1}{2}$ , le schéma est stable si  $\beta < 0$ .

### Lemme 1.6.4 (Consistance)

Le schéma boîte (1.78) est consistant à l'ordre 2 en espace et en temps si  $\vartheta = \frac{1}{2}$  et à l'ordre 2 en espace et 1 en temps si  $\vartheta \neq \frac{1}{2}$ . Donc, le schéma boîte est d'ordre 2 si  $k = \mathcal{O}(h^2)$ .

**Preuve :**

La preuve est analogue à la preuve du Lemme 1.4.2 de la consistance du schéma boîte (1.37). On suppose que les pas de temps et d'espace  $k$  et  $h$  tendent vers 0 et que le coefficient  $\mu$  est borné par  $\mu_1$ ,  $0 < \mu < \mu_1$  quand  $k, h \rightarrow 0$ . On cherche l'ordre en  $k$  et en  $h$  du terme [42] :

$$\frac{1}{k} \left( e^{kq(\xi)} - g(h\xi) \right) \tag{1.87}$$

$q(\xi) = -\varepsilon\xi^2$ . En développant  $e^{kq(\xi)}$  et  $g$  respectivement en  $k$  et en  $h$ , on obtient

$$e^{kq(\xi)} - g(h\xi) = \varepsilon^2 \xi^4 k^2 \left( \frac{1}{2} - \vartheta \right) + h^2 k \left( \frac{\varepsilon \xi^4}{6} + \frac{\beta \varepsilon}{12} \right) + \mathcal{O}(k^3) + \mathcal{O}(h^6) \tag{1.88}$$

Ce qui donne le résultat. ■

### 1.6.3 Résultats numériques

Dans cette partie, nous reprenons les tests réalisés sur le créneau dans le cas du premier schéma boîte (1.37), pour  $\beta$ -schéma boîte (1.78), à savoir la résolution du problème (1.23-1.24) donné par :

$$\begin{cases} u_t - \varepsilon u_{xx} = 0, & x \in ]0, 2[, t > 0 \\ u(x, 0) = u_0(x), & x \in [0, 2] \\ u(0, t) = 1, u(2, t) = 0, & t > 0. \end{cases} \tag{1.89}$$

où  $\varepsilon = 1$  ou  $1/8$  et la condition initiale est de type créneau :

$$u_0(x) = \begin{cases} 1 & \text{si } 0 < x < 0.5 \\ 0 & \text{si } 0.5 < x < 2 \end{cases} \tag{1.90}$$

Comme précédemment, la solution exacte est calculée numériquement par le schéma. Le paramètre  $\beta$  du  $\beta$ -schéma (1.78) est choisi  $\beta = -0.5$  et satisfait les conditions d'existence, d'unicité et de stabilité de la solution du  $\beta$ -schéma (condition (1.84)). Nous voulons vérifier que le  $\beta$ -schéma boîte (1.78) atténue les modes oscillants présents dans la solution du schéma boîte (1.37) pour  $\vartheta = \frac{1}{2}$  (voir les tests du Paragraphe 1.3). Nous observons la solution donnée par le  $\beta$ -schéma boîte (1.78) au temps  $T = 2 \cdot 10^{-3}$ , puis  $T = 2 \cdot 10^{-2}$ , avec un zoom sur la partie oscillante.

•  $\mu = 1$  : Les données sont  $\vartheta = 1/2$  et  $\mu = 1$ , le pas d'espace est  $h = 0.02$ , le pas de temps est

$k = h^2 = 4.10^{-4}$ . Les Figures 1.16 et 1.17 représentent simultanément la solution exacte du problème (1.23-1.24) en trait pointillé et la solution calculée par le  $\beta$ -schéma (1.78) en trait continu au temps  $T = 2.10^{-3}$  (5 itérations en temps). Les Figures 1.18 et 1.19 représentent également les solutions exacte et calculée au temps  $T = 2.10^{-2}$  (50 itérations en temps). Afin, de comparer la solution du schéma boîte (1.37) et du  $\beta$ -schéma boîte (1.78), nous représentons simultanément sur la Figure 1.20 un zoom sur le segment  $[0.3, 0.8]$  de ces deux solutions boîte et de la solution exacte au temps  $T = 2.10^{-3}$  et sur la Figure 1.21 au temps  $T = 2.10^{-2}$ . Sur ces deux figures, la solution exacte est toujours représentée en pointillé, la solution du schéma boîte (1.37) en trait continu et la la solution du  $\beta$ -schéma boîte (1.78), par des petits cercles.

- $\mu = 1/8$  : De façon analogue, nous présentons les résultats obtenus pour  $\mu = 1/8$ . Les données restent inchangés :  $\vartheta = 1/2$ ,  $h = 0.02$  et  $k = 4.10^{-4}$ . On conserve  $\beta = -0.5$ . La solution exacte et la solution du  $\beta$ -schéma sont représentées respectivement en trait pointillé et en trait continu sur les Figures 1.22 et 1.23 au temps  $T = 2.10^{-3}$  et sur les Figures 1.24 et 1.25 au temps  $T = 2.10^{-2}$ . Les deux Figures 1.26 et 1.27 offrent une comparaison visuelle entre la solution exacte (trait pointillé), la solution du schéma boîte (1.37) (trait continu) et la solution du  $\beta$ -schéma boîte (petits cercles) aux temps respectifs  $T = 2.10^{-3}$  et  $T = 2.10^{-2}$ .

Pour ces deux valeurs de  $\mu$ , on constate que les oscillations sont immédiatement réduites, sans perte de précision. Ici le coefficient  $\beta$  prend la valeur  $\beta = -0.5$  pour les deux valeurs de  $\mu$ , 1 et  $1/8$ . Néanmoins, on pourrait choisir  $|\beta|$  proportionnel à la valeur de  $\varepsilon$ . De plus, rappelons, que le décentrement en  $\beta$  n'est nécessaire que pour  $\vartheta = \frac{1}{2}$ .

● Evolution des oscillations pour  $\varepsilon = 1$  :

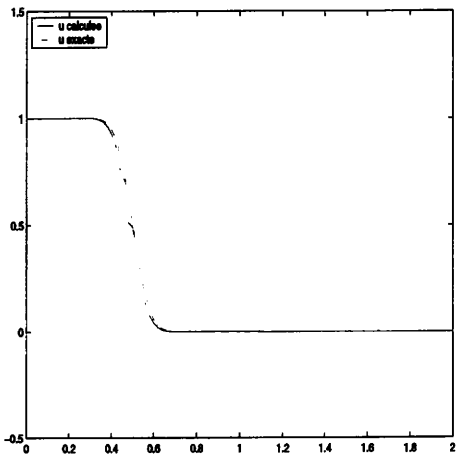


FIG. 1.16 -  $\beta$ -schéma (1.78),  $\mu = 1$ ,  $T = 2.10^{-3}$ ,  $\beta = -0.5$ .

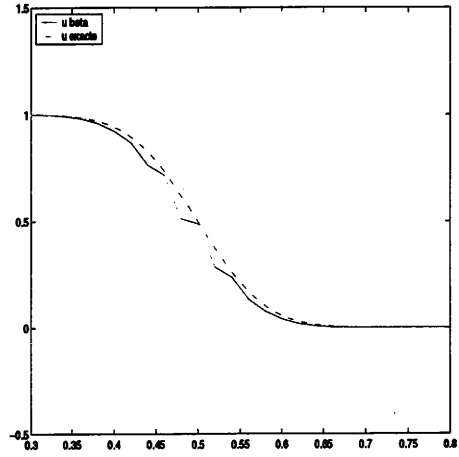


FIG. 1.17 -  $\beta$ -schéma (1.78),  $\mu = 1$ ,  $T = 2.10^{-3}$ ,  $\beta = -0.5$ . Zoom sur  $[0.3, 0.8]$ .

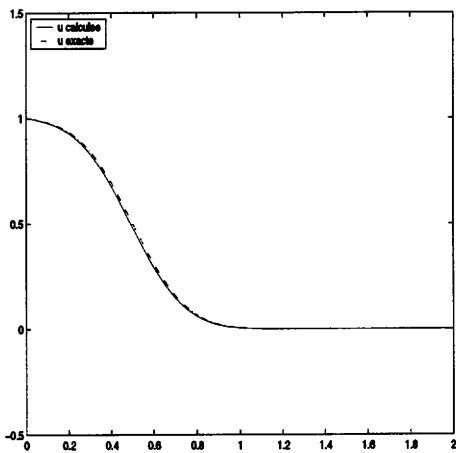


FIG. 1.18 -  $\beta$ -schéma (1.78),  $\mu = 1$ ,  $T = 2.10^{-2}$ ,  $\beta = -0.5$ .

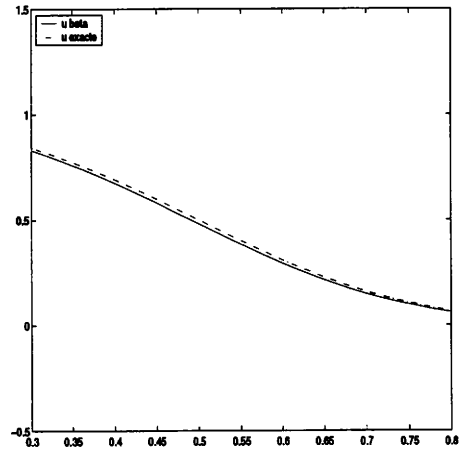


FIG. 1.19 -  $\beta$ -schéma (1.78),  $\mu = 1$ ,  $T = 2.10^{-2}$ ,  $\beta = -0.5$ . Zoom sur  $[0.3, 0.8]$ .

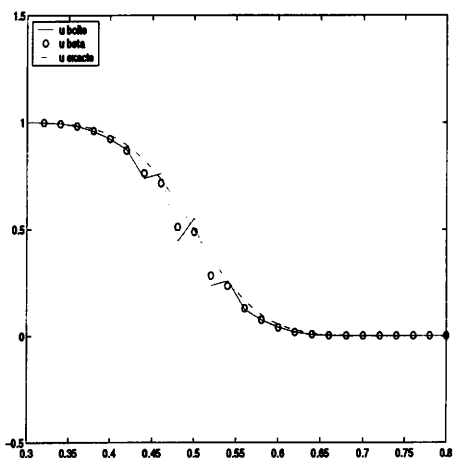


FIG. 1.20 - comparaison schéma boîte (1.37) et  $\beta$ -schéma boîte (1.78)  $\mu = 1$ ,  $T = 2.10^{-3}$ ,  $\beta = -0.5$ . Zoom sur  $[0.3, 0.8]$ .

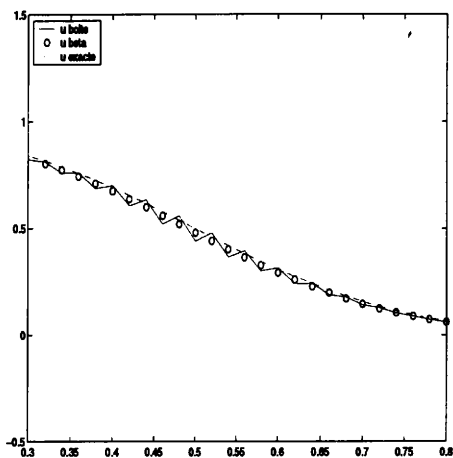


FIG. 1.21 - comparaison schéma boîte (1.37) et  $\beta$ -schéma boîte (1.78)  $\mu = 1$ ,  $T = 2.10^{-2}$ ,  $\beta = -0.5$ . Zoom sur  $[0.3, 0.8]$ .

● Evolution des oscillations pour  $\varepsilon = 1/8$  :

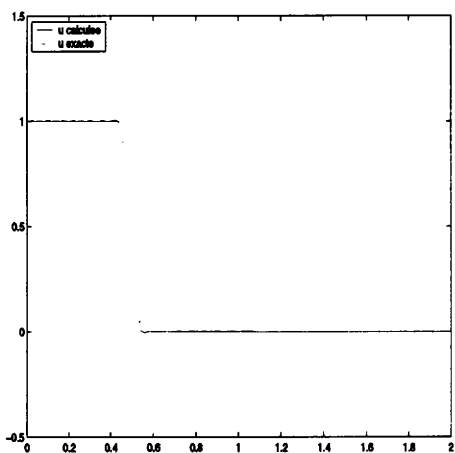


FIG. 1.22 -  $\beta$ -schéma (1.78),  $\mu = 1/8$ ,  $T = 2.10^{-3}$ ,  $\beta = -0.5$ .

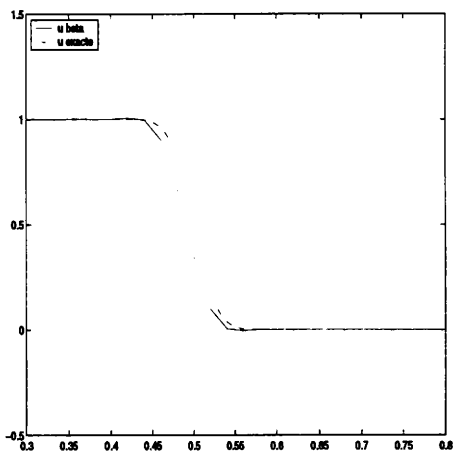


FIG. 1.23 -  $\beta$ -schéma (1.78),  $\mu = 1/8$ ,  $T = 2.10^{-3}$ ,  $\beta = -0.5$ . Zoom sur  $[0.3, 0.8]$ .

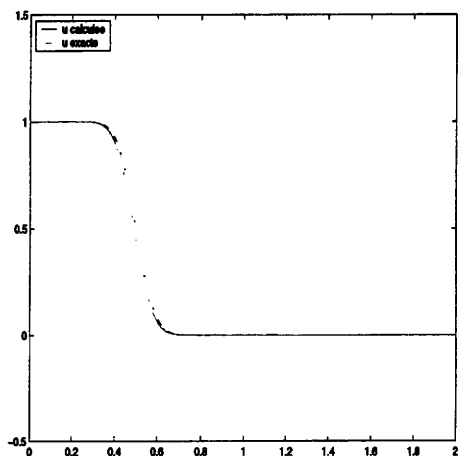


FIG. 1.24 -  $\beta$ -schéma (1.78),  $\mu = 1/8$ ,  $T = 2.10^{-2}$ ,  $\beta = -0.5$ .

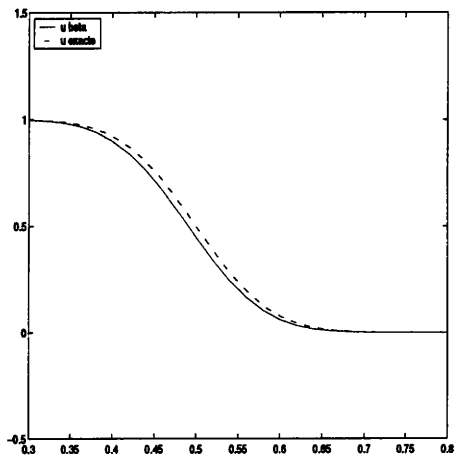


FIG. 1.25 -  $\beta$ -schéma (1.78),  $\mu = 1/8$ ,  $T = 2.10^{-2}$ ,  $\beta = -0.5$ . Zoom sur  $[0.3, 0.8]$ .

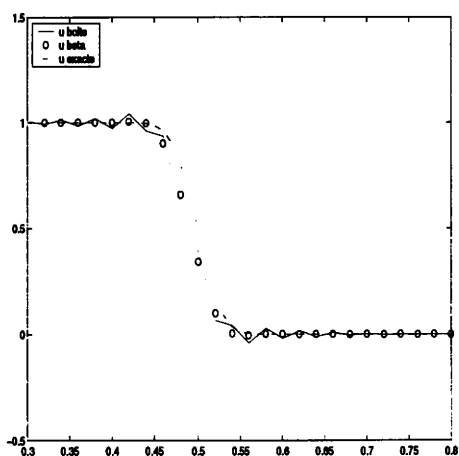


FIG. 1.26 - comparaison schéma boîte (1.37) et  $\beta$ -schéma boîte (1.78),  $\mu = 1/8$ ,  $T = 2.10^{-3}$ ,  $\beta = -0.5$ . Zoom sur  $[0.3, 0.8]$ .

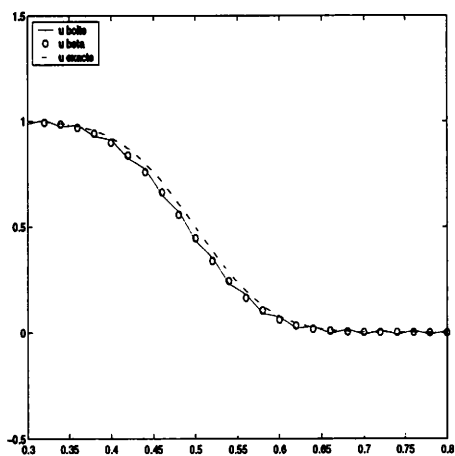


FIG. 1.27 - comparaison schéma boîte (1.37) et  $\beta$ -schéma boîte (1.78)  $\mu = 1/8$ ,  $T = 2.10^{-2}$ ,  $\beta = -0.5$ . Zoom sur  $[0.3, 0.8]$ .

## CHAPITRE 2

# Quelques schémas boîte sur maillages en triangles

### 2.1 Introduction

Les schémas boîte ont été introduits par H.B. Keller en 1971, pour des problèmes paraboliques [31]. Après l'étude au Chapitre 1, de schémas boîte associés à l'équation de la chaleur en dimension 1, nous souhaitons généraliser cette étude en dimension 2 pour un domaine muni d'un maillage en triangles. Sur le principe de discrétisation introduit par B. Courbet dans [14] pour le problème de la chaleur sur des maillages en triangles, B. Courbet et J.-P. Croisille ont introduit un schéma boîte de type volumes finis pour l'équation  $-\Delta u = f$  sur un domaine  $\Omega$  maillé par des triangles [15].

Dans ce chapitre, nous rappelons la construction et le principe du schéma boîte Courbet-Croisille et son lien avec la méthode des éléments finis mixte. Puis nous introduisons des schémas boîte d'ordre plus élevé basés sur les mêmes principes, pour lesquels nous prouvons des estimations d'erreurs par rapport à la solution exacte du problème de Poisson. La partie analyse numérique de ce travail a été publiée dans [19]. Quelques applications numériques illustrent les résultats théoriques obtenus. Par ailleurs, signalons que la généralisation au problème de Poisson avec tenseur de [15] a été établie par Chou et Co., [10].

### 2.2 Rappels sur les méthodes mixtes

#### 2.2.1 Formes mixtes du problème de Poisson

Nous considérons un domaine polygonal  $\Omega \subseteq \mathbb{R}^2$ . Le problème de Poisson défini sur  $\Omega$  est : trouver  $u \in H_0^1(\Omega)$  tel que :

$$\begin{cases} -\Delta u = f & \text{dans } \Omega \\ u = 0 & \text{sur } \Gamma \end{cases} \quad (2.1)$$

Si  $f \in L^2(\Omega)$  et  $\Omega \subseteq \mathbb{R}^2$  est un domaine convexe, le problème (2.1) admet une unique solution  $u \in H_0^1(\Omega) \cap H^2(\Omega)$  telle que  $\|u\|_{2,\Omega} \leq C\|f\|_{0,\Omega}$ . Nous utilisons dans la suite les deux

formes mixtes suivantes du problème de Poisson

(i) La formulation mixte primale : trouver  $(u, p) \in H_0^1(\Omega) \times H_{\text{div}}(\Omega)$  tel que

$$\begin{cases} (\text{div } p + f, v)_{0,\Omega} = 0, \forall v \in L^2(\Omega) \\ (p - \nabla u, q)_{0,\Omega} = 0, \forall q \in (L^2(\Omega))^2 \end{cases} \quad (2.2)$$

(ii) La formulation mixte duale : trouver  $(v, q) \in L^2(\Omega) \times (L^2(\Omega))^2$  tel que

$$\begin{cases} -(\nabla u, q)_{0,\Omega} = -(f, u)_{0,\Omega}, \forall u \in H_0^1(\Omega) \\ (p, q)_{0,\Omega} + (\text{div } p, v)_{0,\Omega} = 0, \forall p \in H_{\text{div}}(\Omega) \end{cases} \quad (2.3)$$

Rappelons également les deux formes mixtes usuelles

(iii) La formulation mixte : trouver  $(u, p) \in H_0^1(\Omega) \times (L^2(\Omega))^2$  tel que

$$\begin{cases} -(p, \nabla v)_{0,\Omega} = -(f, v)_{0,\Omega}, \forall v \in H_0^1(\Omega) \\ (p - \nabla u, q)_{0,\Omega} = 0, \forall q \in (L^2(\Omega))^2 \end{cases} \quad (2.4)$$

équivalente à la forme variationnelle usuelle :  $(\nabla u, \nabla v)_{0,\Omega} = (f, v)_{0,\Omega}$  avec  $p = \nabla u$ .

(iv) La formulation mixte variationnelle : trouver  $(u, p) \in L^2(\Omega) \times H_{\text{div}}(\Omega)$  tel que

$$\begin{cases} (\text{div } p + f, v)_{0,\Omega} = 0, \forall v \in L^2(\Omega) \\ (p, q)_{0,\Omega} + (u, \text{div } q)_{0,\Omega} = 0, \forall q \in H_{\text{div}}(\Omega) \end{cases} \quad (2.5)$$

La solution  $(u, p) \in L^2(\Omega) \times H_{\text{div}}(\Omega)$  de la formulation (2.5) est caractérisée comme étant l'unique point selle sur  $V = L^2(\Omega) \times H_{\text{div}}(\Omega)$  de la fonctionnelle  $J$

$$J(v, q) = \frac{1}{2} |q|_{0,\Omega}^2 + (\text{div } q + f, v)_{0,\Omega}. \quad (2.6)$$

La forme bilinéaire  $B$  définie sur  $V \times V$  par

$$B((u, p); (v, q)) = (p, q)_{0,\Omega} + (u, \text{div } q)_{0,\Omega} + (\text{div } p, v)_{0,\Omega} \quad (2.7)$$

est symétrique, continue,  $V$ -elliptique ([16]), donc le problème (2.5) admet une solution unique  $(u, p) \in V$  qui est la solution de

$$B((u, p); (v, q)) = (f, v)_{0,\Omega}. \quad (2.8)$$

Ces quatre problèmes mixtes ont pour unique solution  $(u, \nabla u)$ , où  $u \in H_0^1(\Omega) \cap H^2(\Omega)$  est l'unique solution de (2.1).

Pour la preuve, on peut utiliser le théorème de Babuška-Brezzi, que nous rappelons.

## 2.2.2 Le théorème de Babuška-Brezzi

### Le lemme de Babuška

Soient  $(H_1, (\cdot, \cdot)_1)$ ,  $(H_2, (\cdot, \cdot)_2)$  deux espaces de Hilbert et  $B(\cdot, \cdot)$  une forme bilinéaire continue sur  $H_1 \times H_2$ . Soient  $J : H_1 \rightarrow H_2'$  et  $J^* : H_2 \rightarrow H_1'$  les deux opérateurs linéaires continus associés à la forme  $B$  par

$$B(u, v) = \langle J u, v \rangle_{H_2', H_2} = \langle J^* v, u \rangle_{H_1', H_1} \quad (2.9)$$

On a

**Théorème 2.2.1 (Lemme de Babuška, [2])**

L'opérateur  $J : H_1 \rightarrow H_2'$  est un isomorphisme si et seulement si les deux conditions (i) et (ii) sont satisfaites

(i) il existe une constante  $C > 0$  telle que

$$\sup_{v \in H_2, \|v\|_2 \leq 1} B(u, v) \geq C \|u\|_1, \quad \forall u \in H_1$$

(ii) Si  $v \in H_2$  est telle que  $B(u, v) = 0$  pour tout  $u \in H_1$ , alors  $v = 0$ .

De plus, la constante de continuité de  $J$  est  $1/C$ .

**Cas particulier où  $H_1 = M_1 \times X_1$  et  $H_2 = M_2 \times X_2$**

Dans le cas particulier d'espaces de Hilbert produit, Brezzi [3], Nicolaidis [35], Bernardi et al. [7] ont prouvé le Théorème 2.2.2 que l'on peut déduire du Lemme de Babuška. Soient  $(M_1, (\cdot, \cdot)_{M_1})$ ,  $(X_1, (\cdot, \cdot)_{X_1})$ ,  $(M_2, (\cdot, \cdot)_{M_2})$ ,  $(X_2, (\cdot, \cdot)_{X_2})$  quatre espaces de Hilbert. Définissons les espaces produits  $H_1 = M_1 \times X_1$ , et  $H_2 = M_2 \times X_2$ , munis des normes :

$$\begin{aligned} \|(p, u)\|_{H_1} &= \left( \|p\|_{X_1} + \|u\|_{M_1} \right)^{1/2}, \quad \forall (p, u) \in H_1 \\ \|(q, v)\|_{H_2} &= \left( \|q\|_{X_2} + \|v\|_{M_2} \right)^{1/2}, \quad \forall (q, v) \in H_2. \end{aligned} \quad (2.10)$$

Soit  $B$  la forme bilinéaire définie sur  $H_1 \times H_2$  par

$$B((p, u); (q, v)) = a(p, q) + b_1(q, u) + b_2(p, v) \quad (2.11)$$

où

- $a$  est une forme bilinéaire continue définie sur  $X_1 \times X_2$ ,
- $b_1$  et  $b_2$  sont des formes bilinéaires continues définies respectivement sur  $M_1 \times X_2$  et  $M_2 \times X_1$ .

Définissons les espaces noyaux  $V_1, V_2$  :

$$\begin{aligned} V_1 &= \{p \in X_1 \mid b_2(p, \mu) = 0, \quad \forall \mu \in M_2\}, \\ V_2 &= \{q \in X_2 \mid b_1(q, \lambda) = 0, \quad \forall \lambda \in M_1\}. \end{aligned} \quad (2.12)$$

Soient  $l_2, m_2$ , des formes linéaires continues définies respectivement sur  $X_2$  et  $M_2$ . On considère le problème : chercher  $(p, u) \in X_1 \times M_1$  solution de

$$\begin{cases} a(p, q) + b_1(q, u) = \langle l_2, q \rangle, \quad \forall q \in X_2 \\ b_2(p, v) = \langle m_2, v \rangle, \quad \forall v \in M_2 \end{cases} \quad (2.13)$$

**Théorème 2.2.2** Le problème (2.13) admet une unique solution  $(p, u)$  qui dépend continûment des données  $(l_2, m_2) \in X_2' \times M_2'$  si et seulement si les conditions suivantes sont vérifiées :

(i) il existe une constante  $\alpha > 0$  telle que  $\forall q \in V_2$ ,

$$\sup_{p \in V_1, \|p\|_{X_1} \leq 1} a(p, q) \geq \alpha \|q\|_{X_2},$$

(ii) pour tout  $p \in V_1$ ,

$$\forall q \in V_2, a(p, q) = 0 \Rightarrow p = 0,$$

(iii) il existe une constante  $\beta_1 > 0$  telle que

$$\sup_{q \in X_2, \|q\|_{X_2} \leq 1} b_1(q, u) \geq \beta_1 \|u\|_{M_1}, \quad \forall u \in M_1,$$

(iv) il existe une constante  $\beta_2 > 0$  telle que

$$\sup_{p \in X_1, \|p\|_{X_1} \leq 1} b_2(p, v) \geq \beta_2 \|v\|_{M_2}, \quad \forall v \in M_2.$$

Les deux formes mixtes (2.2), (2.3) entrent dans ce cadre :

(1) Soient les espaces de Hilbert  $X_1 = H_{\text{div}}(\Omega)$ ,  $M_1 = H_0^1(\Omega)$ ,  $X_2 = (L^2(\Omega))^2$  et  $M_2 = L^2(\Omega)$ . Le problème (2.13) associé à la forme mixte (2.2) est : chercher  $(p, u) \in X_1 \times M_1$  solution de

$$\begin{cases} (p, q)_{0,\Omega} - (\nabla u, q)_{0,\Omega} = 0, & \forall q \in X_2 \\ (\text{div } p, v)_{0,\Omega} = -(f, v)_{0,\Omega}, & \forall v \in M_2 \end{cases} \quad (2.14)$$

équivalent à

$$\begin{cases} a(p, q) + b_1(q, u) = 0, & \forall q \in X_2 \\ b_2(p, v) = -(f, v)_{0,\Omega}, & \forall v \in M_2 \end{cases} \quad (2.15)$$

pour les formes bilinéaires continues  $a(p, q) = (p, q)_{0,\Omega}$ ,  $b_1(q, u) = -(\nabla u, q)_{0,\Omega}$  et  $b_2(p, v) = (\text{div } p, v)_{0,\Omega}$ . Les hypothèses du Théorème 2.2.2 sont vérifiées, [16], en effet :

Les espaces  $V_1$  et  $V_2$  définis par

$$\begin{aligned} V_1 &= \{p \in H_{\text{div}}(\Omega) \mid (\text{div } p, v)_{0,\Omega} = 0, \quad \forall v \in L^2(\Omega)\} \\ V_2 &= \{q \in (L^2(\Omega))^2 \mid -(\nabla u, q)_{0,\Omega} = 0, \quad \forall u \in H_0^1(\Omega)\} \end{aligned} \quad (2.16)$$

satisfont  $V_1 = V_2 = V$ . Donc pour tout  $q \in V$ , on a l'égalité

$$\sup_{p \in V, \|p\|_{0,\Omega} \leq 1} a(p, q) = \|q\|_{0,\Omega}$$

Ainsi, les hypothèses (i) et (ii) du Théorème 2.2.2 sont vérifiées. D'autre part les hypothèses (iii) et (iv) du Théorème 2.2.2 sont les conditions "inf-sup" associées aux problèmes mixtes standards (2.4) et (2.5) pour les couples d'espaces  $(M, X) = (H_0^1(\Omega), (L^2(\Omega))^2)$  et  $(M, X) = (H_{\text{div}}(\Omega), L^2(\Omega))$ .

(2) Soient les espaces de Hilbert  $X_1 = (L^2(\Omega))^2$ ,  $M_1 = L^2(\Omega)$ ,  $X_2 = H_{\text{div}}(\Omega)$  et  $M_2 = H_0^1(\Omega)$ . Le problème (2.13) associé à la forme mixte (2.3) est : chercher  $(p, u) \in X_1 \times M_1$  solution de

$$\begin{cases} (p, q)_{0,\Omega} + (\text{div } q, u)_{0,\Omega} = 0, & \forall q \in X_2 \\ -(\nabla v, p)_{0,\Omega} = -(f, v)_{0,\Omega}, & \forall v \in M_2 \end{cases} \quad (2.17)$$

équivalent à

$$\begin{cases} a(p, q) + b_1(q, u) = 0, & \forall q \in X_2 \\ b_2(p, v) = -(f, v)_{0,\Omega}, & \forall v \in M_2 \end{cases} \quad (2.18)$$

pour les formes bilinéaires continues  $a(p, q) = (p, q)_{0,\Omega}$ ,  $b_1(q, u) = (\text{div } q, u)_{0,\Omega}$  et  $b_2(p, v) = -(\nabla v, p)_{0,\Omega}$ . On montre de façon analogue que les formes  $a$ ,  $b$  et  $b_2$  ainsi définies vérifient les hypothèses du Théorème 2.2.2.

### 2.2.3 Notations géométriques

Dans toute la suite, on suppose que le domaine  $\Omega$  est connexe et convexe  $K$  désigne un triangle quelconque, d'aire notée  $|K|$ . La Figure 2.1 représente les données d'un triangle  $K$ . Soient :

- $h_K$  : diamètre du cercle circonscrit à  $K$ .
- $\rho_K$  : diamètre du cercle inscrit dans  $K$ .
- $\sigma_K = \frac{h_K}{\rho_K} > 1$  : mesure de la non dégénérescence de  $K$ .

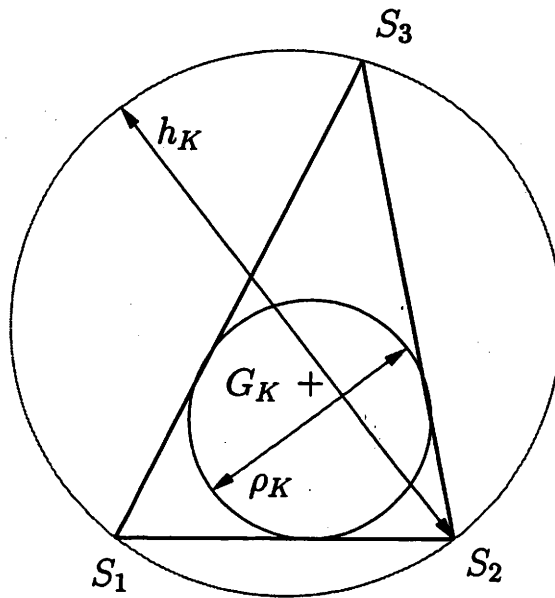


FIG. 2.1 - Données géométriques d'un triangle  $K$

Soit  $\mathcal{T}_h$  un maillage en triangles du domaine  $\Omega$  de paramètre de discrétisation

$$h = \max_{K \in \mathcal{T}_h} h_K.$$

$\mathcal{T}_h$  est défini tel que  $\bar{\Omega} = \bigcup_{K \in \mathcal{T}_h} K$ . Nous supposons que le maillage est uniformément régulier

c'est-à-dire :

- $h = \max_{K \in \mathcal{T}_h} h_K \rightarrow 0$
- il existe deux constantes  $\sigma > 0$  et  $\tau > 0$  indépendantes de  $h$ , telles que

$$\tau h \leq h_K \leq \sigma \rho_K.$$

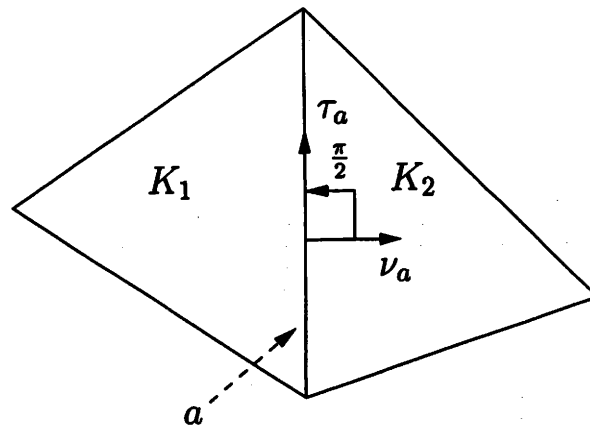


FIG. 2.2 - Vecteur normal à l'arête \$a\$

Le vecteur normal unitaire à une arête \$a\$ de \$K\$ orienté vers l'extérieur est noté \$\nu\_a\$, le vecteur tangent est noté \$\tau\_a\$ (Figure 2.2), tels que \$(\nu\_a, \tau\_a)\$ forment une base orthonormée directe. Soient \$K\_1\$ et \$K\_2\$ deux triangles d'arête commune \$a\$. Le saut d'une fonction \$v\$ à travers l'arête \$a\$ est \$[v] = v\_{K\_2,a} - v\_{K\_1,a}\$, où \$v\_{K\_i,a}\$ est la valeur de \$v\$ le long de l'arête \$a\$ dans le triangle \$K\_i\$, \$i = 1, 2\$. Le gradient d'une fonction \$f \in H^1(\Omega)\$ est \$\nabla f = (\partial\_x f, \partial\_y f)\$, son rotationnel est \$\text{rot } f = (\partial\_y f, -\partial\_x f)\$. Le rotationnel scalaire d'une fonction vectorielle \$(f\_1, f\_2)\$ est noté de façon identique, défini par \$\text{rot}(f\_1, f\_2) = \partial\_y f\_1 - \partial\_x f\_2\$.

L'ensemble des arêtes du maillage noté \$\mathcal{A} = \mathcal{A}\_b \cup \mathcal{A}\_i\$ est constitué des arêtes frontières \$\mathcal{A}\_b\$ et des arêtes internes \$\mathcal{A}\_i\$. Nous notons \$NA\$, le nombre total d'arêtes, \$NA\_b\$ le nombre d'arêtes frontières et \$NA\_i\$ le nombre d'arêtes internes, \$NP\$, le nombre total de noeuds du maillage, \$NP\_i\$ le nombre de noeuds internes du maillage. \$NE\$ désigne le nombre de mailles de la triangulation \$\mathcal{T}\_h\$. Les relations d'Euler pour le maillage sont :

$$NE - NA + NP = 1 \quad \text{et} \quad 3NE = NA + NA_i. \quad (2.19)$$

## 2.2.4 Quelques Lemmes et Définitions

Les espaces de polynômes de degré total \$k\$ sur \$K\$ sont notés \$P^k(K)\$. Pour \$v \in L^2(K)\$, \$\Pi^k v\$ désigne la projection orthogonale de \$v\$ sur \$P^k(K)\$ tel que

$$\int_K (\Pi^k v - v) q \, dx = 0, \quad \forall q \in P^k(K).$$

**Lemme 2.2.1 (Interpolation, [23], [30])**

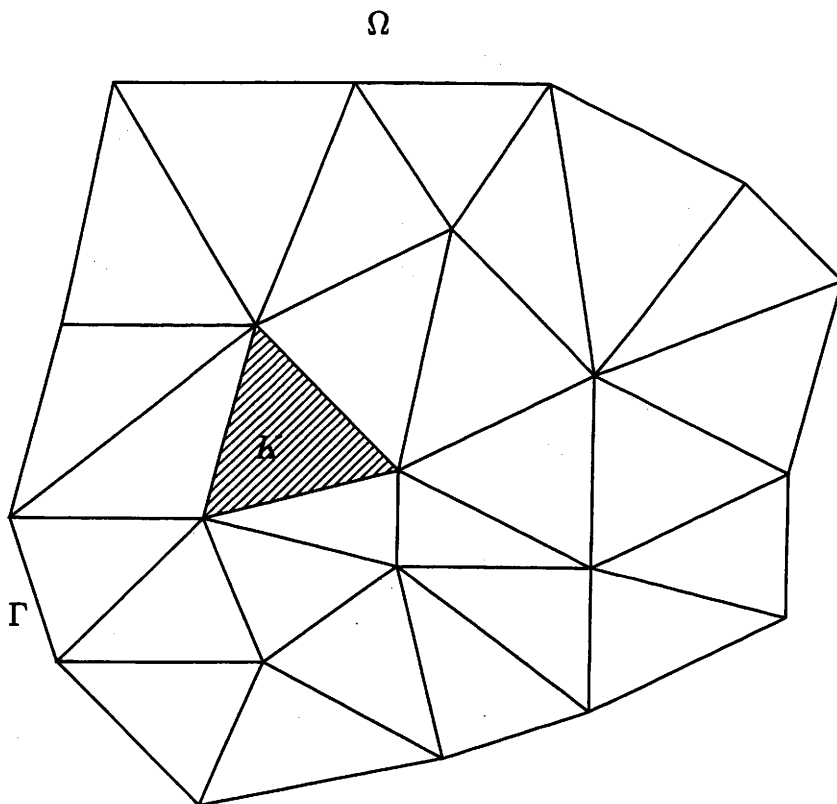
Il existe une constante \$C > 0\$ indépendante du triangle \$K\$ telle que

(i) si \$v \in H^{k+1}(K)\$,

$$|v - \Pi^k v|_{m,K} \leq C \sigma_K^m h_K^{k+1-m} |v|_{k+1,K}, \quad 0 \leq m \leq k+1 \quad (2.20)$$

(ii) si \$v \in H^{l+1}(K)\$, \$1 \leq l < k\$

$$|v - \Pi^k v|_{m,K} \leq C \sigma_K^m h_K^{l+1-m} |v|_{l+1,K}, \quad 0 \leq m \leq l+1 \quad (2.21)$$


 FIG. 2.3 – Maillage du domaine  $\Omega$ 

Soit  $P^k(e)$  la restriction à l'arête  $e$  des polynômes de degré  $k$ .  $\Pi_e^k$  désigne la projection de  $L^2(e)$  sur  $P^k(e)$ . Rappelons le lemme suivant

**Lemme 2.2.2 (Interpolation d'arête de Crouzeix-Raviart [22])**

Soit  $k \in \mathbb{N}$ ,  $\forall m \in \mathbb{N}$  tel que,  $0 \leq m \leq k$ , il existe une constante  $C > 0$  indépendante de  $K$  telle que pour tout  $\phi \in H^1(K)$ ,  $v \in H^{m+1}(K)$ ,

$$\left| \int_e \phi(v - \Pi_e^k v) d\sigma \right| \leq C \sigma_K h_K^{m+1} |\phi|_{1,K} |v|_{m+1,K}.$$

Rappelons le patch-test au sens de Irons et Razzaque [22], [32], [43]. Il s'agit d'une condition de recollement des espaces de polynômes totalement discontinus au niveau des arêtes du maillage.

**Lemme 2.2.3 (Patch-test d'Irons et Razzaque, [22], [32], [43])**

Un espace d'éléments finis  $V_h$ , sous espace vectoriel local de  $P^k$  satisfait le patch-test au sens de Irons et Razzaque si : pour tout  $v_h \in V_h$ , on a

$$\begin{aligned} (i) \quad \forall a \in \mathcal{A}_i, \quad \int_a [v_h] p d\sigma &= 0, \quad \forall p \in P^{k-1}(a) \\ (ii) \quad \forall a \in \mathcal{A}_b, \quad \int_a v_h p d\sigma &= 0, \quad \forall p \in P^{k-1}(a). \end{aligned}$$

Rappelons le théorème suivant, que l'on retrouve par exemple dans [16], [34], qui est la version discrète du Théorème 2.2.2 de Babuška-Brezzi. On définit les espaces de Hilbert discrets  $K_{i,h} = X_{i,h} \times M_{i,h}$  et  $H_{i,h} = H_i + K_{i,h}$ , où  $H_i$  est l'espace de Hilbert produit  $H_i = X_i \times M_i$ . L'approximation du problème (2.13) est :  
chercher  $(p_h, u_h) \in X_{1,h} \times M_{1,h}$  solution de

$$\begin{cases} a_h(p_h, q_h) + b_{1,h}(q_h, u_h) = \langle l_{2,h}, q_h \rangle, & \forall q_h \in X_{2,h} \\ b_{2,h}(p_h, v_h) = \langle m_{2,h}, v_h \rangle, & \forall v_h \in M_{2,h} \end{cases} \quad (2.22)$$

où

- $a_h, b_{1,h}$  et  $b_{2,h}$  sont des approximations des formes bilinéaires  $a, b_1$  et  $b_2$  de la Section 2.2.2.
  - $l_{2,h}$  et  $m_{2,h}$  des approximations des formes linéaires  $l_2, m_2$ .
- Soit  $B_h$  la forme bilinéaire discrète définie sur  $H_{1,h} \times H_{2,h}$  par

$$B_h((p_h, u_h); (q_h, v_h)) = a_h(p_h, q_h) + b_{1,h}(q_h, u_h) + b_{2,h}(p_h, v_h). \quad (2.23)$$

Résoudre le problème (2.22) est équivalent à trouver  $(p_h, u_h) \in X_{1,h} \times M_{1,h}$  tel que

$$B_h((p_h, u_h); (q_h, v_h)) = \langle l_{2,h}, q_h \rangle + \langle m_{2,h}, v_h \rangle, \quad \forall (q_h, v_h) \in X_{2,h} \times M_{2,h}. \quad (2.24)$$

Soient les espaces noyaux discrets de dimension finie :

$$\begin{aligned} V_{1,h} &= \{p_h \in X_{1,h}; b_{2,h}(v_h, p_h) = 0, \quad \forall v_h \in M_{2,h}\}, \\ V_{2,h} &= \{q_h \in X_{2,h}; b_{1,h}(u_h, q_h) = 0, \quad \forall u_h \in M_{1,h}\}. \end{aligned} \quad (2.25)$$

### **Théorème 2.2.3 (Babuška-Brezzi discret - Condition "inf - sup")**

Le problème (2.22) admet une unique solution  $(p_h, u_h)$  continûment dépendante des données  $(l_{2,h}, m_{2,h}) \in X'_{2,h} \times M'_{2,h}$  si et seulement si les conditions suivantes sont vérifiées :

- (i) il existe une constante  $\alpha > 0$  indépendante de  $h$  telle que,

$$\sup_{p_h \in V_{1,h}, \|p_h\|_{X_{1,h}} \leq 1} a_h(p_h, q_h) \geq \alpha \|q_h\|_{X_{2,h}}$$

- (ii)  $\dim M_{1,h} + \dim X_{1,h} = \dim M_{2,h} + \dim X_{2,h}$

- (iii) il existe une constante  $\beta_1 > 0$  telle que

$$\sup_{q_h \in X_{2,h}, \|q_h\|_{X_{2,h}} \leq 1} b_{1,h}(q_h, u_h) \geq \beta_1 \|u_h\|_{M_{1,h}}, \quad \forall u_h \in M_{1,h}$$

- (iv) il existe une constante  $\beta_2 > 0$  telle que

$$\sup_{p_h \in X_{1,h}, \|p_h\|_{X_{1,h}} \leq 1} b_{2,h}(p_h, v_h) \geq \beta_2 \|v_h\|_{M_{2,h}}, \quad \forall v_h \in M_{2,h}$$

## 2.3 Principe des schémas boîte

### 2.3.1 Introduction

Dans le cadre de l'équation de la chaleur, B. Courbet introduit un schéma boîte sur maillage triangulaire [14]. L'idée principale consiste à évaluer la moyenne par maille de la quantité conservée  $p$  en fonction de ses valeurs à l'interface de la maille. On obtient ainsi une formulation compacte du schéma : la moyenne ne dépend que des valeurs de  $u$  et  $p$  prises sur la boîte. La discrétisation des équations ne se fait que sur une maille, ce qui est particulièrement intéressant pour imposer les conditions limites sur la frontière. Sur cette idée, B. Courbet et J.-P. Croisille ont introduit le schéma boîte [15]. Ce schéma fait le lien entre le schéma boîte algébrique de B. Courbet [14] et les schémas de type éléments finis. Dans un premier temps, nous définissons les espaces d'éléments finis dont nous aurons besoin. Nous rappelons ensuite le schéma boîte de B. Courbet et J.-P. Croisille [15]. Nous décrivons enfin quelques principes généraux de construction de schémas boîte.

### 2.3.2 L'espace $P1$ non-conforme de Crouzeix-Raviart

L'espace  $P1$  non-conforme de Crouzeix-Raviart, [22], est l'espace des fonctions affines par morceaux, continues aux milieux des arêtes internes et nulles aux milieux des arêtes frontières. Il est noté :

$$P_{nc,0}^1 = \left\{ v_h \in L^2(\Omega), v_h|_K \in P^1(K), \forall K \in \mathcal{T}_h, \int_a v_h d\sigma = 0, \forall a \in \mathcal{A}_i, \int_a [v_h] d\sigma = 0, \forall a \in \mathcal{A}_b \right\}. \quad (2.26)$$

**Lemme 2.3.1 (Fonctions de base de l'espace  $P_{nc,0}^1$ )**

(i) Les degrés de liberté de l'espace  $P_{nc,0}^1$  sont les formes linéaires  $\{l_a\}_{a \in \mathcal{A}_i}$ , où  $l_a$  est défini par :

$$l_a(v_h) = \frac{1}{|a|} \int_a v_h d\sigma = v_h(M_a), \quad \forall v_h \in P_{nc,0}^1, \quad (2.27)$$

où  $M_a$  est le milieu de l'arête  $a$ .

(ii) La base globale de l'espace  $P_{nc,0}^1$  est  $(p_a)_{a \in \mathcal{A}_i}$  où  $p_a = 1 - 2\lambda_S$ ,  $\lambda_S(x, y)$  désigne les coordonnées barycentriques du point  $(x, y)$  par rapport au sommet  $S$  opposé à l'arête  $a$  (Figure 2.4).

(iii) En particulier, l'espace  $P_{nc,0}^1$  est de dimension  $N\mathcal{A}_i$ .

Par définition l'espace  $P_{nc,0}^1$  satisfait le lemme suivant :

**Lemme 2.3.2 (Patch test pour  $P_{nc,0}^1$ )**

L'espace  $P_{nc,0}^1$  satisfait le patch-test d'Irons et Razzaque : pour tout  $v_h \in P_{nc,0}^1$ , on a les relations

$$\begin{aligned} (i) \quad \forall a \in \mathcal{A}_i, \quad \int_a [v_h] p d\sigma &= 0, \quad p \in P^1(a), \\ (ii) \quad \forall a \in \mathcal{A}_b, \quad \int_a v_h p d\sigma &= 0, \quad p \in P^1(a). \end{aligned}$$

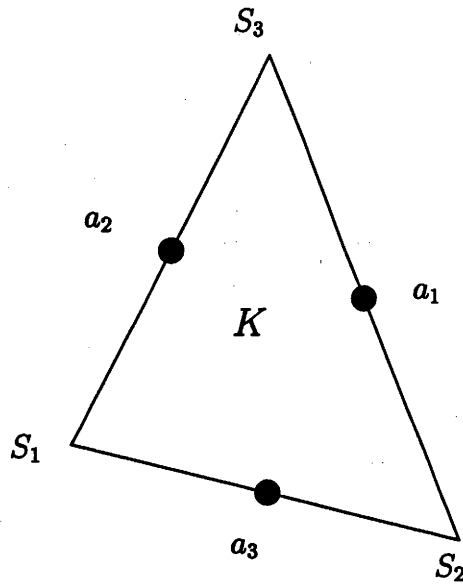


FIG. 2.4 - Degrés de liberté de  $P_{nc}^1$

Soit la semi-norme  $|\cdot|_h$  définie sur  $H_0^1(\Omega) + P_{nc,0}^1$  par

$$|u|_{1,h}^2 = \sum_{K \in \mathcal{T}_h} |\nabla u|_{1,K}^2$$

où  $|\cdot|_{1,K}$  est la semi-norme 1 sur un triangle  $K$ .

**Lemme 2.3.3 (Inégalité de Poincaré discrète pour  $H_0^1(\Omega) + P_{nc,0}^1$ , [30])**

*Il existe une constante  $C$  qui ne dépend que de  $\Omega$  telle que*

$$|u|_{0,h} \leq C|u|_{1,h}, \quad \forall u \in H_0^1(\Omega) + P_{nc,0}^1. \quad (2.28)$$

**Preuve :**

Soit  $u \in H_0^1(\Omega) + P_{nc,0}^1$ . Alors,

$$|u|_{0,\Omega} = \sup_{g \in L^2(\Omega)} \frac{|(u, g)_{0,\Omega}|}{|g|_{0,\Omega}} \quad (2.29)$$

Soit  $g \in L^2(\Omega)$ ,  $\exists p \in H^1(\Omega)^2$  tel que  $\text{div } p = g$  et  $\|p\|_{1,\Omega} \leq C|g|_{0,\Omega}$ . En remplaçant  $g$  par sa valeur, puis en intégrant par parties, on obtient

$$(u, g)_{0,\Omega} = (u, \text{div } p)_{0,\Omega} = - \underbrace{\sum_K \int_K \nabla u \cdot p \, dx}_{(I)} + \underbrace{\sum_K \int_{\partial K} p \cdot \nu u \, d\sigma}_{(II)} \quad (2.30)$$

(i) L'inégalité de Cauchy-Schwarz permet d'estimer  $|(I)|$  :

$$\left| \sum_K \int_K \nabla u \cdot p \, dx \right| \leq |u|_{1,h} |p|_{0,\Omega}.$$

(ii) Puisque  $p \in H^1(\Omega)^2 \cap H_{\text{div}}(\Omega)$ , sa composante normale le long d'une arête interne  $a$  est continue, (II) devient donc :

$$(II) = \sum_K \int_{\partial K} p \cdot \nu u \, d\sigma = \sum_{a \in \mathcal{A}_b} \int_a p \cdot \nu_a u \, d\sigma - \sum_{a \in \mathcal{A}_i} \int_a p \cdot \nu_a [u] \, d\sigma \quad (2.31)$$

Soit  $\overline{p \cdot \nu_a} = \frac{1}{|a|} \int_a p \cdot \nu_a \, d\sigma \in P^0(a)$  la moyenne de  $p \cdot \nu_a$  le long de l'arête  $a$ . L'espace  $H_0^1(\Omega) + P_{nc,0}^1$  satisfait le patch-test (Lemme 2.3.2), donc

$$\begin{aligned} \int_a \overline{p \cdot \nu_a} u \, d\sigma &= 0, \quad \forall a \in \mathcal{A}_b \\ \int_a \overline{p \cdot \nu_a} [u] \, d\sigma &= 0, \quad \forall a \in \mathcal{A}_i. \end{aligned} \quad (2.32)$$

L'égalité (2.31) devient :

$$\begin{aligned} \sum_K \int_{\partial K} p \cdot \nu u \, d\sigma &= \sum_{a \in \mathcal{A}_b} \int_a (p \cdot \nu_a - \overline{p \cdot \nu_a}) u \, d\sigma - \sum_{a \in \mathcal{A}_i} \int_a (p \cdot \nu_a - \overline{p \cdot \nu_a}) [u] \, d\sigma \\ &= \sum_K \sum_{e \in \partial K} \int_e (p \cdot \nu_e - \overline{p \cdot \nu_e}) u \, d\sigma \end{aligned}$$

Le Lemme 2.2.2 donne l'estimation

$$\left| \int_e (p \cdot \nu_e - \overline{p \cdot \nu_e}) u \, d\sigma \right| \leq C h_K |u|_{1,K} |p|_{1,K}$$

Ainsi,

$$|(II)| = \left| \sum_K \int_{\partial K} p \cdot \nu u \, d\sigma \right| \leq 3Ch |u|_{1,h} |p|_{1,\Omega}$$

Finalement,

$$|(u, g)_{0,\Omega}| \leq (Ch |p|_{1,\Omega} + |p|_{0,\Omega}) |u|_{1,h} \leq C |u|_{1,h} \|p\|_{1,\Omega}$$

Or,  $\|p\|_{1,\Omega} \leq C(\Omega) |g|_{0,\Omega}$ , d'où le résultat annoncé. ■

En particulier, nous avons le résultat suivant :

**Lemme 2.3.4** *La semi-norme d'énergie  $|\cdot|_{1,h}$  est une norme sur l'espace  $H_0^1(\Omega) + P_{nc,0}^1$ .*

### 2.3.3 L'espace $RT^0$ de Raviart-Thomas

L'espace  $RT^0$  est l'espace de Raviart-Thomas [39] de plus bas degré. Il est défini par

$$RT^0 = \left\{ q_h \in H_{\text{div}}(\Omega), \forall K \in \mathcal{T}_h, q_h|_K \in (P^0(K))^2 + P^0(K) \begin{pmatrix} x \\ y \end{pmatrix} \right\}. \quad (2.33)$$

La composante normale d'un élément  $q$  de  $RT^0$  est constante par arête. De plus  $RT^0 \subseteq H_{\text{div}}(\Omega)$ , on a en particulier la continuité le long d'une arête interne de la composante normale d'un élément de  $RT^0$ . C'est-à-dire, si  $a = \partial K_1 \cap \partial K_2$  est une arête interne du maillage, des triangles  $K_1$  et  $K_2$

$$p_{h,K_1}(x) \cdot \nu_a + p_{h,K_2}(x) \cdot \nu_a = 0, \quad \forall x \in a. \quad (2.34)$$

On en déduit

**Lemme 2.3.5 (Fonctions de base)**

(i)  $RT^0$  est un espace vectoriel de dimension  $NA$ , dont les degrés de liberté sont les formes linéaires  $\{L_a\}_{a \in \mathcal{A}}$ , où  $L_a$  est défini par :

$$L_a(q_h) = \frac{1}{|a|} \int_a q_h \cdot \nu_a \, d\sigma, \quad \forall q_h \in RT^0. \tag{2.35}$$

(ii) La base globale de l'espace  $RT^0$  est  $(P_a)_{a \in \mathcal{A}}$ , où  $P_a$  est défini par :

$$P_a(x, y) = P_{K_1, a}(x, y) \mathbb{1}_{K_1} - P_{K_2, a}(x, y) \mathbb{1}_{K_2}, \tag{2.36}$$

et sur chaque triangle  $K$ ,  $P_{K, a}$  est défini par :

$$P_{K, a}(x, y) = \frac{1}{2|K|} \begin{pmatrix} x - x_S \\ y - y_S \end{pmatrix}, \tag{2.37}$$

où  $S$  désigne toujours le sommet opposé à l'arête  $a$  (Figure 2.5).

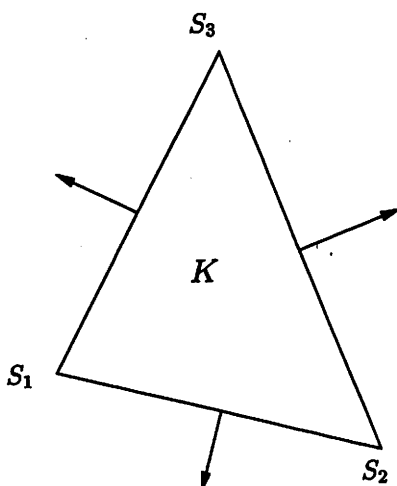


FIG. 2.5 – Degrés de liberté de  $RT^0(K)$

**2.3.4 Le schéma boîte de Courbet et Croisille**

Illustrons la méthode boîte, dans le cas du schéma boîte de Courbet et Croisille, [15]. Après introduction d'une variable auxiliaire  $p = \nabla u$ , le problème de Poisson homogène (2.1) devient

$$\begin{cases} \operatorname{div} p + f = 0, & \text{sur } \Omega \\ p - \nabla u = 0, & \text{sur } \Omega \\ u = 0, & \text{sur } \Gamma. \end{cases} \tag{2.38}$$

On intègre les équations (2.38) sur chaque cellule  $K$  du maillage. On obtient le système (2.39), dont la solution continue  $(u, p)$  de (2.38) est solution

$$\begin{cases} \int_K (\operatorname{div} p + f) dx = 0, & \forall K \in \mathcal{T}_h \\ \int_K (p - \nabla u) dx = 0, & \forall K \in \mathcal{T}_h \\ u|_{\Gamma} = 0. \end{cases} \quad (2.39)$$

Approchons les inconnues du problème continu  $u$  et  $p$  respectivement par les inconnues discrètes  $u_h \in M_{1,h}$  et  $p_h \in X_{1,h}$ , où  $M_{1,h}$  et  $X_{1,h}$  sont des espaces d'éléments finis approchant les espaces continus  $H_0^1(\Omega)$  et  $H_{\operatorname{div}}(\Omega)$ . Considérons le problème approché : chercher  $(u_h, p_h) \in M_{1,h} \times X_{1,h}$  tel que

$$\begin{cases} \int_K (\operatorname{div} p_h + f) dx = 0, & \forall K \in \mathcal{T}_h \\ \int_K (p_h - \nabla u_h) dx = 0, & \forall K \in \mathcal{T}_h \\ u_h|_{\Gamma} = 0. \end{cases} \quad (2.40)$$

En appliquant la formule de Green sur un triangle  $K$ , l'équation (2.40) devient :

$$\begin{cases} \sum_{e \in \partial K} \int_e p_h \cdot \nu_e d\sigma + |K| \Pi^0 f = 0, & \forall K \in \mathcal{T}_h \\ |K| (\Pi^0 p_h)_K - \sum_{e \in \partial K} \left( \int_e u_h d\sigma \right) \nu_e = 0, & \forall K \in \mathcal{T}_h \\ u_h|_{\Gamma} = 0. \end{cases} \quad (2.41)$$

Cette réécriture du problème fait apparaître un choix naturel de degrés de liberté pour  $u_h$  et  $p_h$  donnés par les moyennes d'arêtes :

$$\begin{cases} \int_e u_h d\sigma, & \forall e \in \mathcal{A} \\ \int_e p_h \cdot \nu_e d\sigma, & \forall e \in \mathcal{A} \end{cases} \quad (2.42)$$

Pour que le problème discret soit bien posé, il est nécessaire de choisir des espaces d'inconnues  $M_{1,h}$  et  $X_{1,h}$  tels que le nombre global d'inconnues soit égal au nombre d'équations du système (2.41). C'est-à-dire  $3NE + NA_b$  équations, ou encore  $2NA$  équations (en utilisant la deuxième relation d'Euler). Le choix de  $2NA$  inconnues suggéré par (2.42) satisfait donc la relation

nombre d'équations discrètes = nombre d'inconnues discrètes.

D'autre part, les degrés de liberté donnés par (2.42), correspondent aux degrés de liberté des espaces  $P_{nc,0}^1$  de Crouzeix-Raviart défini au paragraphe 2.3.2 et  $RT^0$ , l'espace de Raviart-Thomas de plus bas degré défini au paragraphe 2.3.3. Choisissons donc  $M_{1,h} = P_{nc,0}^1$  et

$X_{1,h} = RT^0$ . Revenons à la formulation (2.40). Elle est encore équivalente à chercher  $(u_h, p_h) \in P_{nc,0}^1 \times RT^0$  tel que

$$\begin{cases} \sum_K \int_K (\operatorname{div} p_h + f) v_h dx = 0, & v_h \in P^0 \\ \sum_K \int_K (p_h - \nabla u_h) \cdot q_h dx = 0, & q_h \in (P^0)^2. \end{cases} \quad (2.43)$$

Notons :

$$X_{2,h} = \left\{ q_h \in (L^2(\Omega))^2 ; q_{h|K} \in (P^0(K))^2, \quad \forall K \in \mathcal{T}_h \right\} \quad (2.44)$$

le sous-espace vectoriel de  $\mathbb{R}^2$ , des polynômes constants par triangle, totalement discontinus, de dimension  $\dim X_{2,h} = 2NE$  et

$$M_{2,h} = \left\{ v_h \in L^2(\Omega) ; v_{h|K} \in P^0(K), \quad \forall K \in \mathcal{T}_h \right\} \quad (2.45)$$

l'espace des polynômes constants par triangle totalement discontinus, de dimension  $\dim M_{2,h} = NE$ . On note aussi ces espaces  $(P^0)^2$  et  $P^0$ . Le problème (2.43) se réécrit : chercher  $(u_h, p_h) \in M_{1,h} \times X_{1,h}$  tel que

$$\begin{cases} \sum_K \int_K (\operatorname{div} p_h + f) v_h dx = 0, & v_h \in M_{2,h} \\ \sum_K \int_K (p_h - \nabla u_h) \cdot q_h dx = 0, & q_h \in X_{2,h}. \end{cases} \quad (2.46)$$

### Définition 2.3.1 (Le schéma boîte de Courbet et Croisille)

On définit le schéma boîte suivant associé au problème de Poisson (2.1) comme étant le problème discret : chercher  $(u_h, p_h) \in P_{nc,0}^1 \times RT^0$  tel que

$$\begin{cases} \sum_K \int_K (\operatorname{div} p_h + f) v_h dx = 0, & \forall v_h \in P^0 \\ \sum_K \int_K (p_h - \nabla u_h) \cdot q_h dx = 0, & \forall q_h \in (P^0)^2. \end{cases} \quad (2.47)$$

C'est une formulation mixte de type "Petrov-Galerkin", c'est-à-dire que les espaces d'approximation  $M_{1,h} = P_{nc,0}^1$  et  $X_{1,h} = RT^0$  sont des espaces d'éléments finis, distincts des espaces test  $M_{2,h} = P^0$  et  $X_{2,h} = (P^0)^2$ . L'espace discret  $X_{1,h}$  est un espace d'éléments finis de type conforme ( $X_{1,h} \subseteq H_{\operatorname{div}}(\Omega)$ ) mais l'espace  $M_{1,h}$  est de type non-conforme ( $M_{1,h} \not\subseteq H_0^1(\Omega)$ ).

**Lemme 2.3.6** Les espaces d'inconnues et les espaces de fonctions test satisfont la relation d'égalité des dimensions :

$$\dim P_{nc,0}^1 + \dim RT^0 = \dim P^0 + \dim (P^0)^2. \quad (2.48)$$

Par la suite pour définir des schémas d'ordre plus élevé, nous veillerons à choisir des espaces  $M_{1,h}$ ,  $X_{1,h}$ ,  $M_{2,h}$  et  $X_{2,h}$  satisfaisant la relation d'égalité des dimensions des espaces

$$\dim M_{1,h} + \dim X_{1,h} = \dim M_{2,h} + \dim X_{2,h} \quad (2.49)$$

**Lemme 2.3.7** *Le schéma boîte (2.47) a une unique solution  $(u_h, p_h) \in P_{nc,0}^1 \times RT^0$ .*

**Preuve :**

Rappelons brièvement la preuve, [15]. Le problème (2.47) est linéaire avec autant d'équations que d'inconnues, il suffit donc de prouver que  $f \equiv 0$  implique  $u_h = 0$  et  $p_h = 0$ . D'après la définition de  $RT^0$ ,  $f = 0$  dans l'équation (2.47)<sub>1</sub> entraîne que  $\operatorname{div} p_{h|K} = 0$ , sur chaque triangle  $K$ , donc localement,  $p_{h|K} \in (P^0(K))^2$ . Le choix  $q_h = p_h$  dans l'équation (2.47)<sub>2</sub> donne  $\sum_K |p_h|_{0,K}^2 = 0$ , c'est-à-dire  $p_h \equiv 0$ . D'autre part,  $\nabla u_{h|K} \in (P^0(K))^2$ , donc le choix  $q_h = \nabla u_h$  dans l'équation (2.47)<sub>2</sub> donne  $\nabla u_h = 0$ . Donc  $u_h$  est constante par triangle, on conclut que  $u_h = 0$  en utilisant la continuité de  $u_h$  au milieu des arêtes internes et la nullité de  $u_h$  au milieu des arêtes frontières. ■

**Proposition 2.3.1** *Le problème (2.47) est équivalent à chercher  $(u_h, p_h) \in P_{nc,0}^1 \times RT^0$  tel que :*

(i)  $u_h \in P_{nc,0}^1$  est solution du problème :

$$\sum_K (\nabla u_h, \nabla v_h)_{0,K} = \sum_K (\Pi^0 f|_K, v_h)_{0,K}, \quad \forall v_h \in P_{nc,0}^1 \quad (2.50)$$

(ii)  $p_h$  est donné localement par

$$p_{h|K}(x) = \nabla u_{h|K}(x) - \frac{(\Pi^0 f)_K}{2} \overrightarrow{G_K x} \quad (2.51)$$

où  $G_K(x_K, y_K)$  est le centre de gravité du triangle  $K$ .

**Preuve :**

(i) Soit  $v_h \in P_{nc,0}^1$ , en prenant  $q_h = \nabla v_h \in (P^0)^2$  dans l'équation (2.47)<sub>2</sub>, puis en intégrant par parties, on obtient

$$\begin{aligned} \sum_K (\nabla u_h, \nabla v_h)_{0,K} &= \sum_K (p_h, \nabla v_h)_{0,K} \\ &= - \sum_K (\operatorname{div} p_h, v_h)_{0,K} + \sum_K \int_{\partial K} p_h \cdot \nu v_h d\sigma \end{aligned} \quad (2.52)$$

Puisque  $p_h \in RT^0(K)$ , sa divergence est constante par triangle. Donc l'équation (2.47)<sub>1</sub> implique que  $\operatorname{div} p_{h|K} = -(\Pi^0 f)|_K$ . D'autre part,  $p_h$  vérifie la relation (2.34) de continuité de la composante normale de  $p_h$ , donc (2.52) est équivalente à

$$\sum_K (\nabla u_h, \nabla v_h)_{0,K} = \sum_K (\Pi^0 f, v_h)_{0,K} + \sum_{a \in \mathcal{A}_b} \int_a p_h \cdot \nu_a v_h d\sigma - \sum_{a \in \mathcal{A}_i} \int_a p_h \cdot \nu_a [v_h] d\sigma$$

Or,  $p_h \cdot \nu_a \in P^0(a)$  et  $v_h \in P_{nc,0}^1$ , en particulier  $\int_a p_h \cdot \nu_a v_h d\sigma = 0$  si  $a$  est une arête frontière et  $\int_a p_h \cdot \nu_a [v_h] d\sigma = 0$  si  $a$  est une arête interne. Donc

$$\sum_K (\nabla u_h, \nabla v_h)_{0,K} = \sum_K (\Pi^0 f, v_h)_{0,K}$$

(ii) Le flux discret  $p_h \in RT^0(K)$ , est donné localement par

$$p_{h|K} = (\Pi^0 p_h)_{|K} + \frac{\operatorname{div} p_{h|K}}{2} \begin{pmatrix} x - x_K \\ y - y_K \end{pmatrix}$$

Nous avons vu précédemment que  $\operatorname{div} p_{h|K} = -(\Pi^0 f)_{|K}$ . L'équation (2.47)<sub>2</sub> implique que  $(\Pi^0 p_h)_{|K} = (\Pi^0 \nabla u_h)_{|K} = \nabla u_{h|K}$ , puisque  $\nabla u_{h|K} \in P^0(K)$ . D'où on déduit le résultat. ■

### Proposition 2.3.2 (Stabilité)

La solution  $(u_h, p_h) \in P_{nc,0}^1 \times RT^0$  du schéma (2.47) vérifie

$$\|u_h\|_{1,h} + \|p_h\|_{\operatorname{div},\Omega} \leq C |f|_{0,\Omega}$$

**Preuve :**

D'après la formulation équivalente de la Proposition 2.3.1, le choix  $v_h = u_h$  dans l'équation (2.50) donne

$$|u_h|_{1,h} \leq C |f|_{0,\Omega}. \quad (2.53)$$

En utilisant le Lemme de Poincaré 2.3.3, on déduit que

$$\|u_h\|_{1,h} \leq C |f|_{0,\Omega}. \quad (2.54)$$

De plus l'écriture locale de  $p_h$  (2.51) donne  $|p_h|_{0,\Omega} \leq |u_h|_{1,h} + C h |f|_{0,\Omega}$ . Ce qui donne en combinant avec (2.53)

$$|p_h|_{0,\Omega} \leq C |f|_{0,\Omega}.$$

De plus,  $\operatorname{div} p_{h|K} = -(\Pi^0 f)_{|K}$ , on en déduit donc que

$$\|p_h\|_{\operatorname{div},\Omega} \leq C |f|_{0,\Omega}.$$

D'où le résultat. ■

Cette combinaison des espaces  $P_{nc,0}^1$  et  $RT^0$  dans le schéma boîte (2.47) donne une bonne approximation à la fois de l'inconnue scalaire  $u$  et de l'inconnue de gradient  $\nabla u$ . En effet :

### Proposition 2.3.3 (Estimations d'erreur a priori)

Soit  $(u, p) \in H_0^1(\Omega) \times H_{\operatorname{div}}(\Omega)$  la solution du problème continu (2.2). Soit  $(u_h, p_h) \in P_{nc,0}^1 \times RT^0$ , la solution du schéma boîte (2.47). Si  $u \in H^2(\Omega)$  et  $f \in H^1(\Omega)$ , alors on a les estimations d'erreur suivantes :

$$\begin{aligned} (i) & |u - u_h|_{1,h} \leq C h |f|_{0,\Omega} \quad ; \quad (ii) |u - u_h|_{0,\Omega} \leq C h^2 |f|_{0,\Omega} \\ (iii) & |p - p_h|_{0,\Omega} \leq C h |f|_{0,\Omega} \quad ; \quad (iv) |p - p_h|_{\operatorname{div},\Omega} \leq C h |f|_{1,\Omega} \end{aligned} \quad (2.55)$$

**Preuve :**

Rappelons la démonstration de [15]. Nous supposons que  $u \in H^2(\Omega)$ .

(i) Notons  $a_h$  la forme bilinéaire définie sur l'espace  $H_0^1(\Omega) + P_{nc,0}^1$  par

$$a_h(u, v) = \sum_K (\nabla u, \nabla v)_{0,K}, \quad \forall u, v \in H_0^1(\Omega) + P_{nc,0}^1.$$

Pour tout  $v_h \in P_{nc,0}^1$ , on a

$$|u - u_h|_{1,h} \leq |u - v_h|_{1,h} + |u_h - v_h|_{1,h}$$

Or, par définition de  $a_h$ ,

$$\begin{aligned} |u_h - v_h|_{1,h}^2 &= a_h(u_h - v_h, u_h - v_h) \\ &= a_h(u_h - u, u_h - v_h) + a_h(u - v_h, u_h - v_h) \end{aligned} \quad (2.56)$$

Donc

$$|u_h - v_h|_{1,h} \leq \sup_{v_h \in P_{nc,0}^1} \frac{|a_h(u_h - u, u_h - v_h)|}{|u_h - v_h|_{1,h}} + |u - v_h|_{1,h} \quad (2.57)$$

ce qui donne :

$$|u - u_h|_{1,h} \leq 2 \underbrace{\inf_{w_h \in P_{nc,0}^1} |u - w_h|_{1,h}}_{(I)} + \underbrace{\sup_{w_h \in P_{nc,0}^1} \frac{|a_h(u_h - u, w_h)|}{|w_h|_{1,h}}}_{(II)} \quad (2.58)$$

• Estimons l'erreur de consistance (II). Soit  $w_h \in P_{nc,0}^1$ ,

$$\begin{aligned} a_h(u_h - u, w_h) &= \sum_K \int_K \nabla(u_h - u) \cdot \nabla w_h \, dx \\ &= \sum_K \int_K \nabla u_h \cdot \nabla w_h \, dx - \sum_K \int_K \nabla u \cdot \nabla w_h \, dx \end{aligned}$$

Soit encore, puisque  $u_h$  est solution de la formulation variationnelle (2.50)

$$a_h(u_h - u, w_h) = \sum_K (\Pi^0 f, w_h)_{0,K} + \sum_K \int_K \Delta u \, w_h \, dx - \sum_K \int_{\partial K} (\nabla u \cdot \nu) \, w_h \, d\sigma \quad (2.59)$$

Or,  $-\Delta u = f$  dans  $L^2(\Omega)$ , donc

$$a_h(u_h - u, w_h) = \sum_K \int_K (\Pi^0 f - f) \, w_h \, dx - \sum_K \int_{\partial K} (\nabla u \cdot \nu) \, w_h \, d\sigma \quad (2.60)$$

Notons  $L_u$  la forme linéaire définie sur l'espace  $H_0^1(\Omega) + P_{nc,0}^1$  par :

$$L_u(w_h) = \sum_K \int_{\partial K} (\nabla u \cdot \nu) \, w_h \, d\sigma, \quad \forall u \in H_0^1(\Omega) \cap H^2(\Omega)$$

Estimons le terme  $L_u(w_h)$  pour  $u \in H_0^1(\Omega) \cap H^2(\Omega)$  :

$$L_u(w_h) = \sum_K \int_{\partial K} (\nabla u \cdot \nu) w_h d\sigma = - \sum_{a \in \mathcal{A}_i} \int_a \nabla u \cdot \nu_a [w_h] d\sigma + \sum_{a \in \mathcal{A}_b} \int_a \nabla u \cdot \nu_a w_h d\sigma \quad (2.61)$$

Soit  $P^0(a)$  la restriction à l'arête  $a$  des polynômes constants. On définit la moyenne de  $v$  sur l'arête  $a$  par  $\bar{v} = \frac{1}{a} \int_a v d\sigma \in P^0(a)$ . Or,  $P_{nc,0}^1$  satisfait le patch-test (Lemme 2.3.2),  $w_h \in P_{nc,0}^1$  et  $\overline{\nabla u \cdot \nu_a} \in P^0(a)$ , ce qui donne

$$\int_a \nabla u \cdot \nu_a [w_h] d\sigma = \int_a (\nabla u \cdot \nu_a - \overline{\nabla u \cdot \nu_a}) [w_h] d\sigma, \quad a \in \mathcal{A}_i$$

et

$$\int_a \nabla u \cdot \nu_a w_h d\sigma = \int_a (\nabla u \cdot \nu_a - \overline{\nabla u \cdot \nu_a}) w_h d\sigma, \quad a \in \mathcal{A}_b.$$

Ainsi, l'équation (2.61) est équivalente à :

$$\begin{aligned} L_u(w_h) &= - \sum_{a \in \mathcal{A}_i} \int_a (\nabla u \cdot \nu_a - \overline{\nabla u \cdot \nu_a}) [w_h] d\sigma \\ &\quad + \sum_{a \in \mathcal{A}_b} \int_a (\nabla u \cdot \nu_a - \overline{\nabla u \cdot \nu_a}) w_h d\sigma \\ &= \sum_{K \in \mathcal{K}} \sum_{e \in \partial K} \int_e (\nabla u \cdot \nu_e - \overline{\nabla u \cdot \nu_e}) w_h d\sigma \end{aligned} \quad (2.62)$$

En appliquant le Lemme 2.2.2 ( $k = 0$ ,  $m = 0$ ), on obtient l'estimation

$$\left| \int_e (\nabla u \cdot \nu_e - \overline{\nabla u \cdot \nu_e}) w_h d\sigma \right| \leq C \sigma_K h_K |w_h|_{1,K} |\nabla u|_{1,K}$$

$L_u(w_h)$  est donc majoré par :

$$|L_u(w_h)| \leq C_1 h |w_h|_{1,h} |u|_{2,\Omega}. \quad (2.63)$$

Estimons maintenant le terme  $\sum_K \int_K (\Pi^0 f - f) w_h dx$ .

Par définition de  $\Pi^0$ , opérateur de projection sur les polynômes constants,

$$\sum_K \int_K (\Pi^0 f - f) w_h dx = - \sum_K \int_K f (w_h - \Pi^0 w_h) dx.$$

Ainsi, nous obtenons en utilisant l'inégalité de Cauchy-Schwarz et l'estimation (2.20) :

$$\begin{aligned} \left| \sum_K \int_K (\Pi^0 f - f) w_h dx \right| &\leq \sum_K |f|_{0,K} |w_h - \Pi^0 w_h|_{0,K} \\ &\leq \sum_K |f|_{0,K} (C_2 h_K |w_h|_{1,K}) \\ &\leq C_2 h |f|_{0,\Omega} |w_h|_{1,h}. \end{aligned} \quad (2.64)$$

Donc en remplaçant (2.63) et (2.64) dans (2.60), on a l'estimation de  $a_h(u_h - u, w_h)$  : pour tout  $w_h \in P_{nc,0}^1$

$$\begin{aligned} |a_h(u_h - u, w_h)| &\leq C_1 h |w_h|_{1,h} |u|_{2,\Omega} + C_2 h |f|_{0,\Omega} |w_h|_{1,h} \\ &\leq C h |w_h|_{1,h} |f|_{0,\Omega} \end{aligned}$$

Donc (II)  $\leq C h |f|_{0,\Omega}$ .

• D'autre part, en notant  $\Pi_h^1$  l'opérateur de projection  $P^2$ -Lagrange des fonctions de  $L^2(\Omega)$  sur l'espace  $P_{c,0}^1$  et par inclusion de  $P_{c,0}^1$  dans  $P_{nc,0}^1$ , on obtient l'estimation de l'erreur d'approximation (I), donnée par le Lemme 2.2.1,

$$(I) = \inf_{w_h \in P_{nc,0}^1} |u - w_h|_{1,h} \leq |u - \Pi_h^1 u|_{1,h} \leq C_3 h |u|_{2,\Omega} \leq C_3 h |f|_{0,\Omega}$$

Ceci nous permet de conclure en regroupant les termes (I) et (II) dans (2.58) que

$$|u - u_h|_{1,h} \leq C h |f|_{0,\Omega}$$

Nous avons ainsi démontré l'assertion (i).

(ii) Ce résultat se démontre par un argument de type Aubin-Nitsche. Nous ne démontrons pas ce résultat dans l'immédiat. Cette démonstration est analogue à celle réalisée dans la preuve de la Proposition 2.5.2, que nous détaillerons au Paragraphe 2.5.

(iii) En utilisant l'écriture locale (2.51) de  $p_h$  et la définition de  $p$ , on obtient l'inégalité

$$\begin{aligned} |p - p_h|_{0,\Omega}^2 &\leq \sum_K |\nabla u - \nabla u_h|_{0,K}^2 + \sum_K \left| \frac{(\Pi^0 f)_K}{2} \overrightarrow{G_K x} \right|_{0,K}^2 \\ &\leq |u - u_h|_{1,h}^2 + C h |f|_{0,\Omega}^2 \end{aligned}$$

En utilisant (i), on déduit l'assertion (iii).

(iv)  $|p - p_h|_{\text{div},\Omega}^2 = \sum_K |\text{div } p - \text{div } p_h|_{0,K}^2$ . Or, nous savons que le flux du problème continu vérifie  $\text{div } p = -f$ , d'autre part, nous avons vu précédemment que  $\text{div } p_h|_K = -(\Pi^0 f)|_K$ . On obtient donc  $|p - p_h|_{\text{div},\Omega}^2 = \sum_K |f - \Pi^0 f|_{0,K}^2$ . Le Lemme 2.2.1 (i) permet de conclure. ■

De plus, la solution du schéma boîte (2.47) est donnée en fonction de la solution du problème classique de Raviart-Thomas : chercher  $(\bar{u}_h, \bar{p}_h) \in P^0 \times RT^0$  tel que

$$\begin{cases} (\text{div } \bar{p}_h + f, \bar{v}_h)_{0,\Omega} = 0, & \forall \bar{v}_h \in P^0 \\ (\bar{p}_h, \bar{q}_h)_{0,\Omega} - (\bar{u}_h, \nabla \cdot \bar{q}_h)_{0,\Omega} = 0, & \forall \bar{q}_h \in RT^0 \end{cases} \quad (2.65)$$

**Proposition 2.3.4 (Lien avec le problème mixte classique de Raviart-Thomas)**

Soit  $(\bar{u}_h, \bar{p}_h)$  la solution du problème mixte classique de Raviart-Thomas (2.65), alors la solution  $(u_h, p_h)$  du schéma boîte (2.47) est telle que :

$$p_h = \bar{p}_h \quad \text{et} \quad \bar{u}_h = \Pi^0 u_h + \frac{1}{4} \sum_K (\Pi^0 f)_K R_K^2 \mathbb{1}_K$$

où  $R_K$  est le rayon de giration du triangle  $K$ , c'est-à-dire  $R_K^2 = \frac{1}{|K|} \int_K \|\vec{G}_K x\|^2 dx$ ,  $G_K$  étant le centre du triangle  $K$ .

La preuve de ce résultat est donnée dans [16].

Dans le cas plus général du problème de Poisson avec tenseur de diffusion, Chou et al. [10] ont généralisé le schéma boîte (2.47) pour le problème

$$\begin{cases} -\operatorname{div}(\mathcal{K}\nabla u) = f, & \text{sur } \Omega \\ u = 0, & \text{sur } \Gamma \end{cases} \quad (2.66)$$

Ils proposent le schéma suivant : chercher  $(u_h, p_h) \in P_{nc,0}^1 \times RT^0$  solution de

$$\begin{cases} \sum_K (\operatorname{div} p_h + f, v_h)_{0,K} = 0, \quad \forall v_h \in P^0 \\ \sum_K (p_h - \mathcal{K}\nabla u_h, q_h)_{0,K} = 0, \quad \forall q_h \in (P^0)^2 \end{cases} \quad (2.67)$$

qui admet une unique solution. telle que

$$\sum_K (\mathcal{K}\nabla u_h, \nabla v_h)_{0,K} = \sum_K (\Pi^0 f|_K, v_h)_{0,K}, \quad \forall v_h \in P_{nc,0}^1$$

$$p_{h|K}(x) = \Pi^0 \mathcal{K}|_K \nabla u_{h|K}(x) - \frac{(\Pi^0 f)_K}{2} \overrightarrow{G_K x}$$

Grâce à cette formulation, ils obtiennent des estimations d'erreur similaires à celles obtenues dans la Proposition 2.3.3, mais dépendantes de  $\|\mathcal{K}\|_\infty$ .

### 2.3.5 Principe général des schémas boîte

Soient  $M_{1,h}$  et  $X_{1,h}$  des espaces d'éléments finis pour les espaces de fonctions inconnues  $u_h$  et  $p_h$ , approximations de la variable primale  $u$  et du flux  $p$  du problème (2.2). Dans la suite, les espaces  $M_{1,h}$  et  $X_{1,h}$  d'approximation des espaces  $H_0^1(\Omega)$  et  $H_{\operatorname{div}}(\Omega)$  seront de type non-conforme, puisque  $X_{1,h} \not\subseteq H_{\operatorname{div}}(\Omega)$  ou  $M_{1,h} \not\subseteq H_0^1(\Omega)$ .

Soient les espaces  $H_0^1(\Omega) + M_{1,h}$  et  $H_{\operatorname{div}}(\Omega) + X_{1,h}$ , munis respectivement des normes dépendantes du maillage :

$$|u|_{1,h} = \left( \sum_K |\nabla u|_{0,K}^2 \right)^{1/2}; \quad \|u\|_{1,h} = \left( |u|_{0,\Omega}^2 + |u|_{1,h}^2 \right)^{1/2}, \quad \forall u \in H_0^1(\Omega) + M_{1,h}. \quad (2.68)$$

$$|p|_{\operatorname{div},h} = \left( \sum_K |\operatorname{div} p|_{0,K}^2 \right)^{1/2}; \quad \|p\|_{\operatorname{div},h} = \left( |p|_{0,\Omega}^2 + |p|_{\operatorname{div},h}^2 \right)^{1/2}, \quad \forall p \in H_{\operatorname{div}}(\Omega) + X_{1,h}. \quad (2.69)$$

Les espaces de fonctions test, notés  $M_{2,h}$  et  $X_{2,h}$  sont des espaces de polynômes totalement discontinus par triangle.

**Définition 2.3.2** *Le schéma boîte associé à la formulation mixte de type Petrov-Galerkin (2.2) s'écrit : chercher  $(u_h, p_h) \in M_{1,h} \times X_{1,h}$  tel que*

$$\begin{cases} \sum_K \int_K (\operatorname{div} p_h + f) v_h dx = 0, & \forall v_h \in M_{2,h} \\ \sum_K \int_K (p_h - \nabla u_h) \cdot q_h dx = 0, & \forall q_h \in X_{2,h} \end{cases} \quad (2.70)$$

Pour que le problème (2.70) soit bien posé, les espaces  $M_{1,h}$ ,  $X_{1,h}$ ,  $M_{2,h}$ ,  $X_{2,h}$  doivent satisfaire la condition nécessaire (2.49) donnée par :

$$\dim M_{1,h} + \dim X_{1,h} = \dim M_{2,h} + \dim X_{2,h}$$

Une des difficultés réside dans le choix des espaces  $M_{1,h}$ ,  $X_{1,h}$ ,  $M_{2,h}$  et  $X_{2,h}$  satisfaisant cette relation. Les espaces produits  $M_{1,h} \times X_{1,h}$  et  $M_{2,h} \times X_{2,h}$  doivent vérifier les conditions de compatibilité du Théorème 2.2.3 de Babuška-Brezzi discret qui assure l'existence et l'unicité de la solution ainsi que sa stabilité. Dans la suite, nous allons construire plusieurs schémas boîte satisfaisant à ces principes.

## 2.4 Schémas boîte quadratiques

Nous cherchons maintenant à construire des schémas boîte d'ordre plus élevé sur le principe du schéma de Courbet et Croisille. De façon naturelle nous considérons l'espace  $P^2$  non-conforme des polynômes quadratiques, [28]. Nous utilisons dans la suite  $M_{1,h} = P_{nc,0}^2$  pour approcher  $u$ . Avant d'aborder la description de quelques schémas boîte du type (2.70) aux Paragraphes 2.5 et 2.6, nous rappelons dans cette section les propriétés des espaces d'approximation pour  $u$  et son gradient.

### 2.4.1 L'espace d'éléments finis $P_{c,0}^2$

L'espace d'éléments finis  $P_c^2$  est l'espace des polynômes quadratiques sur chaque triangle ( $P^2(K)$ ), continus sur le domaine  $\Omega$ . C'est l'espace  $P^2$ -Lagrange [30], [40], défini par

$$P_c^2 = \left\{ v_h \in C^0(\bar{\Omega}); v_{h|K} \in P^2(K), \forall K \in \mathcal{T}_h \right\}.$$

La restriction de l'espace  $P_c^2$  aux fonctions nulles sur la frontière est noté  $P_{c,0}^2$ .

$$P_{c,0}^2 = \left\{ v_h \in P_c^2; v_{h|\Gamma} = 0 \right\}.$$

En particulier, les espaces  $P_c^2$  et  $P_{c,0}^2$  sont des espaces conformes dans  $H^1(\Omega)$  et  $H_0^1(\Omega)$ .

**Lemme 2.4.1 (Fonctions de base de  $P_c^2$ )**

(i) Les degrés de liberté de l'espace  $P_c^2$  sont les fonctions

$$\{l_i\}_{1 \leq i \leq NP} \cup \{l_{ij}\}_{1 \leq ij \leq NA}, \quad (2.71)$$

où  $l_i(v) = v(S_i)$  et  $l_{ij}(v) = \frac{1}{|a|} \int_a v d\sigma$ .

(ii) La base globale de l'espace  $P_c^2$  est

$$\{p_i\}_{1 \leq i \leq NP} \cup \{p_{ij}\}_{1 \leq ij \leq NA}, \quad (2.72)$$

où  $p_i = \lambda_i$  et  $p_{ij} = 4 \lambda_i \lambda_j$ .

Les espaces  $P_c^2$  et  $P_{c,0}^2$  sont respectivement de dimension  $NA + NP$  et  $NA_i + NP_i$ . Les degrés de liberté sont situés aux noeuds et au milieu des arêtes du maillage (Figure 2.6).

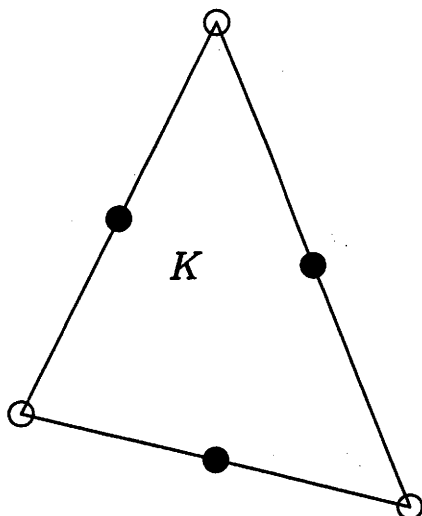


FIG. 2.6 – Degrés de liberté de l'espace  $P_c^2$

### 2.4.2 L'espace d'éléments finis $P_{nc}^2$

La formule de quadrature de Gauss à deux points permet d'intégrer exactement les polynômes de degré 3 sur un segment. Soit  $f$  un polynôme de degré 3 sur le segment  $[0, 1]$ . On note  $g_1$  et  $g_2$  les abscisses des deux points de Gauss du segment  $[0, 1]$  définies par

$$g_1 = \frac{1}{2}\left(1 + \frac{\sqrt{3}}{3}\right) \quad \text{et} \quad g_2 = \frac{1}{2}\left(1 - \frac{\sqrt{3}}{3}\right).$$

Alors, la formule d'intégration exacte aux deux points de Gauss est

$$\int_0^1 f(x) dx = \frac{1}{2}(f(g_1) + f(g_2)). \tag{2.73}$$

Fortin et Soulie [28] ont défini l'espace d'éléments finis  $P^2$  non-conforme, noté  $P_{nc}^2$ , des polynômes quadratiques sur chaque triangle continu aux deux points de Gauss des arêtes internes du maillage :

$$P_{nc}^2 = \left\{ v_h \in L^2(\Omega); \forall K \in \mathcal{T}_h, v_h|_K \in P^2(K), \forall a \in \mathcal{A}_i, \int_a [v_h] d\sigma = 0 \right\}.$$

L'espace  $P_{nc}^2$  est non-conforme dans  $H^1(\Omega)$ , puisqu'il n'y a pas existence de la trace d'une fonction de  $P_{nc}^2$  au niveau des arêtes internes du maillage.

Soient  $g_1, g_2, g_3, g_4, g_5$  et  $g_6$  les six points de Gauss des trois arêtes du triangle  $K$ , représentés sur la Figure 2.7. La définition de l'espace  $P_{nc}^2$  suggère de choisir comme degrés de liberté les valeurs des fonctions  $v_h \in P_{nc}^2$  aux six points de Gauss par triangle. Mais ces valeurs ne forment pas un ensemble unisolvant puisque, sur chaque triangle  $K$ , il existe une relation linéaire (2.74) qui lie ces six points [28] :

$$v(g_1) - v(g_2) + v(g_3) - v(g_4) + v(g_5) - v(g_6) = 0, \quad \forall v \in P^2(K). \tag{2.74}$$

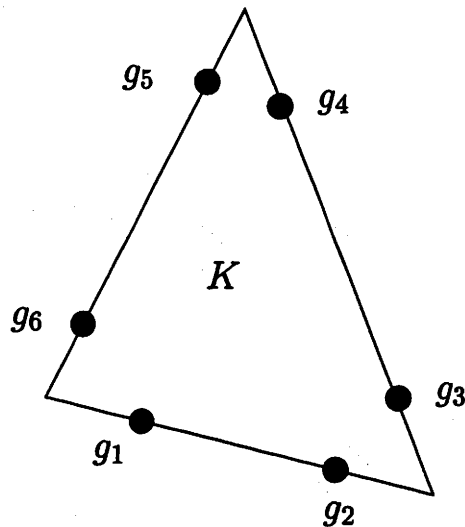


FIG. 2.7 – Points de Gauss d'un triangle  $K$

**Lemme 2.4.2 (Bulle non-conforme de  $P^2$ )**

Soit  $\mu$  l'application linéaire définie par

$$\begin{aligned} \mu : P^2(K) &\longrightarrow \mathbb{R}^6 \\ v &\longmapsto (v(g_i))_{1 \leq i \leq 6} \end{aligned}$$

où  $g_i$  désigne le  $i^{\text{e}}$  point de Gauss du triangle  $K$  (Figure 2.7). Alors, le noyau de  $\mu$ ,  $\text{Ker } \mu$ , est de dimension 1 et est engendré par la bulle non-conforme quadratique notée  $b_K$ , où

$$b_K = 2 - 3(\lambda_1^2 + \lambda_2^2 + \lambda_3^2),$$

où  $\lambda_1, \lambda_2, \lambda_3$  désignent les coordonnées barycentriques associées aux sommets respectifs du triangle  $K$ .

**Preuve :**

La bulle non-conforme  $b_K$  est définie comme l'unique fonction quadratique (à une constante multiplicative près) s'annulant aux six points de Gauss du triangle  $K$ . Elle est donnée explicitement sur le triangle de référence  $\hat{K}$ . La conservation des coordonnées barycentriques par l'application affine  $\varphi_K$  qui transforme le triangle de référence  $\hat{K}$  en triangle physique  $K$  donne donc la formule de  $b_K$ . ■

La Figure 2.8 représente la bulle non-conforme associée au triangle de référence. La bulle s'annule aux points de Gauss des arêtes et prend la valeur -1 aux sommets et 1/2 aux milieux des arêtes. Rappelons quelques propriétés de la fonction "bulle non-conforme"  $b_K$ , [28].

**Lemme 2.4.3 (Propriétés de la bulle  $b_K$ )**

Pour tout  $K \in \mathcal{T}_h$  et tout  $v \in P^2(K)$ , la bulle non-conforme  $b_K$  satisfait :

$$(i) \int_K \operatorname{rot} b_K \cdot \nabla v \, dx = 0$$

$$(ii) \int_{\partial K} (\operatorname{rot} b_K \cdot \nu) v \, d\sigma = 0.$$

**Preuve :**

(i) En utilisant une intégration par partie,

$$\int_K \operatorname{rot} b_K \cdot \nabla v \, dx = \underbrace{\int_{\partial K} b_K (\nabla v \cdot \tau) \, d\sigma}_{(I)} - \underbrace{\int_K b_K \operatorname{rot}(\nabla v) \, dx}_{(II)}$$

Le terme  $\operatorname{rot}(\nabla v) = 0$  pour toute fonction  $v$ , donc  $(II) = 0$ . D'autre part,  $b_K(\nabla v \cdot \tau)$  est un polynôme de degré 3 qui s'annule en chacun des deux points de Gauss des arêtes du triangle  $K$ . Donc  $(I)$  est nul.

(ii) Par la formule de Green, on a

$$\int_{\partial K} \operatorname{rot} b_K \cdot \nu v \, d\sigma = \underbrace{\int_K \operatorname{div}(\operatorname{rot} b_K) v \, dx}_{(I)} + \underbrace{\int_K \operatorname{rot} b_K \cdot \nabla v \, dx}_{(II)} \quad (2.75)$$

Le terme  $\operatorname{div}(\operatorname{rot} b_K)$  est nul, donc l'intégrale  $(I)$  est nulle. Et  $(II)$  est nulle par (i). D'où le résultat. ■

**Définition 2.4.1 (Espace  $\Psi$  des bulles non-conformes)**

Soit  $\Psi$  l'espace vectoriel engendré par la bulle non-conforme  $b_K$  sur chaque triangle  $K$ .

$$\Psi = \left\{ v = \sum_K \alpha_K b_K, \alpha_K \in \mathbb{R} \right\}. \quad (2.76)$$

Alors  $\dim \Psi = NE$  et  $\Psi \subseteq P_{nc,0}^2$ .

**Lemme 2.4.4 (Propriétés de l'espace  $\Psi$ )**

On a

$$\Psi \cap C^0(\bar{\Omega}) = \operatorname{Vect} \left( \sum_K b_K \right) \quad (2.77)$$

En particulier, puisque sur chaque triangle  $K$ ,  $b_K \in P^2(K)$ , on a aussi

$$P_c^2 \cap \Psi = \operatorname{Vect} \left( \sum_K b_K \right) \quad \text{et} \quad P_{c,0}^2 \cap \Psi = \{0\}. \quad (2.78)$$

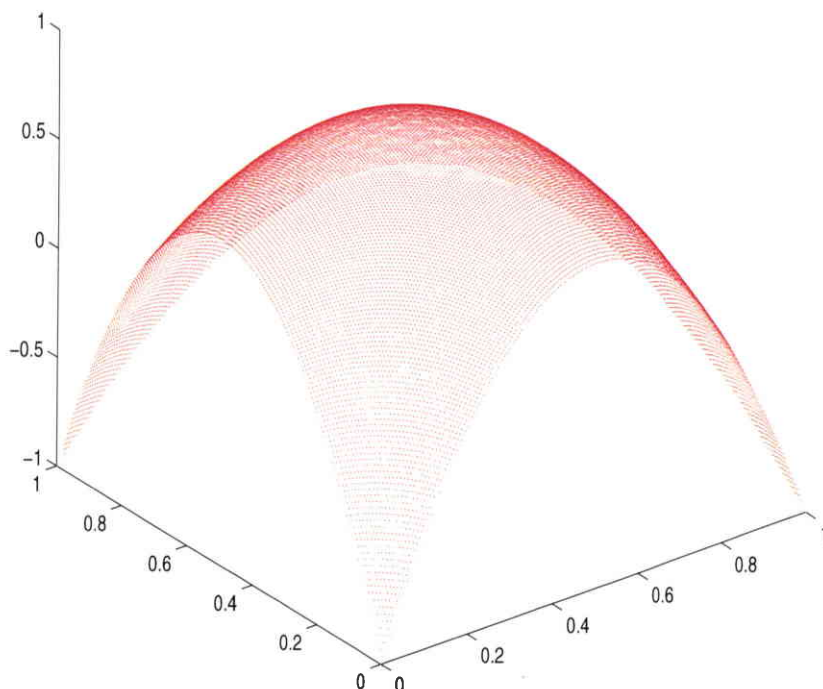


FIG. 2.8 – Bulle quadratique non-conforme  $b_K$  sur le triangle de référence  $\hat{K}$ .

**Preuve :**

Soit  $\psi = \sum_K \alpha_K b_K$  un élément de  $\Psi$ , continu par triangle. La continuité de  $\psi$  le long de chaque arête interne implique que  $\alpha_K = \alpha$ ,  $\forall K$ . C'est-à-dire  $\psi = \alpha \sum_K b_K$ . ■

La restriction de l'espace  $P_{nc}^2$  aux fonctions s'annulant aux points de Gauss des arêtes frontières est notée  $P_{nc,0}^2$ , définie par :

$$P_{nc,0}^2 = \left\{ v_h \in P_{nc}^2; \forall a \in \mathcal{A}_b, \int_a v_h d\sigma = 0 \right\}.$$

Fortin et Soulie [28] ont prouvé que l'espace  $P_{nc,0}^2$  est la somme directe de l'espace d'éléments finis  $P_{c,0}^2$  et de l'espace vectoriel  $\Psi$  engendré par la bulle non-conforme  $b_K$ . Ce résultat est rappelé dans le lemme suivant :

**Lemme 2.4.5 (Caractérisation de l'espace  $P_{nc,0}^2$ )**

$$\begin{aligned} (i) \quad & P_{nc}^2 = P_c^2 + \Psi \\ (ii) \quad & P_{nc,0}^2 = P_{c,0}^2 \oplus \Psi \end{aligned} \tag{2.79}$$

**Preuve :**

(i) Par définition des espaces, nous déduisons l'inclusion  $P_c^2 + \Psi \subseteq P_{nc}^2$ . Prouvons l'égalité

des dimensions  $\dim P_{nc}^2 = \dim(P_c^2 + \Psi)$ .

Soit  $M = P_c^2 + \Psi$ . Alors,  $\dim M = \dim P_c^2 + \dim \Psi - \dim(P_c^2 \cap \Psi)$ . Or, par le Lemme 2.4.4,  $\dim(P_c^2 \cap \Psi) = 1$ , la dimension de  $M$  est donc (en utilisant  $NP - NA + NE = 1$ )

$$\begin{aligned} \dim M &= \dim(P_c^2 + \Psi) = \dim P_c^2 + \dim \Psi - \dim(P_c^2 \cap \Psi) \\ &= (NA + NP) + NE - 1 \\ &= 2NA \end{aligned}$$

L'inclusion  $M \subseteq P_{nc}^2$  donne l'inégalité

$$2NA \leq \dim P_{nc}^2. \quad (2.80)$$

Considérons maintenant l'application linéaire

$$\begin{aligned} J : P_{nc}^2 &\longrightarrow \mathbb{R}^{2NA} \\ v &\longmapsto (v(g_i))_{1 \leq i \leq 2NA} \end{aligned}$$

où  $(g_i)_{1 \leq i \leq 2NA}$  représente l'ensemble des points de Gauss des arêtes du maillage. Par définition de la bulle non-conforme  $b_K$  et de l'espace  $\Psi$ , le noyau de l'application  $J$  est l'espace  $\Psi$ . Donc,  $\dim \text{Ker } J = NE$ . D'autre part, par la relation (2.74), l'image de l'application  $J$  est telle que :

$$\text{Im } J \subseteq \left\{ (v(g_i))_{1 \leq i \leq 2NA}, v \in P_{nc}^2, \text{ tels que } \forall K \in \mathcal{T}_h, \right. \\ \left. v(g_{1K}) - v(g_{2K}) + v(g_{3K}) - v(g_{4K}) + v(g_{5K}) - v(g_{6K}) = 0 \right\} \quad (2.81)$$

et donc, puisque les relations (2.74) sont indépendantes les unes des autres,  $\dim \text{Im } J \leq 2NA - NE$ . D'après le théorème du rang

$$\dim P_{nc}^2 = NE + \dim \text{Im } J. \quad (2.82)$$

De l'inégalité (2.80) et de l'égalité (2.82), on déduit l'égalité des dimensions  $\dim P_{nc}^2 = 2NA$ , d'où l'identité des espaces

$$P_c^2 + \Psi = P_{nc}^2.$$

(ii) Or, nous avons vu que  $P_c^2 \cap \Psi = \text{Vect}\left(\sum_K b_K\right)$ . Donc un élément de  $P_c^2 \cap \Psi$  nul sur la frontière est identiquement nul. Ceci conclut le lemme. ■

Le Lemme 2.4.5 nous permet d'obtenir une base de l'espace vectoriel  $P_{nc,0}^2$ , vu comme somme directe des espaces vectoriels  $P_{c,0}^2$  et  $\Psi$ . La base de  $P_{c,0}^2$  est explicitée par le Lemme 2.4.1. La base de l'espace  $\Psi$  est donnée par sa définition 2.4.1.

#### Lemme 2.4.6 (Base de l'espace $P_{nc,0}^2$ )

L'espace  $P_{nc,0}^2$  est de dimension  $2NA_i + 1$ , de base globale

$$\{p_i\}_{1 \leq i \leq NP_i} \cup \{p_{ij}\}_{1 \leq ij \leq NA_i} \cup \{b_K\}_{K \in \mathcal{T}_h} \quad (2.83)$$

où  $\{p_i\}_{1 \leq i \leq NP_i} \cup \{p_{ij}\}_{1 \leq ij \leq NA_i}$  est la base globale de  $P_{c,0}^2$  (Lemme 2.4.1) et  $b_K$  est la fonction bulle non-conforme par triangle  $K$ .

Tout comme l'espace de Crouzeix-Raviart  $P_{nc,0}^1$ , l'espace non-conforme d'ordre 2,  $P_{nc,0}^2$  satisfait le patch-test au sens de Irons et Razzaque [22], [32], [43] :

**Lemme 2.4.7 (Patch test pour l'espace  $P_{nc,0}^2$ )**

Pour toute fonction  $v_h \in P_{nc,0}^2$

$$(i) \forall a \in \mathcal{A}_i, \int_a [v_h] p \, d\sigma = 0, \quad \forall p \in P^1(a)$$

$$(ii) \forall a \in \mathcal{A}_b, \int_a v_h p \, d\sigma = 0, \quad \forall p \in P^1(a).$$

**Preuve :**

Soit  $v_h \in P_{nc,0}^2$ . Sur une arête  $a$ ,  $[v_h]p$  est un polynôme de degré 3 qui s'annule aux deux points de Gauss de l'arête  $a$  (par continuité de  $v_h$  aux deux points de Gauss de l'arête  $a$ ). Puisque les polynômes de degré 3 sont intégrés de façon exacte par la formule de Gauss aux deux points de Gauss d'une arête, on en déduit (i). De même,  $v_h p$  est un polynôme de degré 3 qui s'annule aux deux points de Gauss d'une arête frontière. D'où on déduit (ii). ■

**Lemme 2.4.8 (Inégalité de Poincaré discrète pour  $H_0^1(\Omega) + P_{nc,0}^2$ )**

Il existe une constante  $C > 0$  qui ne dépend que de  $\Omega$  telle que

$$|u|_{0,h} \leq C |u|_{1,h}, \quad \forall u \in H_0^1(\Omega) + P_{nc,0}^2. \quad (2.84)$$

**Preuve :**

La démonstration est analogue à celle du lemme de Poincaré discret sur  $H_0^1(\Omega) + P_{nc,0}^1$ . Soit  $u \in H_0^1(\Omega) + P_{nc,0}^2$ . Alors

$$|u|_{0,\Omega} = \sup_{g \in L^2(\Omega)} \frac{|(u, g)_{0,\Omega}|}{|g|_{0,\Omega}} \quad (2.85)$$

Soit  $g \in L^2(\Omega)$ ,  $\exists p \in H^1(\Omega)^2$  tel que  $\operatorname{div} p = g$  et  $\|p\|_{1,\Omega} \leq C |g|_{0,\Omega}$ . En intégrant par parties, on obtient

$$(u, g)_{0,\Omega} = (u, \operatorname{div} p)_{0,\Omega} = - \underbrace{\sum_K \int_K \nabla u \cdot p \, dx}_{(I)} + \underbrace{\sum_K \int_{\partial K} p \cdot \nu u \, d\sigma}_{(II)} \quad (2.86)$$

(i) Majorons (I) en valeur absolue :

$$\left| \sum_K \int_K \nabla u \cdot p \, dx \right| \leq |u|_{1,h} |p|_{0,\Omega}$$

(ii) Evaluons (II) :

$p \in H^1(\Omega)^2 \cap H_{\operatorname{div}}(\Omega)$  implique que sa composante normale le long de chaque arête interne est continue et (II) se réécrit

$$\sum_K \int_{\partial K} p \cdot \nu u \, d\sigma = \sum_{a \in \mathcal{A}_b} \int_a p \cdot \nu_a u \, d\sigma - \sum_{a \in \mathcal{A}_i} \int_a p \cdot \nu_a [u] \, d\sigma. \quad (2.87)$$

Soit  $\overline{p \cdot \nu_a} = \frac{1}{|a|} \int_a p \cdot \nu_a d\sigma$  la moyenne de  $p \cdot \nu_a$  le long de l'arête  $a$ . Puisque  $u \in H_0^1 + P_{nc,0}^2$  et que l'espace  $H_0^1 + P_{nc,0}^2$  satisfait le patch-test, on a :

$$\int_a \overline{p \cdot \nu_a} u d\sigma = 0, \quad \forall a \in \mathcal{A}_b \quad \text{et} \quad \int_a \overline{p \cdot \nu_a} [u] d\sigma = 0, \quad \forall a \in \mathcal{A}_i. \quad (2.88)$$

L'égalité (2.87) devient :

$$\begin{aligned} \sum_K \int_{\partial K} p \cdot \nu u d\sigma &= \sum_{a \in \mathcal{A}_b} \int_a (p \cdot \nu_a - \overline{p \cdot \nu_a}) u d\sigma - \sum_{a \in \mathcal{A}_i} \int_a (p \cdot \nu_a - \overline{p \cdot \nu_a}) [u] d\sigma \\ &= \sum_K \sum_{e \in \partial K} \int_e (p \cdot \nu_e - \overline{p \cdot \nu_e}) u d\sigma \end{aligned}$$

Le Lemme 2.2.2 donne l'estimation

$$\left| \int_e (p \cdot \nu_e - \overline{p \cdot \nu_e}) u d\sigma \right| \leq C h_K |u|_{1,K} |p|_{1,K}.$$

Ainsi,

$$|(II)| = \left| \sum_K \int_{\partial K} p \cdot \nu u d\sigma \right| \leq 3 C h |u|_{1,h} |p|_{1,\Omega}$$

Finalement, on obtient

$$|(u, g)_{0,\Omega}| \leq (C h |p|_{1,\Omega} + |p|_{0,\Omega}) |u|_{1,h} \leq C |u|_{1,h} \underbrace{\|p\|_{1,\Omega}}_{\leq C(\Omega) |g|_{0,\Omega}}$$

d'où le résultat annoncé. ■

On en déduit

**Lemme 2.4.9** *La semi-norme  $|\cdot|_{1,h}$  définit une norme sur l'espace  $H_0^1 + P_{nc,0}^2$ .*

### 2.4.3 Les espaces pour le flux $\nabla u$

Avant d'aborder les schémas boîte construits à l'aide de l'espace  $P_{nc,0}^2$  pour l'inconnue scalaire  $u$ , nous rappelons les espaces d'éléments finis utilisés pour approcher le flux  $p$ .

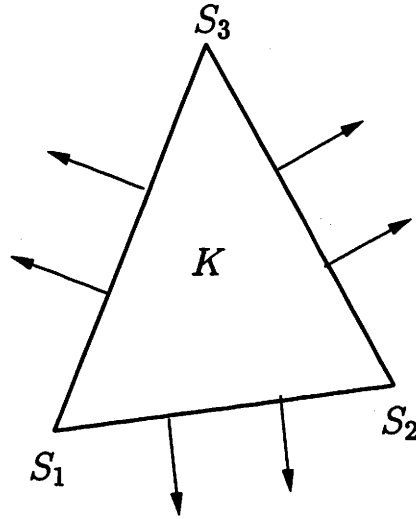
#### L'espace $BDM_1$

Soit l'espace de Brezzi-Douglas-Marini [5] d'ordre 1, noté  $BDM_1$

$$BDM_1 = \{p_h \in H_{\text{div}}(\Omega) ; p_h \in (P_1(K))^2, \quad \forall K \in \mathcal{T}_h\} \quad (2.89)$$

**Lemme 2.4.10** *L'espace  $BDM_1$  est de dimension  $2NA$ , ses degrés de liberté sont situés au niveau des arêtes (Figure 2.9) et donnés par les formes linéaires  $L_{a,1}$ ,  $L_{a,2}$ , pour toute arête  $a \in \mathcal{A}$ , par*

$$\begin{aligned} L_{a,1}(p) &= \int_a p \cdot \nu_a d\sigma, \quad \forall p \in BDM_1 \\ L_{a,2}(p) &= \int_a p \cdot \nu_a s d\sigma(s), \quad \forall p \in BDM_1 \end{aligned}$$


 FIG. 2.9 – Représentation des degrés de liberté de l'espace  $BDM_1$ .

### L'espace $RT^1$

$RT^1$  désigne l'espace de Raviart-Thomas d'ordre 1, [39], défini par

$$RT^1 = \left\{ p_h \in H_{\text{div}}(\Omega) ; p_{h|K} \in RT_1(K), \quad \forall K \in \mathcal{T}_h \right\} \quad (2.90)$$

avec pour tout triangle  $K \in \mathcal{T}_h$ ,  $RT^1(K) = P_1(K)^2 + P_1(K) \begin{bmatrix} x \\ y \end{bmatrix}$ .

**Lemme 2.4.11** *L'espace de Raviart-Thomas  $RT^1$  est de dimension  $2NE + 2NA$ . Il possède deux degrés de liberté par arête et deux par mailles (Figure 2.10). Ses degrés de liberté sont donnés par les formes linéaires  $L_a$  et  $L_K$  définies par*

$$\begin{aligned} L_a(p) &= \frac{1}{|a|} \int_a \varphi p \cdot \nu_a \, d\sigma, \quad \forall p \in RT^1, \forall \varphi \in P_1 \\ L_K(p) &= \frac{1}{|K|} \int_K p \, dx, \quad \forall p \in RT^1. \end{aligned} \quad (2.91)$$

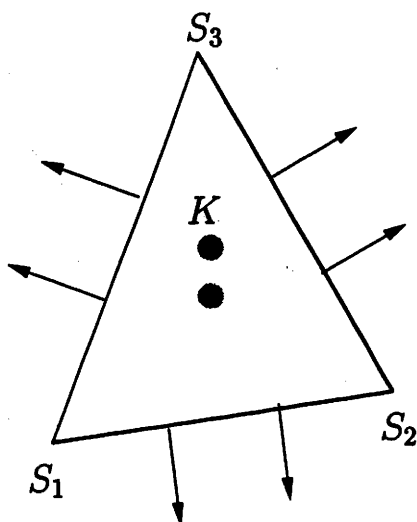
$RT^1$  est un espace de dimension  $\dim RT^1 = 2NA + 2NE$ .

### L'espace des rotationnels de bulle

Définissons  $\Phi$ , l'espace des rotationnels de la bulle quadratique non-conforme, engendré par  $\text{rot } b_K$  sur chaque triangle  $K$

$$\Phi = \text{rot } \Psi = \{ p|_K = \alpha_K \text{rot } b_K, \alpha_K \in \mathbb{R}, \forall K \in \mathcal{T}_h \} \quad (2.92)$$

où  $\Psi$  est l'espace vectoriel donné par la Définition 2.4.1. Voici quelques propriétés liant les espaces vectoriels  $\Phi$ ,  $BDM_1$  et  $RT^1$  :


 FIG. 2.10 – Représentation des degrés de liberté de l'espace  $RT^1$ 
**Lemme 2.4.12**

$$\Phi \cap H_{\text{div}}(\Omega) = \text{Vect}\left(\sum_{K \in \mathcal{T}_h} \text{rot } b_K\right) \quad (2.93)$$

En particulier, puisque  $\text{rot } b_K \in (P^1(K))^2$ ,  $RT^1(K)$ , nous avons les égalités suivantes

$$\Phi \cap BDM_1 = \text{Vect}\left(\sum_{K \in \mathcal{T}_h} \text{rot } b_K\right),$$

$$\Phi \cap RT^1 = \text{Vect}\left(\sum_{K \in \mathcal{T}_h} \text{rot } b_K\right).$$

**Preuve :**

Soit  $\phi \in \Phi \cap H_{\text{div}}(\Omega)$ , alors  $\phi = \sum_K \alpha_K \text{rot } b_K$ . Or,  $\phi \in H_{\text{div}}(\Omega)$  si et seulement si la composante normale de  $\phi$  est continue le long de chaque arête interne. C'est-à-dire

$$\phi(x) \cdot \nu_{a,K_1} + \phi(x) \cdot \nu_{a,K_2} = 0, \quad \forall a \in \mathcal{A}_i, a = \partial K_1 \cap \partial K_2, \forall x \in a \quad (2.94)$$

qui est équivalent à

$$\alpha_{K_1} \text{rot } b_{K_1} \cdot \nu_{a,K_1} + \alpha_{K_2} \text{rot } b_{K_2} \cdot \nu_{a,K_2} = 0, \quad \forall a \in \mathcal{A}_i, a = \partial K_1 \cap \partial K_2 \quad (2.95)$$

D'autre part, la bulle  $b_K$  satisfait  $\text{rot } b_{K_1} \cdot \nu_{a,K_1} + \text{rot } b_{K_2} \cdot \nu_{a,K_2} = 0$ . Donc  $\alpha_{K_1} = \alpha_{K_2}$ , ce qui impose que  $\phi$  doit s'écrire  $\phi = \alpha \sum_K \text{rot } b_K$ ,  $\alpha \in \mathbb{R}$ . Ce qui prouve le lemme. ■

Nous concluons les rappels sur les espaces d'approximation. Nous proposons maintenant, deux nouveaux schémas boîte pour le problème de Poisson, où l'inconnue scalaire  $u$  est approchée par  $u_h$  choisie dans l'espace  $P_{nc,0}^2$  et le gradient  $p$  est approché par  $p_h$  dans les

espaces d'éléments finis de Brezzi-Douglas-Marini ou de Raviart-Thomas enrichis tous deux par l'espace  $\Phi$  des rotationnels de la bulle quadratique non-conforme.

## 2.5 Schéma $(u_h, p_h) \in P_{nc,0}^2 \times (BDM_1 + \Phi)$

### 2.5.1 Présentation du schéma

Dans cette partie, nous construisons un schéma boîte de type (2.70), d'ordre plus élevé pour les inconnues  $u_h$  et  $p_h$ . L'espace d'approximation de l'inconnue  $u$  est l'espace quadratique non-conforme de Fortin et Soulie  $M_{1,h} = P_{nc,0}^2$ . Pour approcher le flux, nous utilisons  $X_{1,h}$ , l'espace introduit par Fahloul et Fortin [29] :

$$X_{1,h} = BDM_1 + \Phi$$

où  $BDM_1$  désigne l'espace de Brezzi-Douglas-Marini défini au Paragraphe 2.4.3 et  $\Phi$  l'espace défini par (2.92) :

$$\Phi = \{p|_K = \alpha_K \operatorname{rot} b_K, \alpha_K \in \mathbb{R} \quad \forall K \in \mathcal{T}_h\} = \operatorname{rot} \Psi \quad (2.96)$$

L'espace  $X_{1,h} = BDM_1 + \Phi$  coïncide avec l'espace des fonctions affines satisfaisant les conditions suivantes, [29], de div-conformité d'arête et div-conformité ponctuelle :

$$\begin{cases} (i) & \int_e (p_h|_{K_1} \cdot \nu_{e,K_1} + p_h|_{K_2} \cdot \nu_{e,K_2}) d\sigma = 0, \quad \forall e = \partial K_1 \cup \partial K_2 \\ (ii) & \text{Pour tout sommet interne } M, \quad \sum_K \int_{\partial K} (p_h \cdot \nu) \psi_M = 0, \text{ où } \psi_M \\ & \text{est la fonction } P^1\text{-Lagrange correspondante à } M. \end{cases} \quad (2.97)$$

En appliquant le Lemme 2.4.12 et en utilisant les dimensions des espaces  $BDM_1$  et  $\Phi$ , on constate que la dimension de  $X_{1,h}$  est

$$\dim X_{1,h} = \dim BDM_1 + \dim \Phi - \dim(BDM_1 \cap \Phi) = 2NA + NE - 1$$

Les espaces de fonctions test associés aux espaces d'approximation  $M_{1,h} = P_{nc,0}^2$  et  $X_{1,h} = BDM_1 + \Phi$  sont :

$$M_{2,h} = \left\{ v_h \in L^2(\Omega) ; v_h|_K \in P^0(K), \quad \forall K \in \mathcal{T}_h \right\}, \quad (2.98)$$

l'espace des polynômes constants par triangle totalement discontinus, de dimension  $\dim M_{2,h} = NE$  et

$$X_{2,h} = \left\{ q_h \in (L^2(\Omega))^2 ; q_h|_K \in (P^1(K))^2, \quad \forall K \in \mathcal{T}_h \right\}, \quad (2.99)$$

le sous-espace vectoriel de  $\mathbb{R}^2$ , des polynômes affines par triangle, totalement discontinus, de dimension  $\dim X_{2,h} = 6NE$ . Par simplicité, on notera aussi ces espaces  $M_{2,h} = P^0$  et  $X_{2,h} = (P^1)^2$ .

**Définition 2.5.1** Soit le schéma boîte : chercher  $(u_h, p_h) \in P_{nc,0}^2 \times (BDM_1 + \Phi)$  tel que

$$\left\{ \begin{array}{l} \sum_{K \in \mathcal{T}_h} (\operatorname{div} p_h + f, v_h)_{0,K} = 0, \quad \forall v_h \in P^0 \\ \sum_{K \in \mathcal{T}_h} (p_h - \nabla u_h, q_h)_{0,K} = 0, \quad \forall q_h \in (P^1)^2 \end{array} \right. \quad (2.100)$$

**Lemme 2.5.1** Ce choix d'espaces d'inconnues  $M_{1,h}$  et  $X_{1,h}$  et d'espaces de test  $M_{2,h}$  et  $X_{2,h}$  satisfait l'égalité des dimensions (2.49) :

$$\dim M_{1,h} + \dim X_{1,h} = 7NE = \dim M_{2,h} + \dim X_{2,h} \quad (2.101)$$

**Preuve :**

En utilisant la première relation d'Euler, nous pouvons écrire :

$$\begin{aligned} \dim M_{1,h} + \dim X_{1,h} &= (2NA_i + 1) + (2NA + NE - 1) = 7NE \\ &= \dim M_{2,h} + \dim X_{2,h} \end{aligned} \quad (2.102)$$

■

Maintenant, prouvons l'existence et l'unicité de la solution discrète du problème (2.100).

**Proposition 2.5.1** Le problème (2.100) admet une unique solution  $(u_h, p_h) \in M_{1,h} \times X_{1,h}$ , définie par

(i)  $u_h \in P_{nc,0}^2$  est solution du problème variationnel :

$$\sum_K (\nabla u_h, \nabla w_h)_{0,K} = \sum_K (\Pi^0 f, w_h)_{0,K}, \quad \forall w_h \in P_{nc,0}^2 \quad (2.103)$$

(ii)  $p_h \in (BDM_1 + \Phi)$  est donné sur chaque triangle  $K$  du maillage par

$$p_h|_K = \nabla u_h|_K. \quad (2.104)$$

Notons que la formulation variationnelle (2.103) est la formulation non-conforme pour l'espace  $P_{nc,0}^2$  introduite par Fortin et Soulie [28], dans le cas d'un terme source constant par triangle.

**Preuve :**

Nous prouvons que  $(u_h, p_h) \in M_{1,h} \times X_{1,h}$  est solution de (2.100) si et seulement si il est solution de (2.103 - 2.104). Soit  $(u_h, p_h) \in P_{nc,0}^1 \times (BDM_1 + \Phi)$  une solution de (2.100).

Commençons par prouver (ii).

(ii) En prenant  $q_h = p_h - \nabla u_h \in (P^1)^2$  dans l'équation (2.100)<sub>2</sub>, nous avons clairement  $p_h = \nabla u_h$ .

(i) Soit  $w_h \in P_{nc,0}^2$ . En prenant  $q_h = \nabla w_h$  dans l'équation (2.100)<sub>2</sub>, la formule de Green donne

$$\sum_K (\nabla u_h, \nabla w_h)_{0,K} = - \sum_K \int_K \operatorname{div} p_h w_h dx + \sum_K \int_{\partial K} (p_h \cdot \nu) w_h d\sigma \quad (2.105)$$

• L'équation (2.100)<sub>1</sub> implique que  $\operatorname{div} p_h|_K = -\Pi^0 f|_K$ . Donc

$$\sum_K \int_K \operatorname{div} p_h w_h dx = - \sum_K \int_K \Pi^0 f|_K w_h dx$$

•  $p_h \in X_{1,h}$ , donc il s'écrit  $p_h = p_{1,h} + p_{2,h}$  avec  $p_{1,h} \in BDM_1$  et  $p_{2,h} = \sum_{K \in \mathcal{T}_h} \alpha_K \operatorname{rot} b_K$ . En utilisant l'inclusion  $BDM_1 \subseteq H_{\operatorname{div}}(\Omega)$ , l'intégrale de bord du terme (2.105) se réécrit

$$\begin{aligned} \sum_K \int_{\partial K} (p_h \cdot \nu) w_h d\sigma &= \sum_K \int_{\partial K} p_{1,h} \cdot \nu w_h d\sigma + \sum_K \alpha_K \int_{\partial K} \operatorname{rot} b_K \cdot \nu w_h d\sigma \\ &= \sum_{a \in \mathcal{A}_b} \int_a p_{1,h} \cdot \nu_a w_h d\sigma - \sum_{a \in \mathcal{A}_i} \int_a p_{1,h} \cdot \nu_a [w_h] d\sigma \quad (2.106) \\ &\quad + \sum_K \alpha_K \int_{\partial K} \frac{\partial b_K}{\partial \tau_K} w_h d\sigma \end{aligned}$$

D'après le Lemme 2.4.3, le terme  $\sum_K \alpha_K \int_{\partial K} \frac{\partial b_K}{\partial \tau_K} w_h d\sigma$  s'annule. De plus, puisque  $[w_h]$  (respectivement  $w_h$ ) s'annule aux points de Gauss de chaque arête interne (respectivement frontière), que  $w_h \in P^2$  et que  $p_{1,h} \cdot \nu_a \in P^1(a)$ , l'intégrale  $\int_a p_{1,h} \cdot \nu_a [w_h] d\sigma$  (respectivement  $\int_a p_{1,h} \cdot \nu_a w_h d\sigma$ ) est nulle. On obtient donc la formulation variationnelle (2.103).

Ainsi, toute solution de (2.100) est solution de (2.103-2.104), qui admet une unique solution. Ceci prouve l'unicité de la solution du schéma (2.100). L'existence de la solution de (2.100) provient de la linéarité du problème (2.100) et de l'égalité (2.101). ■

### Remarque : Existence et unicité par le lemme de Babuška-Brezzi discret

Il est intéressant de voir comment se prouve directement l'existence et l'unicité de la solution du schéma boîte (2.100) en appliquant directement le théorème de Babuška-Brezzi. Les formes bilinéaires associées sont définies pour  $p_h \in X_{1,h} = BDM_1 + \Phi$ ,  $u_h \in M_{1,h} = P_{nc,0}^2$ ,  $q_h \in X_{2,h}$  et  $v_h \in M_{2,h}$  :

$$\begin{cases} a_h(p_h, q_h) = (p_h, q_h)_{0,\Omega} = \sum_K \int_K p_h \cdot q_h dx \\ b_{1,h}(u_h, q_h) = - \sum_K \int_K \nabla u_h \cdot q_h dx \\ b_{2,h}(v_h, p_h) = \sum_K \int_K \operatorname{div} p_h v_h dx \end{cases} \quad (2.107)$$

Soit  $l_{2,h}$  l'application nulle et  $m_{2,h}$  la forme linéaire continue définie sur  $M_{2,h}$  par

$$\langle m_{2,h}, v_h \rangle = \sum_K \int_K f v_h dx$$

Vérifions les hypothèses du Théorème 2.2.3 de Babuška-Brezzi discret .

(i) Montrons que  $V_{1,h} = V_{2,h}$  où

$$\begin{aligned} V_{1,h} &= \{p_h \in X_{1,h}; \sum_K \int_K \operatorname{div} p_h v_h dx = 0, \forall v_h \in M_{2,h}\}, \\ V_{2,h} &= \{q_h \in X_{2,h}; - \sum_K \int_K \nabla u_h \cdot q_h dx = 0, \forall u_h \in M_{1,h}\}. \end{aligned} \quad (2.108)$$

L'égalité (2.101) des dimensions entre espaces d'inconnues et espaces de test donne :

$$\dim V_{1,h} = \dim X_{1,h} - \dim M_{2,h} = \dim X_{2,h} - \dim M_{1,h} = \dim V_{2,h}.$$

Il reste à prouver l'inclusion :  $V_{1,h} \subseteq V_{2,h}$ .

Soit  $p_h \in V_{1,h}$ . Puisque  $BDM_1 \subseteq X_{2,h}$  et  $\operatorname{rot} b_K \in X_{2,h}$ , alors  $p_h \in X_{2,h}$ . Vérifions donc que  $b_{1,h}(u_h, p_h) = 0$ , pour tout  $u_h \in M_{1,h}$ .

$p_h \in V_{1,h}$  implique que  $\operatorname{div} p_{h|K} = 0, \forall K$  (puisque  $p_h \in X_{1,h} = BDM_1 + \Phi$ , donc  $\operatorname{div} p_{h|K} \in P^0(K)$ ). Soit  $u_h \in M_{1,h}$ . En utilisant la formule de Green,

$$b_{1,h}(u_h, p_h) = - \sum_K \int_K \nabla u_h \cdot p_h dx = \sum_K \int_K \underbrace{u_h \operatorname{div} p_h}_{=0} dx - \sum_K \int_{\partial K} u_h p_h \cdot \nu d\sigma \quad (2.109)$$

D'autre part,  $p_h$  s'écrit localement  $p_{h|K} = p_{1,h|K} + \alpha_K \operatorname{rot} b_K$ , où  $p_{1,h}$  est la composante selon  $BDM_1 \subseteq H_{\operatorname{div}}(\Omega)$  et  $\alpha_K$  une constante de  $\mathbb{R}$ . L'équation (2.109) est équivalente à :

$$\begin{aligned} b_{1,h}(u_h, p_h) &= \sum_K \int_{\partial K} u_h p_h \cdot \nu d\sigma \\ &= \sum_K \int_{\partial K} u_h p_{1,h} \cdot \nu d\sigma + \sum_K \int_{\partial K} u_h (\alpha_K \operatorname{rot} b_K) \cdot \nu d\sigma \\ &= \sum_{a \in A_b} \int_a u_h p_{1,h} \cdot \nu_a d\sigma - \sum_{a \in A_i} \int_a [u_h] p_{1,h} \cdot \nu_a d\sigma \\ &\quad + \sum_K \alpha_K \int_{\partial K} u_h \frac{\partial b_K}{\partial \tau} d\sigma \end{aligned} \quad (2.110)$$

Par le Lemme 2.4.3,  $\int_{\partial K} u_h \frac{\partial b_K}{\partial \tau} d\sigma = 0$ , puisque  $u_h \in P^2$ . D'autre part,  $p_{1,h} \in (P^1(K))^2$  et  $u_h, [u_h] \in P_{nc,0}^2$ . Donc l'intégration de  $u_h p_{1,h} \cdot \nu_a$  (respectivement  $[u_h] p_{1,h} \cdot \nu_a$ ) le long d'une arête  $a \in A$  est exacte aux deux points de Gauss de  $a$ . Les fonctions  $u_h$  et  $[u_h]$  s'annulent en ces deux points de Gauss. Donc,

$$\sum_{a \in A_i} \int_a [u_h] p_{1,h} \cdot \nu_a d\sigma = 0 \quad \text{et} \quad \sum_{a \in A_b} \int_a u_h p_{1,h} \cdot \nu_a d\sigma = 0.$$

Finalement, tous les termes de l'équation (2.110) sont nuls, donc  $b_{1,h}(u_h, p_h) = 0$ . Ce qui prouve l'égalité  $V_{1,h} = V_{2,h} = V_h$ . On a donc,

$$\sup_{p_h \in V_{1,h}, \|p_h\|_{\operatorname{div},h} \leq 1} a_h(p_h, q_h) = \sup_{p_h \in V_h, \|p_h\|_{0,h} \leq 1} a_h(p_h, q_h) = \|q_h\|_{0,h}, \quad (2.111)$$

puisque les normes  $\|\cdot\|_{0,h}$  et  $\|\cdot\|_{\text{div},h}$  sont équivalentes .  
Ceci valide la condition (i).

(ii) cette égalité est automatiquement vérifiée par tout choix des espaces  $M_{1,h}, X_{1,h}, M_{2,h}$  et  $X_{2,h}$  qui satisfont l'égalité (2.101).

(iii) Nous allons prouver qu'il existe une constante  $\beta_1 > 0$  telle que

$$\sup_{q_h \in X_{2,h}, |q_h|_{0,h} \leq 1} b_{1,h}(u_h, q_h) \geq \beta_1 |u_h|_{1,h}, \quad \forall u_h \in M_{1,h}$$

Soit  $u_h \in M_{1,h}$ . Soit  $q_h|_K = \frac{-\nabla u_h|_K}{|u_h|_{1,h}}$ , alors  $q_h \in X_{2,h} = (P^1)^2$  et  $|q_h|_{1,h} = 1$ . Donc,

$$b_{1,h}(u_h, q_h) = - \sum_K \int_K \nabla u_h \cdot q_h \, dx = + \sum_K \int_K \frac{|\nabla u_h|^2}{|u_h|_{1,h}} \, dx = |u_h|_{1,h} \quad (2.112)$$

Donc  $\beta_1 = 1$  convient dans (iii).

(iv) Nous cherchons une constante  $\beta_2 > 0$  telle que

$$\sup_{p_h \in X_{1,h}, \|p_h\|_{\text{div},h} \leq 1} b_{2,h}(v_h, p_h) \geq \beta_2 |v_h|_{0,\Omega}, \quad \forall v_h \in M_{2,h}$$

Soit  $v_h \in M_{2,h} = P^0$ , d'après [39], il existe  $q_h \in RT^0$  tel que

$$\begin{cases} \text{div } q_h = v_h \\ \|q_h\|_{\text{div},\Omega} \leq c |v_h|_{0,\Omega} \end{cases} \quad (2.113)$$

Posons  $\tilde{q}_h = \frac{q_h}{\|q_h\|_{\text{div},h}}$ , alors  $\tilde{q}_h \in RT^0 \subseteq X_{1,h}$  et  $\|\tilde{q}_h\|_{\text{div},h} = 1$ . Ainsi,

$$b_{2,h}(v_h, \tilde{q}_h) = \sum_K \int_K \text{div } \tilde{q}_h v_h \, dx = \sum_K \int_K \frac{\text{div } q_h v_h}{\|q_h\|_{\text{div},h}} \, dx = \sum_K \int_K \frac{|v_h|_{0,K}^2}{\|q_h\|_{\text{div},h}} \, dx = \frac{|v_h|_{0,\Omega}^2}{\|q_h\|_{\text{div},\Omega}} \quad (2.114)$$

Donc  $b_{2,h}(v_h, \tilde{q}_h) \geq \frac{1}{c} |v_h|_{0,\Omega}$ , c'est-à-dire  $\beta_2 = \frac{1}{c}$  convient pour satisfaire la condition (iv).

Les hypothèses du théorème de Babuška-Brezzi discret sont vérifiées, ce qui assure l'existence, l'unicité et la stabilité de la solution du schéma boîte (2.100)

$$\|u_h\|_{1,h} + \|p_h\|_{\text{div},h} \leq C |f|_{0,\Omega}$$

La stabilité du schéma boîte (2.100) se démontre également de façon directe, en utilisant les résultats de la Proposition 2.5.1 :

### Lemme 2.5.2 (Stabilité)

Il existe une constante  $C$  indépendante de  $h$  telle que la solution  $(u_h, p_h) \in P_{nc,0}^2 \times (BDM_1 + \Phi)$  du schéma boîte (2.100), satisfait

$$\|u_h\|_{1,h} + \|p_h\|_{\text{div},h} \leq C |f|_{0,\Omega} \quad (2.115)$$

**Preuve :**

On déduit de la Proposition 2.5.1, les relations suivantes :

$$\begin{aligned} |u_h|_{1,h} &\leq C_1 |f|_{0,\Omega} \\ |p_h|_{0,\Omega} &= |u_h|_{1,h} \end{aligned}$$

On déduit du Lemme de Poincaré discret 2.4.8 que

$$\|u_h\|_{1,h} \leq C_2 |f|_{0,\Omega} \quad (2.116)$$

De plus,  $\operatorname{div} p_h = -\Pi^0 f$  par l'équation (2.100)<sub>1</sub>, donc ceci nous permet de conclure que

$$\|p_h\|_{\operatorname{div},h} \leq |u_h|_{1,h} + |\Pi^0 f|_{0,h}$$

Puisque  $|u_h|_{1,h} \leq C_1 |f|_{0,\Omega}$ , on déduit que

$$\|p_h\|_{\operatorname{div},h} \leq C_3 |f|_{0,\Omega}$$

On conclut la stabilité du schéma, en combinant cette inégalité avec (2.116). ■

De plus, la solution du schéma (2.100) satisfait les estimations d'erreur *a priori* suivantes.

**Proposition 2.5.2 (Estimations d'erreur *a priori*)**

Soit  $(u, p) \in H_0^1(\Omega) \times H_{\operatorname{div}}(\Omega)$  la solution du problème mixte de type Petrov-Galerkin (2.2). Soit  $(u_h, p_h) \in P_{nc,0}^2 \times (BDM_1 + \Phi)$  la solution du schéma boîte (2.100). On suppose de plus que  $u \in H^3(\Omega)$ , on a alors :

$$\begin{aligned} (i) \quad &|u - u_h|_{1,h} \leq C h^2 (|u|_{3,\Omega} + |f|_{1,\Omega}) \\ (ii) \quad &|u - u_h|_{0,\Omega} \leq C h^2 (|u|_{3,\Omega} + |f|_{1,\Omega}) \\ (iii) \quad &|p - p_h|_{\operatorname{div},h} \leq C h |f|_{1,\Omega} \\ (iv) \quad &|p - p_h|_{0,\Omega} \leq C h^2 (|u|_{3,\Omega} + |f|_{1,\Omega}) \end{aligned} \quad (2.117)$$

**Preuve :**

Dans la suite, on suppose que  $u \in H^3(\Omega)$ . (i) Notons  $a_h$  la forme bilinéaire définie sur l'espace  $H_0^1(\Omega) + P_{nc,0}^2$  par

$$a_h(u, v) = \sum_K (\nabla u, \nabla v)_{0,K}, \quad \forall u, v \in H_0^1(\Omega) + P_{nc,0}^2.$$

On utilise un argument classique. Pour tout  $v_h \in P_{nc,0}^2$ , on a

$$|u - u_h|_{1,h} \leq |u - v_h|_{1,h} + |u_h - v_h|_{1,h}$$

Or, par définition de  $a_h$ ,

$$\begin{aligned} |u_h - v_h|_{1,h}^2 &= a_h(u_h - v_h, u_h - v_h) \\ &= a_h(u_h - u, u_h - v_h) + a_h(u - v_h, u_h - v_h) \end{aligned} \quad (2.118)$$

Donc

$$|u_h - v_h|_{1,h} \leq \sup_{v_h \in P_{nc,0}^2} \frac{|a_h(u_h - u, u_h - v_h)|}{|u_h - v_h|_{1,h}} + |u - v_h|_{1,h} \quad (2.119)$$

ce qui donne :

$$|u - u_h|_{1,h} \leq 2 \underbrace{\inf_{w_h \in P_{nc,0}^2} |u - w_h|_{1,h}}_{(I)} + \underbrace{\sup_{w_h \in P_{nc,0}^2} \frac{|a_h(u_h - u, w_h)|}{|w_h|_{1,h}}}_{(II)} \quad (2.120)$$

• Estimons l'erreur de consistance (II). Soit  $w_h \in P_{nc,0}^2$ ,

$$\begin{aligned} a_h(u_h - u, w_h) &= \sum_K \int_K \nabla(u_h - u) \cdot \nabla w_h \, dx \\ &= \sum_K \int_K \nabla u_h \cdot \nabla w_h \, dx - \sum_K \int_K \nabla u \cdot \nabla w_h \, dx \end{aligned}$$

Soit encore, puisque  $u_h$  est solution du problème équivalent (2.103)

$$a_h(u_h - u, w_h) = \sum_K (\Pi^0 f, w_h)_{0,K} + \sum_K \int_K \Delta u \, w_h \, dx - \sum_K \int_{\partial K} (\nabla u \cdot \nu) \, w_h \, d\sigma.$$

Or,  $-\Delta u = f$  dans  $L^2(\Omega)$ , donc

$$a_h(u_h - u, w_h) = \sum_K \int_K (\Pi^0 f - f) \, w_h \, dx - \sum_K \int_{\partial K} (\nabla u \cdot \nu) \, w_h \, d\sigma$$

Notons  $L_u$  la forme linéaire définie sur l'espace  $H_0^1(\Omega) + P_{nc,0}^2$  par :

$$L_u(w_h) = \sum_K \int_{\partial K} (\nabla u \cdot \nu) \, w_h \, d\sigma, \quad \forall u \in H_0^1(\Omega) \cap H^2(\Omega).$$

Estimons le terme  $L_u(w_h)$  pour  $u \in H_0^1(\Omega) \cap H^2(\Omega)$  :

$$L_u(w_h) = \sum_K \int_{\partial K} (\nabla u \cdot \nu) \, w_h \, d\sigma = - \sum_{a \in \mathcal{A}_i} \int_a \nabla u \cdot \nu_a [w_h] \, d\sigma + \sum_{a \in \mathcal{A}_b} \int_a \nabla u \cdot \nu_a w_h \, d\sigma \quad (2.121)$$

Soit  $P^1(a)$  la restriction à l'arête  $a$  des polynômes de degré 1.  $\Pi_a^1$  désigne la projection de  $L^2(a)$  sur  $P^1(a)$ .  $P_{nc,0}^2$  satisfait le patch-test (Lemme 2.4.7),  $w_h \in P_{nc,0}^2$  et  $\Pi_a^1(\nabla u \cdot \nu_a) \in P^1(a)$ , donc

$$\int_a \nabla u \cdot \nu_a [w_h] \, d\sigma = \int_a (\nabla u \cdot \nu_a - \Pi_a^1(\nabla u \cdot \nu_a)) [w_h] \, d\sigma, \quad a \in \mathcal{A}_i$$

De même,

$$\int_a \nabla u \cdot \nu_a w_h \, d\sigma = \int_a (\nabla u \cdot \nu_a - \Pi_a^1(\nabla u \cdot \nu_a)) w_h \, d\sigma, \quad a \in \mathcal{A}_b.$$

Ainsi, l'équation (2.121) devient :

$$\begin{aligned}
 L_u(w_h) &= - \sum_{a \in \mathcal{A}_i} \int_a (\nabla u \cdot \nu_a - \Pi_a^1(\nabla u \cdot \nu_a)) [w_h] d\sigma \\
 &\quad + \sum_{a \in \mathcal{A}_b} \int_a (\nabla u \cdot \nu_a - \Pi_a^1(\nabla u \cdot \nu_a)) w_h d\sigma \\
 &= \sum_{K \in \mathcal{K}} \sum_{e \in \partial K} \int_e (\nabla u \cdot \nu_e - \Pi_e^1(\nabla u \cdot \nu_e)) w_h d\sigma
 \end{aligned} \tag{2.122}$$

En appliquant le Lemme 2.2.2 ( $k = 1, m = 1$ ), on obtient l'estimation

$$\left| \int_e (\nabla u \cdot \nu_e - \Pi_e^1(\nabla u \cdot \nu_e)) w_h d\sigma \right| \leq C \sigma_K h_K^2 |w_h|_{1,K} |\nabla u|_{2,K}$$

$L_u(w_h)$  est donc majoré par :

$$|L_u(w_h)| \leq C_1 h^2 |w_h|_{1,h} |u|_{3,\Omega}. \tag{2.123}$$

Estimons maintenant le terme  $\sum_K \int_K (\Pi^0 f - f) w_h dx$ .

Par définition de  $\Pi^0$ , opérateur de projection sur les polynômes constants,

$$\sum_K \int_K (\Pi^0 f - f) w_h dx = \sum_K \int_K (\Pi^0 f - f) (w_h - \Pi^0 w_h) dx.$$

Ainsi, nous obtenons en utilisant l'inégalité de Cauchy-Schwarz et l'estimation (2.20) :

$$\begin{aligned}
 \left| \sum_K \int_K (\Pi^0 f - f) w_h dx \right| &\leq \sum_K |\Pi^0 f - f|_{0,K} |w_h - \Pi^0 w_h|_{0,K} \\
 &\leq \sum_K (c_1 h_K |f|_{1,K}) (c_2 h_K |w_h|_{1,K}) \\
 &\leq C_2 h^2 |f|_{1,\Omega} |w_h|_{1,h}.
 \end{aligned}$$

Ceci donne l'estimation de  $a_h(u_h - u, w_h) = \sum_K \int_K (\Pi^0 f - f) w_h dx - L_u(w_h)$  :

$$\begin{aligned}
 |a_h(u_h - u, w_h)| &\leq C_1 h^2 |w_h|_{1,h} |u|_{3,\Omega} + C_2 h^2 |f|_{1,\Omega} |w_h|_{1,h} \\
 &\leq C h^2 |w_h|_{1,h} (|u|_{3,\Omega} + |f|_{1,\Omega})
 \end{aligned}$$

On en déduit que  $(II) \leq C h^2 (|u|_{3,\Omega} + |f|_{1,\Omega})$ .

• D'autre part, en notant  $\Pi_h^2$  l'opérateur de projection  $P^2$ -Lagrange :  $\Pi_h^2 : L^2(\Omega) \rightarrow P_{c,0}^2$  sur  $P_{c,0}^2$ , et par inclusion de  $P_{c,0}^2$  dans  $P_{nc,0}^2$ , on obtient l'estimation de l'erreur d'approximation

$$\inf_{w_h \in P_{nc,0}^2} |u - w_h|_{1,h} \leq |u - \Pi_h^2 u|_{1,h}$$

En utilisant le Lemme 2.2.1,

$$(I) = \inf_{w_h \in P_{nc,0}^2} |u - w_h|_{1,h} \leq C_3 h^2 |u|_{3,\Omega}$$

Ceci nous permet de conclure d'après (2.120) que :

$$|u - u_h|_{1,h} \leq C h^2 (|u|_{3,\Omega} + |f|_{1,\Omega})$$

Nous avons ainsi démontré l'assertion (i).

(ii) Utilisons un argument de type Aubin-Nitsche pour évaluer la norme  $L^2$  de l'erreur (comme le suggère D. Braess [4]) :

$$|u - u_h|_{0,\Omega} = \sup_{g \in L^2(\Omega)} \frac{(u - u_h, g)_{0,\Omega}}{|g|_{0,\Omega}}$$

Soit  $g$  une fonction de  $L^2(\Omega)$ . Définissons  $\phi_g$  (respectivement  $\phi_h$ ) la solution du problème continu (2.2) (respectivement discret (2.100)) de terme source  $g \in L^2(\Omega)$  :

$\phi_g \in H_0^1(\Omega) \cap H^2(\Omega)$  solution de

$$(\nabla \phi_g, \nabla v)_{0,\Omega} = (g, v)_{0,\Omega}, \quad v \in H_0^1(\Omega). \quad (2.124)$$

$\phi_h \in P_{nc,0}^2$  solution de

$$\sum_K (\nabla \phi_h, \nabla v_h)_{0,K} = \sum_K (\Pi^0 g, v_h)_{0,K}, \quad v_h \in P_{nc,0}^2. \quad (2.125)$$

Alors  $(u - u_h, g)_{0,\Omega}$  s'écrit :

$$\begin{aligned} (u - u_h, g)_{0,\Omega} &= a_h(u - u_h, \phi_g - \phi_h) - (a_h(u - u_h, \phi_g) - (u - u_h, g)) \\ &\quad - (a_h(u, \phi_g - \phi_h) - (f, \phi_g) + (\Pi^0 f, \phi_h)) \end{aligned}$$

Ainsi,

$$\begin{aligned} |(u - u_h, g)_{0,\Omega}| &\leq \underbrace{|a_h(u - u_h, \phi_g - \phi_h)|}_{(I)} + \underbrace{|a_h(u - u_h, \phi_g) - (u - u_h, g)|}_{(II)} \\ &\quad + \underbrace{|a_h(u, \phi_g - \phi_h) - (f, \phi_g) + (\Pi^0 f, \phi_h)|}_{(III)} \end{aligned}$$

• Evaluons le terme (I) =  $|a_h(u - u_h, \phi_g - \phi_h)|$ . Par définition de la forme bilinéaire  $a_h$ , l'inégalité de Cauchy-Schwarz donne

$$|a_h(u - u_h, \phi_g - \phi_h)| \leq |u - u_h|_{1,h} |\phi_g - \phi_h|_{1,h}$$

Par le résultat précédent :

$$|u - u_h|_{1,h} \leq C h^2 (|u|_{3,\Omega} + |f|_{1,\Omega})$$

En procédant de la même façon qu'au (i), on prouve l'estimation

$$|L_{\phi_g}(w_h)| \leq C h |w_h|_{1,h} |\phi_g|_{2,\Omega}. \quad (2.126)$$

En appliquant le Lemme 2.2.2 pour  $m = 0$ ,  $k = 1$ , le terme

$$\left| \sum_K \int_K (\Pi^0 f - f) w_h dx \right| = \left| \sum_K \int_K f (\Pi^0 w_h - w_h) dx \right| \leq C h |f|_{0,\Omega} |w_h|_{1,h} \quad (2.127)$$

ce qui donne en regroupant,

$$|\phi_g - \phi_h|_{1,h} \leq \tilde{C} h |\phi_g|_{2,\Omega}. \quad (2.128)$$

Puisque  $|\phi_g|_{2,\Omega} \leq C |g|_{0,\Omega}$ , on obtient

$$|(I)| = |a_h(u - u_h, \phi_g - \phi_h)| \leq C_1 h^3 (|u|_{3,\Omega} + |f|_{1,\Omega}) |g|_{0,\Omega}. \quad (2.129)$$

• Posons  $w_h = u - u_h$ , en intégrant par parties, on obtient

$$\begin{aligned} |a_h(u - u_h, \phi_g) - (u - u_h, g)| &= |a_h(w_h, \phi_g) - (w_h, g)_{0,\Omega}| \\ &= \left| \sum_K \int_{\partial K} \nabla \phi_g \cdot \nu w_h d\sigma \right| = |L_{\phi_g}(w_h)| \end{aligned}$$

Grâce à l'estimation (2.126) et l'inégalité  $|\phi_g|_{2,\Omega} \leq C |g|_{0,\Omega}$ , on a

$$|a_h(u - u_h, \phi_g) - (u - u_h, g)| \leq C h |g|_{0,\Omega} |u - u_h|_{1,h} \quad (2.130)$$

Finalement, en utilisant l'estimation (i), on trouve

$$|(II)| = |a_h(u - u_h, \phi_g) - (u - u_h, g)| \leq C_2 h^3 |g|_{0,\Omega} (|u|_{3,\Omega} + |f|_{1,\Omega}) \quad (2.131)$$

• Estimons le terme (III). Posons  $w_h = \phi_g - \phi_h$

$$\begin{aligned} |a_h(u, \phi_g - \phi_h) - (f, \phi_g) + (\Pi^0 f, \phi_h)| &= |a_h(u, w_h) - (f, w_h) - (f, \phi_h) + (\Pi^0 f, \phi_h)| \\ &= |L_u(w_h) - (f - \Pi^0 f, \phi_h)| \\ &\leq |L_u(w_h)| + |(f - \Pi^0 f, \phi_h)| \\ &\leq |L_u(w_h)| + |(f - \Pi^0 f, \phi_h - \Pi^0 \phi_h)| \\ &\leq C h^2 |w_h|_{1,h} (|u|_{3,\Omega} + |f|_{1,\Omega}) \\ &\quad + |f - \Pi^0 f|_{0,\Omega} |\phi_h - \Pi^0 \phi_h|_{0,\Omega} \end{aligned}$$

Or,  $|\phi_h - \Pi^0 \phi_h|_{0,\Omega} \leq C h |\phi_h|_{1,h} \leq C h |g|_{0,\Omega}$ . Donc,

$$\begin{aligned} |(III)| = |a_h(u, \phi_g - \phi_h) - (f, \phi_g) + (\Pi^0 f, \phi_h)| &\leq C h^3 |g|_{0,\Omega} (|u|_{3,\Omega} + |f|_{1,\Omega}) \\ &\quad + C h^2 |f|_{1,\Omega} |g|_{0,\Omega} \end{aligned}$$

Finalement, en regroupant les termes, nous obtenons une estimation de  $|u - u_h|_{0,\Omega}$  :

$$\begin{aligned} |u - u_h|_{0,\Omega} &\leq \sup_{g \in L^2(\Omega)} \frac{1}{|g|_{0,\Omega}} \left[ C_1 h^3 (|u|_{3,\Omega} + |f|_{1,\Omega}) |g|_{0,\Omega} + C_2 h^3 (|u|_{3,\Omega} + |f|_{1,\Omega}) |g|_{0,\Omega} \right. \\ &\quad \left. + C_3 h^2 (h |u|_{3,\Omega} + (1 + h) |f|_{1,\Omega}) |g|_{0,\Omega} \right] \\ &\leq C h^2 (|f|_{1,\Omega} + |u|_{3,\Omega}) \end{aligned}$$

On ne peut obtenir une meilleure estimation de l'erreur  $|u - u_h|_{0,\Omega}$  en raison de l'estimation du terme  $|f - \Pi^0 f|_{0,\Omega}$ .

(iii) Nous avons vu que  $\text{div } p_h|_K = -\Pi^0 f|_K$ , donc

$$|p - p_h|_{\text{div},h}^2 = \sum_K |p - p_h|_{\text{div},K}^2 = \sum_K |\text{div } p - \text{div } p_h|_{0,K}^2 = \sum_K |f - \Pi^0 f|_{0,K}^2 \quad (2.132)$$

on prouve (iii) grâce au Lemme 2.2.1.

(iv) L'estimation d'erreur en  $p$  se déduit de l'écriture (2.104) :

$$|p - p_h|_{0,\Omega}^2 = \sum_K |p - p_h|_{0,K}^2 = \sum_K |\nabla u - \nabla u_h|_{0,K}^2 = \sum_K |u - u_h|_{1,K}^2 = |u - u_h|_{1,h}^2 \quad (2.133)$$

On conclut en utilisant l'estimation (i). ■

### Remarque : Tenseur de diffusion :

Sous la condition d'existence de deux constantes  $c_1, c_2$  telles que

$$c_2 \xi^t \xi \leq \xi^t \mathcal{K}(x) \xi \leq c_1 \xi^t \xi, \quad \forall x \in \Omega, \quad \forall \xi \in \mathbb{R}^2,$$

on prouve (comme dans la Proposition 2.5.1 pour le schéma boîte (2.100)), que le schéma boîte associé au problème de Poisson avec tenseur (2.66) : chercher  $(u_h, p_h) \in P_{nc,0}^2 \times (BDM_1 + \Phi)$  solution de

$$\begin{cases} \sum_{K \in \mathcal{T}_h} (\text{div } p_h + f, v_h) = 0, \quad \forall v_h \in P^0 \\ \sum_{K \in \mathcal{T}_h} (p_h - \mathcal{K} \nabla u_h, q_h) = 0, \quad \forall q_h \in (P^1)^2 \end{cases} \quad (2.134)$$

admet une unique solution donnée par

(i)  $u_h \in P_{nc,0}^2$  solution du problème variationnel :

$$\sum_K (\mathcal{K} \nabla u_h, \nabla v_h)_{0,K} = \sum_K (\Pi^0 f, v_h)_{0,K}, \quad \forall v_h \in P_{nc,0}^2 \quad (2.135)$$

(ii)  $p_h \in (BDM_1 + \Phi)$  est donné sur chaque triangle  $K$  :

$$p_h|_K = \Pi^1(\mathcal{K} \nabla u_h|_K). \quad (2.136)$$

L'étude de ce schéma boîte pour le problème de Poisson avec tenseur de diffusion n'a pas été plus approfondie.

## 2.5.2 Comparaison avec la méthode mixte de Farhloul et Fortin

Dans [29], Farhloul et Fortin ont introduit la forme mixte suivante : chercher  $(u'_h, p'_h) \in M_{2,h} \times X_{1,h}$  tel que

$$\begin{cases} \sum_{K \in \mathcal{T}_h} (\text{div } p'_h + f, v_h)_{0,K} = 0, \quad \forall v_h \in M_{2,h} \\ \sum_{K \in \mathcal{T}_h} \{(p'_h, q_h)_{0,K} + (\text{div } q_h, u'_h)_{0,K}\} = 0, \quad \forall q_h \in X_{1,h} \end{cases} \quad (2.137)$$

Ce problème a une unique solution  $(u'_h, p'_h) \in M_{2,h} \times X_{1,h}$  qui satisfait

$$\|u'_h\|_{1,h} + \|p'_h\|_{\text{div},h} \leq C|f|_{0,\Omega}.$$

La forme hybridée de (2.137) est : chercher  $(u_h, p_h, \lambda_h) \in M_{2,h} \times X_{2,h} \times \Lambda_h$  tel que pour  $(v_h, q_h, \mu_h) \in M_{2,h} \times X_{2,h} \times \Lambda_h$ , on ait

$$\left\{ \begin{array}{l} \sum_{K \in \mathcal{T}_h} \left\{ (p_h, q_h)_{0,K} + \int_K \text{div } q_h u_h dx - \int_{\partial K} q_h \cdot \nu \lambda_h d\sigma \right\} = 0 \\ \sum_{K \in \mathcal{T}_h} \int_K \text{div } p_h v_h dx + (f, v_h)_{0,K} = 0 \\ \sum_{K \in \mathcal{T}_h} \int_{\partial K} p_h \cdot \nu \mu_h d\sigma = 0 \end{array} \right. \quad (2.138)$$

L'espace  $\Lambda_h$  des multiplicateurs de Lagrange est défini par  $\Lambda_h = \Lambda_{1,h} \oplus \Lambda_{2,h}$  où

$$\Lambda_{1,h} = \left\{ \mu_h \in L^2(\mathcal{A}); \mu_{h|_e} \in P^0(e), \forall e \in \mathcal{A}_i, \mu_{h|_e} = 0 \quad \forall e \in \mathcal{A}_b \right\} \quad (2.139)$$

$$\Lambda_{2,h} = \left\{ \mu_h = \psi|_{\mathcal{A}}; \psi \in C^0(\bar{\Omega}), \psi|_K \in P^1(K), \forall K \in \mathcal{T}_h, \psi|_{\Gamma} = 0 \right\} \quad (2.140)$$

Le lien entre le schéma boîte (2.100) et la forme hybridée (2.138) de la méthode mixte  $(P'_h)$  est donné par

**Proposition 2.5.3 (Lien avec la méthode mixte de Farhloul et Fortin)**

Soit  $(u_h, p_h) \in M_{1,h} \times X_{1,h}$  la solution du schéma boîte (2.100). Soit  $\lambda_h \in \Lambda_h = \Lambda_h^1 \oplus \Lambda_h^2$  défini par  $\lambda_h = \lambda_h^1 + \lambda_h^2$  où  $\lambda_h^1 \in \Lambda_h^1$  est défini pour  $a = [S', S''] \in \mathcal{A}_i$  par

$$(i) \quad \lambda_{h|_a}^1 = \frac{1}{3}[2u_h(x_a) - (u_h(S') + u_h(S''))], \quad \forall a \in \mathcal{A}_i$$

(ii)  $\lambda_h^2 \in \Lambda_h^2$  est la fonction affine continue définie par les valeurs de  $u_h$  aux sommets du maillage. Alors,

(a)  $(\Pi^0 u_h, p_h)$  est la solution du schéma mixte (2.137).

(b)  $(\Pi^0 u_h, p_h, \lambda_h)$  est la solution de (2.138).

**Preuve :**

(a) Soit  $(u_h, p_h) \in M_{1,h} \times X_{1,h}$  la solution du schéma boîte (2.100). Puisque  $(2.100)_1$  et  $(2.137)_1$  sont identiques, nous allons montrer que  $(p_h, \Pi^0 u_h)$  est solution de l'équation  $(2.137)_2$ . Pour  $q_h$  dans  $X_{1,h}$ , nous avons

$$\begin{aligned} \sum_K (p_h, q_h)_{0,K} &= \sum_{K \in \mathcal{T}_h} (\nabla u_h, q_h)_{0,K} \\ &= - \sum_{K \in \mathcal{T}_h} (u_h, \text{div } q_h)_{0,K} + \sum_{K \in \mathcal{T}_h} \int_{\partial K} u_h (q_h \cdot \nu) d\sigma \end{aligned} \quad (2.141)$$

Nous avons déjà vu qu'il résulte des propriétés des espaces  $P_{nc,0}^2$  et  $BDM_1 + \Phi$ , que la seconde somme dans l'équation (2.141) est nulle. Puisque  $\text{div } q_h \in P^0$  nous concluons que  $(p_h, q_h) = - \sum_{K \in \mathcal{T}_h} (\Pi^0 u_h, \text{div } q_h)_{0,K}$ , qui est l'identité  $(2.137)_2$  pour  $p'_h = p_h$  et  $u'_h = \Pi^0 u_h$ .

(b) Par unicité de la solution de (2.138), il est suffisant de prouver que  $(\Pi^0 u_h, p_h, \lambda_h) \in M_{2,h} \times X_{2,h} \times \Lambda_h$  est solution de (2.138), avec  $\lambda = \lambda_1 + \lambda_2 \in \Lambda_1 \oplus \Lambda_2$  défini par la Proposition 2.5.3 (i), (ii). Pour  $q_h \in X_{2,h}$ , nous avons encore (2.141). Nous déduisons en utilisant la formule de quadrature de Simpson que pour tout  $e \in \partial K$ ,

$$\int_e (q_h \cdot \nu) u_h d\sigma = \int_e (q_h \cdot \nu) \lambda d\sigma \quad (2.142)$$

Ainsi,  $(\Pi^0 u_h, p_h, \lambda_h) \in M_{2,h} \times X_{2,h} \times \Lambda_h$  est solution de (2.138). ■

## 2.6 Schéma $(u_h, p_h) \in P_{nc,0}^2 \times (RT^1 + \Phi)$

Pour ce dernier schéma, nous introduisons l'espace  $X_{1,h} = RT^1 + \Phi$ , où  $RT^1$  désigne l'espace de Raviart-Thomas d'ordre 1, [39], et l'espace  $\Phi$  est l'espace engendré par les rotationnels de la bulle quadratique non-conforme, définis tous deux au paragraphe 2.4.3. Les degrés de liberté de l'espace  $X_{1,h}$  sont donc situés au niveau des mailles et des arêtes du maillage. L'espace  $X_{1,h}$  est de dimension :

$$\begin{aligned} \dim X_{1,h} &= \dim RT^1 + \dim \Phi - \dim(RT^1 \cap \Phi) \\ &= 2NE + 2NA + NE - 1 = 3NE + 2NA - 1 \end{aligned} \quad (2.143)$$

Nous gardons  $M_{1,h} = P_{nc,0}^2$  pour l'inconnue scalaire  $u_h$ . Nous cherchons des espaces de fonctions test de type discontinus satisfaisant la relation (2.49) d'égalité des dimensions

$$\dim X_{1,h} + \dim M_{1,h} = \dim X_{2,h} + \dim M_{2,h}. \quad (2.144)$$

Or,  $\dim X_{1,h} + \dim M_{1,h} = 3NE + 2(NA + NA_i) = 9NE$ , ce qui suggère de choisir comme espaces de fonctions test, les espaces :

$$X_{2,h} = \left\{ q_h \in (L^2(\Omega))^2 ; q_{h|K} \in (P^1(K))^2, \quad \forall K \in \mathcal{T}_h \right\}, \quad (2.145)$$

$$M_{2,h} = \left\{ v_h \in L^2(\Omega) ; v_{h|K} \in P^1(K), \quad \forall K \in \mathcal{T}_h \right\}, \quad (2.146)$$

totalement discontinus, de dimensions respectives  $\dim X_{2,h} = 6NE$  et  $\dim M_{2,h} = 3NE$ . On notera aussi ces espaces  $(P^1)^2$  et  $P^1$ . La relation (2.49) est donc vérifiée avec ce choix d'espaces. Définissons maintenant le schéma boîte associé :

### Définition 2.6.1 (Schéma boîte $P_{nc,0}^2 \times (RT^1 + \Phi)$ )

Soit le schéma boîte : chercher  $(u_h, p_h) \in P_{nc,0}^2 \times (RT^1 + \Phi)$  tel que

$$\begin{cases} \sum_K \int_K (\operatorname{div} p_h + f) v_h dx = 0, & \forall v_h \in P^1 \\ \sum_K \int_K (p_h - \nabla u_h) \cdot q_h dx = 0, & \forall q_h \in (P^1)^2 \end{cases} \quad (2.147)$$

**Proposition 2.6.1** *Le schéma boîte (2.147) admet une unique solution  $(u_h, p_h) \in P_{nc,0}^2 \times (RT^1 + \Phi)$ , donnée par*  
 (i)  $u_h \in P_{nc,0}^2$  est solution de

$$\sum_{K \in \mathcal{T}_h} (\nabla u_h, \nabla w_h)_{0,K} = \sum_{K \in \mathcal{T}_h} (\Pi^1 f, w_h)_{0,K}, \quad \forall w_h \in P_{nc,0}^2 \quad (2.148)$$

(ii)  $p_h$  est donné sur chaque triangle  $K$  par :

$$p_{h|K}(x) = \nabla u_{h|K}(x) - \frac{1}{3} \left\{ \Pi^1 f \overrightarrow{G_K x} - \Pi^1 [\Pi^1 f \overrightarrow{G_K x}] \right\} \quad (2.149)$$

où  $G_K$  est le centre de gravité du triangle  $K$

Remarquons que la solution  $u_h$  du schéma boîte (2.147) est la solution du problème standard non-conforme de Fortin-Soulie dans le cas d'un terme source affine par morceau.

**Preuve :**

Le problème (2.147) est linéaire avec autant d'inconnues que d'équations. Donc prouver l'unicité de la solution du problème (2.147) suffit à prouver l'existence et l'unicité de la solution du problème (2.147). L'unicité du problème (2.147) est donnée par l'unicité de (2.148-2.149). Soit  $(u_h, p_h) \in M_{1,h} \times X_{1,h}$  solution du problème (2.147). Montrons que  $(u_h, p_h)$  est solution de (2.148-2.149).

(i) Soit  $w_h \in P_{nc,0}^2$ ,  $\nabla w_h \in X_{2,h}$ . Ainsi en appliquant la formule de Green dans l'équation (2.147)<sub>2</sub> pour  $q_h = \nabla w_h$ , on a

$$\sum_K (\nabla u_h, \nabla w_h)_{0,K} = - \sum_K (\operatorname{div} p_h, w_h)_{0,K} + \sum_K \int_{\partial K} (p_h \cdot \nu) w_h d\sigma \quad (2.150)$$

La décomposition de  $p_{h|K} \in X_{1,h} = RT^1 + \Phi$  est localement  $p_{h|K} = \hat{p}_{h|K} + \alpha_K \operatorname{rot} b_K$ . Donc,

$$\sum_K \int_{\partial K} (p_h \cdot \nu) w_h d\sigma = \sum_K \int_{\partial K} \hat{p}_h \cdot \nu w_h d\sigma + \sum_K \alpha_K \int_{\partial K} \frac{\partial b_K}{\partial \tau} w_h d\sigma \quad (2.151)$$

Le dernier terme du membre de droite de l'équation (2.151) s'annule en vertu du Lemme 2.4.3. La continuité de  $\hat{p}_h \cdot \nu$  le long de chaque arête interne et les propriétés de l'espace  $P_{nc,0}^2$  impliquent que le terme

$$\sum_K \int_{\partial K} \hat{p}_h \cdot \nu w_h d\sigma = 0$$

(intégration exacte aux deux points de Gauss de chaque arête d'un polynôme de degré 3). D'autre part, puisque  $M_{2,h}$  est un espace de polynômes de degré 1 par triangle, nous déduisons de (2.147)<sub>1</sub> que  $\operatorname{div} p_{h|K} = -\Pi^1 f_K$ , pour tout triangle  $K$ . Ceci démontre la première partie du résultat.

(ii) Considérons maintenant  $p_h \in X_{1,h}$ . Dans un triangle  $K$ , il s'écrit  $p_{h|K} = \hat{p}_{h|K} + \alpha_K \operatorname{rot} b_K$ . L'expression locale de  $\hat{p}_{h|K} \in RT^1(K)$  est

$$\hat{p}_{h|K}(x) = \bar{p}_{h|K}(x) + [A_K \cdot \overrightarrow{G_K x}] \overrightarrow{G_K x}, \quad (2.152)$$

où  $\bar{p}_h \in P_1(K)^2$  et  $A_K$  est un vecteur constant de  $K$ . De plus,  $\forall K$ ,  $\operatorname{div} p_{h|K} = -\Pi^1 f|_K$  par (2.147)<sub>1</sub>. D'après (2.152), on a :

$$\operatorname{div} p_h = \underbrace{\operatorname{div} \bar{p}_h}_{\in P^0} + 3(A_K \cdot \overrightarrow{G_K x}) \quad (2.153)$$

En identifiant les deux valeurs de  $\operatorname{div} p_h$ , puis en prenant le gradient, on obtient  $A_K = -\frac{1}{3} \nabla (\Pi^1 f)$ . D'autre part, sur un triangle  $K$ ,  $(\Pi^1 f)_K$  s'écrit encore

$$(\Pi^1 f)_K = (\Pi^0 f)_K + \nabla (\Pi^1 f)_K \cdot \overrightarrow{G_K x},$$

donc la composante quadratique de  $p_{h|K}$  est égale à :

$$(A_K \cdot \overrightarrow{G_K x}) \overrightarrow{G_K x} = -\frac{1}{3} [(\Pi^1 f|_K - \Pi^0 f|_K) \overrightarrow{G_K x}].$$

La partie linéaire de  $p_h$  est  $\tilde{p}_{h|K} = \bar{p}_{h|K} + \alpha_K \operatorname{rot} b_K$ . Elle se détermine par (2.147)<sub>2</sub> :

$$(\tilde{p}_h - \nabla u_h; q_h) = -\frac{1}{3} ((\Pi^1 f - \Pi^0 f) \overrightarrow{G_K x}, q_h)_{0,K}, \quad q_h \in (P^1)^2 \quad (2.154)$$

ce qui donne (2.149). ■

### Lemme 2.6.1 (Stabilité)

Il existe une constante  $C$  indépendante de  $h$  telle que la solution  $(u_h, p_h) \in P_{nc,0}^2 \times (RT^1 + \Phi)$  du schéma boîte (2.147) satisfait

$$\|u_h\|_{1,h} + \|p_h\|_{\operatorname{div},h} \leq C |f|_{0,\Omega} \quad (2.155)$$

**Preuve :**

On déduit de la Proposition 2.6.1 et de l'écriture locale de  $\operatorname{div} p_h$ , les relations suivantes :

$$\begin{aligned} |u_h|_{1,h} &\leq C_1 |f|_{0,\Omega} \\ \|p_h\|_{\operatorname{div},h} &\leq |u_h|_{1,h} + C_2 |f|_{0,\Omega} \end{aligned}$$

On conclut, en combinant ces relations et en utilisant l'inégalité de Poincaré discret (Lemme 2.4.8). ■

**Remarque :**

L'existence et l'unicité de la solution du schéma (2.147) peuvent aussi se démontrer en vérifiant les conditions inf-sup du théorème de Babuška-Brezzi discret.

Tout comme pour le schéma boîte  $P_{nc,0}^2 \times (BDM_1 + \Phi)$  les formes bilinéaires sont définies pour  $p_h \in X_{1,h}$ ,  $u_h \in M_{1,h}$ ,  $q_h \in X_{2,h}$  et  $v_h \in M_{2,h}$  par :

$$\begin{cases} a_h(p_h, q_h) = (p_h, q_h)_{0,\Omega} = \sum_K \int_K p_h \cdot q_h dx \\ b_{1,h}(u_h, q_h) = - \sum_K \int_K \nabla u_h \cdot q_h dx \\ b_{2,h}(v_h, p_h) = \sum_K \int_K \operatorname{div} p_h v_h dx \end{cases} \quad (2.156)$$

Soit  $l_{2,h}$  l'application nulle et  $m_{2,h}$  la forme linéaire continue définie sur  $M_{2,h}$  par

$$\langle m_{2,h}, v_h \rangle = \sum_K \int_K \Pi^1 f v_h dx$$

Nous donnons aussi la preuve de l'existence et de l'unicité de la solution du schéma boîte (2.147) par le théorème de Babuška-Brezzi discret. Vérifions les hypothèses du théorème de Babuška-Brezzi discret.

(i). • Montrons que  $V_{1,h} = V_{2,h}$  avec :

$$\begin{aligned} V_{1,h} &= \{p_h \in X_{1,h}; \sum_K \int_K \operatorname{div} p_h v_h dx = 0, \quad \forall v_h \in M_{2,h}\}, \\ V_{2,h} &= \{q_h \in X_{2,h}; - \sum_K \int_K \nabla u_h \cdot q_h dx = 0, \quad \forall u_h \in M_{1,h}\}. \end{aligned} \quad (2.157)$$

L'égalité (2.49) des dimensions entre espaces d'inconnues et espaces de test donne :

$$\dim V_{1,h} = \dim X_{1,h} - \dim M_{2,h} = \dim X_{2,h} - \dim M_{1,h} = \dim V_{2,h}.$$

Il reste à prouver l'inclusion :  $V_{1,h} \subseteq V_{2,h}$ . Soit  $p_h \in V_{1,h}$ , alors,  $p_h \in X_{2,h}$  (les éléments de  $RT^1$ , à divergence nulle sont dans  $(P^1)^2$  et  $\operatorname{rot} b_K \in (P^1)^2$ ). Vérifions donc que  $b_{1,h}(u_h, p_h) = 0$ , pour tout  $u_h \in M_{1,h}$ .  $p_h \in X_{1,h} = RT^1 + \Phi$ , donc  $\operatorname{div} p_{h|K} \in P^1(K)$ ,  $\forall K \in \mathcal{T}_h$ . Or  $p_h \in V_{1,h}$ . D'où on déduit que  $\operatorname{div} p_{h|K} = 0$ . Soit  $u_h \in M_{1,h}$ . En utilisant la formule de Green,

$$b_{1,h}(u_h, p_h) = - \sum_K \int_K \nabla u_h \cdot p_h dx = \sum_K \int_K \underbrace{u_h \operatorname{div} p_h}_{=0} + \sum_K \int_{\partial K} u_h p_h \cdot \nu d\sigma \quad (2.158)$$

D'autre part,  $p_h$  s'écrit localement  $p_{h|K} = \hat{p}_h + \alpha_K \operatorname{rot} b_K$ , où  $\hat{p}_h$  est la composante selon  $RT^1 \subseteq H_{\operatorname{div}}(\Omega)$  et  $\alpha_K$  est une constante de  $\mathbb{R}$ . L'équation (2.158) est équivalente à :

$$\begin{aligned} b_{1,h}(u_h, p_h) &= \sum_K \int_{\partial K} u_h p_h \cdot \nu d\sigma \\ &= \sum_K \int_{\partial K} u_h \hat{p}_h \cdot \nu d\sigma + \sum_K \int_{\partial K} u_h (\alpha_K \operatorname{rot} b_K) \cdot \nu d\sigma \\ &= \sum_{a \in A_b} \int_a u_h \hat{p}_h \cdot \nu_a d\sigma - \sum_{a \in A_i} \int_a [u_h] \hat{p}_h \cdot \nu_a d\sigma + \sum_K \alpha_K \int_{\partial K} u_h \frac{\partial b_K}{\partial \tau} d\sigma \end{aligned} \quad (2.159)$$

Par le Lemme 2.4.3,  $\int_{\partial K} u_h \frac{\partial b_K}{\partial \tau} d\sigma = 0, \forall u_h \in P^2$ .

D'autre part,  $p_h^1 \in (P^1(K))^2$  et  $u_h \in P_{nc,0}^2$ . L'intégration aux deux points de Gauss de l'arête  $a \in A_i$  de l'expression  $[u_h] p_h^1 \cdot \nu_a$  est exacte. Or  $u_h$ , est continue aux points de Gauss d'une arête interne  $a$ , donc  $[u_h]$  est nul aux points de Gauss de  $a$ . On en déduit

$$\sum_{a \in A_i} \int_a [u_h] p_h^1 \cdot \nu_a d\sigma = 0.$$

De même, l'intégration sur une arête frontière  $a \in A_b$  de  $\int_a u_h p_h^1 \cdot \nu_a$  est exacte aux points de Gauss de l'arête  $a$ . Ainsi :

$$\sum_{a \in A_b} \int_a u_h p_h^1 \cdot \nu_a d\sigma = 0.$$

Finalement, nous venons de prouver que chaque terme de l'équation (2.159) est nul, c'est-à-dire  $b_{1,h}(u_h, p_h) = 0, \forall u_h \in M_{1,h}$ . Alors  $V_{1,h} = V_{2,h} = V_h$ ,

$$\sup_{p_h \in V_{1,h}, \|p_h\|_{\text{div},h}} a_h(p_h, q_h) = \sup_{p_h \in V_h, \|p_h\|_{0,h}} a_h(p_h, q_h) = \|q_h\|_{0,h}, \quad (2.160)$$

puisque les normes  $\|\cdot\|_{0,h}$  et  $\|\cdot\|_{\text{div},h}$  sont équivalentes.

Ceci conclut la condition (i).

(ii) est vérifié par le choix des espaces  $M_{1,h}, X_{1,h}, M_{2,h}$  et  $X_{2,h}$  qui satisfont la relation (2.144).

(iii) Prouvons qu'il existe une constante  $\beta_1 > 0$  telle que

$$\sup_{q_h \in X_{2,h}, |q_h|_{0,h} \leq 1} b_{1,h}(u_h, q_h) \geq \beta_1 |u_h|_{1,h}, \quad \forall u_h \in M_{1,h}$$

Soit  $u_h \in M_{1,h}$ . Soit  $q_h|_K = \frac{-\nabla u_h|_K}{|u_h|_{1,h}}$ , alors  $q_h \in X_{2,h} = (P^1)^2$  par définition de l'espace  $M_{1,h} = P_{nc,0}^2$  et  $|q_h|_{1,h} = 1$ . Ainsi

$$b_{1,h}(u_h, q_h) = - \sum_K \int_K \nabla u_h \cdot q_h dx = - \sum_K \int_K \frac{|\nabla u_h|^2}{|u_h|_{1,h}} dx = |u_h|_{1,h} \quad (2.161)$$

$\beta_1 = 1$  convient pour prouver (iii).

(iv) Nous cherchons  $\beta_2 > 0$  constante telle que

$$\sup_{p_h \in X_{1,h}, \|p_h\|_{\text{div},h} \leq 1} b_{2,h}(v_h, p_h) \geq \beta_2 |v_h|_{0,h}, \quad \forall v_h \in M_{2,h}$$

Soit  $v_h \in M_{2,h} = P^1$ , d'après [39], il existe  $q_h \in RT^1$  tel que

$$\begin{cases} \text{div } q_h = v_h \\ \|q_h\|_{\text{div},\Omega} \leq c |v_h|_{0,h} \end{cases} \quad (2.162)$$

Posons  $\tilde{q}_h = \frac{q_h}{\|q_h\|_{\text{div},\Omega}}$ , alors  $\tilde{q}_h \in X_{1,h}$  et  $\|\tilde{q}_h\|_{\text{div},\Omega} = 1$ .

$$b_{2,h}(v_h, \tilde{q}_h) = \sum_K \int_K \text{div } \tilde{q}_h v_h dx = \sum_K \int_K \frac{\text{div } q_h v_h}{\|q_h\|_{\text{div},\Omega}} dx = \sum_K \int_K \frac{|v_h|_{0,K}^2}{\|q_h\|_{\text{div},\Omega}} dx = \frac{|v_h|_{0,h}^2}{\|q_h\|_{\text{div},\Omega}} \quad (2.163)$$

Donc  $b_{2,h}(v_h, \tilde{q}_h) \geq \frac{1}{c}|v_h|_{0,\Omega}$ , c'est-à-dire  $\beta_2 = \frac{1}{c}$  convient. La condition (iv) est en fait la condition inf-sup du problème mixte standard de Raviart-Thomas pour l'espace  $RT^1$ .

Finalement, les hypothèses du théorème de Babuška-Brezzi sont vérifiées, ce qui prouve l'existence et l'unicité du du schéma boîte (2.147), ainsi que sa stabilité :

$$\|(u_h, p_h)\|_{M_{1,h} \times X_{1,h}} = \|u_h\|_{1,h} + \|p_h\|_{\text{div},\Omega} \leq C |f|_{0,\Omega}$$

Nous déduisons de la formulation de la Proposition 2.6.1, les estimations d'erreur a priori de la solution du schéma boîte (2.147).

**Proposition 2.6.2 (Estimation d'erreur a priori)**

Soient  $(u, p) \in H_0^1(\Omega) \times H_{\text{div}}(\Omega)$  la solution du problème mixte de Petrov-Galerkin (2.2) et  $(u_h, p_h) \in P_{nc,0}^2 \times (RT^1 + \Phi)$  la solution du schéma boîte (2.147). Si de plus,  $u \in H^3(\Omega)$  et  $f \in H^2(\Omega)$ , alors

$$\begin{aligned} (i) \quad & |u - u_h|_{1,h} \leq Ch^2(|u|_{3,\Omega} + |f|_{1,\Omega}) \\ (ii) \quad & |u - u_h|_{0,h} \leq Ch^3(|u|_{3,\Omega} + |f|_{1,\Omega} + |f|_{2,\Omega}) \\ (iii) \quad & |p - p_h|_{\text{div},h} \leq Ch^2|f|_{2,\Omega} \\ (iv) \quad & |p - p_h|_{0,\Omega} \leq Ch^2(|u|_{3,\Omega} + |f|_{1,\Omega}) \end{aligned} \tag{2.164}$$

**Preuve :**

La preuve du (i) est identique à l'estimation d'erreur de  $|u - u_h|_{1,h}$  du schéma (2.100) (Proposition 2.5.2).

La preuve du (ii) est analogue au calcul réalisé dans la Proposition 2.5.2, en effet :

$$|u - u_h|_{0,\Omega} = \sup_{g \in L^2(\Omega)} \frac{(u - u_h, g)_{0,\Omega}}{|g|_{0,\Omega}}$$

Soit  $g$  une fonction de  $L^2(\Omega)$ . On définit  $\phi_g$  (respectivement  $\phi_h$ ) la solution du problème continu (2.2) (respectivement discret (2.147)) pour la fonction  $g$  de  $L^2(\Omega)$ .

$\phi_g \in H_0^1(\Omega)$  solution de

$$(\nabla \phi_g, \nabla v)_{0,\Omega} = (g, v)_{0,\Omega}, \quad v \in H_0^1(\Omega) \tag{2.165}$$

$\phi_h \in P_{nc,0}^2$  solution de

$$\sum_K (\nabla \phi_h, \nabla v_h)_{0,K} = \sum_K (\Pi^1 g, v_h)_{0,K}, \quad v_h \in P_{nc,0}^2 \tag{2.166}$$

Alors, de même on a la relation

$$\begin{aligned} (u - u_h, g)_{0,\Omega} &= a(u - u_h, \phi_g - \phi_h) - (a(u - u_h, \phi_g) - (u - u_h, g)) \\ &\quad - (a(u, \phi_g - \phi_h) - (f, \phi_g) + (\Pi^1 f, \phi_h)) \end{aligned}$$

Ainsi, on a

$$\begin{aligned}
 |(u - u_h, g)_{0,\Omega}| &= \underbrace{|a(u - u_h, \phi_g - \phi_h)|}_{(I)} - \underbrace{|a(u - u_h, \phi_g) - (u - u_h, g)|}_{(II)} \\
 &\quad - \underbrace{|a(u, \phi_g - \phi_h) - (f, \phi_g) + (\Pi^1 f, \phi_h)|}_{(III)}
 \end{aligned}$$

Les évaluations de (I) et (II) sont identiques à celles réalisées dans la preuve de la Proposition 2.5.2 ((2.129) et (2.131)) :

$$\begin{aligned}
 (I) &= |a(u - u_h, \phi_g - \phi_h)| \leq Ch^3 (|u|_{3,\Omega} + |f|_{1,\Omega}) |g|_{0,\Omega} \\
 (II) &= |a(u - u_h, \phi_g) - (u - u_h, g)| \leq Ch^3 (|u|_{3,\Omega} + |f|_{1,\Omega}) |g|_{0,\Omega}
 \end{aligned} \tag{2.167}$$

Pour (III), on pose  $w_h = \phi_g - \phi_h$  :

$$\begin{aligned}
 |a(u, \phi_g - \phi_h) - (f, \phi_g) + (\Pi^1 f, \phi_h)| &= |a(u, w_h) - (f, w_h) - (f, \phi_h) + (\Pi^1 f, \phi_h)| \\
 &= |L_u(w_h) - (f - \Pi^1 f, \phi_h)| \\
 &\leq |L_u(w_h)| + |(f - \Pi^1 f, \phi_h)| \\
 &\leq |L_u(w_h)| + |(f - \Pi^1 f, \phi_h - \Pi^0 \phi_h)| \\
 &\leq Ch|w_h|_{1,h}|u|_{3,\Omega} + |f - \Pi^1 f|_{0,\Omega}|\phi_h - \Pi^0 \phi_h|_{0,\Omega} \\
 &\leq Ch^3|g|_{0,\Omega}|u|_{3,\Omega} + Ch^3|f|_{2,\Omega}|g|_{0,\Omega}
 \end{aligned}$$

Donc  $|(III)| \leq Ch^3|g|_{0,\Omega}(|u|_{3,\Omega} + |f|_{2,\Omega})$ . En regroupant avec (2.167), on déduit l'estimation  $|u - u_h|_{0,\Omega}$ .

(iii) On a l'estimation d'erreur pour  $p$  en semi-norme  $|\cdot|_{\text{div},h}$  :

$$|p - p_h|_{\text{div},h}^2 = \sum_K |p - p_h|_{\text{div},K}^2 = \sum_K |\text{div } p - \text{div } p_h|_{0,K}^2 = \sum_K |f - \Pi^1 f|_{0,K}^2$$

Or, en appliquant le Lemme 2.2.1,  $|f - \Pi^1 f|_{0,K} \leq Ch_K^2|f|_{2,K}$ . Ce qui donne le résultat.

(iv) En utilisant l'écriture locale de  $p_h$ , on obtient

$$\begin{aligned}
 |p - p_h|_{0,\Omega}^2 &= \sum_K |p - p_h|_{0,K}^2 \\
 &= \sum_K |\nabla u - \nabla u_h + \frac{1}{3} \{ (\Pi^1 f) \overrightarrow{G_K x} - \Pi^1 [(\Pi^1 f) \overrightarrow{G_K x}] \}|_{0,K}^2 \\
 &\leq |u - u_h|_{1,h}^2 + Ch^2 \sum_K |\Pi^1 f|_{0,K}^2 |K| R_K^2
 \end{aligned}$$

Si  $R_K^2 = \frac{1}{|K|} \int_K \|\overrightarrow{G_K x}\|^2 dx$ , il existe une constante  $C$  telle que  $R_K^2 \leq C|K|$ . On obtient donc le résultat annoncé. ■

**Remarque :**

On suppose que le tenseur  $\mathcal{K}$  est une matrice symétrique définie positive ; c'est-à-dire que  $\mathcal{K}$

satisfait la condition de coercivité suivante : il existe deux constantes  $c_1, c_2$  telles que pour tout  $x \in \Omega$  et tout  $\xi \in \mathbb{R}^2$ ,

$$c_2 \xi^t \xi \leq \xi^t \mathcal{K}(x) \xi \leq c_1 \xi^t \xi.$$

Le schéma boîte associé au problème de Poisson avec tenseur  $-\operatorname{div}(\mathcal{K}\nabla u) = f$ , est par exemple : chercher  $(u_h, p_h) \in P_{nc,0}^2 \times (RT^1 + \Phi)$  tel que

$$\begin{cases} \sum_K \int_K (\operatorname{div} p_h + f) v_h dx = 0, & \forall v_h \in P^1 \\ \sum_K \int_K (p_h - \mathcal{K}\nabla u_h) \cdot q_h = 0, & \forall q_h \in (P^1)^2 \end{cases} \quad (2.168)$$

Ce problème admet une unique solution donnée par

(i)  $u_h \in M_{1,h}$  est solution de

$$\sum_K (\mathcal{K}\nabla u_h; \nabla v_h)_{0,K} = (\Pi^1 f, v_h) \quad \forall v_h \in M_{1,h} \quad (2.169)$$

(ii)  $p_h$  est donné sur chaque triangle  $K$

$$p_{h|K}(x) = \Pi^1(\mathcal{K}\nabla u_h(x))|_K - \frac{1}{3} \left\{ \Pi^1 f \overrightarrow{G_K x} - \Pi^1[\Pi^1 f \overrightarrow{G_K x}] \right\} \quad (2.170)$$

Ce résultat se démontre comme dans la Proposition 2.6.1, où le tenseur de diffusion est l'identité  $\mathcal{K} = I$ .

## 2.7 Quelques applications numériques

### 2.7.1 Introduction

Soit le domaine  $\Omega = [0, 1]^2$ , on considère le problème de Poisson de conditions à la frontière de type Dirichlet :

$$\begin{cases} -\Delta u = f, & \text{sur } \Omega = [0, 1]^2 \\ u = g, & \text{sur } \Gamma = \partial\Omega \end{cases} \quad (2.171)$$

Les conditions sur la frontière sont données par la solution exacte. Nous donnons quelques résultats numériques obtenus pour les schémas boîte des sections 2.3.4, 2.5 et 2.6. Les programmes sont écrits en Matlab. La programmation est réalisée grâce à l'équivalence des schémas boîte (2.47), (2.100) (respectivement (2.147)) avec les problèmes découplés en  $u_h$  et  $p_h$  donnés par les propositions 2.3.1, 2.5.1 (respectivement 2.6.1). Dans un premier temps, on calcule l'inconnue scalaire  $u \in M_{1,h}$  solution du problème variationnel

$$\sum_K (\nabla u_h, \nabla v_h)_{0,K} = \sum_K (\Pi^i f, v_h)_{0,K}, \quad v_h \in M_{1,h} \quad i = 0, 1.$$

Le flux discret  $p_h$  est donné par la formule de reconstruction locale en fonction de  $u_h$  et  $f$ . Si  $M_{1,h}$  est l'espace  $P_{nc,0}^2$ , on utilise la décomposition de  $P_{nc,0}^2$  comme somme directe de  $P_{c,0}^2$

et  $\Psi$ . Les conditions limites sont données par la solution exacte aux deux points de Gauss de chaque arête frontière. Nous représentons les différents types de maillages du domaine  $\Omega$  utilisés pour les tests.

- des maillages en triangles de type 1 composés de 100 ou 400 triangles (Figure 2.11).
- des maillages en triangles de type 2 composés de 50 ou 200 triangles (Figure 2.12).

Pour chaque test numérique proposé, nous calculons les taux de convergence de l'erreur entre la solution exacte et les solutions calculées par le schéma boîte de Courbet-Croisille et les deux schémas boîte quadratiques proposés dans ce chapitre. Nous représentons la solution  $(u_h, p_h) \in P_{nc,0}^2 \times (RT^1 + \Phi)$ , calculée par le schéma boîte (2.147).

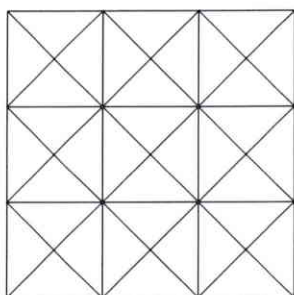


FIG. 2.11 - Maillage triangulaire de type 1

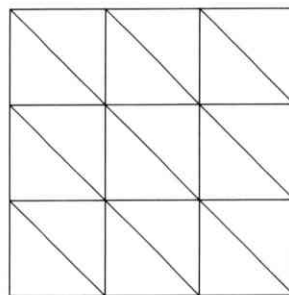


FIG. 2.12 - Maillage triangulaire de type 2

Nous proposons 4 tests, de conditions limites de type Dirichlet, données par la solution exacte  $u$  sur la frontière. Pour rappel, nous donnons quelques résultats numériques pour le schéma boîte  $P_{nc,0}^1 \times RT^0$  de B. Courbet et J-P. croisille rappelé au Paragraphe 2.3.4.

### 2.7.2 Test 1

Nous considérons la solution exacte du problème (2.171) :

$$u(x, y) = \cos(2\pi x) \sin(2\pi y), \quad (x, y) \in [0, 1]^2,$$

de terme source  $f(x, y) = 8\pi^2 \cos(2\pi x) \sin(2\pi y)$ . La solution exacte donne les conditions de Dirichlet sur la frontière. On calcule pour les trois schémas boîte de ce Chapitre la solution  $u_h \in M_{1,h}$  et le flux discret  $p_h \in X_{1,h}$ , pour des maillages de type 1, composés de 100 et 400 triangles. Les tableaux 2.1, 2.2 et 2.3 présentent les résultats numériques obtenus pour cette solution exacte pour les trois schémas boîte (2.47), (2.100) et (2.147). On calcule l'erreur en norme  $L^2$  et en semi-norme  $|\cdot|_{1,h}$  de la solution scalaire  $u$  et l'erreur en norme  $L^2$  du flux  $p$ . Les résultats de convergence obtenus correspondent aux taux de convergence annoncés dans les Propositions 2.3.3, 2.5.2 et 2.6.2. Les Figures 2.13 et 2.14 représentent la solution  $u_h \in P_{nc,0}^2$  calculée par le schéma boîte  $P_{nc,0}^2 \times (RT^1 + \Phi)$ . Le flux discret  $p_h \in (RT^1 + \Phi)$  est représenté sur la Figure 2.15.

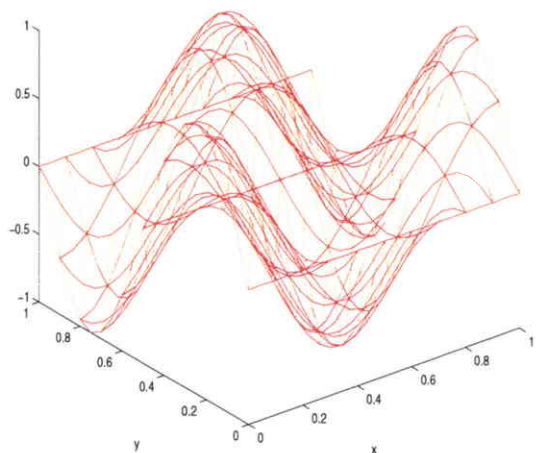


FIG. 2.13 – Test 1 : Solution  $u_h \in P_{nc,0}^2$  calculée par le schéma boîte  $P_{nc,0}^2 \times (RT^1 + \Phi)$ .

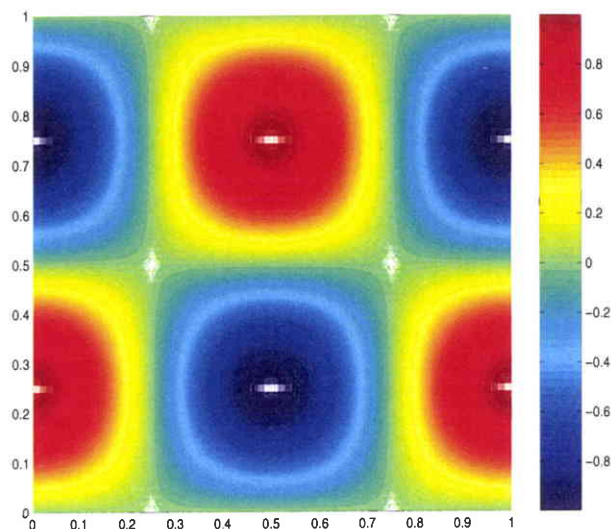


FIG. 2.14 – Test 1 : Isolignes de la solution  $u_h \in P_{nc,0}^2$  calculée par le schéma  $P_{nc,0}^2 \times (RT^1 + \Phi)$ .

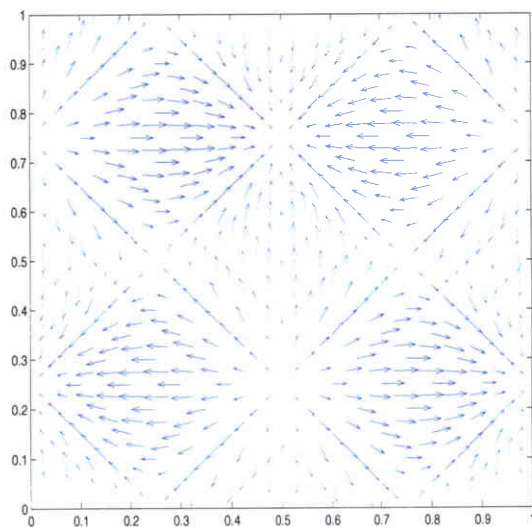


FIG. 2.15 – Test 1 : Flux  $p_h \in (RT^1 + \Phi)$  calculé par le schéma  $P_{nc,0}^2 \times (RT^1 + \Phi)$ .

nb mailles	$ u - u_h _{0,\Omega}$	$ u - u_h _{1,h}$	$ p - p_h _{0,\Omega}$	pas d'espace $h$
100	0.0074	0.3387	0.2203	0.2
400	$9.2712 \cdot 10^{-4}$	0.0865	0.0557	0.1
taux conv.	2.9967	1.9692	1.9837	

TAB. 2.1 – Test 1 : Résultats du schéma boîte  $(u_h, p_h) \in P_{nc,0}^2 \times (RT^1 + \Phi)$ 

nb mailles	$ u - u_h _{0,\Omega}$	$ u - u_h _{1,h}$	$ p - p_h _{0,\Omega}$	pas d'espace $h$
100	0.0346	0.4622	0.4622	0.2
400	0.0090	0.1190	0.1190	0.1
taux conv.	1.9428	1.9576	1.9576	

TAB. 2.2 – Test 1 : Résultats du schéma boîte  $(u_h, p_h) \in P_{nc,0}^2 \times (BDM^1 + \Phi)$ 

nb mailles	$ u - u_h _{0,\Omega}$	$ u - u_h _{1,h}$	$ p - p_h _{0,\Omega}$	pas d'espace $h$
100	0.0013	0.0321	0.0276	0.2
400	$3.3487 \cdot 10^{-4}$	0.0162	0.0139	0.1
taux conv.	1.9568	0.9866	0.9896	

TAB. 2.3 – Test 1 : Résultats du schéma boîte  $(u_h, p_h) \in P_{nc,0}^1 \times RT^0$ 

### 2.7.3 Test 2

La fonction  $u(x, y) = xy(1-x)(1-y)$ ,  $(x, y) \in [0, 1]^2$ , est solution du problème (2.171) de terme source  $f(x, y) = 2(y(1-y) + x(1-x))$  et de condition de Dirichlet  $g = u|_{\partial\Omega}$ . On calcule la solution discrète  $(u_h, p_h) \in M_{1,h} \times X_{1,h}$ , des trois schémas boîte (2.47), (2.100) et (2.147) pour des maillages de type 1 et 2. On compare ensuite l'erreur entre la solution exacte  $(u, p = \nabla u)$  et la solution discrète  $(u_h, p_h)$  pour différentes normes. Ces résultats sont regroupés dans les tableaux 2.4, 2.5 et 2.6. Les taux de convergence de la solution  $(u_h, p_h)$  de chaque schéma boîte par rapport à la solution exacte  $(u, p = \nabla u)$  correspondent aux taux annoncés dans les théorèmes d'estimation d'erreur *a priori* (voir les Propositions 2.3.3, 2.5.2 et 2.6.2). Sur les Figures 2.16 et 2.17, nous représentons la solution discrète  $u_h \in P_{nc,0}^2$  du schéma boîte (2.147). La Figure 2.18 représente le flux discret  $p_h \in (RT^1 + \Phi)$  du schéma boîte (2.147).

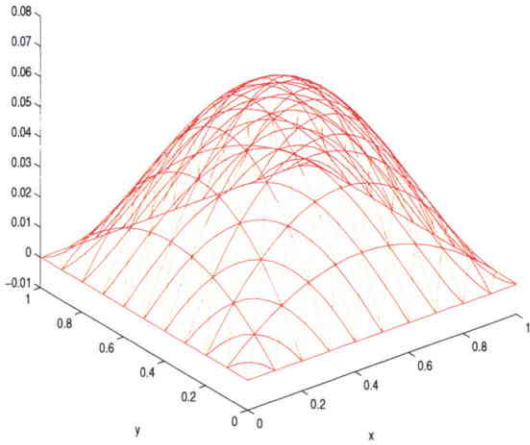


FIG. 2.16 – Test 2 : Solution  $u_h \in P_{nc,0}^2$  calculée par le schéma  $P_{nc,0}^2 \times (RT^1 + \Phi)$ .

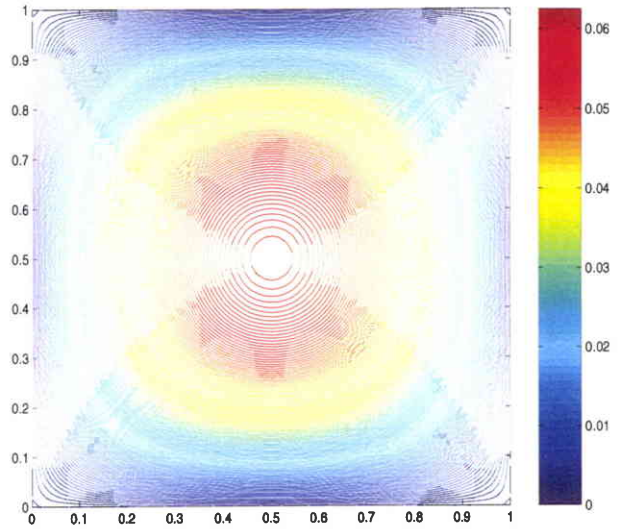


FIG. 2.17 – Test 2 : Isolignes de la solution  $u_h \in P_{nc,0}^2$  calculée par le schéma  $P_{nc,0}^2 \times (RT^1 + \Phi)$ .

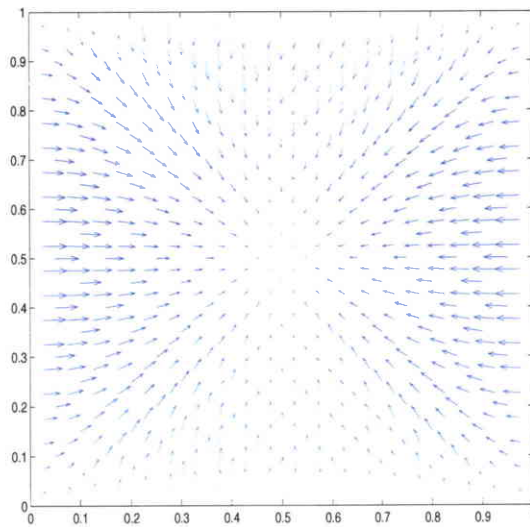


FIG. 2.18 – Test 2 : Flux  $p_h \in (RT^1 + \Phi)$  calculé par le schéma  $P_{nc,0}^2 \times (RT^1 + \Phi)$ .

nb mailles	$ u - u_h _{0,\Omega}$	$ u - u_h _{1,h}$	$ p - p_h _{0,\Omega}$	pas d'espace $h$
100	$5.9441 \cdot 10^{-5}$	0.0027	0.0026	0.2
400	$7.2179 \cdot 10^{-6}$	$6.6904 \cdot 10^{-4}$	$6.3209 \cdot 10^{-4}$	0.1
taux conv.	3.0418	2.0128	2.0403	
50	$1.2415 \cdot 10^{-4}$	0.006094	0.005017	0.2828
200	$1.5473 \cdot 10^{-5}$	0.001535	0.001258	0.1414
taux conv.	3.0043	1.9892	1.9957	

 TAB. 2.4 – Test 2 : Résultats du schéma boîte  $(u_h, p_h) \in P_{nc,0}^2 \times (RT^1 + \Phi)$ 

nb mailles	$ u - u_h _{0,\Omega}$	$ u - u_h _{1,h}$	$ p - p_h _{0,\Omega}$	pas d'espace $h$
100	$3.5891 \cdot 10^{-4}$	0.003078	0.0031	0.2
400	$9.1182 \cdot 10^{-5}$	$7.6732 \cdot 10^{-4}$	$7.6732 \cdot 10^{-4}$	0.1
taux conv.	1.9768	2.0144	2.0144	
50	$7.2712 \cdot 10^{-4}$	0.0070	0.0070	0.2828
200	$1.8300 \cdot 10^{-4}$	0.0018	0.0018	0.1414
taux conv.	1.9903	1.9594	1.9594	

 TAB. 2.5 – Test 2 : Résultats du schéma boîte  $(u_h, p_h) \in P_{nc,0}^2 \times (BDM_1 + \Phi)$ 

nb mailles	$ u - u_h _{0,\Omega}$	$ u - u_h _{1,h}$	$ p - p_h _{0,\Omega}$	pas d'espace $h$
100	0.0728	1.8187	1.5945	0.2
400	0.0186	0.9252	0.8038	0.1
taux conv.	1.9686	0.9751	0.9882	

 TAB. 2.6 – Test 2 : Résultats du schéma boîte  $(u_h, p_h) \in P_{nc,0}^1 \times RT^0$ 

### 2.7.4 Test 3

Nous considérons la solution exacte du problème (2.171) :

$$u(x, y) = xy(1-x)(1-y) \exp(5x)$$

de terme source  $f$  :

$$f(x, y) = \exp(5x) (y(1-y)(25x(1-x) + 10(1-2x) - 2) - 2x(1-x)) .$$

Il s'agit d'un problème de type couche limite avec une forte variation du gradient le long de l'axe  $x = x_0 = \frac{3+\sqrt{29}}{10}$ . On représente la solution  $(u_h, p_h) \in P_{nc,0}^2 \times (RT^1 + \Phi)$  du schéma boîte (2.147) pour un maillage de type 1 composé de 400 triangles. Les Figures 2.19 et 2.20 représentent la solution  $u_h \in P_{nc,0}^2$ . Le flux discret  $p_h \in RT^1 + \Phi$  est représenté sur la Figure 2.21. L'erreur entre la solution exacte  $u$  et la solution calculée  $u_h$  et représenté sur la Figure 2.22. Les calculs d'erreur pour les schémas boîte (2.47) (2.100) et (2.147) sont regroupés,

respectivement dans les tableaux 2.9, 2.7 et 2.8. Les résultats obtenus sont de l'ordre de ceux annoncés dans les différents théorèmes d'estimations d'erreur *a priori* correspondants. Néanmoins, un maillage plus fin permettrait de mieux prendre en compte la forte variation de gradient le long de  $x = x_0$ .

nb mailles	$ u - u_h _{0,\Omega}$	$ u - u_h _{1,h}$	$ p - p_h _{0,\Omega}$	pas d'espace $h$
100	0.0116	0.8193	0.5962	0.2
400	0.0015	0.2226	0.1580	0.1
taux conv.	2.9511	1.8799	1.9159	
50	0.0313	1.4859	1.1320	0.2828
200	0.0043	0.4112	0.3122	0.1414
taux conv.	2.8638	1.8534	1.8583	

TAB. 2.7 – Test 3 : Résultats du schéma boîte  $(u_h, p_h) \in P_{nc,0}^2 \times (RT^1 + \Phi)$

nb mailles	$ u - u_h _{0,\Omega}$	$ u - u_h _{1,h}$	$ p - p_h _{0,\Omega}$	pas d'espace $h$
100	0.0786	0.9638	0.9638	0.2
400	0.0205	0.2621	0.2621	0.1
taux conv.	1.9389	1.8786	1.8786	
50	0.1505	1.6983	1.6983	0.2828
200	0.0409	0.4760	0.4760	0.1414
taux conv.	1.8796	1.8351	1.8351	

TAB. 2.8 – Test 3 : Résultats du schéma boîte  $(u_h, p_h) \in P_{nc,0}^2 \times (BDM_1 + \Phi)$

nb mailles	$ u - u_h _{0,\Omega}$	$ u - u_h _{1,h}$	$ p - p_h _{0,\Omega}$	pas d'espace $h$
100	0.1427	2.9234	2.4798	0.2
400	0.0388	1.5372	1.2519	0.1
taux conv.	1.8789	0.9273	0.9861	
nb mailles	$ u - u_h _{0,\Omega}$	$ u - u_h _{1,h}$	$ p - p_h _{0,\Omega}$	pas d'espace $h$
50	0.3062	4.5556	3.9266	0.2828
200	0.0903	2.4734	2.1177	0.1414
800	0.0236	1.2659	1.0822	0.0707
taux conv.	1.7617	0.8811	0.8908	

TAB. 2.9 – Test 3 : Résultats du schéma boîte  $(u_h, p_h) \in P_{nc,0}^1 \times RT^0$

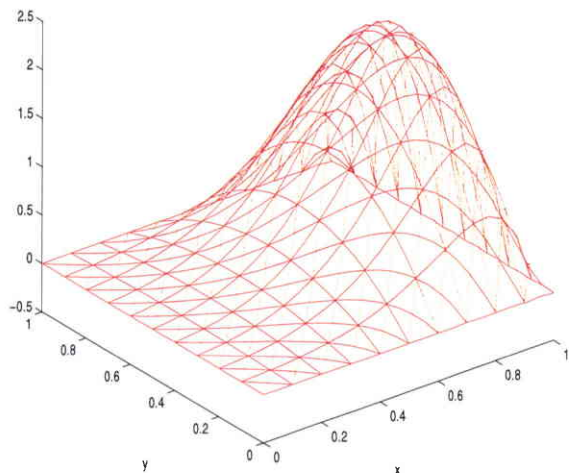


FIG. 2.19 – Test 3 : Solution  $u_h \in P_{nc,0}^2$  calculée par le schéma  $P_{nc,0}^2 \times (RT^1 + \Phi)$ .

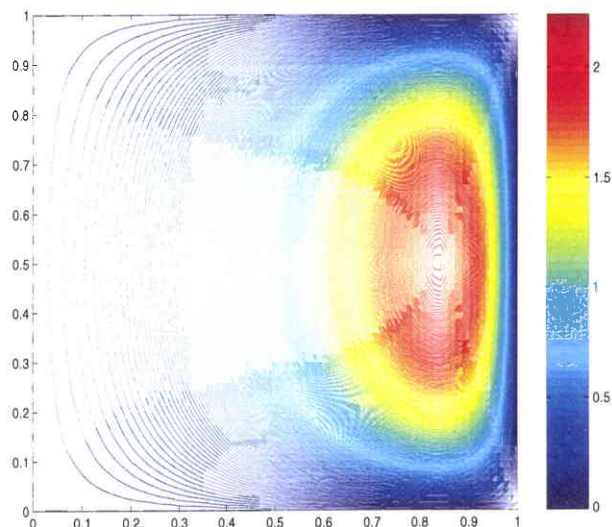


FIG. 2.20 – Test 3 : Isolignes de la solution  $u_h \in P_{nc,0}^2$  calculée par le schéma  $P_{nc,0}^2 \times (RT^1 + \Phi)$ .

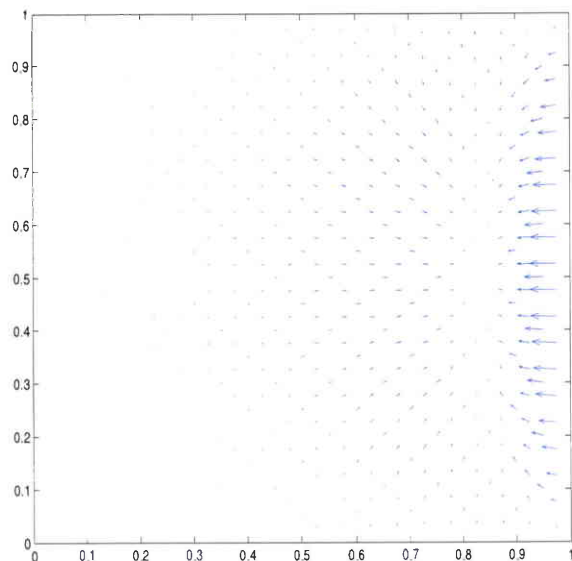


FIG. 2.21 – Flux  $p_h \in (RT^1 + \Phi)$  calculé par le schéma  $P_{nc,0}^2 \times (RT^1 + \Phi)$ .

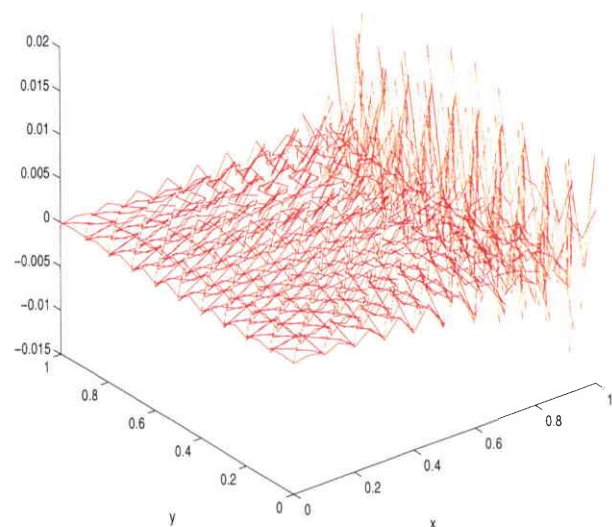


FIG. 2.22 – Différence entre la solution exacte  $u$  et la solution calculée  $u_h \in P_{nc,0}^2$ .

### 2.7.5 Test 4

Il s'agit d'un cas test proposé par Douglas et Co., [26]. On considère la solution exacte du problème (2.171) :

$$u(x, y) = \exp(-100((x - 0.25)^2 + (y - 1/3)^2))$$

de terme source  $f$  :

$$f(x, y) = 100 \exp(-100((x - 0.25)^2 + (y - 1/3)^2)) (4 - 400(x - 0.25)^2 - 400(y - 1/3)^2).$$

Cette solution exacte est une gaussienne centrée au point  $(x_0, y_0) = (\frac{1}{4}, \frac{1}{3})$ . Les conditions sur la frontière sont données par la solution exacte elle-même. La solution exacte présente un fort gradient autour du pic de la gaussienne. Pour les trois schémas boîte présentés dans ce Chapitre, on calcule la solution  $u_h$  et le flux discret  $p_h$ . Les taux de convergence de l'erreur entre la solution exacte  $u$  et la solution  $u_h$  calculée par chacun des trois schémas boîte, ainsi que l'erreur entre le flux exact  $p = \nabla u$  et le flux discret  $p_h$  sont regroupés dans les Tableaux 2.10 pour le schéma boîte  $P_{nc,0}^2 \times (RT^1 + \Phi)$ , 2.11 pour le schéma boîte  $P_{nc,0}^2 \times (BDM^1 + \Phi)$  et 2.12 pour le schéma boîte  $P_{nc,0}^1 \times RT^0$ . Les taux de convergence de l'erreur entre solution exacte et solution discrète donnée par les schémas boîte sont proches des taux annoncés pour les estimations d'erreur *a priori*.

Nous représentons la solution discrète  $u_h \in P_{nc,0}^2$  du schéma boîte  $P_{nc,0}^2 \times (RT^1 + \Phi)$  sur les Figures 2.23 et 2.24. Le flux discret  $p_h \in (RT^1 + \Phi)$  du schéma boîte  $P_{nc,0}^2 \times (RT^1 + \Phi)$  est représenté par la Figure 2.25. Nous constatons sur la Figure 2.26 que l'amplitude maximale entre la solution exacte et la solution calculée par le schéma boîte est située au niveau du pic de la gaussienne. En effet, le maillage considéré n'est pas assez fin pour prendre en compte la forte variation de gradient au niveau du pic de la gaussienne. Ceci explique également que les taux de convergence obtenus soient un peu plus faibles que ceux attendus.

nb mailles	$ u - u_h _{0,\Omega}$	$ u - u_h _{1,h}$	$ p - p_h _{0,\Omega}$	pas d'espace $h$
100	0.0176	0.6984	0.5584	0.2
400	0.0019	0.1888	0.1310	0.1
taux conv.	3.2115	1.8872	2.0917	
nb mailles	$ u - u_h _{0,\Omega}$	$ u - u_h _{1,h}$	$ p - p_h _{0,\Omega}$	pas d'espace $h$
50	0.0372	1.2986	1.1244	0.2828
200	0.0051	0.3526	0.2580	0.1414
taux conv.	2.8667	1.8809	2.1237	

TAB. 2.10 – Test 4 : Résultats du schéma boîte  $(u_h, p_h) \in P_{nc,0}^2 \times (RT^1 + \Phi)$

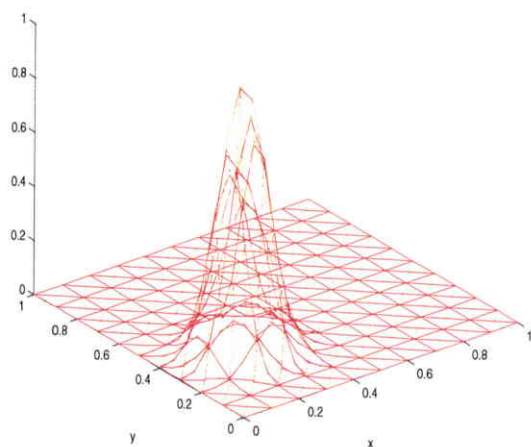


FIG. 2.23 – Test 4 : Solution  $u_h \in P_{nc,0}^2$  calculée par le schéma  $P_{nc,0}^2 \times (RT^1 + \Phi)$ .

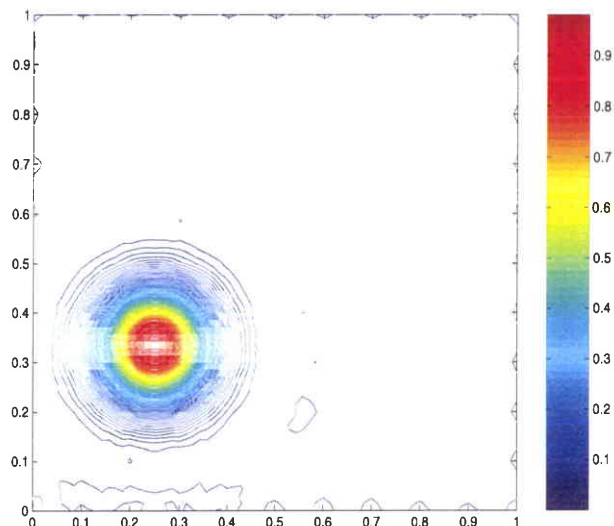


FIG. 2.24 – Test 4 : Isolignes de la solution  $u_h \in P_{nc,0}^2$  calculée par le schéma  $P_{nc,0}^2 \times (RT^1 + \Phi)$ .

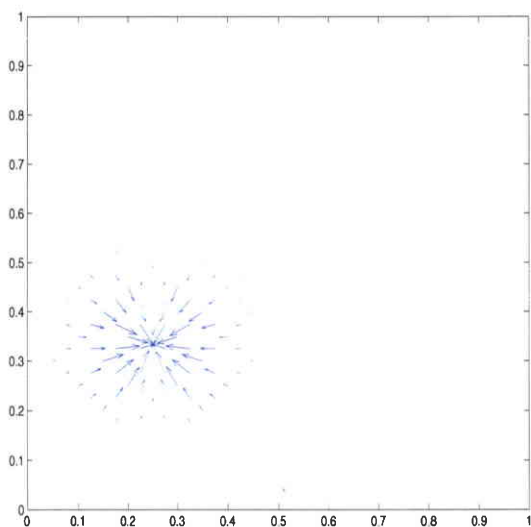


FIG. 2.25 – Test 4 : Flux  $p_h \in (RT^1 + \Phi)$  calculé par le schéma  $P_{nc,0}^2 \times (RT^1 + \Phi)$ .

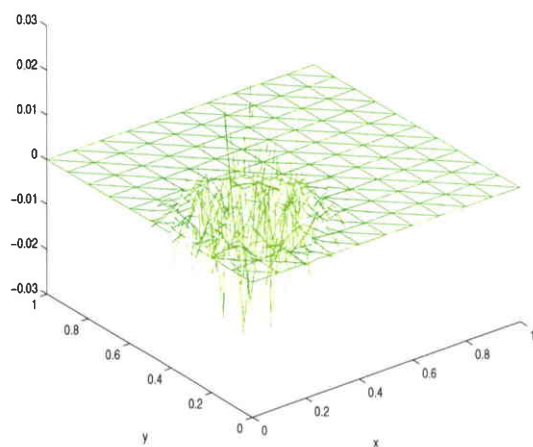


FIG. 2.26 – Test 4 : Différence entre la solution exacte  $u$  et la solution calculée  $u_h \in P_{nc,0}^2$  par le schéma  $P_{nc,0}^2 \times (RT^1 + \Phi)$ .

nb mailles	$ u - u_h _{0,\Omega}$	$ u - u_h _{1,h}$	$ p - p_h _{0,\Omega}$	pas d'espace $h$
100	0.0309	0.8665	0.8665	0.2
400	0.0079	0.2672	0.2672	0.1
taux conv.	1.9677	1.6973		
nb mailles	$ u - u_h _{0,\Omega}$	$ u - u_h _{1,h}$	$ p - p_h _{0,\Omega}$	pas d'espace $h$
50	0.0628	1.5714	1.5714	0.2828
200	0.0148	0.4720	0.4720	0.1414
taux conv.	2.0852	1.7352	1.7352	

TAB. 2.11 – Test 4 : Résultats du schéma boîte  $(u_h, p_h) \in P_{nc,0}^2 \times (BDM^1 + \Phi)$

nb mailles	$ u - u_h _{0,\Omega}$	$ u - u_h _{1,h}$	$ p - p_h _{0,\Omega}$	pas d'espace $h$
100	0.0487	1.2234	1.1076	0.2
400	0.0140	0.7197	0.6038	0.1
taux conv.	1.7985	0.7654	0.8753	
nb mailles	$ u - u_h _{0,\Omega}$	$ u - u_h _{1,h}$	$ p - p_h _{0,\Omega}$	pas d'espace $h$
50	0.0768	1.7252	1.6654	0.2828
200	0.0268	0.9609	0.8343	0.1414
800	0.0074	0.5182	0.4389	0.0707
taux conv.	1.8566	0.8909	0.9267	

TAB. 2.12 – Test 4 : Résultats du schéma boîte  $(u_h, p_h) \in P_{nc,0}^1 \times RT^0$

## CHAPITRE 3

# Quelques schémas boîte sur maillages en rectangles

### 3.1 Introduction

Une question naturelle est de se demander si les résultats obtenus au chapitre précédent dans le cas de maillages en triangles, se généralisent dans le cas de maillages en rectangles. Nous allons prouver dans ce chapitre que l'on peut effectivement construire des schémas boîte sur un domaine maillé par des rectangles et que ces schémas boîte conservent les propriétés de leurs homologues sur maillages en triangles.

Soit  $\Omega \subseteq \mathbb{R}^2$  un rectangle de frontière  $\Gamma = \partial\Omega$ . Soit  $f \in L^2(\Omega)$  donnée. Le problème de Poisson

$$\begin{cases} -\Delta u = f, & x \in \Omega \\ u = g, & x \in \Gamma \end{cases} \quad (3.1)$$

admet une unique solution  $u \in H_0^1(\Omega) \cap H^2(\Omega)$  qui satisfait  $\|u\|_{2,\Omega} \leq C|f|_{0,\Omega}$ . Nous considérons la formulation mixte de type Petrov-Galerkin du problème de Poisson, introduite au Chapitre 2 : trouver  $(u, p) \in H_0^1(\Omega) \times H_{\text{div}}(\Omega)$  tel que

$$\begin{cases} (\text{div } p + f, v)_{0,\Omega} = 0, \quad \forall v \in L^2(\Omega) \\ (p - \nabla u, q)_{0,\Omega} = 0, \quad \forall q \in (L^2(\Omega))^2. \end{cases} \quad (3.2)$$

C'est un problème bien posé, équivalent au problème (3.1). Nous introduisons trois schémas boîte pour le problème de Poisson sur des maillages du domaine  $\Omega$  en rectangles. Nous conservons le design des schémas boîte tels qu'ils sont introduits dans le cas de maillages triangulaires. D'une façon générale, un schéma boîte est une formulation mixte de type Petrov-Galerkin qui consiste à trouver  $(u_h, p_h) \in M_{1,h} \times X_{1,h}$  solution de

$$\begin{cases} (\text{div } p_h + f, v_h)_{0,\Omega} = 0, \quad \forall v_h \in M_{2,h} \\ (p_h - \nabla u_h, q_h)_{0,\Omega} = 0, \quad \forall q_h \in X_{2,h}, \end{cases} \quad (3.3)$$

où les espaces discrets  $M_{1,h}$  et  $X_{1,h}$  sont des espaces d'éléments finis approchant les espaces  $H_0^1(\Omega)$  et  $H_{\text{div}}(\Omega)$ . Deux des schémas, que nous proposons sont de type non-conformes, puisque les espaces discrets  $M_{1,h}$  et  $X_{1,h}$  satisfont  $X_{1,h} \not\subseteq H_{\text{div}}(\Omega)$  ou  $M_{1,h} \not\subseteq H_0^1(\Omega)$ . Les espaces de test  $M_{2,h}$  et  $X_{2,h}$  sont des espaces de polynômes totalement discontinus par

rectangle. Pour que le problème discret (3.3) soit bien posé, les espaces discrets doivent vérifier la condition nécessaire d'égalité des dimensions :

$$\dim M_{1,h} + \dim X_{1,h} = \dim M_{2,h} + \dim X_{2,h}. \quad (3.4)$$

Nous introduisons les espaces  $H_0^1(\Omega) + M_{1,h}$  et  $H_{\text{div}}(\Omega) + X_{1,h}$ , munis respectivement des normes dépendantes du maillage :

$$|u|_{1,h} = \left( \sum_K |\nabla u|_{0,K}^2 \right)^{1/2} ; \|u\|_{1,h} = (|u|_{0,\Omega}^2 + |u|_{1,h}^2)^{1/2} , \quad \forall u \in H_0^1(\Omega) + M_{1,h} \quad (3.5)$$

$$|p|_{\text{div},h} = \left( \sum_K |\text{div } p|_{0,K}^2 \right)^{1/2} ; \|p\|_{\text{div},h} = (|p|_{0,\Omega}^2 + |p|_{\text{div},h}^2)^{1/2} , \quad \forall p \in H_{\text{div}}(\Omega) + X_{1,h} \quad (3.6)$$

Dans le Paragraphe 3.2, nous donnons les notations utilisées par la suite et les propriétés liées au maillage. Nous définissons les espaces d'éléments finis pour les inconnues au Paragraphe 3.3. Enfin, dans les Paragraphes 3.4, 3.5 et 3.6, nous décrivons quelques schémas boîte associés à la formulation mixte de type Petrov-Galerkin (3.2).

## 3.2 Notations

### 3.2.1 Le changement de base

Le carré de référence  $\hat{K}$  est le carré unité  $[0, 1] \times [0, 1]$  de sommets  $\hat{S}_1 = (0, 0)$ ,  $\hat{S}_2 = (1, 0)$ ,  $\hat{S}_3 = (1, 1)$  et  $\hat{S}_4 = (0, 1)$ . On se restreint ici au cas de maillages en rectangles du domaine  $\Omega$ . Soit  $K$  un rectangle de sommets  $S_1, S_2, S_3, S_4$  (Figure 3.1).

Soit  $\varphi_K$  l'application définie par :

$$\begin{aligned} \varphi_K : \hat{K} &\longrightarrow K \\ (\hat{x}, \hat{y}) &\longmapsto (x, y) = \varphi_K(\hat{x}, \hat{y}) = b + B \begin{pmatrix} \hat{x} \\ \hat{y} \end{pmatrix} \end{aligned} \quad (3.7)$$

où  $b$  et  $B$  sont respectivement le vecteur colonne  $2 \times 1$  et la matrice  $2 \times 2$  définis par

$$b = \begin{pmatrix} x_1 \\ y_1 \end{pmatrix} \text{ et } B = \begin{pmatrix} x_2 - x_1 & 0 \\ 0 & y_2 - y_1 \end{pmatrix}.$$

$\varphi_K$  est une application linéaire bijective affine. Comme dans le cas de maillages triangulaires, la matrice jacobienne de  $\varphi_K$  est constante sur chaque maille  $K$ . C'est une propriété particulière des maillages en parallélogrammes. De plus, l'espace  $Q^1(K)$  est égal à

$$Q^1(K) = \{\hat{q} \circ \varphi_K ; \hat{q} \in Q^1(\hat{K})\}.$$

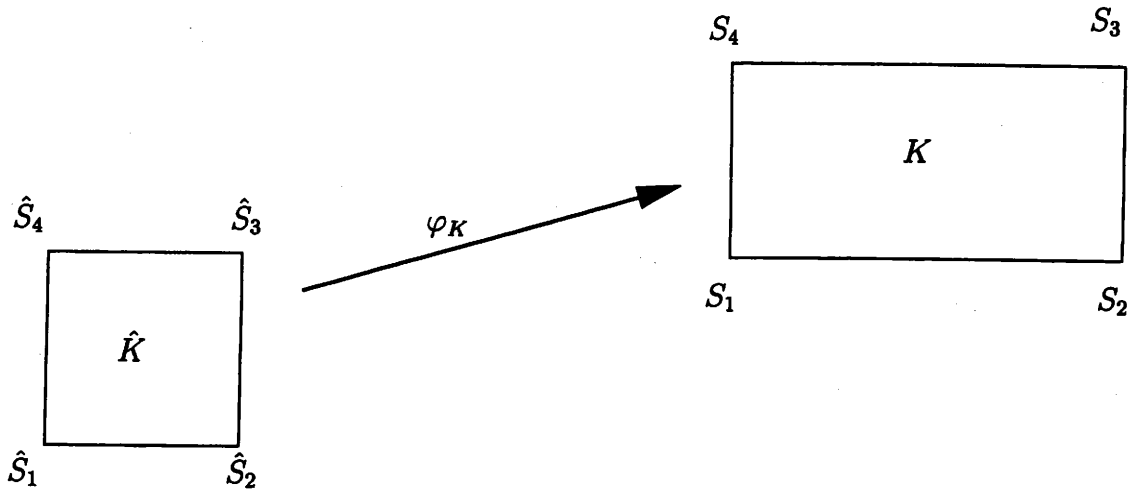


FIG. 3.1 - Application affine  $\varphi_K : \hat{K} \rightarrow K$

### 3.2.2 Notations géométriques

Dans la suite,  $K$  désigne un rectangle de sommets  $S_i$ ,  $1 \leq i \leq 4$ , de coordonnées respectives  $(x_1, y_1)$ ,  $(x_2, y_1)$ ,  $(x_2, y_2)$ ,  $(x_1, y_2)$ . On note  $e_x$  et  $e_y$  les arêtes horizontale et verticale d'un rectangle  $K$  du maillage, d'aire  $|K|$  (Figure 3.3). Soit  $T_i$  le triangle contenu dans  $K$  de sommets  $S_{i-1}, S_i, S_{i+1}$ , avec la notation  $S_0 = S_4$ . Soient (Figure 3.2) :

- $h_K$  : diamètre de  $K =$  diagonale de  $K$ .
- $\rho_K = 2 \min_{1 \leq i \leq 4} \rho_i$  où  $\rho_i$  est le diamètre du cercle inscrit dans  $T_i$ .
- $\sigma_K = \frac{h_K}{\rho_K} > 1$ .

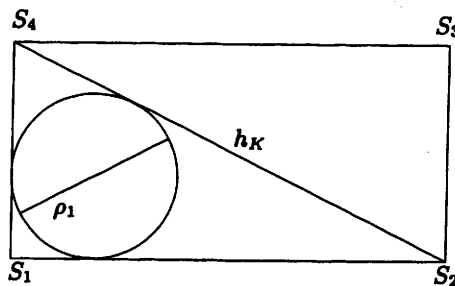
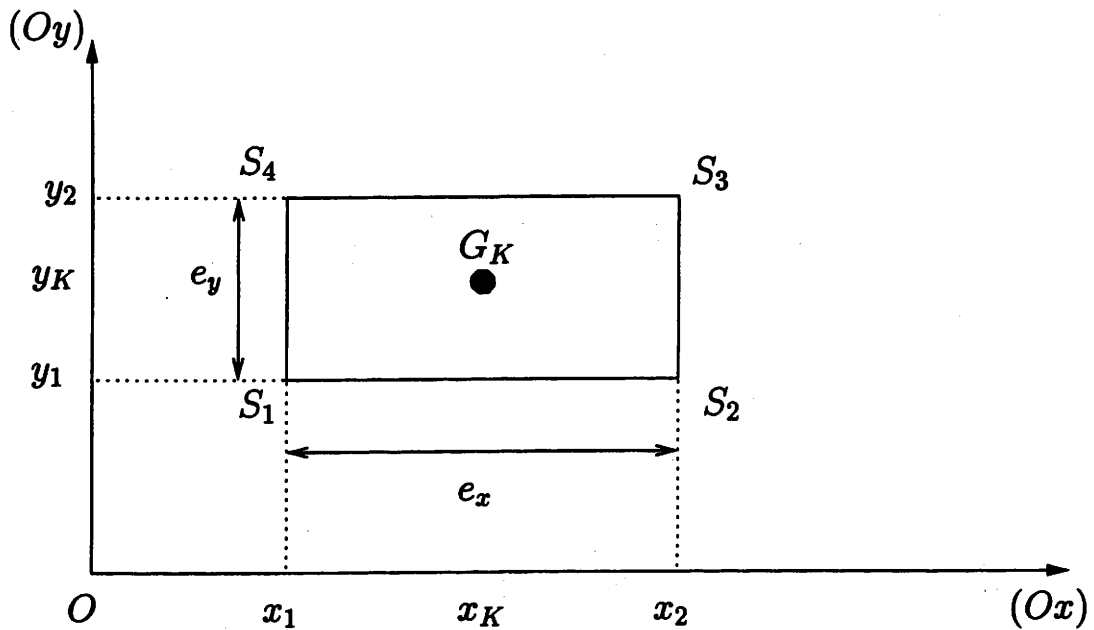


FIG. 3.2 - Géométrie du rectangle

Dans la suite,  $\mathcal{T}_h$  désigne un maillage en rectangles du domaine  $\Omega$ , de paramètre de discrétisation

$$h = \max_{K \in \mathcal{T}_h} h_K.$$

Le maillage  $\mathcal{T}_h$  est tel que les rectangles  $K \in \mathcal{T}_h$  ont leurs côtés parallèles aux côtés du domaine  $\Omega$ . La triangulation  $\mathcal{T}_h$  est définie de sorte que  $\bar{\Omega} = \bigcup_{K \in \mathcal{T}_h} K$  et nous supposons


 FIG. 3.3 – Notations pour un rectangle  $K$  du domaine  $\Omega$ 

que le maillage est uniformément régulier, c'est-à-dire qu'il existe deux constantes  $\sigma > 0$  indépendantes de  $h$ , telles que

$$\tau h \leq h_K \leq \sigma \rho_K \quad \text{et} \quad h \rightarrow 0.$$

Un exemple de maillage est donné par la Figure 3.4.

Soient  $\mathcal{S}$  l'ensemble des noeuds du maillage, constitué des noeuds frontières  $\mathcal{S}_b$  et des noeuds internes  $\mathcal{S}_i$ , et  $\mathcal{A}$  l'ensemble des arêtes du maillage, constitué des arêtes frontières  $\mathcal{A}_b$  et des arêtes internes  $\mathcal{A}_i$ . On utilisera les notations suivantes :

- $NP$  = nombre de noeuds du maillage,
- $NP_i$  = nombre de noeuds internes du maillage,
- $NE$  = nombre de mailles de la discrétisation  $\mathcal{T}_h$ ,
- $NA$  = nombre total d'arêtes,
- $NA_b$  = nombre d'arêtes frontières du maillage,
- $NA_i$  = nombre d'arêtes internes du maillage.

Les relations d'Euler sont :

$$NE - NA + NP = 1 \quad \text{et} \quad 4NE = NA + NA_i. \quad (3.8)$$

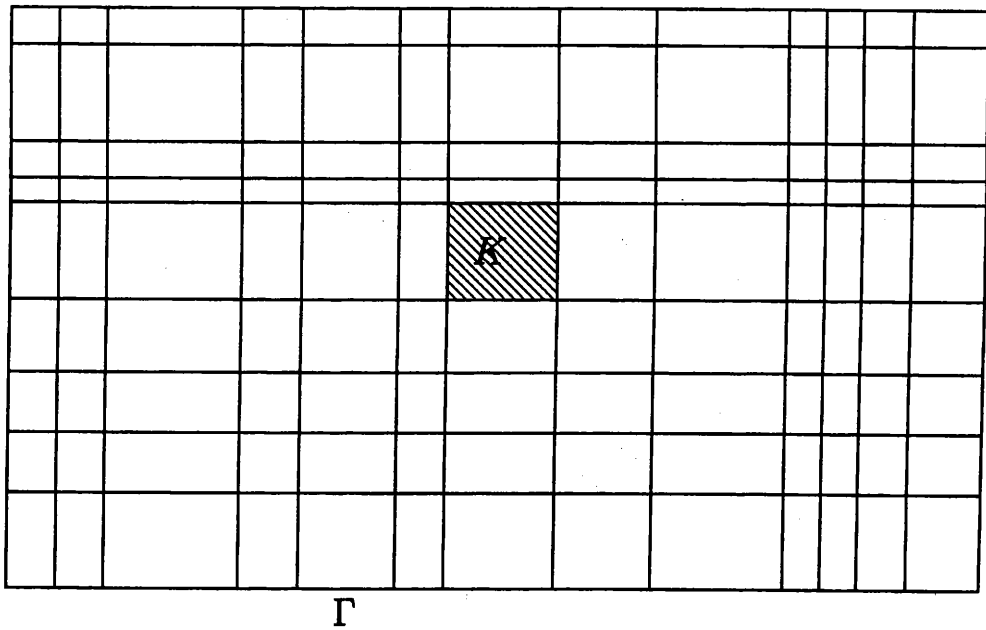


FIG. 3.4 – Exemple de maillage du domaine  $\Omega$

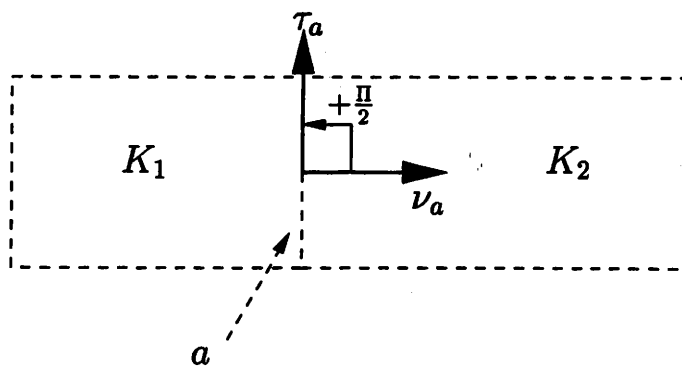


FIG. 3.5 – Base de vecteurs  $(\nu_a, \tau_a)$

Soit  $K$  un rectangle du maillage  $\mathcal{T}_h$ . Le vecteur normal unitaire à une arête  $a$  de  $K$  orienté vers l'extérieur est noté  $\nu_a$ , le vecteur tangent est noté  $\tau_a$ . Sur la Figure 3.5,  $\nu_a$  représente le vecteur normal à l'arête  $a$  dans le rectangle  $K_1$ . Soient  $K_1$  et  $K_2$  deux rectangles d'arête commune  $a$ . Le saut d'une fonction  $v$  à travers l'arête  $a$  est  $[v] = v_{K_2,a} - v_{K_1,a}$ . Le gradient d'une fonction  $f \in H^1(\Omega)$  est  $\nabla f = (\partial_x f, \partial_y f)$ , son rotationnel est  $\text{rot } f = (\partial_y f, -\partial_x f)$ . Le rotationnel scalaire d'une fonction vectorielle  $(f_1, f_2)$  est noté de façon identique  $\text{rot}(f_1, f_2) = \partial_y f_1 - \partial_x f_2$ .

### 3.2.3 Quelques lemmes

Soit  $K$  un rectangle du maillage.  $P^0(K)$  désigne les polynômes constants sur  $K$ .  $Q^1(K)$  désigne l'ensemble des polynômes de  $\mathbb{R}^2$  de degré 1 en chaque variable  $x$  et  $y$ , c'est-à-dire de la forme  $q = a + bx + cy + dxy$  où  $a, b, c$  et  $d$  sont des constantes réelles.

Pour chaque arête  $a \in \mathcal{A}$ , soit  $\Pi_a : L^2(a) \rightarrow P^0(a)$ , l'opérateur de projection sur les polynômes constants de  $a$ . Si  $a$  est une arête du rectangle  $K$ , on a la généralisation sur des rectangles du Lemme 3 de Crouzeix-Raviart [22] sur des triangles (Lemme 2.2.2 Chapitre 3) :

#### Lemme 3.2.1 (Interpolation d'arête, [44])

Il existe une constante  $C > 0$  indépendante de  $K$  et de  $a$ , telle que pour toutes fonctions  $\phi \in H^1(K)$  et  $v \in H^1(K)$ , on ait

$$\left| \int_e \phi(v - \Pi_e v) d\sigma \right| \leq C \sigma_K h_K |\phi|_{1,K} |v|_{1,K}.$$

Soit  $\Pi^k$  la projection orthogonale de  $L^2(K)$  sur les polynômes de  $Q^k(K)$  d'ordre  $k$  en chaque variable définie pour  $v \in L^2(K)$  par

$$\int_K (\Pi^k v - v) q dx = 0, \quad \forall q \in Q^k(K).$$

#### Lemme 3.2.2 (Interpolation [30],[40])

Nous avons les estimations suivantes : si  $v \in H^{k+1}(K)$ ,

$$|v - \Pi^k v|_{m,K} \leq C \sigma_K^{4m-1} h_K^{k+1-m} |v|_{k+1,K}, \quad 1 \leq m \leq k+1 \quad (3.9)$$

$$|v - \Pi^k v|_{0,K} \leq C \sigma_K h_K^{k+1} |v|_{k+1,K}, \quad m = 0. \quad (3.10)$$

## 3.3 Espaces fonctionnels discrets

Avant d'aborder les différents schémas boîte, nous allons décrire les espaces d'éléments finis utilisés pour approcher la vitesse  $u$  et le flux  $p$  du problème mixte de type Petrov-Galerkin (3.2).

### 3.3.1 L'espace scalaire $Q^1$ conforme

Nous notons  $Q_c^1$  l'espace d'éléments finis  $Q^1$ -Lagrange des fonctions polynômiales de degré 1 en chaque variable. C'est un espace conforme dans  $H_0^1(\Omega)$ .

$$Q_c^1 = \left\{ u_h \in C^0(\Omega) ; u_h \in Q^1(K), \quad \forall K \in \mathcal{T}_h \right\},$$

où  $Q^1(K)$  est l'espace des polynômes de degré 1 en chaque variable  $x$  et  $y$ . Sa restriction aux fonctions s'annulant sur la frontière  $\Gamma$  de  $\Omega$  est notée  $Q_{c,0}^1$  telle que

$$Q_{c,0}^1 = \left\{ u_h \in Q_c^1 ; u_{h|a} = 0, \forall a \in \mathcal{A}_b \right\}. \quad (3.11)$$

**Lemme 3.3.1 (Fonctions de base de  $Q_c^1$ )**

(i) La base de degrés de liberté de l'espace  $Q_c^1$  est donnée par  $\{(p_i)_{1 \leq i \leq NP}\}$  :

$$p_i(v_h) = v_h(S_i), \quad \forall v_h \in Q_c^1, \quad \forall S_i \in \mathcal{S}. \quad (3.12)$$

(ii) La base locale de l'espace  $Q_c^1$  est  $\{(\lambda_i)_{1 \leq i \leq 4}\}$  : où  $(\lambda_i)_{1 \leq i \leq 4}$  sont définis dans le rectangle  $K$  par  $\lambda_1(x, y) = \frac{1}{|K|}(x_2 - x)(y_2 - y)$ ,  $\lambda_2(x, y) = \frac{1}{|K|}(x - x_1)(y_2 - y)$ ,  $\lambda_3(x, y) = \frac{1}{|K|}(x - x_1)(y - y_1)$  et  $\lambda_4(x, y) = \frac{1}{|K|}(x_2 - x)(y - y_1)$ .

(iii)  $\dim Q_c^1 = NP$  et  $\dim Q_{c,0}^1 = NP_i$ .

### 3.3.2 L'espace scalaire $Q^1$ non-conforme

L'espace  $Q_{nc}^1$  est l'espace d'éléments finis des polynômes de  $Q^1(K)$  continus aux milieux des arêtes du maillage. Contrairement à l'espace  $Q_c^1$ , l'espace  $Q_{nc}^1$  est un espace non-conforme dans  $H^1(\Omega)$ . On note :

$$Q_{nc}^1 = \left\{ u_h \in L^2(\Omega) ; u_h \in Q^1(K), \quad \forall K \in \mathcal{T}_h ; \int_a [u_h] d\sigma = 0, \forall a \in \mathcal{A}_i \right\}.$$

L'espace  $Q_{nc,0}^1$  est la restriction de l'espace  $Q_{nc}^1$  aux fonctions nulles au milieu des arêtes frontières :

$$Q_{nc,0}^1 = \left\{ u_h \in Q_{nc}^1 ; \int_a u_h d\sigma = 0, \forall a \in \mathcal{A}_b \right\}.$$

Il semble naturel de choisir les degrés de liberté globaux  $\{p_a\}_{a \in \mathcal{A}}$  de l'espace d'éléments finis  $Q_{nc}^1$  comme les valeurs aux points milieux des arêtes. C'est-à-dire

$$p_a(v_h) = v_h(M_a), \quad \forall v_h \in Q_{nc}^1,$$

où  $M_a$  est le milieu de l'arête  $a$ . Si  $M_{a_1}$ ,  $M_{a_2}$ ,  $M_{a_3}$  et  $M_{a_4}$  désignent (de façon ordonnée) les points milieux des arêtes de  $K$  et  $G_K(x_K, y_K)$  le centre de  $K$  (Figure 3.6), toute fonction  $u \in Q^1(K)$  vérifie l'égalité :

$$u(M_{a_1}) + u(M_{a_2}) = u(M_{a_3}) + u(M_{a_4}) = 2 u(G_K). \quad (3.13)$$

Donc, les valeurs au milieu des arêtes ne forment pas un ensemble unisolvant ([6], [30]). En effet, il existe une fonction non nulle s'annulant au milieu de toutes les arêtes du maillage : il s'agit d'une bulle.

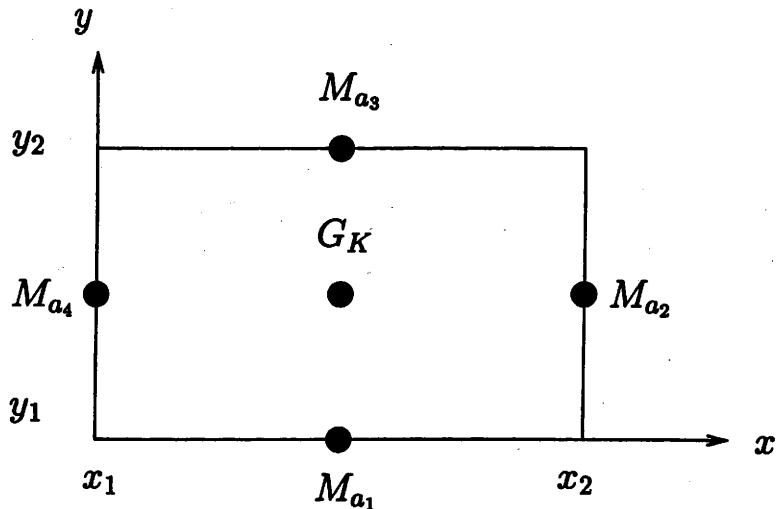


FIG. 3.6 - Rectangle  $K$

**Lemme 3.3.2 (Bulle non-conforme de  $Q^1(K)$ )**

Soit  $\eta$  la fonction définie sur  $Q^1(K)$  par :

$$\begin{aligned} \eta : Q^1(K) &\longrightarrow \mathbb{R}^4 \\ p &\longmapsto \{p(M_a)\}_{a \in \partial K} \end{aligned}$$

où  $M_a$  désigne le milieu d'une arête  $a$  de  $K$ . Le noyau de  $\eta$  est de dimension 1, engendré par "la bulle non-conforme"  $b_K$ .

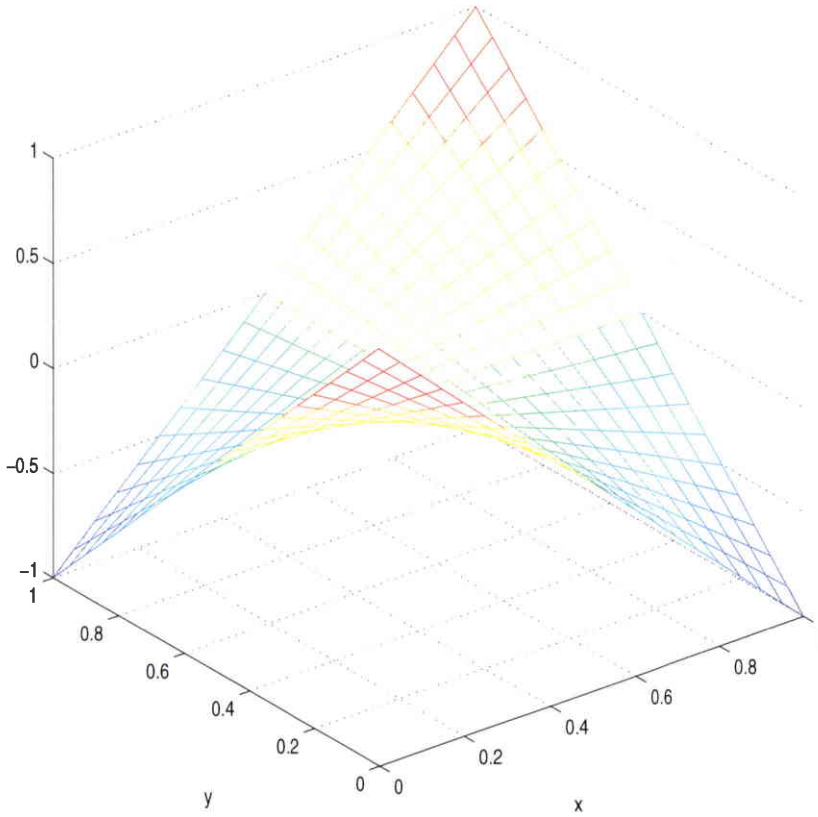
$$\text{Ker } \eta = \text{Vect} \langle b_K \rangle, \quad b_K(x, y) = \frac{4}{|K|}(x - x_K)(y - y_K),$$

où  $G_K(x_K, y_K)$  est le centre du rectangle  $K$ .

**Preuve :**

Sur chaque rectangle  $K$  du maillage, il existe une fonction de  $Q^1(K)$  qui s'annule au milieu des arêtes du quadrangle, elle est unique à une constante multiplicative près. On note  $b_K$  cette fonction (unitaire) définie par :  $b_K = \frac{4}{|K|}(x - x_K)(y - y_K)$ , où  $(x_K, y_K)$  est le centre du rectangle  $K$ . Cette fonction  $b_K$  est appelée *bulle non-conforme* associée au rectangle  $K$ . ■

La Figure 3.7 représente la bulle sur le carré de référence  $[0, 1]^2$ . Citons quelques propriétés de la fonction "bulle non-conforme"  $b_K$  :


 FIG. 3.7 – Bulle non-conforme de  $Q^1(\hat{K})$ 
**Lemme 3.3.3 (Propriétés de la bulle non-conforme  $b_K$ )**

Pour tout rectangle  $K \in \mathcal{T}_h$  et toute fonction  $v \in Q^1(K)$ , la bulle non-conforme  $b_K$  satisfait :

- (i)  $\int_{\partial K} b_K d\sigma = 0,$
- (ii)  $\int_K \text{rot } b_K \cdot \nabla v dx = 0,$
- (iii)  $\int_{\partial K} (\text{rot } b_K \cdot \nu) v d\sigma = 0.$

**Preuve :**

(i) La bulle non-conforme est affine le long des arêtes du maillage (en rectangles) et nulle aux milieux des arêtes de  $K$ , donc

$$\int_{\partial K} b_K d\sigma = \sum_{e \in \partial K} \int_e b_K d\sigma = \sum_{e \in \partial K} |e| b_K(M_e) = 0. \quad (3.14)$$

(ii) Soit  $v \in Q^1(K)$ . En utilisant une intégration par partie, on a

$$\int_K \text{rot } b_K \cdot \nabla v dx = \underbrace{\int_{\partial K} b_K (\nabla v \cdot \tau) d\sigma}_{(I)} - \underbrace{\int_K b_K \text{rot}(\nabla v) dx}_{(II)}$$

$$(I) = \sum_{e \in \partial K} \int_e b_K \frac{\partial v}{\partial \tau_e} d\sigma$$

Or,  $b_K \frac{\partial v}{\partial \tau_e}$  est affine le long d'une arête  $e$  et s'annule en son milieu. Elle est donc de moyenne nulle le long de toute arête  $e$  du maillage. Donc  $(I) = 0$ . D'autre part,  $\text{rot}(\nabla v) = 0$ , pour toute fonction  $v$ , donc  $(II) = 0$ .

(iii)  $v \in Q^1(K)$ . Par la formule de Green, on a

$$\int_{\partial K} \text{rot } b_K \cdot \nu v d\sigma = \underbrace{\int_K \text{div}(\text{rot } b_K) v dx}_{(I)} + \underbrace{\int_K \text{rot } b_K \cdot \nabla v dx}_{(II)}. \tag{3.15}$$

L'intégrale  $(I)$  est nulle (puisque  $\text{div}(\text{rot } b_K) = 0$ ) et  $(II)$  est nulle par (ii). ■

**Définition 3.3.1 (Espace des bulles non-conformes)**

Soit  $\Psi$  l'espace vectoriel "bulle" engendré par les fonctions bulles non-conformes locales :

$$\Psi = \{ \psi \in L^2(\Omega) \mid \psi|_K = \alpha_K b_K, \alpha_K \in \mathbb{R}, \forall K \in \mathcal{T}_h \},$$

alors  $\dim \Psi = NE$  et  $\Psi \subseteq Q_{nc,0}^1$ .

En effet, par définition de la bulle non-conforme,  $b_K \in Q^1(K)$ ,  $\forall K \in \mathcal{T}_h$ , et le long de chaque arête  $a \in \partial K$ ,

$$\int_a b_K d\sigma = b_K(M_a) = 0.$$

Donc,  $\psi = \sum_K \alpha_K b_K \in Q_{nc,0}^1$ . C'est-à-dire,  $\Psi \subseteq Q_{nc,0}^1$ .

**Définition 3.3.2 (Définition de  $\mathcal{B}$ )**

Soit  $\mathcal{B}$  l'élément de l'espace  $Q_{nc,0}^1$  défini au signe près par  $\mathcal{B} = \sum_K \text{sgn}(K) b_K$ , où  $\text{sgn}(K)$  est le signe du rectangle  $K$  égal à 1 ou -1. Il est donné par exemple, par le Tableau 3.8 par rapport à un rectangle de référence.

-	+	-	+	-
+	-	$K$	-	+
-	+	-	+	-

FIG. 3.8 – Valeurs de  $\text{sgn}(K)$ .

**Proposition 3.3.1 (Caractérisation des espaces  $Q^1$  non-conformes)**

Les espaces  $Q_c^1$ ,  $Q_{nc}^1$  et  $\Psi$  vérifient :

- (i)  $Q_c^1 \cap \Psi = \text{Vect}(\mathcal{B})$ ,  $\dim(Q_c^1 \cap \Psi) = 1$ ,
- (ii)  $Q_{nc}^1 = Q_c^1 + \Psi$ ,  $\dim Q_{nc}^1 = NA$ ,
- (iii)  $Q_{nc,0}^1 = Q_{c,0}^1 \oplus \Psi$ ,  $\dim Q_{nc,0}^1 = NA_i + 1$ .

**Preuve :**

(i) Soit  $\psi = \sum_K \alpha_K b_K \in Q_c^1 \cap \Psi$  un élément de l'intersection de  $Q_c^1$  et de  $\Psi$ . La continuité de  $\psi$  à travers les mailles implique la continuité de  $\psi$  le long des arêtes internes. Si  $a = \partial K_1 \cap \partial K_2$  désigne une arête interne du maillage, alors la bulle non-conforme par rectangle vérifie  $b_{K_1|a} = -b_{K_2|a}$ . Donc la continuité de  $\psi$  entraîne que  $\alpha_K = \text{sgn}(K) \alpha$ ,  $\forall K$ ,  $\alpha \in \mathbb{R}$ . Alors  $\psi = \alpha \mathcal{B}$ ,  $\alpha \in \mathbb{R}$ . C'est-à-dire  $Q_c^1 \cap \Psi \subseteq \text{Vect}(\mathcal{B})$ . La réciproque est évidente.

(ii) Notons  $M$  l'espace  $M = Q_c^1 + \Psi$ . L'inclusion  $M \subseteq Q_{nc}^1$  est évidente. Pour prouver l'identité  $M = Q_{nc}^1$ , nous allons prouver l'égalité des dimensions de  $M$  et  $Q_{nc}^1$ . Soit  $i$  l'application linéaire

$$\begin{aligned} i : Q_{nc}^1 &\longrightarrow \mathbb{R}^{NA} \\ u &\longmapsto (u(M_a))_{a \in \mathcal{A}} \end{aligned} \quad (3.16)$$

En utilisant les définitions de l'espace  $\Psi$  et de la bulle non-conforme  $b_K$ , le noyau de l'application  $i$  est tel que

$$\text{Ker } i = \left\{ u \in Q_{nc}^1, u(M_a) = 0, \forall a \in \mathcal{A} \right\} \subseteq \Psi$$

et par la relation (3.13), l'image de l'application  $i$  est

$$\text{Im } i = \left\{ (u(M_a)) \in \mathbb{R}^{NA} / u \in Q_{nc}^1; u(M_{a_1,K}) + u(M_{a_3,K}) = u(M_{a_2,K}) + u(M_{a_4,K}), \forall K \in \mathcal{T}_h \right\}$$

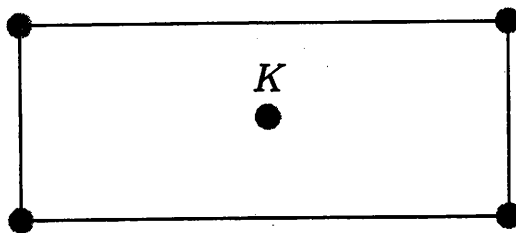
(où  $M_{a_i,K}$ ,  $i = 1, \dots, 4$  sont les milieux des arêtes du rectangle  $K$ ), ce qui implique que  $\dim Q_{nc}^1 = \dim(\text{Ker } i) + \dim(\text{Im } i) \leq NA$ . De plus, la dimension de  $M$  est,  $\dim M = \dim Q_c^1 + \dim \Psi - \dim(Q_c^1 \cap \Psi) = NP + NE - 1$ . La première relation d'Euler implique  $\dim M = NA$ . Or  $M \subseteq Q_{nc}^1$ , donc  $\dim M \leq \dim Q_{nc}^1$ . On en déduit que  $\dim Q_{nc}^1 = NA$ . Ce qui conclut la preuve du (ii).

(iii) De plus,  $Q_{c,0}^1 \cap \Psi = \{0\}$ ; en effet, si  $\psi = \alpha \sum_K b_K \in Q_{c,0}^1 \cap \Psi$ , alors  $\alpha = 0$  (puisque  $\psi$  est nul sur la frontière de  $\Omega$ ). Donc les deux espaces  $Q_{c,0}^1$  et  $\Psi$  sont en somme directe. ■

Nous en déduisons la base globale de l'espace  $Q_{nc,0}^1$  :

**Lemme 3.3.4 (Base globale de  $Q_{nc,0}^1$ )**

Les degrés de liberté de l'espace  $Q_{nc,0}^1$  sont situés aux sommets et aux centres des rectangles du maillage (Figure 3.9) et la base globale de  $Q_{nc,0}^1$  est donnée par les fonctions  $\{\lambda_i\}_{1 \leq i \leq NP_i} \cup \{b_K\}_{K \in \mathcal{T}_h}$ .


 FIG. 3.9 – Degrés de liberté de l'espace  $Q_{nc}^1$ 
**Lemme 3.3.5 (Propriétés de l'espace  $Q_{nc,0}^1$ )**

Pour toute fonction  $v \in Q_{nc,0}^1$ , on a les relations suivantes

$$(i) \forall a \in \mathcal{A}_i, \int_a [v] p d\sigma = 0, \quad \forall p \in P^0(a),$$

$$(ii) \forall a \in \mathcal{A}_b, \int_a v p d\sigma = 0, \quad \forall p \in P^0(a).$$

**Preuve :**

Soit  $v \in Q_{nc,0}^1$ . Nous allons montrer les relations (i) et (ii) pour cet élément  $v$ .

(i) Soit  $a \in \mathcal{A}_i$ ,  $a = \partial K_1 \cap \partial K_2$ , soit  $p \in P^0(a)$ , par la Proposition 3.3.1,  $v = \tilde{v} + \sum_K \alpha_K b_K$  où  $\tilde{v} \in Q_{c,0}^1$  et  $\alpha_K \in \mathbb{R}$ . Donc,

$$\int_a p [v] d\sigma = \int_a p [\tilde{v}] d\sigma + \int_a p (\alpha_2 b_{K_2} - \alpha_1 b_{K_1}) d\sigma. \quad (3.17)$$

Or,  $\tilde{v}$  est continu le long de  $a$ ; c'est-à-dire  $[\tilde{v}]|_a = 0$ , donc  $\int_a p [\tilde{v}] d\sigma$  est nulle. D'autre part, la définition de la bulle non-conforme implique  $\int_a p b_K d\sigma = 0$  pour toute arête  $a$ . Ce qui prouve (i).

(ii) Soit  $a$  une arête frontière,  $a = \partial K \cap \Gamma$  et  $p \in P^0$ . En utilisant les arguments précédents, on obtient

$$\int_a p v d\sigma = \int_a p \tilde{v} d\sigma + \underbrace{\int_a \alpha_K p b_K d\sigma}_{=0}. \quad (3.18)$$

$\tilde{v}$  est nulle au bord, donc  $\int_a p \tilde{v} d\sigma = 0$ . On obtient (ii). ■

Nous allons rappeler brièvement les espaces d'éléments finis utilisés pour approcher le flux  $p = \nabla u$ .

### 3.3.3 Espaces vectoriels pour $\nabla u$

#### L'espace de Raviart-Thomas sur rectangles

L'espace  $RT^0$  est l'espace d'éléments finis introduit par Raviart et Thomas, [39], de plus bas degré sur maillage quadrangulaire. Dans le cas d'un maillage en rectangles dont les côtés

sont parallèles aux axes du domaine  $\Omega$ , on définit l'espace des vecteurs de polynômes

$$RT^0(K) = (P^0(K))^2 + P^0 \begin{pmatrix} x \\ 0 \end{pmatrix} + P^0 \begin{pmatrix} 0 \\ y \end{pmatrix} .$$

Dans chaque rectangle  $K$ ,  $q_h \in RT^0(K)$  si et seulement si  $q_h(x, y) = \begin{pmatrix} \alpha_K + \gamma_K x \\ \beta_K + \delta_K y \end{pmatrix}$ , avec  $\alpha_K, \beta_K, \gamma_K$  et  $\delta_K \in \mathbb{R}$ . Remarquons que si  $G_K(x_K, y_K)$  est le centre du rectangle  $K$ , on a encore les formulations équivalentes

$$RT^0(K) = (P^0(K))^2 + P^0(K) \begin{pmatrix} x - x_K \\ y - y_K \end{pmatrix} + P^0(K) \begin{pmatrix} x - x_K \\ -(y - y_K) \end{pmatrix} \quad (3.19)$$

$$RT^0(K) = (P^0(K))^2 + P^0(K) \overrightarrow{G_K X} + P^0(K) \text{rot } b_K$$

L'espace de Raviart-Thomas est défini par

$$RT^0 = \left\{ q_h \in H_{\text{div}}(\Omega) \text{ tels que } q_h \in RT^0(K), \forall K \in \mathcal{T}_h \right\}. \quad (3.20)$$

Un vecteur  $p_h$  de  $RT^0$  est un élément de l'espace  $H_{\text{div}}(\Omega)$ , donc, sa composante normale est continue le long de chaque arête interne  $a$  du maillage :

$$(p_h \cdot \nu_a + p_h \cdot \nu'_a) = 0 \quad \text{sur l'arête } a .$$

De plus, dans le cas de maillages en rectangles, la composante normale  $p_h \cdot \nu_a$  est constante par arête :  $p \cdot \nu_a \in P^0(a)$ .

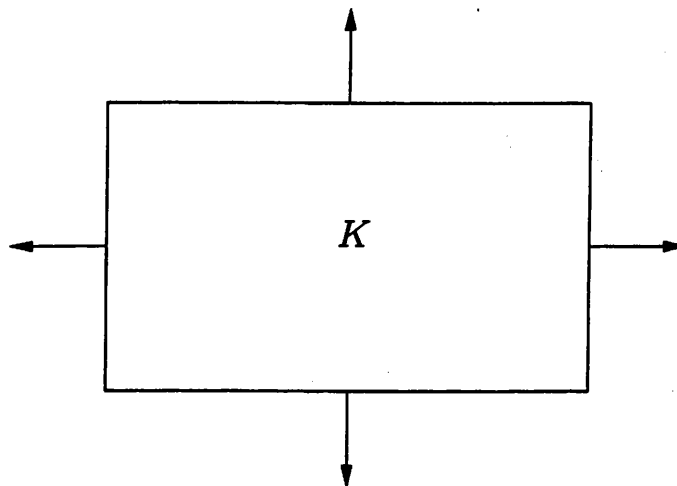


FIG. 3.10 – Degrés de liberté de l'espace  $RT^0$

**Lemme 3.3.6 (Fonctions de base de  $RT^0$ )**

(i) Les degrés de liberté globaux de  $RT^0$  sont les formes linéaires  $\{L_a\}_{a \in \mathcal{A}}$ , définies par :

$$L_a(q_h) = \int_a q_h \cdot \nu_a \, d\sigma .$$

(ii) La base canonique de  $RT^0$  est donnée par  $(P_a)_a$  :

$$P_a(x, y) = P_{K_1, a} \mathbb{1}_{K_1}(x, y) - P_{K_2, a} \mathbb{1}_{K_2}(x, y)$$

où  $a = \partial K_1 \cap \partial K_2$  et  $\mathbb{1}_{K_i}$  est l'indicatrice sur le rectangle  $K_i$ ,  $i = 1, 2$ .

Les fonctions  $P_{K, a}$  sont définies par  $P_{K, a} = \frac{1}{|K|} \begin{pmatrix} x - x_S \\ 0 \end{pmatrix}$  si  $a$  est une arête verticale et  $x_S$  désigne l'abscisse de l'arête opposée à  $a$  dans le rectangle  $K$  et  $P_{K, a} = \frac{1}{|K|} \begin{pmatrix} 0 \\ y - y_S \end{pmatrix}$  si  $a$  est une arête horizontale et  $y_S$  désigne l'ordonnée de l'arête opposée à  $a$  dans le rectangle  $K$ .

(iii) La dimension de l'espace  $RT^0$  est égale au nombre d'arêtes du maillage :  $\dim RT^0 = NA$ .

### L'espace $\Phi$ des rotationnels de bulle

**Lemme 3.3.7** Soit l'espace vectoriel engendré par les rotationnels de la bulle non-conforme

$$\Phi = \text{rot } \Psi = \left\{ \phi = \sum_K \beta_K \text{rot } b_K, \beta_K \in \mathbb{R} \right\}$$

alors,  $\Phi \cap RT^0 = \text{Vect}(\text{rot}(\mathcal{B}))$ .

**Preuve :**

Sur tout rectangle  $K$  du maillage,  $\text{rot } b_K \in RT^0(K)$ . Donc tout élément  $\phi = \sum_K \beta_K \text{rot } b_K \in \Phi$  appartient à  $RT^0$  si et seulement si  $\phi \in H_{\text{div}}(\Omega)$ . C'est-à-dire si pour toute arête interne  $a = \partial K_1 \cap \partial K_2 \in \mathcal{A}_i$ ,  $\phi$  satisfait

$$(\phi|_{K_1} \cdot \nu_{a, K_1} + \phi|_{K_2} \cdot \nu_{a, K_2})|_a = 0.$$

Or,  $(\text{rot } b_{K_1}|_a \cdot \nu_a) = (\text{rot } b_{K_2}|_a \cdot \nu_a)$ . Donc la continuité de la composante normale équivaut à

$$\beta_{K_1} + \beta_{K_2} = 0, \quad \forall a = \partial K_1 \cap \partial K_2.$$

Ainsi,  $\phi \in RT^0$  si et seulement si  $\phi = \beta \sum_K \text{sgn}(K) \text{rot } b_K$  pour un certain réel  $\beta$ . ■

## 3.4 Le schéma boîte 1 : $(u_h, p_h) \in Q_{nc,0}^1 \times (RT^0 + \Phi)$

### 3.4.1 Introduction

Dans ce paragraphe, nous cherchons à généraliser sur des maillages en rectangles, le schéma boîte de B. Courbet et J.-P. Croisille introduit sur triangles (Chapitre 2, Paragraphe 2.3.4). De façon naturelle, on cherche les inconnues  $u_h$  et  $p_h$  dans les espaces  $Q_{nc,0}^1$  et  $RT^0$  rectangles, qui correspondent dans le cas de maillages en rectangles aux espaces d'éléments finis  $P_{nc,0}^1$  et  $RT^0$  triangles, utilisés par B. Courbet et J.-P. Croisille. Les degrés de liberté de l'espace  $RT^0$  rectangles sont situés au niveau des arêtes. Cependant, les degrés de liberté de l'espace  $Q_{nc,0}^1$  ne sont pas situés au niveau des arêtes (Lemme 3.3.4), comme c'était le cas pour l'espace  $P_{nc,0}^1$ .

### 3.4.2 Définition du schéma 1

Introduisons le premier schéma boîte de type (3.3) associés au problème mixte (3.2). Nous choisissons  $M_{1,h} = Q_{nc,0}^1$  comme espace d'approximation de  $H_0^1(\Omega)$  et l'espace  $RT^0$  rectangles, enrichi par le rotationnel de la bulle non-conforme - c'est-à-dire  $X_{1,h} = RT^0 + \Phi$  - comme espace d'approximation de  $H_{\text{div}}(\Omega)$ . Les espaces d'approximation sont non-conformes puisque  $Q_{nc,0}^1 \not\subseteq H_0^1(\Omega)$  et  $(RT^0 + \Phi) \not\subseteq H_{\text{div}}(\Omega)$ . Les espaces d'inconnues sont de dimension

$$\dim Q_{nc,0}^1 + \dim(RT^0 + \Phi) = (NA_i + 1) + (NA + NE - 1) = 5NE.$$

A ces espaces d'approximation  $M_{1,h}$  et  $X_{1,h}$ , on associe les espaces de fonctions test de polynômes totalement discontinus. Soit  $M_{2,h}$ , l'espace des polynômes constants totalement discontinus par rectangle, encore noté  $P^0$

$$M_{2,h} = \left\{ v_h \in L^2(\Omega) ; v_h|_K \in P^0(K), \quad \forall K \in \mathcal{T}_h \right\} \quad (3.21)$$

et  $X_{2,h}$ , l'espace des polynômes constants de  $\mathbb{R}^2$  totalement discontinus, enrichi sur chaque rectangle par le gradient et le rotationnel de la bulle non-conforme :

$$X_{2,h} = \left\{ q_h \in (L^2(\Omega))^2 ; q_h|_K \in (P^0(K))^2 + P^0 \begin{pmatrix} y \\ x \end{pmatrix} + P^0 \begin{pmatrix} x \\ -y \end{pmatrix}, \quad \forall K \in \mathcal{T}_h \right\} \quad (3.22)$$

c'est-à-dire

$$X_{2,h} = (P^0)^2 + P^0(\nabla b_K) + P^0(\text{rot } b_K).$$

En particulier,  $\nabla(M_{1,h}) \subseteq X_{2,h}$ .

#### Définition 3.4.1 (Schéma boîte 1)

Considérons le schéma boîte 1 : trouver  $(u_h, p_h) \in Q_{nc,0}^1 \times (RT^0 + \Phi)$  solution du problème discret

$$\begin{cases} \sum_{K \in \mathcal{T}_h} (\text{div } p_h + f, v_h)_{0,K} = 0, \quad \forall v_h \in P^0 \\ \sum_{K \in \mathcal{T}_h} (p_h - \nabla u_h, q_h)_{0,K} = 0, \quad \forall q_h \in X_{2,h}. \end{cases} \quad (3.23)$$

#### Lemme 3.4.1 (Egalité des dimensions)

$$\dim(RT^0 + \Phi) + \dim Q_{nc,0}^1 = \dim X_{2,h} + \dim P^0$$

**Preuve :**

Nous vérifions l'égalité des dimensions entre les espaces, en utilisant les relations d'Euler (3.8).

$$\begin{aligned} \dim X_{1,h} + \dim M_{1,h} &= (NA + NE - 1) + (NA_i + 1) \\ &= \underbrace{NA_i + NA}_{4NE} + NE \\ &= 5NE = \dim X_{2,h} + \dim M_{2,h}. \end{aligned}$$

### Lemme 3.4.2 (Existence et unicité de la solution)

Le schéma boîte (3.23) admet une unique solution  $(u_h, p_h) \in Q_{nc,0}^1 \times (RT^0 + \Phi)$ .

**Preuve :**

Par égalité des dimensions et linéarité du schéma boîte (3.23), il est suffisant de prouver que  $f \equiv 0$  entraîne  $u_h \equiv p_h \equiv 0$ . Supposons que  $f \equiv 0$ , alors l'équation (3.23)<sub>1</sub> s'écrit

$$(\operatorname{div} p_h, v_h)_{0,\Omega} = 0, \quad \forall v_h \in P^0 \quad (3.24)$$

Un élément  $p_h$  de l'espace  $X_{1,h}$  est à divergence constante par quadrangle :  $\operatorname{div} p_h|_K \in P^0(K)$ . Donc l'équation (3.24) implique que  $\operatorname{div} p_h|_K = 0$ , dans chaque rectangle  $K$ . D'autre part,  $\nabla Q_{nc,0}^1 \subseteq X_{2,h}$ . En choisissant  $q_h = \nabla u_h$  dans l'équation (3.23)<sub>2</sub>, nous obtenons :

$$\sum_K |\nabla u_h|_{0,K}^2 = \sum_K (p_h, \nabla u_h)_{0,K} = - \sum_K \int_K \underbrace{\operatorname{div} p_h|_K}_{\equiv 0} u_h dx + \sum_K \int_{\partial K} p_h \cdot \nu u_h d\sigma \quad (3.25)$$

Puisque  $p_h \in X_{1,h} = RT^0 + \Phi$ ,  $p_h$  se décompose sous la forme  $p_h = \bar{p}_h + \sum_K \beta_K \operatorname{rot} b_K$ , avec  $\bar{p}_h \in H_{\operatorname{div}}(\Omega)$  et  $\beta_K \in \mathbb{R}$ . La relation (3.25) devient

$$\sum_K |\nabla u_h|_{0,K}^2 = \sum_K \int_{\partial K} \bar{p}_h \cdot \nu u_h d\sigma + \sum_K \int_{\partial K} \beta_K \operatorname{rot} b_K \cdot \nu u_h d\sigma \quad (3.26)$$

Sur un rectangle  $K$ ,  $u_h|_K \in Q^1(K)$ , donc en utilisant le Lemme 3.3.3 (iii), on obtient

$$\sum_K \int_{\partial K} \beta_K \operatorname{rot} b_K \cdot \nu u_h d\sigma = 0.$$

D'autre part, si  $[v] = (v|_{K_2} - v|_{K_1})|_a$  désigne le saut d'une fonction  $v$  à travers l'arête  $a$  commune à deux mailles  $K_1$  et  $K_2$ , l'équation (3.26) se réécrit

$$\sum_K |\nabla u_h|_{0,K}^2 = \sum_{a \in A_b} \int_a \bar{p}_h \cdot \nu_a u_h d\sigma - \sum_{a \in A_i} \int_a \bar{p}_h \cdot \nu_a [u_h] d\sigma \quad (3.27)$$

Puisque,  $\bar{p}_h \cdot \nu_a \in P^0(a)$  pour toute arête  $a$  du maillage et  $u_h$  est continue au milieu des arêtes internes et nulle au milieu des arêtes frontières, le terme  $\sum_K |\nabla u_h|_{0,K}^2 = 0$ . De plus

$u_h \in Q_{nc,0}^1$ , d'où on déduit que  $u_h = 0$ .

Prouvons que  $p_h$  est nul. On a vu que  $\operatorname{div} p_h = 0$  donc la relation (3.19) implique que  $p_h \in P^0(K)^2 + P^0 \operatorname{rot} b_K \subset X_{2,h}$ . Choisissons maintenant  $q_h = p_h \in X_{2,h}$  dans l'équation (3.23)<sub>2</sub>, alors  $\sum_K |p_h|_{0,K}^2 = 0$  et donc  $p_h \equiv 0$ . ■

Soit  $\Pi^0 f$  la projection de  $f$  sur  $\Pi_{K \in \mathcal{T}_h} P^0(K)$  et  $\Pi^0 f|_K$  sa restriction à un élément  $K$ . Nous allons maintenant exprimer une formulation équivalente du schéma boîte (3.23) :

**Proposition 3.4.1** *La solution  $(u_h, p_h) \in Q_{nc,0}^1 \times (RT^0 + \Phi)$  du schéma boîte (3.23) est donnée par :*

(i)  $u_h \in Q_{nc,0}^1$  est solution du problème variationnel

$$\sum_{K \in \mathcal{T}_h} (\nabla u_h, \nabla v_h)_{0,K} = \sum_{K \in \mathcal{T}_h} ((\Pi^0 f)|_K, v_h)_{0,K}, \quad \forall v_h \in Q_{nc,0}^1 \quad (3.28)$$

(ii)  $p_h$  s'écrit localement dans chaque rectangle  $K$  :

$$p_h|_K = (\nabla u_h)|_K - \frac{\Pi^0 f|_K}{|e_x|^2 + |e_y|^2} \begin{pmatrix} |e_y|^2(x - x_K) \\ |e_x|^2(y - y_K) \end{pmatrix} \quad (3.29)$$

où  $(x_K, y_K)$  est le centre du rectangle  $K$ .

**Preuve :**

(i) Soit  $v_h \in Q_{nc,0}^1$ . Choisissons  $q_h = \nabla v_h$  élément de  $X_{2,h}$  dans (3.23)<sub>2</sub>. En intégrant par partie, on obtient

$$\begin{aligned} \sum_K (\nabla u_h, \nabla v_h)_{0,K} &= \sum_K (p_h, \nabla v_h)_{0,K} \\ &= - \sum_K \int_K \operatorname{div} p_h v_h dx + \sum_K \int_{\partial K} (p_h \cdot \nu) v_h d\sigma \end{aligned} \quad (3.30)$$

Puisque,  $\operatorname{div} p_h|_K \in P^0$ , on a d'après l'équation (3.23)<sub>1</sub>,  $\operatorname{div} p_h|_K = -\Pi^0 f|_K$ . Or,  $p_h \in RT^0 + \Phi$  s'écrit localement  $p_h = \bar{p}_h + \sum_K \beta_K \operatorname{rot} b_K$ , donc la relation (3.30) devient

$$\begin{aligned} \sum_K (\nabla u_h, \nabla v_h)_{0,K} &= \sum_K (\Pi^0 f, v_h)_{0,K} + \sum_K \int_{\partial K} (\bar{p}_h + \beta_K \operatorname{rot} b_K) \cdot \nu v_h d\sigma \\ &= (\Pi^0 f, v_h)_{0,\Omega} + \sum_K \int_{\partial K} \bar{p}_h \cdot \nu v_h d\sigma + \sum_K \int_{\partial K} \beta_K \operatorname{rot} b_K \cdot \nu v_h d\sigma \end{aligned}$$

Le Lemme 3.3.3 (iii) donne  $\int_{\partial K} \operatorname{rot} b_K \cdot \nu v_h d\sigma = 0$ . Donc en utilisant la continuité de la composante normale des éléments de  $RT^0 \subset H_{\operatorname{div}}(\Omega)$ , on a

$$\sum_K (\nabla u_h, \nabla v_h)_{0,K} = \sum_K (\Pi^0 f, v_h)_{0,K} + \sum_{a \in \mathcal{A}_b} \int_a \bar{p}_h \cdot \nu_a u_h d\sigma - \sum_{a \in \mathcal{A}_i} \int_a \bar{p}_h \cdot \nu_a [u_h] d\sigma$$

Puisque  $u_h \in Q_{nc,0}^1$  et  $p_h \cdot \nu_a \in P^0(a)$ , le Lemme 3.3.5 implique que

$$\int_a \bar{p}_h \cdot \nu_a u_h d\sigma = 0, \quad \forall a \in \mathcal{A}_b \quad \text{et} \quad \int_a \bar{p}_h \cdot \nu_a [u_h] d\sigma = 0, \quad \forall a \in \mathcal{A}_i \quad (3.31)$$

ce qui donne

$$\sum_K (\nabla u_h, \nabla v_h)_{0,K} = \sum_K (\Pi^0 f, v_h)_{0,K}, \quad \forall v_h \in Q_{nc,0}^1.$$

Ceci prouve (i). En particulier, pour  $v_h = b_K \in Q_{nc,0}^1$  ( $v_h$  vaut la bulle  $b_K$  sur le rectangle  $K$  et 0 ailleurs), on obtient

$$(\nabla u_h, \nabla b_K)_{0,K} = (\Pi^0 f, b_K)_{0,K}$$

Or, la bulle est à moyenne nulle sur chaque rectangle, donc  $(\Pi^0 f, b_K)_{0,K} = 0$ . De plus,  $\nabla u_h$  s'écrit localement  $(\nabla u_h)|_K = (\Pi^0 \nabla u_h)|_K + d_K \nabla b_K$ , où  $d_K$  est donné par  $u_h$ . On en déduit que

$$\begin{aligned} 0 &= (\nabla u_h, \nabla b_K)_{0,K} = ((\Pi^0 \nabla u_h)|_K + d_K \nabla b_K, \nabla b_K)_{0,K} \\ &= \underbrace{((\Pi^0 \nabla u_h)|_K, \nabla b_K)_{0,K}}_{=0} + d_K |\nabla b_K|_{0,K}^2 \end{aligned}$$

C'est-à-dire  $d_K = 0$ , puisque  $|\nabla b_K|_{0,K}^2 \neq 0$ . Donc la composante "bulle" de la solution  $u_h$  est nulle et  $(\nabla u_h)|_K = (\Pi^0 \nabla u_h)|_K$ .

(ii) *Ecriture locale de  $p_h$*

$p_h$  appartient à  $RT^0 + \Phi$ , il s'écrit donc localement sur un rectangle  $K$ ,  $p_h = \bar{p}_h + \sum_K \beta_K \text{rot } b_K$  avec  $\bar{p}_h \in H_{\text{div}}(\Omega)$ . Or, nous avons vu que pour tout rectangle  $K$ ,  $\text{div } p_h|_K = -\Pi^0 f|_K$  et  $\text{div}(\text{rot } b_K) = 0$ , donc

$$\text{div } p_h = \text{div } \bar{p}_h = -\Pi^0 f. \quad (3.32)$$

Puisque  $p_h$  et  $\nabla u_h$  sont des vecteurs polynomiaux de degré 1, l'équation (3.23)<sub>2</sub> implique que

$$(\Pi^0 p_h)|_K = (\Pi^0 \nabla u_h)|_K = (\nabla u_h)|_K.$$

D'autre part,  $p_h$  s'écrit encore sous la forme

$$p_h|_K = (\Pi^0 p_h)|_K + \frac{\text{div } p_h|_K}{2} \begin{pmatrix} x - x_K \\ y - y_K \end{pmatrix} + \tilde{\beta}_K \begin{pmatrix} x - x_K \\ -(y - y_K) \end{pmatrix}$$

où  $\tilde{\beta}_K \in \mathbb{R}$ . En remplaçant,  $(\Pi^0 p_h)|_K$  et  $\text{div } p_h|_K$  par leurs valeurs, on obtient

$$p_h|_K = \underbrace{(\nabla u_h)|_K - \frac{\Pi^0 f|_K}{2} \begin{pmatrix} x - x_K \\ y - y_K \end{pmatrix}}_{p_{h,1}} + \underbrace{\tilde{\beta}_K \begin{pmatrix} x - x_K \\ -(y - y_K) \end{pmatrix}}_{p_{h,2}}$$

Il s'agit maintenant d'évaluer le coefficient  $\tilde{\beta}_K$ . Réutilisons l'équation (3.23)<sub>2</sub> pour un élément  $q_h|_K = \text{rot } b_K$  :

$$\int_K (p_{h,1} + p_{h,2} - \nabla u_h) \cdot \text{rot } b_K \, dx = 0 \quad (3.33)$$

Or, par le Lemme 3.3.3 (ii),  $\int_K \nabla u_h \cdot \text{rot } b_K = 0$ , et  $p_{h,1}$  est complètement déterminé par

$$p_{h,1} = (\nabla u_h)|_K - \frac{\Pi^0 f|_K}{2} \begin{pmatrix} x - x_K \\ y - y_K \end{pmatrix}$$

donc l'équation (3.33) devient :

$$\begin{aligned}
 \int_K p_{h,2} \cdot \operatorname{rot} b_K dx &= - \int_K p_{h,1} \cdot \operatorname{rot} b_K dx \\
 &= \frac{\Pi^0 f|_K}{2} \int_K \begin{pmatrix} x - x_K \\ y - y_K \end{pmatrix} \cdot \operatorname{rot} b_K dx - (\Pi^0 \nabla u_h)|_K \cdot \underbrace{\int_K \operatorname{rot} b_K dx}_{=0} \\
 &= \frac{4\Pi^0 f|_K}{2|K|} \int_K (x - x_K)^2 - (y - y_K)^2 dx
 \end{aligned}$$

Sur un rectangle  $K$  d'arêtes horizontale  $e_x$  et verticale  $e_y$ ,

$$\int_K (x - x_K)^2 = \frac{|K|}{12} |e_x|^2 \quad \text{et} \quad \int_K (y - y_K)^2 = \frac{|K|}{12} |e_y|^2. \quad (3.34)$$

D'autre part, par définition de  $p_{h,2}$ ,

$$\begin{aligned}
 \int_K p_{h,2} \cdot \operatorname{rot} b_K dx &= \int_K \tilde{\beta}_K \begin{pmatrix} x - x_K \\ -(y - y_K) \end{pmatrix} \cdot \operatorname{rot} b_K dx \\
 &= \frac{4\tilde{\beta}_K}{|K|} \int_K (x - x_K)^2 + (y - y_K)^2 dx \\
 &= \frac{4\tilde{\beta}_K}{12} (|e_x|^2 + |e_y|^2)
 \end{aligned}$$

Nous obtenons donc :

$$\tilde{\beta}_K = \frac{\Pi^0 f|_K (|e_x|^2 - |e_y|^2)}{2 (|e_x|^2 + |e_y|^2)}.$$

Nous venons de prouver que  $(u_h, p_h)$  solution du problème (3.23) est également solution du problème ((i)-(ii)) qui admet une unique solution. D'où le résultat annoncé. ■

Cette proposition donne aussi l'existence et l'unicité du problème (3.23). Noter que dans le cas particulier de maillages en carrés, le coefficient  $\tilde{\beta}_K$  est nul sur chaque carré. C'est-à-dire que la composante selon le rotationnel de bulle est nulle. Donc  $p_h$  s'écrit sur le carré  $K$

$$p_{h|K} = (\nabla u_h)|_K - \frac{\Pi^0 f|_K}{2} \begin{pmatrix} x - x_K \\ y - y_K \end{pmatrix},$$

nous retrouvons la formulation équivalente du schéma boîte de Courbet-Croisille sur maillage en triangles.

### 3.4.3 Analyse numérique du schéma

**Lemme 3.4.3 (Lemme de Poincaré discret, ([30]))**

Il existe une constante  $C > 0$  qui ne dépend que de  $\Omega$  telle que pour tout  $u \in Q_{nc,0}^1 + H_0^1(\Omega)$ , on a

$$|u|_{0,\Omega} \leq C |u|_{1,h}. \quad (3.35)$$

**Preuve :**

Soit  $u \in Q_{nc,0}^1 + H_0^1(\Omega)$ . On a

$$|u|_{0,\Omega} = \sup_{g \in L^2(\Omega)} \frac{|(u, g)_{0,\Omega}|}{|g|_{0,\Omega}} \quad (3.36)$$

Soit  $g \in L^2(\Omega)$ ,  $\exists p \in H^1(\Omega)^2$  tel que  $\operatorname{div} p = g$  et  $\|p\|_{1,\Omega} \leq C|g|_{0,\Omega}$ . En remplaçant  $g$  par sa valeur dans (3.36) et en intégrant par parties, on a

$$(u, g)_{0,\Omega} = (u, \operatorname{div} p)_{0,\Omega} = - \underbrace{\sum_K \int_K \nabla u \cdot p \, dx}_{(I)} + \underbrace{\sum_K \int_{\partial K} p \cdot \nu u \, d\sigma}_{(II)} \quad (3.37)$$

Majorons les deux termes du second membre :

• Estimation de  $|(I)|$  :

$$|(I)| = \left| \sum_K \int_K \nabla u \cdot p \, dx \right| \leq |u|_{1,h} |p|_{1,\Omega}$$

• Soit  $[u]$  le saut de  $u$  à travers l'arête  $a$ , puisque  $p \in (H^1(\Omega))^2 \cap H_{\operatorname{div}}(\Omega)$ ,  $(II)$  est égal à

$$(II) = \sum_K \int_{\partial K} p \cdot \nu u \, d\sigma = \sum_{a \in \mathcal{A}_b} \int_a p \cdot \nu_a u \, d\sigma - \sum_{a \in \mathcal{A}_i} \int_a p \cdot \nu_a [u] \, d\sigma, \quad (3.38)$$

Soit  $\overline{p \cdot \nu_a} = \frac{1}{|a|} \int_a p \cdot \nu_a \, d\sigma$  la moyenne de  $p \cdot \nu_a$  le long de l'arête  $a$ . Puisque  $u \in H_0^1(\Omega) + Q_{nc,0}^1$ , par le Lemme 3.3.5 on a les relations suivantes

$$\int_a \overline{p \cdot \nu_a} u \, d\sigma = 0, \quad \forall a \in \mathcal{A}_b \quad \text{et} \quad \int_a \overline{p \cdot \nu_a} [u] \, d\sigma = 0, \quad \forall a \in \mathcal{A}_i \quad (3.39)$$

L'égalité (3.38) devient donc :

$$\begin{aligned} \sum_K \int_{\partial K} p \cdot \nu u \, d\sigma &= \sum_{a \in \mathcal{A}_b} \int_a (p \cdot \nu_a - \overline{p \cdot \nu_a}) u \, d\sigma - \sum_{a \in \mathcal{A}_i} \int_a (p \cdot \nu_a - \overline{p \cdot \nu_a}) [u] \, d\sigma \\ &= \sum_K \sum_{e \in \partial K} \int_e (p \cdot \nu_e - \overline{p \cdot \nu_e}) u \, d\sigma \end{aligned}$$

Le Lemme 3.2.1 et les propriétés du maillage donnent l'estimation

$$\left| \int_e (p \cdot \nu_e - \overline{p \cdot \nu_e}) u \, d\sigma \right| \leq C h_K |u|_{1,K} |p|_{1,K}$$

Ainsi,

$$|(II)| = \left| \sum_K \int_{\partial K} p \cdot \nu u \, d\sigma \right| \leq 4Ch |u|_{1,h} |p|_{1,\Omega}$$

Finalement, on obtient

$$|(u, g)_{0,\Omega}| \leq (4Ch + 1) |u|_{1,h} |p|_{1,\Omega} \leq (4Ch + 1) |u|_{1,h} \underbrace{\|p\|_{1,\Omega}}_{\leq C(\Omega) |g|_{0,\Omega}}$$

Nous en déduisons le résultat annoncé. ■

**Lemme 3.4.4** La semi-norme  $|\cdot|_{1,h}$  est une norme sur l'espace  $H_0^1(\Omega) + Q_{nc,0}^1$ .

Ce résultat se déduit du Lemme de Poincaré discret. Nous avons le résultat de stabilité suivant :

**Proposition 3.4.2 (Stabilité)**

La solution  $(u_h, p_h) \in Q_{nc,0}^1 \times (RT^0 + \Phi)$  du schéma boîte (3.23) satisfait l'estimation de stabilité :

$$\|u_h\|_{1,h} + \|p_h\|_{\text{div},h} \leq C|f|_{0,\Omega}.$$

**Preuve :**

- Utilisons la formulation équivalente de la Proposition 3.4.1

$$|u_h|_{1,h}^2 = \sum_K (\nabla u_h, \nabla u_h)_{0,K} = \sum_K (\Pi^0 f|_K, u_h)_{0,K} \quad (3.40)$$

Donc, par l'inégalité de Cauchy-Schwarz, on obtient  $|u_h|_{1,h}^2 \leq |f|_{0,\Omega} |u_h|_{0,\Omega}$ . Le Lemme de Poincaré 3.4.3 donne

$$|u_h|_{1,h} \leq C|f|_{0,\Omega}. \quad (3.41)$$

La définition de la norme  $\|\cdot\|_{1,h}$  et le Lemme de Poincaré impliquent que

$$\|u_h\|_{1,h} \leq C(\Omega)|f|_{0,\Omega}. \quad (3.42)$$

- L'écriture locale de  $p_h$  (Proposition 3.4.1) donne :

$$|p_h|_{0,K} \leq |\nabla u_h|_{0,K} + |\Pi^0 f|_{0,K} \frac{|e_x||e_y|}{\sqrt{12}(|e_x|^2 + |e_y|^2)^{1/2}}.$$

C'est-à-dire :

$$|p_h|_{0,K} \leq |u_h|_{1,K} + \frac{h_K |\Pi^0 f|_{0,K}}{4\sqrt{3}}$$

On déduit de (3.41), que

$$|p_h|_{0,\Omega} \leq C|f|_{0,\Omega} \quad (3.43)$$

où  $C$  ne dépend que de  $\Omega$ .

- D'autre part,  $\text{div } p_h = -\Pi^0 f$ . Par l'inégalité (3.43), on obtient  $\|p_h\|_{\text{div},h} \leq C|f|_{0,\Omega}$ . En combinant avec (3.42), on conclut la preuve. ■

**Proposition 3.4.3 (Estimations d'erreur a priori)**

Soit  $(u, p) \in H_0^1(\Omega) \times H_{\text{div}}(\Omega)$  la solution du problème continu (3.2). Soit  $(u_h, p_h) \in Q_{nc,0}^1 \times (RT^0 + \Phi)$  la solution du schéma boîte (3.23). Si  $f \in H^1(\Omega)$ , on a les estimations d'erreur a priori :

$$\begin{aligned}
 (i) \quad & |u - u_h|_{1,h} \leq Ch|f|_{0,\Omega} \\
 (ii) \quad & |u - u_h|_{0,\Omega} \leq Ch^2(|f|_{0,\Omega} + |f|_{1,\Omega}) \\
 (iii) \quad & |p - p_h|_{0,\Omega} \leq Ch|f|_{0,\Omega} \\
 (iv) \quad & |p - p_h|_{\text{div},h} \leq Ch|f|_{1,\Omega}
 \end{aligned} \tag{3.44}$$

**Preuve :**

Les estimations d'erreur pour  $u$  se démontrent grâce à la formulation équivalente du schéma boîte (3.23), selon le même principe que l'estimation d'erreur dans le cas d'un maillage triangulaire.

(i) Notons  $a_h$  la forme bilinéaire définie sur l'espace  $H_0^1(\Omega) + Q_{nc,0}^1$  par

$$a_h(u, v) = \sum_K (\nabla u, \nabla v)_{0,K}$$

pour des éléments  $u$  et  $v$  de  $H_0^1(\Omega) + Q_{nc,0}^1$ . Pour tout  $v_h \in Q_{nc,0}^1$ , on a en utilisant l'inégalité triangulaire

$$|u - u_h|_{1,h} \leq |u - v_h|_{1,h} + |u_h - v_h|_{1,h}. \tag{3.45}$$

Or, par définition de  $a_h$ ,

$$\begin{aligned}
 |u_h - v_h|_{1,h}^2 &= a_h(u_h - v_h, u_h - v_h) \\
 &= a_h(u_h - u, u_h - v_h) + a_h(u - v_h, u_h - v_h).
 \end{aligned} \tag{3.46}$$

Donc

$$|u_h - v_h|_{1,h} \leq \sup_{v_h \in Q_{nc,0}^1} \frac{|a_h(u_h - u, u_h - v_h)|}{|u_h - v_h|_{1,h}} + |u - v_h|_{1,h} \tag{3.47}$$

ce qui donne en combinant avec (3.45)

$$|u - u_h|_{1,h} \leq 2 \inf_{w_h \in Q_{nc,0}^1} |u - w_h|_{1,h} + \sup_{w_h \in Q_{nc,0}^1} \frac{|a_h(u_h - u, w_h)|}{|w_h|_{1,h}}$$

**Estimation de l'erreur de consistance :**

Soit  $w_h \in Q_{nc,0}^1$ , par définition de  $a_h$ , on obtient grâce à la formule (3.28)

$$\begin{aligned}
 a_h(u_h - u, w_h) &= \sum_K \int_K \nabla(u_h - u) \cdot \nabla w_h \, dx \\
 &= \sum_K \int_K \nabla u_h \cdot \nabla w_h \, dx - \sum_K \int_K \nabla u \cdot \nabla w_h \, dx \\
 &= \sum_K (\Pi^0 f, w_h)_{0,K} + \sum_K \int_K \Delta u \, w_h \, dx - \sum_K \int_{\partial K} (\nabla u \cdot \nu) \, w_h \, d\sigma
 \end{aligned}$$

Or,  $-\Delta u = f$  dans  $L^2(\Omega)$ , donc

$$a_h(u_h - u, w_h) = \sum_K \int_K (\Pi^0 f - f) w_h dx - \sum_K \int_{\partial K} (\nabla u \cdot \nu) w_h d\sigma.$$

Notons  $L_u$  la forme linéaire définie sur l'espace  $H_0^1(\Omega) + Q_{nc,0}^1$  par :

$$L_u(w_h) = \sum_K \int_{\partial K} (\nabla u \cdot \nu) w_h d\sigma, \quad \forall u \in H_0^1(\Omega).$$

• Estimons le terme  $L_u(w_h)$ ,  $u \in H_0^1(\Omega) \cap H^2(\Omega)$  :

$$L_u(w_h) = \sum_K \int_{\partial K} (\nabla u \cdot \nu) w_h d\sigma = - \sum_{a \in \mathcal{A}_i} \int_a \nabla u \cdot \nu_a [w_h] d\sigma + \sum_{a \in \mathcal{A}_b} \int_a \nabla u \cdot \nu_a w_h d\sigma \quad (3.48)$$

Or,  $\overline{\nabla u} = \frac{1}{|a|} \int_a \nabla u d\sigma \in P^0(a)$ . D'autre part, puisque  $w_h \in H_0^1(\Omega) + Q_{nc,0}^1$  on a d'après le Lemme 3.3.5, les deux relations

$$\begin{aligned} \int_a \nabla u \cdot \nu_a [w_h] d\sigma &= \int_a (\nabla u - \overline{\nabla u}) \cdot \nu_a [w_h] d\sigma, \quad a \in \mathcal{A}_i \\ \text{et} \quad \int_a \nabla u \cdot \nu_a w_h d\sigma &= \int_a (\nabla u - \overline{\nabla u}) \cdot \nu_a w_h d\sigma, \quad a \in \mathcal{A}_b \end{aligned}$$

Ainsi, l'équation (3.48) est encore équivalente à

$$\begin{aligned} L_u(w_h) &= - \sum_{a \in \mathcal{A}_i} \int_a (\nabla u - \overline{\nabla u}) \cdot \nu_a [w_h] d\sigma + \sum_{a \in \mathcal{A}_b} \int_a (\nabla u - \overline{\nabla u}) \cdot \nu_a w_h d\sigma \\ &= \sum_{K \in \mathcal{T}_h} \sum_{e \in \partial K} \int_e (\nabla u - \overline{\nabla u}) \cdot \nu_e w_h d\sigma. \end{aligned} \quad (3.49)$$

Chaque intégrale d'arête  $e \in \partial K$  s'estime d'après le Lemme 3.2.1 par

$$\left| \int_e (\nabla u - \overline{\nabla u}) \cdot \nu_e w_h d\sigma \right| \leq C h_K |w_h|_{1,K} |\nabla u|_{1,K}$$

et donc par l'inégalité de Cauchy-Schwarz

$$|L_u(w_h)| \leq C h |w_h|_{1,h} |u|_{2,\Omega}$$

ou encore, puisque  $\|u\|_{2,\Omega} \leq C' |f|_{0,\Omega}$ ,

$$|L_u(w_h)| \leq C h |w_h|_{1,h} |f|_{0,\Omega}. \quad (3.50)$$

• Estimons maintenant le terme  $\sum_K \int_K (\Pi^0 f - f) w_h dx$  :

$\Pi^0$  étant l'opérateur de projection sur les polynômes constants et  $\Pi^0 w_h = \frac{1}{|K|} \int_K w_h$ , on a

$$\sum_K \int_K (\Pi^0 f - f) w_h dx = \sum_K \int_K (\Pi^0 f - f)(w_h - \Pi^0 w_h) dx = - \sum_K \int_K f (w_h - \Pi^0 w_h) dx$$

Ainsi, nous obtenons en utilisant l'inégalité de Cauchy-Schwarz

$$\begin{aligned} \left| \sum_K \int_K (\Pi^0 f - f) w_h dx \right| &\leq \sum_K |f|_{0,K} |w_h - \Pi^0 w_h|_{0,K} \\ &\leq \sum_K |f|_{0,K} (ch_K |w_h|_{1,K}) \\ &\leq ch |f|_{0,\Omega} |w_h|_{1,h}. \end{aligned}$$

Ceci donne l'estimation de  $a_h(u_h - u, w_h)$  :

$$\begin{aligned} |a_h(u_h - u, w_h)| &\leq Ch |w_h|_{1,h} |f|_{0,\Omega} + ch |f|_{0,\Omega} |w_h|_{1,h} \\ &\leq Ch |w_h|_{1,h} |f|_{0,\Omega} \end{aligned}$$

Donc l'erreur de consistance est

$$\sup_{w_h \in Q_{nc,0}^1} \frac{|a_h(u_h - u, w_h)|}{|w_h|_{1,h}} \leq Ch |f|_{0,\Omega}. \quad (3.51)$$

**Estimation de l'erreur d'approximation :**

D'autre part, en notant  $\Pi_h^1$  l'opérateur d'interpolation  $Q^1$ -Lagrange, on a par inclusion de  $Q_{c,0}^1$  dans  $Q_{nc,0}^1$ , l'estimation de l'erreur d'approximation

$$\inf_{w_h \in Q_{nc,0}^1} |u - w_h|_{1,h} \leq |u - \Pi_h^1 u|_{1,h}.$$

En utilisant le Lemme 3.2.2 pour  $k = 1, m = 1$

$$\inf_{w_h \in Q_{nc,0}^1} |u - w_h|_{1,h} \leq Ch |u|_{2,\Omega}$$

Or, puisque  $u$  est solution du problème (3.1),  $\|u\|_{2,\Omega} \leq C |f|_{0,\Omega}$ . Ceci permet de conclure que :

$$|u - u_h|_{1,h} \leq Ch |f|_{0,\Omega}$$

Nous avons ainsi démontré l'assertion (i).

(ii) Utilisons un argument de type Aubin-Nitsche pour évaluer la norme  $L^2$  de l'erreur [4] :

$$|u - u_h|_{0,\Omega} = \sup_{g \in L^2(\Omega)} \frac{|(u - u_h, g)_{0,\Omega}|}{|g|_{0,\Omega}}$$

Soit  $g$  une fonction de  $L^2(\Omega)$ . Soit  $\phi_g \in H_0^1(\Omega)$ , la solution du problème variationnel (3.2) associé au problème de Poisson  $(-\Delta \phi_g = g)$  de terme source  $g \in L^2(\Omega)$  :

$$(\nabla \phi_g, \nabla v)_{0,\Omega} = (g, v)_{0,\Omega}, \quad v \in H_0^1(\Omega). \quad (3.52)$$

Soit  $\phi_h \in Q_{nc,0}^1$  la solution du problème variationnel discret (3.28) associé au schéma boîte (3.23) de terme source  $g$  :

$$\sum_K (\nabla \phi_h, \nabla v_h)_{0,K} = \sum_K (\Pi^0 g, v_h)_{0,K}, \quad v_h \in Q_{nc,0}^1. \quad (3.53)$$

Alors, le terme  $(u - u_h, g)_{0,\Omega}$  s'évalue en fonction de  $g, \phi_g, \phi_h$ , par

$$(u - u_h, g)_{0,\Omega} = a_h(u - u_h, \phi_g - \phi_h) - [a_h(u - u_h, \phi_g) - (u - u_h, g)] - [a_h(u, \phi_g - \phi_h) - (f, \phi_g) + (\Pi^0 f, \phi_h)] \quad (3.54)$$

D'où la majoration

$$|(u - u_h, g)_{0,\Omega}| \leq \underbrace{|a_h(u - u_h, \phi_g - \phi_h)|}_{(I)} + \underbrace{|a_h(u - u_h, \phi_g) - (u - u_h, g)|}_{(II)} + \underbrace{|a_h(u, \phi_g - \phi_h) - (f, \phi_g) + (\Pi^0 f, \phi_h)|}_{(III)} \quad (3.55)$$

• Evaluons (I). Par définition de  $a_h$  sur  $H_0^1(\Omega) + Q_{nc,0}^1$ , l'inégalité de Cauchy-Schwarz donne

$$|a_h(u - u_h, \phi_g - \phi_h)| \leq |u - u_h|_{1,h} |\phi_g - \phi_h|_{1,h}$$

L'estimation (i) appliquée aux problèmes (3.1-3.28) et (3.52-3.53) implique

$$|u - u_h|_{1,h} \leq Ch |f|_{0,\Omega} \quad \text{et} \quad |\phi_g - \phi_h|_{1,h} \leq Ch |g|_{0,\Omega}$$

D'où  $|a_h(u - u_h, \phi_g - \phi_h)| \leq Ch^2 |f|_{0,\Omega} |g|_{0,\Omega}$ .

• Posons  $w_h = u - u_h \in H_0^1(\Omega) + Q_{nc,0}^1$  et évaluons (II) :

$$\begin{aligned} |a_h(u - u_h, \phi_g) - (u - u_h, g)| &= |a_h(w_h, \phi_g) - (w_h, g)| \\ &= \left| \sum_K \int_{\partial K} \nabla \phi_g \cdot \nu w_h \, d\sigma \right| \\ &= |L_{\phi_g}(w_h)| \end{aligned}$$

L'estimation de  $L_{\phi_g}$  pour  $\phi_g \in H_0^1(\Omega)$  est donnée par (3.50), encore valable pour des éléments de  $H_0^1(\Omega) + Q_{nc,0}^1$

$$|L_{\phi_g}(w_h)| \leq Ch |g|_{0,\Omega} |w_h|_{1,h}$$

En appliquant (i), on obtient

$$|a_h(u - u_h, \phi_g) - (u - u_h, g)| \leq Ch^2 |g|_{0,\Omega} |f|_{0,\Omega}$$

• Estimons le terme (III). Posons  $w_h = \phi_g - \phi_h$ ,

$$\begin{aligned} |a_h(u, \phi_g - \phi_h) - (f, \phi_g) + (\Pi^0 f, \phi_h)| &= |a_h(u, w_h) - (f, w_h) - (f, \phi_h) + (\Pi^0 f, \phi_h)| \\ &= |L_u(w_h) - (f - \Pi^0 f, \phi_h)| \\ &\leq |L_u(w_h)| + |(f - \Pi^0 f, \phi_h)| \end{aligned}$$

Or, par définition de  $\Pi^0$ ,  $\int_K (f - \Pi^0 f) \phi_h \, dx = \int_K (f - \Pi^0 f) (\phi_h - \Pi^0 \phi_h) \, dx$ . On a donc en utilisant l'inégalité de Cauchy-Schwarz et le Lemme 3.2.2

$$|(f - \Pi^0 f, \phi_h)| \leq Ch^2 |f|_{1,\Omega} |\phi_h|_{1,h}.$$

Comme  $\phi_h$  est solution du problème variationnel (3.53), le Lemme de Poincaré discret donne  $|\phi_h|_{1,h} \leq C |g|_{0,\Omega}$ . D'autre part, d'après la relation (3.50), on a

$$|L_u(w_h)| \leq C h |w_h|_{1,h} |f|_{0,\Omega}.$$

Par définition,  $|w_h|_{1,h} = |\phi_g - \phi_h|_{1,h}$ . Donc d'après (i), on a  $|w_h|_{1,h} \leq C h |g|_{0,\Omega}$ . Ainsi, on obtient l'estimation de (III)

$$|(III)| = |a_h(u, \phi_g - \phi_h) - (f, \phi_g) + (\Pi^0 f, \phi_h)| \leq C h^2 |g|_{0,\Omega} (|f|_{0,\Omega} + |f|_{1,\Omega})$$

Finalement, en regroupant les termes (I), (II) et (III), nous obtenons une estimation de  $|u - u_h|_{0,\Omega}$  :

$$\begin{aligned} |u - u_h|_{0,\Omega} &\leq \sup_{g \in L^2(\Omega)} \frac{1}{|g|_{0,\Omega}} \left( c_1 h^2 |f|_{0,\Omega} |g|_{0,\Omega} + c_2 h^2 |f|_{0,\Omega} |g|_{0,\Omega} \right. \\ &\quad \left. + c_3 h^2 (|f|_{0,\Omega} + |f|_{1,\Omega}) |g|_{0,\Omega} \right) \\ &\leq C h^2 (|f|_{0,\Omega} + |f|_{1,\Omega}) \end{aligned}$$

(iii) D'après l'écriture locale de  $p_h$  (3.29) et la définition de  $p = \nabla u$ , on a

$$\begin{aligned} |p - p_h|_{0,\Omega} &= \left| \nabla u - \sum_K \left( (\nabla u_h)|_K - \frac{\Pi^0 f|_K}{|e_x|^2 + |e_y|^2} \begin{pmatrix} |e_y|^2(x - x_K) \\ |e_x|^2(y - y_K) \end{pmatrix} \right) \right|_{0,\Omega} \\ &\leq |\nabla u - \nabla u_h|_{0,\Omega} \\ &\quad + \left[ \sum_K \int_K \left( \frac{\Pi^0 f|_K}{|e_x|^2 + |e_y|^2} \right)^2 (|e_y|^4(x - x_K)^2 + |e_x|^4(y - y_K)^2) \right]^{1/2} \\ &\leq |u - u_h|_{1,h} + \left[ \sum_K \frac{\Pi^0 f|_K^2}{|e_x|^2 + |e_y|^2} \frac{|K|}{12} |e_x|^2 |e_y|^2 \right]^{1/2} \end{aligned}$$

Or,  $\frac{2|e_x||e_y|}{|e_x|^2 + |e_y|^2} \leq 1$  et  $|K| = |e_x||e_y|$ , donc

$$|p - p_h|_{0,\Omega} \leq |u - u_h|_{1,h} + C h |f|_{0,\Omega}$$

ce qui démontre (iii).

(iv)  $|p - p_h|_{\text{div},h} = |\text{div } p - \text{div } p_h|_{0,\Omega}$ . Or,  $\text{div } p = -f$  d'après (3.2) et  $\text{div } p_h = -\Pi^0 f$  d'après (3.32), on en déduit le résultat annoncé. ■

## 3.5 Schéma boîte de B. Courbet : Schéma boîte 2

### 3.5.1 Principe du schéma boîte

Dans [12], B. Courbet s'intéresse à la forme mixte instationnaire des équations de Navier-Stokes compressibles. Il choisit d'approcher ses inconnues par des moyennes d'arête.

Rappelons le principe du schéma de B. Courbet pour le problème de la chaleur sur le domaine  $\Omega$  maillé par des rectangles. On considère le problème

$$\begin{cases} u_t + \operatorname{div} p + f = 0, & \text{sur } \Omega \\ p = \nabla u, & \text{sur } \Omega \\ u = 0, & \text{sur } \Gamma \end{cases} \quad (3.56)$$

En intégrant le système (3.56) sur un rectangle  $K$  du maillage, on obtient le système exact pour la solution exacte du problème (3.56) :

$$\begin{cases} \frac{d}{dt} \int_K u \, dx + \int_{\partial K} p \cdot \nu \, d\sigma + \int_K f \, dx = 0 \\ \int_K p \, dx = \int_{\partial K} u \, \nu \, d\sigma \\ u = 0, & \text{sur } \Gamma \end{cases} \quad (3.57)$$

A partir de ce bilan d'équations, on introduit les moyennes volumiques sur chaque rectangle

$$\bar{u}_K = \frac{1}{|K|} \int_K u \, dx, \quad \bar{p}_K = \frac{1}{|K|} \int_K p \, dx \quad \text{et} \quad \bar{f}_K = \frac{1}{|K|} \int_K f \, dx \quad (3.58)$$

La conservation de la quantité scalaire  $u$  donne par la relation (3.57)<sub>1</sub> :

$$\frac{d}{dt} \bar{u}_K + \frac{1}{|K|} \sum_{e \in \partial K} \int_e p \cdot \nu_e \, d\sigma + \bar{f}_K = 0 \quad (3.59)$$

On utilise les notations de la Figure 3.11 où les indices  $N, E, S, O$  désignent les arêtes nord, est, sud ou ouest et  $(\nu_K, \tau_K)$  est une base orthonormée sur le rectangle  $K$ .

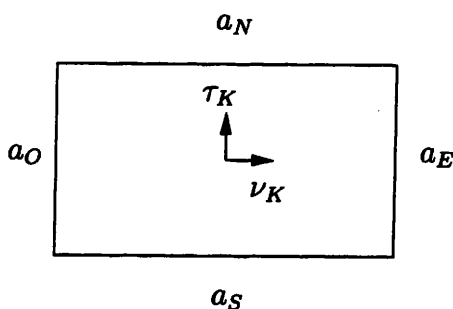


FIG. 3.11 - Notations sur le rectangle  $K$

On note  $\bar{p}'_K = \bar{p}_K \cdot \nu_K$  et  $\bar{p}''_K = \bar{p}_K \cdot \tau_K$  les composantes de  $\bar{p}$  respectivement selon les vecteurs  $\nu_K$  et  $\tau_K$ . Par la conservation du flux (3.57)<sub>2</sub>, on obtient les relations suivantes exactes pour  $p$  :

$$\begin{cases} \bar{p}'_K = \frac{1}{|K|} (\int_{a_E} u \, d\sigma - \int_{a_O} u \, d\sigma) \\ \bar{p}''_K = \frac{1}{|K|} (\int_{a_N} u \, d\sigma - \int_{a_S} u \, d\sigma) \end{cases} \quad (3.60)$$

La discrétisation spatiale de ces relations exactes pour la solution exacte de (3.56) consiste à relier les moyennes de maille  $\bar{u}_K$ ,  $\bar{p}'_K$  et  $\bar{p}''_K$  par les valeurs aux interfaces  $\int_e u \, d\sigma$  et  $\int_e p \cdot \nu_e \, d\sigma$ ,  $e$  étant une des arêtes  $e = a_E, a_S, a_O$  et  $a_N$  du rectangle  $K$ . On note les moyennes d'arête,

pour une arête  $e \in \partial K$ ,  $u_e = \frac{1}{|e|} \int_e u d\sigma$  et  $p_e = \frac{1}{|e|} \int_e p \cdot \nu_K d\sigma$  si  $\nu_e$  et  $\nu_K$  sont colinéaires et  $p_e = \frac{1}{|e|} \int_e p \cdot \tau_K d\sigma$  sinon. On approche la valeur moyenne de  $u$  par deux valeurs différentes en fonction d'une part des arêtes verticales et des arêtes horizontales par

$$\bar{u}_K = \frac{1}{2}(u_{a_E} + u_{a_O}) \quad \text{et} \quad \bar{u}_K = \frac{1}{2}(u_{a_S} + u_{a_N}) \quad (3.61)$$

Cette double condition sur la moyenne  $\bar{u}_K$  impose en particulier l'égalité  $u_{a_E} + u_{a_O} = u_{a_S} + u_{a_N}$ . Dans l'espace des polynômes  $Q^1(K)$ , cette égalité est naturellement vérifiée. D'autre part approche la moyenne de  $\bar{p}'_K = p \cdot \nu_K$  et  $\bar{p}''_K = p \cdot \tau_K$  par

$$\bar{p}'_K = \frac{1}{2}(p_{a_E} + p_{a_O}) \quad \text{et} \quad \bar{p}''_K = \frac{1}{2}(p_{a_S} + p_{a_N}) \quad (3.62)$$

Les relations (3.59-3.60-3.61-3.62) donnent le schéma semi-discret : chercher  $((\bar{u}_K)_{K \in \mathcal{T}_h}, (u_a)_{a \in \mathcal{A}}, (p_a)_{a \in \mathcal{A}})$  tel que pour tout  $K$ , on ait

$$\begin{cases} \frac{d}{dt} \bar{u}_K + \frac{1}{|K|} (|a_E| p_{a_E} - |a_O| p_{a_O} - |a_S| p_{a_S} + |a_N| p_{a_N}) + \bar{f}_K = 0 \\ \bar{u}_K = \frac{1}{2}(u_{a_E} + u_{a_O}) \\ \bar{u}_K = \frac{1}{2}(u_{a_S} + u_{a_N}) \\ \frac{1}{2}(p_{a_E} + p_{a_O}) = \frac{1}{|K|} (|a_E| u_{a_E} - |a_O| u_{a_O}) \\ \frac{1}{2}(p_{a_S} + p_{a_N}) = \frac{1}{|K|} (|a_N| u_{a_N} - |a_S| u_{a_S}) \\ u_a = 0, \quad a \in \Gamma \end{cases} \quad (3.63)$$

Ce problème discret est un système différentiel algébrique avec autant d'équations que d'inconnues, puisque les inconnues  $\bar{u}_K, u_{a_E}, u_{a_O}, u_{a_S}, u_{a_N}$  et  $p_{a_E}, p_{a_O}, p_{a_S}, p_{a_N}$  sont au nombre de  $NE + 2NA$  inconnues, tandis que le nombre d'équations est  $5NE + NA_b = NE + (NA + NA_i) + NA_b$ , qui est égal au nombre d'inconnues  $(NE + 2NA)$  par les relations d'Euler.

**Lemme 3.5.1** *Le problème stationnaire associé au problème discret instationnaire (3.63) donné par*

$$\begin{cases} \frac{1}{|K|} (|a_E| p_{a_E} - |a_O| p_{a_O} - |a_S| p_{a_S} + |a_N| p_{a_N}) + \bar{f}_K = 0 \\ \bar{u}_K = \frac{1}{2}(u_{a_E} + u_{a_O}) \\ \bar{u}_K = \frac{1}{2}(u_{a_S} + u_{a_N}) \\ \frac{1}{2}(p_{a_E} + p_{a_O}) = \frac{1}{|K|} (|a_E| u_{a_E} - |a_O| u_{a_O}) \\ \frac{1}{2}(p_{a_S} + p_{a_N}) = \frac{1}{|K|} (|a_N| u_{a_N} - |a_S| u_{a_S}) \\ u_a = 0, \quad a \in \Gamma \end{cases} \quad (3.64)$$

*est mal posé.*

**Preuve :**

Dans le cas stationnaire, on ne peut pas prouver que le schéma admet une unique solution. Il manque une information sur le flux  $p$ , puisque  $f$  et  $u$  nuls n'impliquent pas que  $p$  est nul. En effet : soit  $\tilde{p}$  la fonction définie localement comme le rotationnel de la bulle non-conforme (introduite dans le Lemme 3.3.2),

$$\tilde{p}|_K = \text{rot } b_K$$

et  $\tilde{p}_{a_E}, \tilde{p}_{a_S}, \tilde{p}_{a_O}, \tilde{p}_{a_N}$  la restriction de la fonction  $\tilde{p}|_K$  aux arêtes  $a_E, a_S, a_O, a_N$ . Alors si le terme source  $f$  est nul, la fonction  $(0, 0, 0, 0, 0, \tilde{p}_{a_E}, \tilde{p}_{a_O}, \tilde{p}_{a_S}, \tilde{p}_{a_N})$  est solution du système (3.64) mais est non nulle. Ceci est en contradiction avec le fait que le schéma soit bien posé à l'état stationnaire. ■

Dans le cas des rectangles, nous avons vu que le rotationnel de la bulle non-conforme a pour propriété d'être à moyenne nulle. On a donc sur un rectangle  $K$

$$\int_K \nabla u \, dx = \int_K p \, dx$$

qui peut aussi prendre la forme

$$\int_K \nabla u \, dx = \int_K p + \beta \operatorname{rot} b_K \, dx$$

où  $\beta$  est un réel quelconque. Lors de l'intégration du système d'équations (3.56) le terme  $\operatorname{rot} b_K$  agit comme un mode parasite qui se superpose à la solution  $p$ .

Ce mode n'est pas éliminé par les équations (3.57). Le choix des espaces de test doit donc être assez riche pour éliminer ce phénomène.

**Définition 3.5.1** Soit  $C_0$  l'espace défini par

$$\begin{aligned} C_0 &= \{(u_a)_a \in \mathbb{R}^{NA}, \text{ tel que } u_a = 0, a \in \Gamma \text{ et} \\ &\quad u_{a_E} + u_{a_O} = u_{a_S} + u_{a_N} \text{ sur chaque rectangle}\} \\ &= \{(u_a)_a \in \mathbb{R}^{NA_i}, u_{a_E} + u_{a_O} = u_{a_S} + u_{a_N} \text{ sur chaque rectangle}\} \end{aligned} \quad (3.65)$$

En éliminant l'inconnue  $\bar{u}_K$ , qui est totalement déterminée par les équations (3.63)<sub>2</sub> et (3.63)<sub>3</sub>, on obtient la formulation équivalente du problème (3.63) chercher  $(u, p) \in C_0 \times \mathbb{R}^{NA}$  tel que

$$\begin{cases} \frac{1}{2} \frac{d}{dt} (u_{a_E} + u_{a_O}) + \frac{1}{|K|} (|a_E| p_{a_E} - |a_O| p_{a_O} - |a_S| p_{a_S} + |a_N| p_{a_N}) + \bar{f}_K = 0 \\ p_{a_E} + p_{a_O} = \frac{2}{|K|} (|a_E| u_{a_E} - |a_O| u_{a_O}) \\ p_{a_S} + p_{a_N} = \frac{2}{|K|} (|a_N| u_{a_N} - |a_S| u_{a_S}) \end{cases} \quad (3.66)$$

C'est encore équivalent à chercher  $(u, p) \in (M_{1,h} \cap C_0) \times X_{1,h}$  (où  $M_{1,h}$  et  $X_{1,h}$  sont des espaces d'éléments finis dont les degrés de liberté sont donnés par les inconnues  $u_a$  et  $p_a$ ) tel que

$$\begin{cases} \sum_K \frac{d}{dt} (u, v)_{0,K} + (\operatorname{div} p, v)_{0,K} + (f, v)_{0,K} = 0, \forall v \in P^0 \\ \sum_K (p - \nabla u, q)_{0,K} = 0, \forall q \in (P^0)^2. \end{cases} \quad (3.67)$$

Mais il faut rajouter au moins une contrainte au niveau de  $X_{1,h}$  concernant le rotationnel de la bulle, qui peut se traduire par l'ajout de tests supplémentaires.

Du point de vue éléments finis, l'espace d'éléments finis utilisé par B. Courbet pour approcher l'inconnue  $u$  pourrait être un espace de polynômes de  $Q^1$  pour lequel les inconnues seraient situées au niveau des arêtes et les degrés de liberté seraient donnés par les moyennes de  $u$  par arête. A priori, on peut penser à l'espace  $Q_{nc,0}^1$ . Or, dans un rectangle, la relation  $u_{a_E} + u_{a_O} = u_{a_S} + u_{a_N}$  est toujours vraie dans  $Q^1(K)$  (voir Lemme 3.3.2). En particulier, dans le système (3.63), une des deux équations  $\bar{u}_K = \frac{1}{2}(u_{a_E} + u_{a_O})$ ,  $\bar{u}_K = \frac{1}{2}(u_{a_S} + u_{a_N})$  est redondante.

On peut penser également à l'espace de Rannacher et Turek, pour lequel la relation  $u_{a_E} + u_{a_O} = u_{a_S} + u_{a_N}$  n'est pas vérifiée et dont les degrés de liberté sont donnés par les moyennes de  $u$  par arête. C'est l'objet du schéma boîte 3  $(u_h, p_h) \in Q_{rot,0}^1 \times (RT^0 + \Phi)$  que nous proposons Section 3.6.

### Lemme 3.5.2 (Dimension de $C_0$ )

$$\dim C_0 = NA - NE - (NA_b - 1) = NP_i$$

**Preuve :**

On prouve par récurrence sur  $NE$ , le nombre de rectangles du maillage, que la dimension de l'espace  $C_0$  de B. Courbet est de dimension  $NP_i$ . On note  $C_{0,NE}$  l'espace  $C_0$  pour un maillage  $\mathcal{T}_h$  de  $NE$  rectangles. La Preuve est évidente pour un rectangle. On suppose maintenant que le lemme est vrai pour  $NE$  rectangles et on prouve le résultat pour  $NE + 1$  rectangles. On est ramené à l'étude des trois cas suivants :

-1- on ajoute aucun point au maillage, ce qui correspond à l'ajout d'une seule arête frontière au maillage. Dans ce cas, on vérifie que  $C_{0,NE+1} = C_{0,NE} \oplus \text{Vect}(\varphi_1, \varphi_2)$ . Les valeurs  $\varphi_1$  et  $\varphi_2$  correspondent aux trois nouvelles valeurs d'arête interne liées par la relation  $u_O + u_E = u_S + u_N$ . De plus,  $NP_{i,NE+1} = NP_{i,NE} + 2$ .

-2- on ajoute un point au maillage, ce qui correspond à l'ajout de deux arêtes frontières au maillage. De même on vérifie que  $C_{0,NE+1} = C_{0,NE} \oplus \text{Vect}(\varphi)$ . Or, dans ce cas  $NP_{i,NE+1} = NP_{i,NE} + 1$ .

-3- on ajoute deux points au maillage, ce qui correspond à l'ajout de trois arêtes frontières au maillage. Alors,  $C_{0,NE+1} = C_{0,NE}$ , puisque la valeur d'arête interne est nulle. D'autre part, on a aussi  $NP_{i,NE+1} = NP_{i,NE}$ .

### Lemme 3.5.3 (Lien entre l'espace $Q_{c,0}^1$ et l'espace de B. Courbet $C_0$ )

Si  $M_a$  désigne le milieu d'une arête  $a$ , l'application linéaire

$$\begin{aligned} L & : Q_{c,0}^1 \longrightarrow C_0 \\ u & \longmapsto (u(M_a))_{a \in \mathcal{A}} \end{aligned} \tag{3.68}$$

est une bijection entre les espaces  $Q_{c,0}^1$  et  $C_0$ .

**Preuve :**

• Par définition,  $L$  est une application linéaire telle que  $\text{Im } L \subseteq C_0$

- Le noyau de  $L$  est

$$\text{Ker } L = \{u_h \in Q_{c,0}^1; u_h(M_a) = 0, \forall a \in \mathcal{A}\} = Q_{c,0}^1 \cap \Psi = \{0\}$$

puisque par définition, la fonction bulle non-conforme  $\psi = \sum_K \alpha_K b_K$  est la seule fonction de  $Q^1$  qui s'annule au milieu de toutes les arêtes du maillage. Donc  $\text{Ker } L = \{0\}$ , par la Proposition 3.3.1.

- D'autre part,  $L$  est une application linéaire injective entre les espaces vectoriels  $Q_{c,0}^1$  et  $C_0$ , de même dimension  $NP_i$ , donc  $L$  est un isomorphisme entre  $Q_{c,0}^1$  et  $C_0$ . ■

Nous proposons donc une réécriture du schéma de B. Courbet pour le problème de Poisson à l'aide de l'espace d'éléments finis  $M_{1,h} = Q_{c,0}^1$ . On utilise l'espace  $Q_{c,0}^1$  pour approcher l'inconnue scalaire  $u$  et l'espace de Raviart-Thomas  $RT^0$  pour approcher le flux  $p$ . Les inconnues sont au nombre de  $3NE + 1$ .

### 3.5.2 Le schéma boîte $(u_h, p_h) \in Q_{c,0}^1 \times RT^0$

Soit  $\Phi$  l'espace vectoriel des rotationnels de bulle non-conforme par rectangle défini dans le Lemme 3.3.7 par

$$\Phi = \text{rot } \Psi = \{\phi = \sum_K \beta_K \text{rot } b_K, \beta_K \in \mathbb{R}\}.$$

Dans cette partie, on propose un nouveau schéma boîte sur des maillages en rectangles, inspiré du schéma proposé par B. Courbet rappelé précédemment. On cherche les inconnues  $u_h$  et  $p_h$  dans des espaces d'éléments finis  $M_{1,h}$  et  $X_{1,h}$ . D'après le Lemme 3.5.3, il est naturel de choisir les inconnues  $u_h$  dans l'espace d'éléments finis  $M_{1,h} = Q_{c,0}^1$ . D'autre part, on cherche  $p_h$  défini par  $NA$  inconnues d'arêtes. Or l'espace  $RT^0$  de Raviart-Thomas sur rectangle semble convenir pour ce choix. On choisit donc l'espace  $X_{1,h} = RT^0$ . Nous avons vu précédemment qu'il faut éliminer un mode parasite issu du rotationnel de la bulle non-conforme; c'est-à-dire qu'on doit éliminer certaines fonctions vectorielles de l'espace  $RT^0$ . Or d'après le Lemme 3.3.7,  $\Phi \cap RT^0 = \text{Vect}(\text{rot}(\mathcal{B}))$ . Il suffit de soustraire les éléments de  $\text{Vect}(\text{rot}(\mathcal{B}))$  à l'espace d'inconnues  $RT^0$ , ce qui est équivalent à ajouter un test supplémentaire dans l'espace de test  $X_{2,h}$ . La dimension des espaces d'inconnues est  $\dim Q_{c,0}^1 + \dim RT^0 = NP_i + NA = 3NE + 1$  (par les relations d'Euler (3.8)). La construction du schéma de B. Courbet donne de façon naturelle des espaces de test de type polynômes constants par maille :  $M_{2,h} = P^0$  et  $X_{2,h} = (P^0)^2$ . On enrichit l'espace  $X_{2,h}$  par l'espace vectoriel  $\text{Vect}(\text{rot}(\mathcal{B}))$ . On obtient ainsi le bon décompte entre les dimensions des espaces d'inconnues et des espaces de test :

#### Lemme 3.5.4

$$\dim Q_{c,0}^1 + \dim RT^0 = \dim P^0 + \dim ((P^0)^2 + \text{Vect}(\text{rot}(\mathcal{B}))). \quad (3.69)$$

**Preuve :** En effet :

$$\begin{aligned}
 \dim M_{1,h} + \dim X_{1,h} &= NP_i + NA \\
 &= NA + (1 + NA_i - NE) \quad \text{relation d'Euler (3.8)}_1 \\
 &= 4NE + 1 - NE \quad \text{relation d'Euler (3.8)}_2 \\
 &= 3NE + 1 = \dim X_{2,h} + \dim M_{2,h}
 \end{aligned}$$

**Définition 3.5.2 (Schéma boîte 2)**

Considérons le schéma boîte suivant : chercher  $(u_h, p_h) \in Q_{c,0}^1 \times RT^0$  solution de :

$$\begin{cases} \sum_{K \in \mathcal{T}_h} (\operatorname{div} p_h + f, v_h)_{0,K} = 0, \forall v_h \in P^0 \\ \sum_{K \in \mathcal{T}_h} (p_h - \nabla u_h, q_h)_{0,K} = 0, \forall q_h \in (P^0)^2 + \operatorname{Vect}(\operatorname{rot}(\mathcal{B})) \end{cases} \quad (3.70)$$

Remarquons que l'espace  $\nabla(Q_{c,0}^1) \not\subseteq X_{2,h}$ , et que l'espace test  $X_{2,h}$  n'est pas de type discontinu, contrairement aux schémas boîte étudiés précédemment

**Lemme 3.5.5** *Le problème discret (3.70) admet une unique solution  $(u_h, p_h) \in Q_{c,0}^1 \times RT^0$ .*

**Preuve :**

Par égalité des dimensions et linéarité du problème, il suffit de prouver que  $f \equiv 0$  entraîne que  $u_h \equiv 0 \equiv p_h$ .

Soit  $f \equiv 0$  dans l'équation (3.70)<sub>1</sub>. Sur chaque rectangle  $K$  du maillage, on a alors  $\operatorname{div} p_{h|K} = 0$ . Or, par la relation (3.19),

$$RT^0(K) = (P^0(K))^2 + P^0 \overrightarrow{GX} + P^0(K) \operatorname{rot} b_K,$$

donc  $\operatorname{div} p_{h|K} = 0$  implique que sur un rectangle  $K$ ,  $p_h$  s'écrit

$$p_{h|K} = (\Pi^0 p_h)_{|K} + \beta_K \operatorname{rot} b_K \in (P^0(K))^2 + P^0(K) \operatorname{rot} b_K. \quad (3.71)$$

En choisissant  $q_{h|K} = (\Pi^0 p_h)_{|K} \in (P^0(K))^2$ , dans l'équation (3.70)<sub>2</sub>, on obtient

$$\begin{aligned}
 \sum_K (p_h, q_h)_{0,K} &= \sum_K (\nabla u_h, q_h)_{0,K} \\
 \sum_K |K| (\Pi^0 p_h)_{|K}^2 &= \sum_K \int_K \nabla u_h \cdot (\Pi^0 p_h) dx \\
 &= \sum_K \int_K \nabla u_h \cdot p_h dx - \sum_K \int_K \nabla u_h \cdot (p_h - (\Pi^0 p_h)_{|K}) dx \\
 &= - \sum_K \int_K \underbrace{\operatorname{div} p_h}_{=0} u_h dx + \sum_K \int_{\partial K} p_h \cdot \nu u_h d\sigma \\
 &\quad - \sum_K \int_K \nabla u_h \cdot \underbrace{(p_h - (\Pi^0 p_h)_{|K})}_{\beta_K \operatorname{rot} b_K} dx \\
 &= \underbrace{\sum_{a \in \mathcal{A}_b} \int_a p_h \cdot \nu_a u_h d\sigma}_{(I)} - \underbrace{\sum_{a \in \mathcal{A}_i} \int_a p_h \cdot \nu_a [u_h] d\sigma}_{(II)} \\
 &\quad - \underbrace{\sum_K \int_K \nabla u_h \cdot (\beta_K \operatorname{rot} b_K) dx}_{(III)}
 \end{aligned}$$

Le terme (III) s'annule en vertu du Lemme 3.3.3 (ii). D'autre part,  $u_h$  est nul sur la frontière de  $\Omega$ , donc (I) = 0 et le saut  $[u_h]$  est nul au niveau des arêtes internes, donc (II) = 0. Ainsi  $(\Pi^0 p_h)_{|K} = 0$  pour tout  $K$  rectangle du maillage. C'est-à-dire, d'après l'écriture (3.71),  $p_h \in \Phi$ . Or,  $p_h \in RT^0$ . Le Lemme 3.3.7 implique que  $p_h \in \mathcal{RB}$ . On note donc  $p_h = \beta \sum_K \operatorname{sgn}(K) \operatorname{rot} b_K$ . L'équation (3.70)<sub>2</sub> pour  $q_h = \mathcal{B}$  donne :

$$0 = (p_h - \nabla u_h, q_h) = \beta \sum_K \int_K (\operatorname{sgn}(K) \operatorname{rot} b_K)^2 dx - \sum_K \int_K \operatorname{sgn}(K) \operatorname{rot} b_K \cdot \nabla u_h dx$$

Par le lemme 3.3.3 (ii),  $\int_K \operatorname{rot} b_K \cdot \nabla u_h dx = 0$  ce qui prouve que  $\beta = 0$  et par conséquent  $p_h$  est identiquement nul.

Montrons que  $u_h = 0$ . En prenant  $q_{h|K} = (\Pi^0 \nabla u_h)_{|K}$  dans l'équation (3.70)<sub>2</sub>, on obtient  $\Pi^0(\nabla u_h)_{|K} = 0$ ,  $\forall K \in \mathcal{T}_h$ . Localement,  $u_h$  devient un élément de  $P^0 + P^0 b_K$ . Les propriétés de continuité et de nullité à la frontière des éléments de  $Q_{c,0}^1$  permettent de conclure que  $u_h = 0$ . ■

**Proposition 3.5.1** La solution  $(u_h, p_h) \in Q_{c,0}^1 \times RT^0$  du problème (3.70) est telle que :  
(i)  $u_h \in Q_{c,0}^1$  est solution du problème :

$$\sum_{K \in \mathcal{T}_h} (\Pi^0 \nabla u_h, \Pi^0 \nabla v_h)_{0,K} = \sum_{K \in \mathcal{T}_h} ((\Pi^0 f)_{|K}, v_h)_{0,K}, \quad \forall v_h \in Q_{c,0}^1 \quad (3.72)$$

(ii)  $p_h$  s'écrit localement sur chaque rectangle  $K$  :

$$p_{h|K} = (\Pi^0 \nabla u_h)_{|K} - \frac{\Pi^0 f|_K}{2} \begin{pmatrix} x - x_K \\ y - y_K \end{pmatrix} + \gamma_K \begin{pmatrix} x - x_K \\ -(y - y_K) \end{pmatrix}, \quad \forall K \in \mathcal{T}_h, \quad (3.73)$$

pour un certain  $\gamma_K \in \mathbb{R}$ .

En particulier, la composante rotationnelle de  $p_h$  est non locale.

**Preuve :**

(i) Soit  $(u_h, p_h) \in M_{1,h} \times X_{1,h}$  solution du problème (3.70). Montrons que  $u_h$  est solution du problème variationnel (3.72). Soit  $v_h$  un élément quelconque de  $M_{1,h} = Q_{c,0}^1$ , alors  $q_h = \Pi^0(\nabla v_h) \in X_{2,h}$ , donc l'équation (3.70)<sub>2</sub> donne :

$$\sum_K (\nabla u_h, \Pi^0 \nabla v_h)_{0,K} = \sum_K (p_h, \Pi^0 \nabla v_h)_{0,K} \quad (3.74)$$

Or, sur un rectangle  $K$ , nous savons que  $\nabla v_{h|K} = \Pi^0 \nabla v_{h|K} + \delta_K \nabla b_K$ , pour un certain  $\delta_K$  réel. En utilisant la formule de Green, on obtient

$$\begin{aligned} \sum_K (\nabla u_h, \Pi^0 \nabla v_h)_{0,K} &= \sum_K (p_h, \nabla v_h - \delta_K \nabla b_K)_{0,K} \\ &= - \sum_K \int_K \operatorname{div} p_h v_h dx + \sum_K \int_{\partial K} v_h p_h \cdot \nu d\sigma \\ &\quad - \sum_K \int_K \delta_K p_h \cdot \nabla b_K dx \\ &= - \sum_K \int_K \operatorname{div} p_h v_h dx + \sum_K \int_{\partial K} v_h p_h \cdot \nu d\sigma \\ &\quad + \sum_K \int_K \delta_K \operatorname{div} p_h b_K dx - \sum_K \int_{\partial K} p_h \cdot \nu \delta_K b_K d\sigma \end{aligned} \quad (3.75)$$

Or,  $p_h \in RT^0$ , donc  $\operatorname{div} p_{h|K} \in P^0$ , de plus la bulle  $b_K$  est à moyenne nulle sur le rectangle  $K$ , on en déduit que  $\int_K \delta_K \operatorname{div} p_h b_K dx = 0$ . D'autre part, puisque  $p_h \in RT^0$ ,  $p_h \cdot \nu_a \in P^0(a)$ , et la bulle est à moyenne nulle sur chaque arête, donc le terme  $\int_{\partial K} p_h \cdot \nu \delta_K b_K d\sigma = 0$ . Par ailleurs, l'équation (3.70)<sub>1</sub> donne

$$\operatorname{div} p_{h|K} = -\Pi^0 f|_K, \quad \text{pour tout rectangle } K \in \mathcal{T}_h. \quad (3.76)$$

Donc l'égalité (3.75) se réécrit :

$$\begin{aligned} (\nabla u_h, \Pi^0 \nabla v_h)_{0,\Omega} &= \sum_K \int_K \Pi^0 f v_h dx - \sum_{a \in \mathcal{A}_i} \int_a p_h \cdot \nu_a [v_h] d\sigma \\ &\quad + \sum_{a \in \mathcal{A}_b} \int_a p_h \cdot \nu_a v_h d\sigma - \sum_K \int_K \Pi^0 f|_K \delta_K b_K dx \end{aligned} \quad (3.77)$$

Comme  $v_h \in Q_{c,0}^1$ , le saut de  $v_h$  est nul le long d'une arête interne, c'est-à-dire,  $[v_h]_a = 0$ ,  $\forall a \in \mathcal{A}_i$ , et  $v_h$  est nul le long d'une arête frontière, c'est-à-dire,  $v_{h|a} = 0$ ,  $\forall a \in \mathcal{A}_b$ . Et par définition,  $\int_K b_K dx = 0$ . Donc (3.77) devient

$$\sum_K (\nabla u_h, \Pi^0 \nabla v_h)_{0,K} = \sum_K (\Pi^0 f, v_h)_{0,K}$$

Ce qui prouve (i), car  $\sum_K (\nabla u_h, \Pi^0 \nabla v_h)_{0,K} = (\Pi^0 \nabla u_h, \Pi^0 \nabla v_h)_{0,\Omega}$ .

(ii) L'écriture locale de  $p_h$  :

D'après la relation (3.19),  $p_h$  s'écrit localement

$$p_{h|K} = (\Pi^0 p_h)_{|K} + \frac{\operatorname{div} p_{h|K}}{2} \begin{pmatrix} x - x_K \\ y - y_K \end{pmatrix} + \gamma_K \begin{pmatrix} x - x_K \\ -(y - y_K) \end{pmatrix}.$$

D'après (3.70)<sub>2</sub>,  $(\Pi^0 p_h)_{|K} = (\Pi^0 \nabla u_h)_{|K}$  et d'après (3.76),  $\operatorname{div} p_{h|K} = -\Pi^0 f_{|K}$ . Donc

$$p_{h|K} = (\Pi^0 \nabla u_h)_{|K} - \frac{\Pi^0 f_{|K}}{2} \begin{pmatrix} x - x_K \\ y - y_K \end{pmatrix} + \gamma_K \begin{pmatrix} x - x_K \\ -(y - y_K) \end{pmatrix}.$$

Il reste maintenant à déterminer le coefficient  $\gamma_K$ . Choisissons  $q_h = \sum_K \operatorname{sgn}(K) \operatorname{rot} b_K$  dans l'équation (3.70)<sub>2</sub>; puisque le produit scalaire entre  $\nabla u_h$  et  $\operatorname{rot} b_K$  (Lemme 3.3.3, (ii)) est nul sur chaque rectangle  $K$ , nous obtenons

$$0 = \sum_K (p_h, q_h)_{0,K} = \sum_K \int_K p_h \cdot \operatorname{sgn}(K) \operatorname{rot} b_K \, dx. \quad (3.78)$$

En remplaçant  $p_h$  par sa valeur, ceci est encore équivalent à

$$\sum_K \int_K \left[ (\Pi^0 \nabla u_h)_{|K} - \frac{\Pi^0 f_{|K}}{2} \begin{pmatrix} x - x_K \\ y - y_K \end{pmatrix} + \gamma_K \begin{pmatrix} x - x_K \\ -(y - y_K) \end{pmatrix} \right] \cdot \operatorname{sgn}(K) \operatorname{rot} b_K \, dx = 0 \quad (3.79)$$

Or,  $\int_K \Pi^0 (\nabla u_h) \cdot \operatorname{rot} b_K \, dx = 0$  (puisque le rotationnel de la bulle  $\operatorname{rot} b_K$  est à moyenne nulle sur  $K$ ) et

$$\int_K (x - x_K)^2 = \frac{|K|}{12} |e_x|^2 \quad \text{et} \quad \int_K (y - y_K)^2 = \frac{|K|}{12} |e_y|^2. \quad (3.80)$$

L'équation (3.79) devient :

$$\sum_K \gamma_K \operatorname{sgn}(K) (|e_x|^2 + |e_y|^2) = \sum_K \operatorname{sgn}(K) \frac{\Pi^0 f_{|K}}{2} (|e_x|^2 - |e_y|^2) \quad (3.81)$$

Pour déterminer  $\gamma_K$  sur chaque rectangle  $K$ , utilisons la propriété  $H_{\operatorname{div}}$  des éléments de  $RT^0$ . Considérons d'abord le cas d'un maillage à quatre rectangles comme celui de la Figure 3.12 et  $\mathcal{C}$  est le chemin représenté sur la Figure 3.12 :

On note  $a_1 = \partial K_1 \cap \partial K_2$ ,  $a_2 = \partial K_2 \cap \partial K_3$ ,  $a_3 = \partial K_3 \cap \partial K_4$  et  $a_4 = \partial K_1 \cap \partial K_4$ .

**Lemme 3.5.6** *La continuité de  $p \cdot \nu_a$  le long des arêtes  $a_1, a_2, a_3$  intersectant le chemin  $\mathcal{C}$  implique la continuité de  $p \cdot \nu_a$  le long de l'arête  $a_4$ .*

**Preuve :**

Soit  $a$  une arête interne du maillage  $\mathcal{T}_h$  commune aux rectangles  $K_1$  et  $K_2$ , tels que  $\partial K_1 \cap \partial K_2 = \{a\}$ . Soit  $\nu_a$  le vecteur normal à l'arête  $a$ , orienté de  $K_1$  vers  $K_2$ , alors  $p_h$  satisfait la relation :

$$p_h \cdot \nu_a + p_h \cdot \nu'_a = 0 \quad \text{le long de l'arête } a.$$

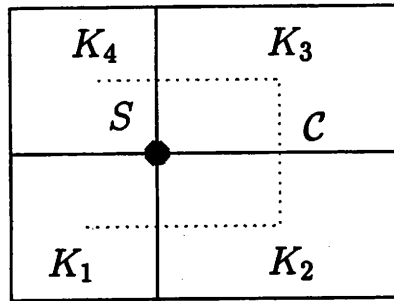
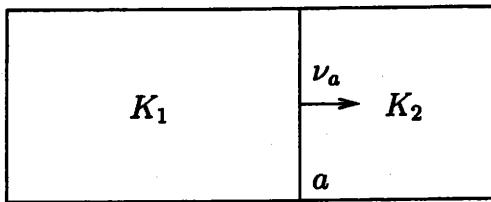

 FIG. 3.12 - Chemin  $\mathcal{C}$ 


FIG. 3.13 - Arête verticale

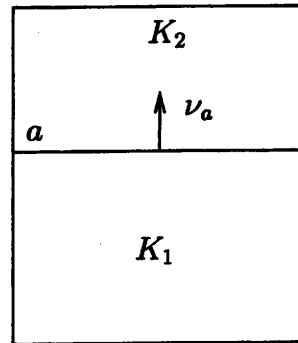


FIG. 3.14 - Arête horizontale

La condition de continuité de  $p_h$  le long de l'arête verticale  $a$  donne (Figure 3.13) :

$$|K_2|\gamma_{K_2} = -|K_1|\gamma_{K_1} + F(u_h, f, a, K_1, K_2) \quad (3.82)$$

où la fonction  $F$  est déterminée par :

$$F(u_h, f, a, K_1, K_2) = -2|a| \left( \Pi^0(\nabla u_h)|_{K_1} - \Pi^0(\nabla u_h)|_{K_2} \right) \cdot \begin{pmatrix} 1 \\ 0 \end{pmatrix} + \frac{|K_1|}{2} \Pi^0 f|_{K_1} + \frac{|K_2|}{2} \Pi^0 f|_{K_2} \quad (3.83)$$

De même, la continuité de  $p_h$  le long d'une arête horizontale  $a$  donne de façon analogue (Figure 3.14) :

$$|K_2|\gamma_{K_2} = -|K_1|\gamma_{K_1} + G(u_h, f, a, K_1, K_2) \quad (3.84)$$

où la fonction  $G$  est déterminée par :

$$G(u_h, f, a, K_1, K_2) = 2|a| \left( (\Pi^0 \nabla u_h)|_{K_1} - (\Pi^0 \nabla u_h)|_{K_2} \right) \cdot \begin{pmatrix} 0 \\ 1 \end{pmatrix} - \frac{|K_1|}{2} \Pi^0 f|_{K_1} - \frac{|K_2|}{2} \Pi^0 f|_{K_2}. \quad (3.85)$$

Supposons que  $p_h \cdot \nu_a$  soit continue le long des arêtes  $a$  qui intersectent le chemin  $\mathcal{C}$ .

• Le long de l'arête  $a_1 = \partial K_1 \cap \partial K_2$  (Figure 3.12), on a par la relation (3.82),

$$|K_2|\gamma_{K_2} = -|K_1|\gamma_{K_1} + F(u_h, f, a_1, K_1, K_2) \quad (3.86)$$

où  $F$  est définie par (3.83) :

$$F(u_h, f, a, K_1, K_2) = -2|a| \left( \Pi^0(\nabla u_h)|_{K_1} - \Pi^0(\nabla u_h)|_{K_2} \right) \cdot \begin{pmatrix} 1 \\ 0 \end{pmatrix} + \frac{|K_1|}{2} \Pi^0 f|_{K_1} + \frac{|K_2|}{2} \Pi^0 f|_{K_2}. \quad (3.87)$$

• La continuité le long de  $a_2 = \partial K_2 \cap \partial K_3$  donne par la relation (3.84) :

$$|K_3| \gamma_{K_3} = -|K_2| \gamma_{K_2} + G(u_h, f, a_2, K_2, K_3) \quad (3.88)$$

où  $G$  est déterminée par :

$$G(u_h, f, a_2, K_2, K_3) = 2|a_2| \left( (\Pi^0 \nabla u_h)|_{K_2} - (\Pi^0 \nabla u_h)|_{K_3} \right) \cdot \begin{pmatrix} 0 \\ 1 \end{pmatrix} - \frac{|K_2|}{2} \Pi^0 f|_{K_2} - \frac{|K_3|}{2} \Pi^0 f|_{K_3} \quad (3.89)$$

L'équation (3.86) devient :

$$-|K_3| \gamma_{K_3} = -|K_1| \gamma_{K_1} + F(u_h, f, a_1, K_1, K_2) - G(u_h, f, a_2, K_2, K_3) \quad (3.90)$$

• Par continuité le long de  $a_3 = \partial K_3 \cap \partial K_4$  et la relation (3.82), l'équation (3.90) devient :

$$\begin{aligned} -(-|K_4| \gamma_{K_4} + F(u_h, f, a_3, K_4, K_3)) &= -|K_1| \gamma_{K_1} + F(u_h, f, a_1, K_1, K_2) \\ &\quad - G(u_h, f, a_2, K_2, K_3) \end{aligned} \quad (3.91)$$

c'est-à-dire

$$|K_4| \gamma_{K_4} = -|K_1| \gamma_{K_1} + F(u_h, f, a_3, K_4, K_3) + F(u_h, f, a_1, K_1, K_2) - G(u_h, f, a_2, K_2, K_3) \quad (3.92)$$

En remplaçant  $F$  et  $G$  par leurs valeurs, (3.92) s'écrit :

$$\begin{aligned} |K_4| \gamma_{K_4} &= -|K_1| \gamma_{K_1} - 2|a_3| \left[ \Pi^0(\nabla u_h)|_{K_4} - \Pi^0(\nabla u_h)|_{K_3} \right] \cdot \begin{pmatrix} 1 \\ 0 \end{pmatrix} + \frac{|K_4|}{2} \Pi^0 f|_{K_4} + \frac{|K_3|}{2} \Pi^0 f|_{K_3} \\ &\quad - 2|a_1| \left[ \Pi^0(\nabla u_h)|_{K_1} - \Pi^0(\nabla u_h)|_{K_2} \right] \cdot \begin{pmatrix} 1 \\ 0 \end{pmatrix} + \frac{|K_1|}{2} \Pi^0 f|_{K_1} + \frac{|K_2|}{2} \Pi^0 f|_{K_2} \\ &\quad - \left[ 2|a_2| \left[ (\Pi^0 \nabla u_h)|_{K_2} - (\Pi^0 \nabla u_h)|_{K_3} \right] \cdot \begin{pmatrix} 0 \\ 1 \end{pmatrix} - \frac{|K_2|}{2} \Pi^0 f|_{K_2} - \frac{|K_3|}{2} \Pi^0 f|_{K_3} \right] \end{aligned} \quad (3.93)$$

qui est équivalent à

$$\begin{aligned} |K_4| \gamma_{K_4} &= -|K_1| \gamma_{K_1} \\ &\quad - 2 \left[ |a_3| \left( \Pi^0(\nabla u_h)|_{K_4} - \Pi^0(\nabla u_h)|_{K_3} \right) + |a_1| \left( \Pi^0(\nabla u_h)|_{K_1} - \Pi^0(\nabla u_h)|_{K_2} \right) \right] \cdot \begin{pmatrix} 1 \\ 0 \end{pmatrix} \\ &\quad - 2|a_2| \left( (\Pi^0 \nabla u_h)|_{K_2} - (\Pi^0 \nabla u_h)|_{K_3} \right) \cdot \begin{pmatrix} 0 \\ 1 \end{pmatrix} + \frac{|K_4|}{2} \Pi^0 f|_{K_4} + \frac{|K_3|}{2} \Pi^0 f|_{K_3} \\ &\quad + \frac{|K_1|}{2} \Pi^0 f|_{K_1} + \frac{|K_2|}{2} \Pi^0 f|_{K_2} + \frac{|K_2|}{2} \Pi^0 f|_{K_2} + \frac{|K_3|}{2} \Pi^0 f|_{K_3} \end{aligned} \quad (3.94)$$

encore équivalent à

$$\begin{aligned}
 |K_4|\gamma_{K_4} &= -|K_1|\gamma_{K_1} & (3.95) \\
 &-2\left[|a_3|\left(\Pi^0(\nabla u_h)_{|K_4} - \Pi^0(\nabla u_h)_{|K_3}\right) + |a_1|\left(\Pi^0(\nabla u_h)_{|K_1} - \Pi^0(\nabla u_h)_{|K_2}\right)\right] \cdot \begin{pmatrix} 1 \\ 0 \end{pmatrix} \\
 &-2|a_2|\left(\Pi^0(\nabla u_h)_{|K_2} - \Pi^0(\nabla u_h)_{|K_3}\right) \cdot \begin{pmatrix} 0 \\ 1 \end{pmatrix} \\
 &+ \sum_K \frac{|K|}{2} \Pi^0 f|_K - \frac{|K_4|}{2} \Pi^0 f|_{K_4} - \frac{|K_1|}{2} \Pi^0 f|_{K_1}
 \end{aligned}$$

Utilisons la forme variationnelle (3.72) dont  $u_h$  est solution. Soit  $v_h$  la fonction de base de  $\mathcal{Q}_{c,0}^1$  associée au sommet  $S$ . Pour ce choix de  $v_h$ ,

$$\begin{aligned}
 \Pi^0(\nabla v_h)_{K_1} &= \frac{1}{2|K_1|} \begin{pmatrix} |a_1| \\ |a_4| \end{pmatrix}; & \Pi^0(\nabla v_h)_{K_2} &= -\frac{1}{2|K_2|} \begin{pmatrix} |a_1| \\ -|a_2| \end{pmatrix} \\
 \Pi^0(\nabla v_h)_{K_3} &= -\frac{1}{2|K_3|} \begin{pmatrix} |a_3| \\ |a_2| \end{pmatrix}; & \Pi^0(\nabla v_h)_{K_4} &= -\frac{1}{2|K_4|} \begin{pmatrix} -|a_3| \\ |a_4| \end{pmatrix} & (3.96) \\
 \Pi^0(v_h)_K &= \frac{1}{4}
 \end{aligned}$$

La relation (3.72) s'écrit encore

$$\sum_K |K| \Pi^0(\nabla u_h)_K \cdot \Pi^0(\nabla v_h)_K = \sum_K |K| (\Pi^0 f)_K \Pi^0(v_h)_K \quad (3.97)$$

En remplaçant dans (3.97) pour  $K_1 \cup K_2 \cup K_3 \cup K_4$ , on obtient :

$$\begin{aligned}
 \frac{1}{2} \left[ \Pi^0(\nabla u_h)_{K_1} \cdot \begin{pmatrix} |a_1| \\ |a_4| \end{pmatrix} - \Pi^0(\nabla u_h)_{K_2} \cdot \begin{pmatrix} |a_1| \\ -|a_2| \end{pmatrix} - \Pi^0(\nabla u_h)_{K_3} \cdot \begin{pmatrix} |a_3| \\ |a_2| \end{pmatrix} \right. \\
 \left. - \Pi^0(\nabla u_h)_{K_4} \cdot \begin{pmatrix} -|a_3| \\ |a_4| \end{pmatrix} \right] = \sum_K \frac{|K|}{4} (\Pi^0 f)_K
 \end{aligned} \quad (3.98)$$

Equivalent à l'égalité :

$$\begin{aligned}
 &\left[ |a_1|\left(\Pi^0(\nabla u_h)_{K_1} - \Pi^0(\nabla u_h)_{K_2}\right) + |a_3|\left(\Pi^0(\nabla u_h)_{K_4} - \Pi^0(\nabla u_h)_{K_3}\right) \right] \cdot \begin{pmatrix} 1 \\ 0 \end{pmatrix} \\
 &+ \left[ |a_2|\left(\Pi^0(\nabla u_h)_{K_2} - \Pi^0(\nabla u_h)_{K_3}\right) + |a_4|\left(\Pi^0(\nabla u_h)_{K_1} - \Pi^0(\nabla u_h)_{K_4}\right) \right] \cdot \begin{pmatrix} 0 \\ 1 \end{pmatrix} & (3.99) \\
 &= \sum_K \frac{|K|}{2} (\Pi^0 f)_K
 \end{aligned}$$

En multipliant par 2 la relation (3.99) et en substituant dans l'équation (3.95), on obtient

$$\begin{aligned}
 |K_4|\gamma_{K_4} &= -|K_1|\gamma_{K_1} + 2|a_4|\left(\Pi^0(\nabla u_h)_{K_1} - \Pi^0(\nabla u_h)_{K_4}\right) \cdot \begin{pmatrix} 0 \\ 1 \end{pmatrix} & (3.100) \\
 &- \frac{|K_4|}{2} \Pi^0 f|_{K_4} - \frac{|K_1|}{2} \Pi^0 f|_{K_1}
 \end{aligned}$$

Il s'agit des relations (3.84)-(3.85) adaptées aux rectangles  $K_1$  et  $K_4$ . La condition (3.100) est donc équivalente à la continuité de  $p_h \cdot \nu_{a_4}$ , où  $a_4$  est l'arête frontière entre les rectangles

$K_1$  et  $K_4$ . Ce qui prouve le lemme. ■

Ce lemme donné pour 4 mailles se généralise au cas d'un maillage  $\mathcal{T}_h$  tel qu'il a été introduit au début de ce chapitre. En effet, considérons le domaine  $\Omega$ , muni du chemin  $C'$  représenté en pointillés sur la Figure 3.15.

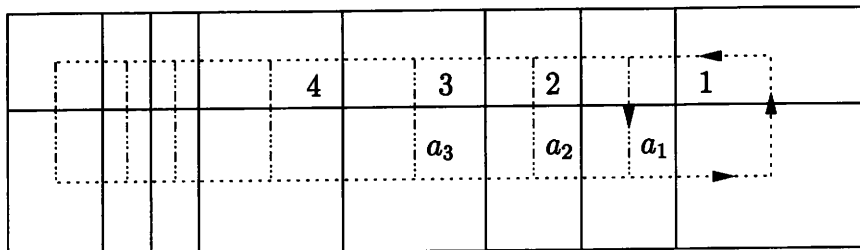


FIG. 3.15 – Chemin  $C'$  parcourant le maillage  $\mathcal{T}_h$  du domaine  $\Omega$ .

On suppose que la continuité de  $p_h \cdot \nu_a$  est vraie sur le chemin  $C'$ . En appliquant le Lemme 3.5.6 sur le chemin fléché 1 (Figure 3.15) on obtient la continuité de  $p_h \cdot \nu_{a_1}$ . De même, grâce au Lemme 3.5.6 appliqué au chemin 2, on obtient la continuité de  $p_h \cdot \nu_{a_2}$ . En raisonnant par récurrence, on obtient la continuité de  $p_h \cdot \nu_a$  sur toutes les arêtes internes  $a$  du maillage. D'où l'on déduit le lemme suivant :

**Lemme 3.5.7** *Soient  $u_h$  la solution du problème (3.72) et  $p_h$  donné sur chaque rectangle  $K$  par la relation (3.73), où  $\gamma_K$  reste à définir. Soit  $C$  un chemin parcourant tous les rectangles du domaine  $\Omega$ . La continuité de  $p_h \cdot \nu_a$  le long de chaque arête  $a$  qui intersecte le chemin  $C$  (Figure 3.16) est équivalente à la continuité de  $p_h \cdot \nu_a$  le long de chaque arête interne au domaine  $\Omega$ .*

Ceci nous permet d'en déduire un système linéaire à  $NE$  équations, dont le vecteur  $(\gamma_1, \gamma_2, \dots, \gamma_{NE})$  est solution, donné par les  $(NE - 1)$  équations de continuité de  $p_h \cdot \nu_a$  le long de chaque arête  $a$ , intersectant le chemin  $C$  auxquelles, on adjoint l'équation (3.81).

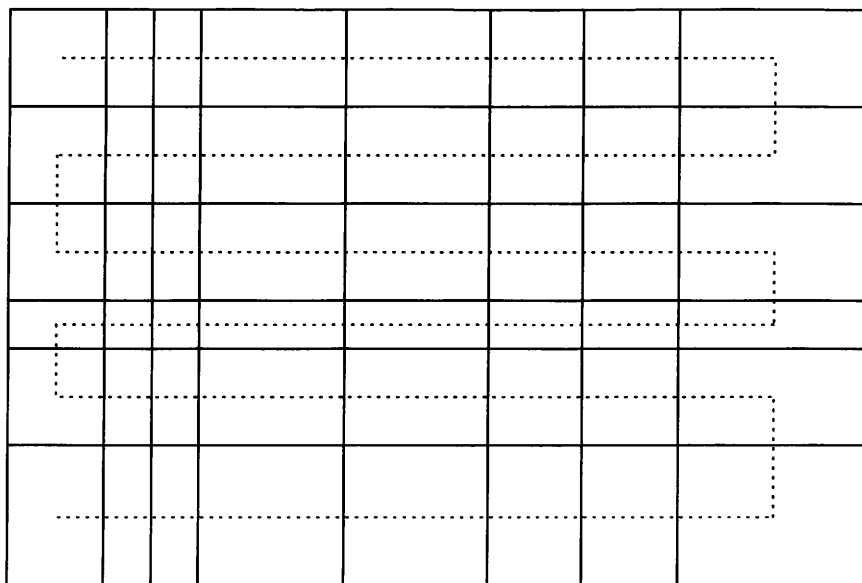


FIG. 3.16 – Chemin  $\mathcal{C}$  parcourant le maillage  $\mathcal{T}_h$  du domaine  $\Omega$ .

**Lemme 3.5.8**  $\gamma = (\gamma_1, \gamma_2, \dots, \gamma_N)$  solution du système  $A\gamma = b$  où

$$A = \begin{pmatrix} |K_1| & |K_2| & 0 & 0 & \dots & 0 \\ 0 & |K_2| & |K_3| & 0 & \dots & 0 \\ \vdots & & & \ddots & \ddots & 0 \\ 0 & & & \ddots & \ddots & 0 \\ 0 & \dots & 0 & 0 & |K_{N-1}| & |K_N| \\ |e_x|^2 + |e_y|^2 & -(|e_x|^2 + |e_y|^2) & \dots & \dots & \dots & \text{sgn}(K_N)(|e_x|^2 + |e_y|^2) \end{pmatrix}$$

et

$$b = \begin{pmatrix} H(u_h, f, |a_1|, K_1, K_2) \\ H(u_h, f, |a_2|, K_2, K_3) \\ \vdots \\ \vdots \\ H(u_h, f, |a_{N-1}|, K_{N-2}, K_{N-1}) \\ \sum_K \text{sgn}(K) \frac{\Pi^0 f_K}{2} (|e_x|^2 - |e_y|^2) \end{pmatrix} \tag{3.101}$$

où  $N = NE$ , la fonction  $H$  désigne  $F$  ou  $G$  (relations (3.83) et (3.85)) selon les cas et  $a_i$  est l'arête commune aux rectangles  $K_i$  et  $K_{i+1}$ .

**Preuve :**

Ce système admet une unique solution, en effet le déterminant de la matrice  $A$  est :

$$\det A = |K_2| \cdots |K_{N-1}| (|e_x|^2 + |e_y|^2) (\text{sgn}(K_N) |K_1| + (-1)^{N+1} \text{sgn}(K_1) |K_N|).$$

D'autre part, le signe du dernier rectangle vu par le chemin  $\mathcal{C}$  est  $\text{sgn}(K_N) = (-1)^{N+1}$  et  $\text{sgn}(K_1) = 1$ . Donc  $|\det A| = |K_2| \cdots |K_{N-1}| (|e_x|^2 + |e_y|^2) (|K_1| + |K_N|)$  et  $|\det A|$  est non

nul.

Donc  $\gamma_K$  est déterminé de façon unique par la résolution du système  $A\gamma = b$  et  $p_h$  s'écrit dans chaque rectangle en fonction de  $\gamma_K$  (qui dépend des rectangles voisins)

$$p_{h|K} = \nabla u_h(x_K, y_K) - \frac{\Pi^0 f|_K}{2} \begin{pmatrix} x - x_K \\ y - y_K \end{pmatrix} + \gamma_K \operatorname{rot} b_K. \quad (3.102)$$

Ici, nous n'avons pas d'écriture de  $p_h$  locale à chaque rectangle  $K$ . Ceci est probablement dû au choix de l'espace de fonctions test  $X_{2,h}$  qui n'est pas totalement discontinu par maille. Nous savons par le Lemme 3.5.5 que le problème (3.70) admet une unique solution  $(u_h, p_h)$  de  $Q_{c,0}^1 \times RT^0$ . Nous venons de prouver que cette solution est elle même solution du problème couplé (3.72-3.73) qui admet une unique solution. C'est donc la solution du problème (3.70). D'où l'équivalence des deux problèmes. ■

**Lemme 3.5.9 (Une caractérisation de l'espace  $Q_c^1$ )**

Soit  $u_h$  tel que  $u_{h|K} \in Q^1(K)$  pour tout rectangle  $K$  du maillage. Alors,  $u_h \in Q_c^1$  si et seulement si  $u_h$  est continu au milieu des arêtes internes et  $\nabla u_h \cdot \tau$  est continu le long du chemin  $C$ . C'est-à-dire

$$Q_c^1 = \{u_h / u_{h|K} \in Q^1(K), \forall K \in \mathcal{T}_h, \int_a [u_h] d\sigma = 0, \forall a \in \mathcal{A}_i, \\ \nabla u_h \cdot \tau_a \text{ est continu le long du chemin } C\}$$

En particulier, sa dimension est  $\dim Q_c^1 = 4NE - NA_i - (NE - 1) = NP$ .

**Preuve :**

Notons

$$Q = \{u_h \in Q^1(K), \forall K \in \mathcal{T}_h, \int_a [u_h] d\sigma = 0, \forall a \in \mathcal{A}_i, \nabla u_h \cdot \tau_a \text{ est continu le long du chemin } C\}.$$

L'inclusion  $Q_c^1 \subseteq Q$  est évidente. Montrons donc l'inclusion  $Q \subseteq Q_c^1$ . Comme dans la preuve du Lemme 3.5.6, on se limite au domaine simple composé de quatre rectangles (Figure 3.12). On suppose que  $u_h$  est continu au milieu des quatre arêtes  $a_1, a_2, a_3$  et  $a_4$  et que  $\nabla u_h \cdot \tau_{a_i}$  est continu le long de l'arête  $a_i$ , pour  $i = 1, 2, 3$ . On déduit algébriquement de ces relations de continuités que  $\nabla u_h \cdot \tau_{a_4}$  est continu le long de l'arête  $a_4$ . D'autre part la continuité de  $u_h$  au milieu des arêtes internes et la continuité de  $\nabla u_h \cdot \tau_a$  au niveau des arêtes internes implique la continuité de  $u_h$  aux interfaces du maillage, c'est-à-dire, la continuité de  $u_h$  sur tout le domaine. On a donc  $Q \subseteq Q_c^1$ . Ce qui prouve le lemme. ■

**Lemme 3.5.10 (Lien entre les schémas boîte 1 et 2 :  $Q_{nc,0}^1 \times (RT^0 + \Phi)$  et  $Q_{c,0}^1 \times RT^0$ )**

La solution  $(u_h, p_h) \in Q_{nc,0}^1 \times (RT^0 + \Phi)$  du schéma boîte 1, (3.23) est donnée explicitement en fonction de la solution  $(\bar{u}_h, \bar{p}_h) \in Q_{c,0}^1 \times RT^0$  du schéma boîte 2, (3.70) par

$$u_h = \bar{u}_h + \sum_K \alpha_K b_K \quad \text{et} \quad p_h = \bar{p}_h + \sum_K \beta_K \operatorname{rot} b_K \quad (3.103)$$

où

$$\begin{aligned}\alpha_K &= \frac{3|K|}{4} \frac{1}{|e_x|^2 + |e_y|^2} (\bar{p}_h - \nabla \bar{u}_h, \nabla b_K)_{0,K} \\ \beta_K &= -\frac{3|K|}{4} \frac{1}{|e_x|^2 + |e_y|^2} (\bar{p}_h - \nabla \bar{u}_h, \text{rot } b_K)_{0,K}\end{aligned}$$

**Preuve :**

Soit  $(\bar{u}_h, \bar{p}_h) \in Q_{c,0}^1 \times RT^0$  la solution du schéma boîte 2, (3.70). On pose

$$u_h = \bar{u}_h + \sum_K \alpha_K b_K \quad \text{et} \quad p_h = \bar{p}_h + \sum_K \beta_K \text{rot } b_K \quad (3.104)$$

On cherche  $(\alpha_K, \beta_K)_{K \in \mathcal{T}_h}$  tel que  $(u_h, p_h) \in Q_{nc,0}^1 \times (RT^0 + \Phi)$  est solution du schéma boîte 1 (3.23).

- $p_h$  ainsi défini est tel que  $\text{div } p_h = \text{div } \bar{p}_h$ . Les équations (3.23)<sub>1</sub> et (3.70)<sub>1</sub> sont identiques. Donc  $p_h$  vérifie l'équation (3.23)<sub>1</sub>, sans contrainte sur les coefficients  $\alpha_K, \beta_K$ .
- A quelles conditions,  $(u_h, p_h)$  satisfait l'équation (3.23)<sub>2</sub>? C'est-à-dire

$$\sum_{K \in \mathcal{T}_h} (p_h - \nabla u_h, q_h)_{0,K} = 0, \quad \forall q_h \in (P^0)^2 + P^0(\nabla b_K) + P^0(\text{rot } b_K).$$

D'après l'équation (3.70)<sub>2</sub> et puisque la moyenne du gradient et du rotationnel de la bulle non-conforme  $b_K$  sont nuls sur chaque rectangle  $K$ , on a

$$\sum_{K \in \mathcal{T}_h} (p_h - \nabla u_h, q_h)_{0,K} = 0, \quad \forall q_h \in (P^0)^2.$$

En choisissant  $q_h = \nabla b_K$ , on obtient

$$(p_h - \nabla u_h, q_h)_{0,K} = (\bar{p}_h - \nabla \bar{u}_h, \nabla b_K)_{0,K} + (\beta_K \text{rot } b_K, \nabla b_K)_{0,K} - (\alpha_K \nabla b_K, \nabla b_K)_{0,K}.$$

Par définition de  $b_K$ , le produit scalaire  $(\text{rot } b_K, \nabla b_K)_{0,K}$  est nul. Donc  $\alpha_K$  s'exprime sur chaque rectangle  $K$  en fonction de  $\bar{u}_h|_K$  et  $\bar{p}_h|_K$  par

$$\alpha_K = \frac{3|K|}{4} \frac{1}{|e_x|^2 + |e_y|^2} (\bar{p}_h - \nabla \bar{u}_h, \nabla b_K)_{0,K}.$$

Ce qui détermine  $\alpha_K$  de façon unique sur  $K$ , puisque la solution  $(\bar{u}_h, \bar{p}_h)$  du schéma boîte (3.70) est unique.

De même, en prenant  $q_h = \text{rot } b_K$ , on obtient

$$(p_h - \nabla u_h, \text{rot } b_K)_{0,K} = (\bar{p}_h - \nabla \bar{u}_h, \text{rot } b_K)_{0,K} + (\beta_K \text{rot } b_K, \text{rot } b_K)_{0,K} - (\alpha_K \nabla b_K, \text{rot } b_K)_{0,K}$$

Or, nous avons vu que  $(\text{rot } b_K, \nabla b_K)_{0,K} = 0$ . Donc on peut exprimer le coefficient  $\beta_K$  de façon unique sur  $K$  en fonction de l'unique solution  $(\bar{u}_h, \bar{p}_h)$  du schéma boîte (3.70) par

$$\beta_K = -\frac{3|K|}{4} \frac{1}{|e_x|^2 + |e_y|^2} (\bar{p}_h - \nabla \bar{u}_h, \text{rot } b_K)_{0,K}.$$

Ce qui prouve que  $(u_h, p_h) \in Q_{nc,0}^1 \times (RT^0 + \Phi)$  est solution du schéma boîte (3.23), qui admet une unique solution. Donc  $(u_h, p_h) \in Q_{nc,0}^1 \times (RT^0 + \Phi)$  est la solution du schéma boîte (3.23).

Remarquons que puisque  $(\bar{u}_h, \bar{p}_h) \in Q_{c,0}^1 \times RT^0$  est la solution du schéma boîte (3.70), les coefficients  $\beta_K$  satisfont la relation suivante

$$\sum_K \beta_K \operatorname{sgn}(K) |\operatorname{rot} b_K|^2 = 0. \quad (3.105)$$

### 3.6 Schéma boîte 3 : $(u_h, p_h) \in Q_{\operatorname{rot}}^1 \times RT^0$

#### 3.6.1 L'espace $Q_{\operatorname{rot}}^1$

Rappelons la définition de l'espace  $Q_{\operatorname{rot}}^1$  introduit par Rannacher et Turek [38]. C'est un espace de type non-conforme, dont les éléments appartiennent localement à l'espace vectoriel noté  $Q_{\operatorname{rot}}^1(K)$  engendré par  $1, x, y, x^2 - y^2$ . Définissons les fonctions de base  $l_a$  indicées par les arêtes du maillage

$$l_a(v_h) = \frac{1}{|a|} \int_a v_h \, d\sigma.$$

Alors l'espace  $Q_{\operatorname{rot}}^1$  est défini à l'aide des fonctions  $l_a$  par

$$Q_{\operatorname{rot}}^1 = \left\{ v_h \in L^2(\Omega); v_h|_K \in Q_{\operatorname{rot}}^1(K), \forall K \in \mathcal{T}_h, l_a(v_h|_{K_1}) = l_a(v_h|_{K_2}), \forall a = \partial K_1 \cap \partial K_2 \right\}. \quad (3.106)$$

Sa restriction aux éléments nuls sur la frontière  $\Gamma$  est

$$Q_{\operatorname{rot},0}^1 = \left\{ v \in Q_{\operatorname{rot}}^1; l_a(v_h) = 0, \forall a \in \mathcal{A}_b \right\}. \quad (3.107)$$

**Lemme 3.6.1 (Fonctions de base de l'espace  $Q_{\operatorname{rot}}^1$ )**

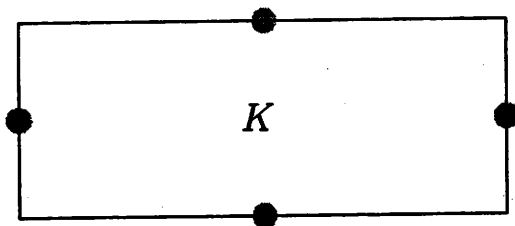
(i)  $Q_{\operatorname{rot}}^1$  est un espace de dimension  $NA_i$ , dont les degrés de liberté sont donnés par les fonctions  $(l_a)_{a \in \mathcal{A}_i}$ .

(ii) La base locale de  $Q_{\operatorname{rot}}^1$  sur l'élément de référence  $\hat{K}$  est  $(\hat{p}_i)_{1 \leq i \leq 4}$  :

$$\begin{aligned} \hat{p}_1(\hat{x}, \hat{y}) &= 0.75 + 1.5\hat{x} - 2.5\hat{y} - 1.5(\hat{x}^2 - \hat{y}^2) \\ \hat{p}_2(\hat{x}, \hat{y}) &= -0.25 - 0.5\hat{x} + 1.5\hat{y} + 1.5(\hat{x}^2 - \hat{y}^2) \\ \hat{p}_3(\hat{x}, \hat{y}) &= -0.25 + 1.5\hat{x} - 0.5\hat{y} - 1.5(\hat{x}^2 - \hat{y}^2) \\ \hat{p}_4(\hat{x}, \hat{y}) &= 0.75 - 2.5\hat{x} + 1.5\hat{y} + 1.5(\hat{x}^2 - \hat{y}^2) \end{aligned}$$

**Remarque :**

Dans le cas d'un domaine rectangulaire maillé par des rectangles, la géométrie du maillage est telle que le coefficient  $\alpha_K \in (0, \pi)$  qui mesure l'angle maximal entre les vecteur normaux de deux côtés opposés est  $\alpha_K = 0$ .


 FIG. 3.17 – Les degrés de liberté de  $Q_{\text{rot}}^1$  dans le rectangle  $K$ 
**Lemme 3.6.2 (Opérateur d'interpolation sur l'espace  $Q_{\text{rot}}^1$ )**

Soit  $i_h$  l'opérateur d'interpolation global introduit par Rannacher et Turek, [38] dont la restriction  $i_K$  à chaque rectangle  $K$  est définie par les degrés de liberté  $l_a$ . Dans le cas de maillages en rectangle, il existe une constante  $C$  indépendante de  $h$  telle que

$$|v - i_h v|_{0,\Omega} + h |v - i_h v|_{1,h} \leq C h^2 \|v\|_{2,\Omega} \quad (3.108)$$

**Lemme 3.6.3 (Propriété de l'espace  $Q_{\text{rot},0}^1$ )**

Par construction, l'espace  $Q_{\text{rot},0}^1$  satisfait les identités suivantes : pour tout  $v_h \in Q_{\text{rot},0}^1$ ,

$$\begin{aligned} (i) \quad \forall a \in \mathcal{A}_i, \quad \int_a [v_h] p \, d\sigma &= 0, \quad \forall p \in P^0(a), \\ (ii) \quad \forall a \in \mathcal{A}_b, \quad \int_a v_h p \, d\sigma &= 0, \quad \forall p \in P^0(a). \end{aligned} \quad (3.109)$$

**Lemme 3.6.4 (Lemme de Poincaré discret)**

Il existe une constante  $C > 0$  qui ne dépend que de  $\Omega$ , telle que

$$|u|_{0,\Omega} \leq C |u|_{1,h}, \quad \forall u \in H_0^1(\Omega) + Q_{\text{rot},0}^1. \quad (3.110)$$

**Preuve :**

Le lemme se démontre de manière analogue au lemme de Poincaré discret pour l'espace  $H_0^1(\Omega) + Q_{\text{nc},0}^1$  (Lemme 3.4.3).

$$|u|_{0,\Omega} = \sup_{g \in L^2(\Omega)} \frac{|(u, g)_{0,\Omega}|}{|u|_{0,\Omega}} \quad (3.111)$$

Soit  $g \in L^2$ ,  $\exists p \in H^1(\Omega)^2$  tel que  $\text{div } p = g$  et  $\|p\|_{1,\Omega} \leq C |g|_{0,\Omega}$ .

Soit  $u \in H_0^1(\Omega) + Q_{\text{rot},0}^1$ , en remplaçant  $g$  par sa valeur et en intégrant par parties, on a

$$(u, g)_{0,\Omega} = (u, \text{div } p)_{0,\Omega} = \underbrace{- \sum_K \int_K \nabla u \cdot p \, dx}_{(I)} + \underbrace{\sum_K \int_{\partial K} p \cdot \nu u \, d\sigma}_{(II)}. \quad (3.112)$$

Majorons les deux termes du second membre :

- L'inégalité de Cauchy-Schwarz donne

$$|(I)| = \left| \sum_K \int_K \nabla u \cdot p \, dx \right| \leq |u|_{1,h} |p|_{0,\Omega}.$$

•  $p \in (H^1(\Omega)^2) \cap H_{\text{div}}(\Omega)$ , donc sa composante normale est continue par arête et donc (II) est égal à

$$(II) = \sum_K \int_{\partial K} p \cdot \nu u \, d\sigma = \sum_{a \in \mathcal{A}_b} \int_a p \cdot \nu_a u \, d\sigma - \sum_{a \in \mathcal{A}_i} \int_a p \cdot \nu_a [u] \, d\sigma, \quad (3.113)$$

où  $[u]$  est le saut de  $u$  à travers l'arête  $a$ . Soit  $\overline{p \cdot \nu_a} = \frac{1}{|a|} \int_a p \cdot \nu_a \, d\sigma$  la moyenne de  $p \cdot \nu_a$  le long de l'arête  $a$ .  $u \in H_0^1(\Omega) + Q_{\text{rot},0}^1$  et l'espace  $H_0^1(\Omega) + Q_{\text{rot},0}^1$  satisfait la propriété (3.109) donc l'égalité (3.113) devient

$$\begin{aligned} (II) &= \sum_K \int_{\partial K} p \cdot \nu u \, d\sigma = \sum_{a \in \mathcal{A}_b} \int_a (p \cdot \nu_a - \overline{p \cdot \nu_a}) u \, d\sigma - \sum_{a \in \mathcal{A}_i} \int_a (p \cdot \nu_a - \overline{p \cdot \nu_a}) [u] \, d\sigma \\ &= \sum_K \sum_{e \in \partial K} \int_e (p \cdot \nu_e - \overline{p \cdot \nu_e}) u \, d\sigma \end{aligned}$$

Le Lemme 3.2.1 et les propriétés du maillage donnent l'estimation de l'intégrale de bord :

$$\left| \int_e (p \cdot \nu_e - \overline{p \cdot \nu_e}) u \, d\sigma \right| \leq C h_K |u|_{1,K} |p|_{1,K}$$

Ainsi,

$$|(II)| = \left| \sum_K \int_{\partial K} p \cdot \nu u \, d\sigma \right| \leq 4Ch |u|_{1,h} |p|_{1,\Omega}$$

Finalement, on obtient

$$|(u, g)_{0,\Omega}| \leq (4Ch + 1) |u|_{1,h} |p|_{1,\Omega} \leq (4Ch + 1) |u|_{1,h} \underbrace{\|p\|_{1,\Omega}}_{\leq C(\Omega) |g|_{0,\Omega}}$$

Nous en déduisons le résultat annoncé. ■

**Corollaire 3.6.1** *La semi-norme  $|\cdot|_{1,h}$  est une norme sur l'espace  $H_0^1(\Omega) + Q_{\text{rot},0}^1$ .*

### 3.6.2 Schéma boîte 3

Dans cette partie, nous proposons un troisième schéma boîte, associé au problème de Poisson mixte (3.2), pour lequel les inconnues sont toutes situées au niveau des arêtes. On conserve l'espace de Raviart-Thomas  $RT^0$  comme espace d'approximation pour le flux  $p$ . On cherche un espace d'éléments finis dont les degrés de liberté sont localisés au niveau des arêtes, pour approcher l'inconnue scalaire  $u$ . On choisit l'espace de Rannacher et Turek. Le choix  $M_{1,h} = Q_{\text{rot},0}^1$  et  $X_{1,h} = RT^0$  correspond à  $NA_i + NA = 4NE$  degrés de liberté. On choisit les espaces de test de façon à vérifier l'égalité (3.4) entre nombre d'inconnues et nombre d'équations. L'espace de test  $M_{2,h}$  est l'espace des polynômes constants totalement discontinus par rectangle, encore noté  $P^0$

$$M_{2,h} = \left\{ v_h \in L^2(\Omega) ; v_{h|K} \in P^0(K), \quad \forall K \in \mathcal{T}_h \right\} \quad (3.114)$$

et l'espace de test  $X_{2,h}$  est l'espace des polynômes constants de  $\mathbb{R}^2$  totalement discontinus, enrichi sur chaque rectangle par le rotationnel de la bulle non-conforme.

$$\begin{aligned} X_{2,h} &= \left\{ q_h \in (L^2(\Omega))^2 ; q_{h|K} \in (P^0(K))^2 + P^0 \operatorname{rot} b_K, \quad \forall K \in \mathcal{T}_h \right\} \quad (3.115) \\ &= (P^0(K))^2 + \Phi \end{aligned}$$

où  $\Phi$  est l'espace défini dans le Lemme 3.3.7 engendré par le rotationnel de la bulle non-conforme :

$$\Phi = \{ \phi \mid \phi|_K = \alpha_K \operatorname{rot} b_K, \quad \alpha_K \in \mathbb{R}, \quad \forall K \in \mathcal{T}_h \}.$$

En particulier, l'espace de test  $X_{2,h}$ , contient les gradients de  $u_h$  ;  $\nabla(M_{1,h}) \subseteq X_{2,h}$ .

### Définition 3.6.1 (Schéma boîte 3)

Soit le schéma boîte suivant : trouver  $(u_h, p_h) \in Q_{\operatorname{rot},0}^1 \times RT^0$  solution de

$$\begin{cases} \sum_{K \in \mathcal{T}_h} (\operatorname{div} p_h + f, v_h)_{0,K} = 0, \quad \forall v_h \in P^0 \\ \sum_{K \in \mathcal{T}_h} (p_h - \nabla u_h, q_h)_{0,K} = 0, \quad \forall q_h \in (P^0)^2 + \Phi. \end{cases} \quad (3.116)$$

### Lemme 3.6.5 (Egalité des dimensions)

D'après les relations d'Euler, l'égalité des dimensions entre les espaces d'inconnues et les espaces de test est vérifiée :

$$\dim Q_{\operatorname{rot},0}^1 + \dim RT^0 = \dim P^0 + \dim((P^0)^2 + \Phi).$$

**Lemme 3.6.6** Le problème discret (3.116) admet une unique solution  $(u_h, p_h) \in Q_{\operatorname{rot},0}^1 \times RT^0$ .

**Preuve :**

Puisque  $\dim X_{1,h} + \dim M_{1,h} = \dim X_{2,h} + \dim M_{2,h}$  et que (3.116) est un problème linéaire, il suffit de prouver que  $f = 0$  implique que  $u_h = 0$  et  $p_h = 0$ .  $\operatorname{div} p_h$  est constant par rectangle, donc l'équation (3.116)<sub>1</sub> implique que  $\operatorname{div} p_{h|K} = 0$ . D'autre part,  $p_{h|K} \in RT^0(K)$ , donc  $p_h$  devient un élément de  $X_{2,h}$ . Prenons  $q_h = p_h \in X_{2,h}$  dans l'équation (3.116)<sub>2</sub> ; en appliquant la formule de Green, on obtient

$$\begin{aligned} |p_h|_{0,\Omega}^2 &= \sum_K \int_K p_h \cdot \nabla u_h \, dx \\ &= - \sum_K \int_K \underbrace{\operatorname{div} p_h}_{=0} u_h \, dx + \sum_K \int_{\partial K} (p_h \cdot \nu) u_h \, d\sigma \\ &= \sum_{a \in A_b} \int_a p_h \cdot \nu_a u_h \, d\sigma - \sum_{a \in A_i} \int_a p_h \cdot \nu_a [u_h] \, d\sigma \end{aligned}$$

Puisque  $p_h \cdot \nu_a \in P^0(a)$  ( $p_h \in RT^0$ ) et que  $u_h \in Q_{\operatorname{rot},0}^1$ , par le Lemme 3.6.3, on a  $|p_h|_{0,\Omega}^2 = 0$ . Donc  $p_h$  est identiquement nul.

Pour prouver que  $u_h$  est nul, prenons  $q_h = \nabla u_h \in X_{2,h}$  dans l'équation (3.116)<sub>2</sub>. Puisque  $p_h$  est nul, on obtient  $\sum_K |\nabla u_h|_{0,K}^2 = 0$ . Donc  $u_h$  est constant par rectangle. Les propriétés de l'espace  $Q_{\text{rot},0}^1$  impliquent que  $u_h$  est identiquement nul. D'où l'existence et l'unicité de la solution du problème (3.116). ■

**Proposition 3.6.1** *La solution  $(u_h, p_h) \in Q_{\text{rot},0}^1 \times RT^0$  du schéma boîte (3.116) est telle que :*

(i)  $u_h \in Q_{\text{rot},0}^1$  est solution du problème variationnel

$$\sum_{K \in \mathcal{T}_h} (\nabla u_h, \nabla v_h)_{0,K} = \sum_{K \in \mathcal{T}_h} (\Pi^0 f|_K, v_h)_{0,K}, \quad \forall v_h \in Q_{\text{rot},0}^1 \quad (3.117)$$

(ii)  $p_h$  s'écrit localement sur chaque rectangle  $K$

$$p_h|_K = \nabla u_h|_K - \frac{\Pi^0 f|_K}{|e_x|^2 + |e_y|^2} \begin{pmatrix} |e_y|^2(x - x_K) \\ |e_x|^2(y - y_K) \end{pmatrix} \quad (3.118)$$

où  $(x_K, y_K)$  est le centre du rectangle  $K$  et  $e_x, e_y$  sont les dimensions de  $K$ .

La solution  $u_h \in Q_{\text{rot},0}^1$  du schéma boîte (3.116) est la solution du problème non-conforme standard de Rannacher-Turek pour un second membre constant par maille.

**Preuve :**

(i) Soit  $v_h \in Q_{\text{rot},0}^1$ , alors  $\nabla v_h \in X_{2,h}$ . En intégrant par parties, l'équation (3.116)<sub>2</sub> pour  $q_h = \nabla v_h$ , on obtient

$$\sum_K (\nabla u_h, \nabla v_h)_{0,K} = \sum_K (p_h, \nabla v_h)_{0,K} = - \sum_K \int_K \text{div } p_h v_h dx + \sum_K \int_{\partial K} (p_h \cdot \nu) v_h d\sigma \quad (3.119)$$

Puisque  $p_h \in RT^0$ ,  $\text{div } p_h \in P^0$ , et donc l'équation (3.116)<sub>1</sub> implique que pour tout rectangle  $K$

$$\text{div } p_h|_K = -(\Pi^0 f)|_K \quad (3.120)$$

Puisque la composante normale  $p_h \cdot \nu_a$  de  $p_h$  est continue le long de l'arête  $a$  et  $\text{div } p_h|_K = -(\Pi^0 f)|_K$ , l'identité (3.119) se réécrit

$$\sum_K (\nabla u_h, \nabla v_h)_{0,K} = \sum_K (\Pi^0 f, v_h)_{0,K} + \sum_{a \in A_b} \int_a p_h \cdot \nu_a v_h d\sigma - \sum_{a \in A_i} \int_a p_h \cdot \nu_a [v_h] d\sigma. \quad (3.121)$$

Or,  $p_h \in RT^0$ , donc  $p_h \cdot \nu_a \in P^0(a)$  et  $v_h \in Q_{\text{rot},0}^1$ . Donc les deux derniers termes du membre de droite sont nuls par le Lemme 3.6.3. Ce qui prouve le premier point.

(ii)  $p_h$  appartient à  $RT^0$ , donc d'après la relation (3.19), il s'écrit localement

$$p_h|_K = p_h(x_K, y_K) + \gamma \begin{pmatrix} x - x_K \\ y - y_K \end{pmatrix} + \delta \begin{pmatrix} x - x_K \\ -(y - y_K) \end{pmatrix} \quad (3.122)$$

Or,  $-\Pi^0 f = \operatorname{div} p_h|_K = 2\gamma$  d'après les équations (3.120) et (3.122). D'autre part, en choisissant  $q_h \in (P^0)^2$  dans l'équation (3.116)<sub>2</sub>, on obtient  $(\Pi^0 p_h)|_K = (\Pi^0 \nabla u_h)|_K$ . Donc, l'identité (3.122) est équivalente à

$$p_h|_K = (\Pi^0 \nabla u_h)|_K - \frac{\Pi^0 f|_K}{2} \begin{pmatrix} x - x_K \\ y - y_K \end{pmatrix} + \delta \begin{pmatrix} x - x_K \\ -(y - y_K) \end{pmatrix} \quad (3.123)$$

Localement, le gradient de  $u_h$  sur  $K$  est égal

$$\nabla u_h|_K = (\Pi^0 \nabla u_h)|_K + \eta \begin{pmatrix} x - x_K \\ -(y - y_K) \end{pmatrix} \quad (3.124)$$

pour un certain  $\eta \in \mathbb{R}$ . Donc, l'équation (3.123) se réécrit en fonction de  $\nabla u_h|_K$  :

$$p_h|_K = \nabla u_h|_K - \frac{\Pi^0 f|_K}{2} \begin{pmatrix} x - x_K \\ y - y_K \end{pmatrix} + (\delta - \eta) \begin{pmatrix} x - x_K \\ -(y - y_K) \end{pmatrix} \quad (3.125)$$

En posant  $\tilde{\eta} = \delta - \eta$ , nous obtenons :

$$p_h|_K - \nabla u_h|_K = -\frac{\Pi^0 f|_K}{2} \begin{pmatrix} x - x_K \\ y - y_K \end{pmatrix} + \tilde{\eta} \begin{pmatrix} x - x_K \\ -(y - y_K) \end{pmatrix} \quad (3.126)$$

Choisissons  $q_h = \begin{pmatrix} x - x_K \\ -(y - y_K) \end{pmatrix} \in X_{2,h}$  dans l'équation (3.116)<sub>2</sub>, on obtient en remplaçant  $p_h - \nabla u_h$  par sa valeur

$$\begin{aligned} 0 &= \sum_K (p_h - \nabla u_h, q_h)_{0,K} \\ &= \sum_K \left( -\frac{\Pi^0 f|_K}{2} \begin{pmatrix} x - x_K \\ y - y_K \end{pmatrix} + \tilde{\eta} \begin{pmatrix} x - x_K \\ -(y - y_K) \end{pmatrix}, \begin{pmatrix} x - x_K \\ -(y - y_K) \end{pmatrix} \right)_{0,K} \\ &= \sum_K \left( -\frac{\Pi^0 f|_K}{2} \int_K (x - x_K)^2 - (y - y_K)^2 + \tilde{\eta} \int_K (x - x_K)^2 + (y - y_K)^2 \right) \end{aligned}$$

D'après les relations (3.34), on a

$$\int_K (x - x_K)^2 - (y - y_K)^2 = \frac{|K|}{12} (|e_x|^2 - |e_y|^2) \quad \text{et} \quad \int_K (x - x_K)^2 + (y - y_K)^2 = \frac{|K|}{12} (|e_x|^2 + |e_y|^2).$$

Ce qui donne

$$\tilde{\eta} = \frac{\Pi^0 f|_K}{2} \frac{|e_x|^2 - |e_y|^2}{|e_x|^2 + |e_y|^2}. \quad (3.127)$$

D'où on déduit (ii). ■

### 3.6.3 Etude de la stabilité du schéma boîte 3

#### Proposition 3.6.2 (Stabilité)

La solution  $(u_h, p_h)$  du problème (3.116) satisfait l'estimation suivante :

$$\|u_h\|_{1,h} + \|p_h\|_{\text{div},h} \leq C|f|_{0,\Omega}$$

Preuve :

- Utilisons la formulation équivalente de la Proposition 3.6.1

$$|u_h|_{1,h}^2 = \sum_K (\nabla u_h, \nabla u_h)_{0,K} = \sum_K (\Pi^0 f|_K, u_h)_{0,K} \quad (3.128)$$

Or, par l'inégalité de Cauchy-Schwarz

$$|\sum_K (\Pi^0 f|_K, u_h)_{0,K}| \leq |f|_{0,\Omega} |u_h|_{0,\Omega}.$$

On en déduit l'estimation

$$|u_h|_{1,h}^2 \leq |f|_{0,\Omega} |u_h|_{0,\Omega}$$

L'inégalité de Poincaré (3.110) donne

$$|u_h|_{1,h} \leq C|f|_{0,\Omega} \quad (3.129)$$

Par définition de la norme  $\|\cdot\|_{1,h}$ , nous obtenons l'inégalité

$$\|u_h\|_{1,h} \leq C(\Omega)|f|_{0,\Omega} \quad (3.130)$$

- D'autre part l'écriture locale de  $p_h$  (3.118) et l'estimation (3.129) donne :

$$|p_h|_{0,h} \leq C|f|_{0,\Omega}$$

où  $C$  ne dépend que de  $\Omega$ .

D'autre part,  $\text{div } p_h|_K = -(\Pi^0 f)|_K$  (par l'équation (3.116)<sub>1</sub>) par conséquent,

$$\|p_h\|_{\text{div},h} \leq C|f|_{0,\Omega}. \quad (3.131)$$

En utilisant les résultats (3.130) et (3.131), nous concluons que

$$\|u_h\|_{1,h} + \|p_h\|_{\text{div},h} \leq C(\Omega)|f|_{0,\Omega}$$

■

#### Proposition 3.6.3 (Estimation d'erreur a priori)

Soit  $(u, p) \in H_0^1(\Omega) \times H_{\text{div}}(\Omega)$  la solution du problème continu (3.2) et  $(u_h, p_h) \in Q_{\text{rot},0}^1 \times RT^0$  la solution du schéma boîte (3.116). Si de plus  $f \in H^1(\Omega)$ , on a les estimations d'erreur a priori :

- (i)  $|u - u_h|_{1,h} \leq Ch|f|_{0,\Omega}$
- (ii)  $|u - u_h|_{0,\Omega} \leq Ch^2(|f|_{0,\Omega} + |f|_{1,\Omega})$
- (iii)  $|p - p_h|_{\text{div},\Omega} \leq Ch|f|_{1,\Omega}$
- (iv)  $|p - p_h|_{0,\Omega} \leq Ch|f|_{0,\Omega}$

**Preuve :**

La démonstration des estimations d'erreur *a priori* du schéma boîte 3, suit la démonstration des estimations d'erreur du schéma boîte 1.

(i) Soit  $a_h$  la forme bilinéaire définie sur l'espace  $H_0^1(\Omega) + Q_{\text{rot},0}^1$  par  $a_h(u, v) = \sum_K (\nabla u, \nabla v)_{0,K}$  pour des éléments  $u$  et  $v$  de  $H_0^1(\Omega) + Q_{\text{rot},0}^1$ . Nous montrons comme dans la Preuve de la Proposition 3.4.3 que

$$|u - u_h|_{1,h} \leq 2 \inf_{w_h \in Q_{\text{rot},0}^1} |u - w_h|_{1,h} + \sup_{w_h \in Q_{\text{rot},0}^1} \frac{|a_h(u_h - u, w_h)|}{|w_h|_{1,h}}$$

Puisque la forme bilinéaire  $a_h$  satisfait la Proposition 3.6.1, on a pour tout  $w_h \in Q_{\text{rot},0}^1$

$$a_h(u_h, w_h) = \sum_{K \in \mathcal{T}_h} (\nabla u_h, \nabla w_h)_{0,K} = \sum_{K \in \mathcal{T}_h} (\Pi^0 f|_K, w_h)_{0,K}.$$

D'autre part, l'espace  $Q_{\text{rot},0}^1$  satisfait le Lemme 3.6.3 qui est l'analogue du Lemme 3.3.5. Donc on a l'estimation de l'erreur de consistance (qui se démontre de la même façon que dans la Preuve de la Proposition 3.4.3) :

$$\sup_{w_h \in Q_{\text{rot},0}^1} \frac{|a_h(u_h - u, w_h)|}{|w_h|_{1,h}} \leq C h |f|_{0,\Omega}. \quad (3.132)$$

L'erreur d'approximation est majorée par

$$\inf_{w_h \in Q_{\text{rot},0}^1} |u - w_h|_{1,h} \leq |u - i_h u|_{1,h} \quad (3.133)$$

où  $i_h$  est l'opérateur d'interpolation sur l'espace  $Q_{\text{rot}}^1$  défini au Lemme 3.6.2. On a donc par le Lemme 3.6.2

$$\inf_{w_h \in Q_{\text{rot},0}^1} |u - w_h|_{1,h} \leq c h |u|_{2,\Omega}$$

Or,  $u$  satisfait  $\|u\|_{2,\Omega} \leq C |f|_{0,\Omega}$ . On conclut donc, que

$$|u - u_h|_{1,h} \leq C h |f|_{0,\Omega}$$

(ii) La démonstration de l'estimation d'erreur (ii) est identique à la démonstration de la Preuve de la Proposition 3.4.3. On utilise un argument de type Aubin-Nitsche et l'estimation (i).

(iii) D'après l'écriture locale de  $p_h$  (3.118) et la définition du flux  $p = \nabla u$ , on a

$$\begin{aligned} |p - p_h|_{0,\Omega} &= \left| \nabla u - \sum_K \left( \nabla u_h|_K - \frac{\Pi^0 f|_K}{|e_x|^2 + |e_y|^2} \begin{pmatrix} |e_y|^2(x - x_K) \\ |e_x|^2(y - y_K) \end{pmatrix} \right) \right|_{0,\Omega} \\ &\leq |\nabla u - \nabla u_h|_{0,\Omega} + \left[ \sum_K \int_K \left( \frac{\Pi^0 f|_K}{|e_x|^2 + |e_y|^2} \right)^2 (|e_y|^4(x - x_K)^2 + |e_x|^4(y - y_K)^2) \right]^{1/2} \\ &\leq |u - u_h|_{1,h} + \left[ \sum_K \frac{\Pi^0 f|_K^2}{|e_x|^2 + |e_y|^2} \frac{|K|}{12} |e_x|^2 |e_y|^2 \right]^{1/2} \end{aligned}$$

Or,  $\frac{2|e_x||e_y|}{|e_x|^2+|e_y|^2} \leq 1$  et  $|K| = |e_x||e_y|$ , donc

$$|p - p_h|_{0,\Omega} \leq |u - u_h|_{1,h} + Ch|f|_{0,\Omega}$$

ce qui démontre (iii).

(iv)  $|p - p_h|_{\text{div},h} = |\text{div } p - \text{div } p_h|_{0,\Omega}$ . Or,  $\text{div } p = -f$  d'après (3.2) et  $\text{div } p_h = -\Pi^0 f$  d'après (3.120), d'où on déduit le résultat annoncé. ■

**Remarque :** Ce schéma boîte a été étudié en parallèle par d'autres auteurs : S.-H. Chou, D.Y. Kwak et K.Y. Kim, [11].

### 3.6.4 Lien avec le schéma mixte de Raviart-Thomas

Nous allons établir le lien entre la solution  $(u_h, p_h) \in Q_{\text{rot},0}^1 \times RT^0$  du schéma boîte (3.116) et la solution  $(\tilde{u}_h, \tilde{p}_h) \in Q^0 \times RT^0$  de la méthode mixte standard de Raviart-Thomas de plus bas degré sur rectangles [39] (l'espace  $Q^0$  est égal à l'espace  $P^0$  des constantes). Rappelons la méthode mixte classique : chercher  $(\tilde{u}_h, \tilde{p}_h) \in P^0 \times RT^0$  solution de

$$\begin{cases} (\text{div } \tilde{p}_h + f, \tilde{v}_h)_{0,\Omega} = 0, \forall \tilde{v}_h \in P^0 \\ (\tilde{p}_h, \tilde{q}_h)_{0,\Omega} + (\tilde{u}_h, \text{div } \tilde{q}_h)_{0,\Omega} = 0, \forall \tilde{q}_h \in RT^0. \end{cases} \quad (3.134)$$

**Proposition 3.6.4** La solution  $(\tilde{u}_h, \tilde{p}_h) \in P^0 \times RT^0$  du problème mixte de Raviart-Thomas (3.134) est donnée en fonction de la solution  $(u_h, p_h) \in Q_{\text{rot},0}^1 \times RT^0$  du schéma boîte (3.116) par

$$\tilde{p}_h = p_h \quad \text{et} \quad \tilde{u}_h|_K = (\Pi^0 u_h)|_K + \frac{(\Pi^0 f)|_K}{24} \frac{|K|^2}{|e_x|^2 + |e_y|^2} \mathbb{1}_K. \quad (3.135)$$

**Preuve :**

Soit  $\tilde{q}_h \in RT^0$ . Calculons  $(p_h, \tilde{q}_h)_{0,\Omega}$  :

$$(p_h, \tilde{q}_h)_{0,\Omega} = (p_h - \nabla u_h, \tilde{q}_h)_{0,\Omega} + (\nabla u_h, \tilde{q}_h)_{0,\Omega} \quad (3.136)$$

$$= \underbrace{\sum_K (p_h - \nabla u_h, \tilde{q}_h - \frac{\text{div } \tilde{q}_h}{2} \begin{pmatrix} x - x_K \\ y - y_K \end{pmatrix})_{0,K}}_{(I)} \quad (3.137)$$

$$+ \sum_K (p_h - \nabla u_h, \frac{\text{div } \tilde{q}_h}{2} \begin{pmatrix} x - x_K \\ y - y_K \end{pmatrix})_{0,K} + (\nabla u_h, \tilde{q}_h)_{0,\Omega}$$

D'après la relation (3.19), les éléments de  $RT^0$  s'écrivent localement

$$\tilde{q}_h|_K = \Pi^0 \tilde{q}_h + \frac{\text{div } \tilde{q}_h}{2} \begin{pmatrix} x - x_K \\ y - y_K \end{pmatrix} + \tilde{\delta} \begin{pmatrix} x - x_K \\ -(y - y_K) \end{pmatrix} \quad (3.138)$$

Alors,  $\tilde{q}_h - \frac{\text{div } \tilde{q}_h}{2} \begin{pmatrix} x - x_K \\ y - y_K \end{pmatrix} \in X_{2,h}$ . Puisque  $(u_h, p_h)$  est la solution du schéma boîte (3.116), le terme (I) est nul. Alors,

$$(p_h, \tilde{q}_h)_{0,\Omega} = \sum_K (p_h - \nabla u_h, \frac{\text{div } \tilde{q}_h}{2} \begin{pmatrix} x - x_K \\ y - y_K \end{pmatrix})_{0,K} + (\nabla u_h, \tilde{q}_h)_{0,\Omega} \quad (3.139)$$

D'autre part, l'écriture locale de  $p_h$  donnée par (3.118) implique que

$$p_{h|K} - \nabla u_{h|K} = -\frac{\Pi^0 f|_K}{|e_x|^2 + |e_y|^2} \begin{pmatrix} |e_y|^2(x - x_K) \\ |e_x|^2(y - y_K) \end{pmatrix}$$

Le terme  $(p_h, \tilde{q}_h)_{0,\Omega}$  est égal à

$$(p_h, \tilde{q}_h)_{0,\Omega} = \sum_K \left( -\frac{\Pi^0 f|_K}{|e_x|^2 + |e_y|^2} \begin{pmatrix} |e_y|^2(x - x_K) \\ |e_x|^2(y - y_K) \end{pmatrix}, \frac{\operatorname{div} \tilde{q}_h}{2} \begin{pmatrix} x - x_K \\ y - y_K \end{pmatrix} \right)_{0,K} \quad (3.140) \\ + (\nabla u_h, \tilde{q}_h)_{0,\Omega}$$

On applique la formule de Green, qui donne en utilisant les propriétés des espaces  $Q_{\operatorname{rot},0}^1$  et  $RT^0$  (nous avons vu dans les démonstrations antérieures, que les termes de bord s'annulent)

$$(p_h, \tilde{q}_h)_{0,\Omega} = \sum_K \underbrace{\left( -\frac{\Pi^0 f|_K}{|e_x|^2 + |e_y|^2} \begin{pmatrix} |e_y|^2(x - x_K) \\ |e_x|^2(y - y_K) \end{pmatrix}, \frac{\operatorname{div} \tilde{q}_h}{2} \begin{pmatrix} x - x_K \\ y - y_K \end{pmatrix} \right)_{0,K}}_{(II)} \quad (3.141) \\ - (u_h, \operatorname{div} \tilde{q}_h)_{0,\Omega}$$

Le calcul de (II) donne

$$(II) = \left( \frac{\Pi^0 f|_K}{|e_x|^2 + |e_y|^2} \frac{|K|^2}{24}, \operatorname{div} \tilde{q}_h \right)_{0,K}$$

En injectant ce calcul dans (3.141), on obtient

$$(p_h, \tilde{q}_h)_{0,\Omega} = -\left( \frac{\Pi^0 f|_K}{|e_x|^2 + |e_y|^2} \frac{|K|^2}{24}, \operatorname{div} \tilde{q}_h \right)_{0,K} - (u_h, \operatorname{div} \tilde{q}_h)_{0,\Omega}$$

D'autre part,  $\operatorname{div} \tilde{q}_h \in P^0$ , donc  $(u_h, \operatorname{div} \tilde{q}_h)_{0,K} = (\Pi^0 u_h, \operatorname{div} \tilde{q}_h)_{0,K}$ . En regroupant tous les termes dans le membre de gauche, on obtient

$$(p_h, \tilde{q}_h)_{0,\Omega} + \left( \sum_K \left( \Pi^0 u_h + \frac{\Pi^0 f|_K}{|e_x|^2 + |e_y|^2} \frac{|K|^2}{24} \right) \mathbf{1}_K, \operatorname{div} \tilde{q}_h \right) = 0 \quad (3.142)$$

Soit  $\tilde{u}_{h|K} = \left( \Pi^0 u_h + \frac{\Pi^0 f}{24} \frac{|K|^2}{|e_x|^2 + |e_y|^2} \right) \mathbf{1}_K \in P^0$  et  $\tilde{p}_h = p_h \in RT^0$ , alors nous venons de prouver que  $(\tilde{u}_h, \tilde{p}_h)$  est solution du problème (3.134) de Raviart-Thomas, qui admet une unique solution. Donc  $(\tilde{u}_h, \tilde{p}_h) \in P^0 \times RT^0$  est la solution de la méthode mixte standard (3.134) de Raviart-Thomas. ■

## CHAPITRE 4

# Equation de convection-diffusion en une et deux dimensions d'espace

### 4.1 Introduction

L'étude des schémas boîte réalisée aux Chapitres 2 et 3 soulèvent de nouvelles interrogations. Existe-t'il des schémas boîte dans le cas d'équations plus complexes? Comment se comportent ces schémas? Nous avons étudié au Chapitre 1 les modes oscillants liés à l'équation de la chaleur, un phénomène analogue se produit-il pour l'équation de convection-diffusion? L'équation de convection-diffusion stationnaire en dimension 1 ayant déjà été étudiée par J-P. Croisille, [17, 18], nous nous intéressons, dans ce chapitre, à l'équation de convection-diffusion instationnaire. Bien que très classiques, ces équations demeurent le modèle de base, notamment pour les problèmes d'écoulements en milieu souterrain. Par exemple, la modélisation des déchets dans un milieu poreux constitué de couches géologiques, couple la loi de Darcy pour le calcul de la vitesse de l'écoulement, à un système d'équations de convection-diffusion pour le transport de polluant. Un exemple d'intérêt actuel est l'étude de la diffusion en milieu souterrain de concentrations de produits radioactifs dans le milieu externe à partir d'un "colis" de déchets.

1- La vitesse  $\vec{u}(x)$  de l'écoulement porteur est calculée dans un premier temps par une équation elliptique (Darcy) :

$$\begin{cases} \operatorname{div}(K(x) \nabla H) = 0, & x \in \Omega \\ \vec{u}(x) = K(x) \nabla H \\ \text{Conditions limites} \end{cases} \quad (4.1)$$

2- Les concentrations  $C_i(x, t)$  des différents polluants sont solutions d'une équation de la forme :

$$\begin{cases} R_i \omega \left( \frac{\partial C_i}{\partial t} + \lambda_i C_i \right) - \operatorname{div}(D_i \nabla C_i) + u \cdot \operatorname{grad} C_i = f_i, & \in \Omega \times (0, T) \\ C_i(x, 0) = 0, & x \in \Omega \\ \text{Conditions limites} \end{cases} \quad (4.2)$$

Dans les sections 4.2 et 4.3, nous rappelons le principe du schéma boîte 1d pour les équations de convection-diffusion stationnaire et instationnaire. Les inconnues  $u$  et  $p = u_x$

sont situées au niveau des noeuds du maillage. De plus, le schéma est paramétré par des décentrement en temps et espace pour chacune des inconnues  $u$  et  $p$ . Nous effectuons ensuite le lien entre le schéma boîte 1d pour l'équation de convection-diffusion instationnaire et les méthodes d'éléments finis à la Section 4.4 et de type différences finies à la Section 4.5. Nous proposons ensuite une extension du schéma boîte pour le problème de convection-diffusion en dimension 2 à l'aide d'une méthode de type splitting directionnel. Enfin, nous présentons quelques exemples numériques. Ces résultats sont présentés par ailleurs dans [20], [21].

## 4.2 L'équation de convection-diffusion stationnaire

Nous rappelons brièvement les deux schémas boîte introduits par J.-P. Croisille [17] pour le problème de convection-diffusion stationnaire en dimension 1. Ce schéma ne contient qu'un seul paramètre de décentrement  $D_p$ , pour la variable  $p$ . Une condition suffisante de non-oscillation du schéma est donnée sur  $D_p$  par le choix :

$$D_{p,j-1/2} = \frac{\text{sgn}(c)}{2} \max\left(0, 1 - \frac{1}{\text{Pe}_{j-1/2}}\right) \quad (4.3)$$

Nous renvoyons à [17] et [18] pour plus d'informations.

### 4.2.1 Principe du schéma boîte pour l'équation de convection-diffusion stationnaire 1d

On considère le problème de convection-diffusion stationnaire en dimension 1 pour un coefficient de convection  $c \in \mathbb{R}$  et un coefficient de diffusion  $\varepsilon > 0$

$$\begin{cases} c u_x - \varepsilon u_{xx} = f, & 0 < x < 1 \\ u(0) = u(1) = 0 \end{cases} \quad (4.4)$$

En introduisant la variable auxiliaire  $p = -\varepsilon u_x$ , on obtient la forme mixte

$$\begin{cases} c u_x + p_x = f, & 0 < x < 1 \\ p + \varepsilon u_x = 0, & 0 < x < 1 \\ u(0) = u(1) = 0 \end{cases} \quad (4.5)$$

On considère  $x_0 = 0 < x_1 < \dots < x_j < \dots < x_J = 1$  une discrétisation de  $[0, 1]$ . On approche les valeurs aux noeuds  $u(x_j)$  et  $p(x_j)$  respectivement par les inconnues  $u_j$  et  $p_j$  situées aux noeuds du maillage. La longueur de la boîte  $K_{j-1/2} = x_j - x_{j-1}$  est  $h_{j-1/2}$ . Rappelons les deux schémas boîte associées à ce problème [17].

Le schéma boîte d'ordre 2 :

$$\begin{cases} c(u_j - u_{j-1}) + (p_j - p_{j-1}) = h_{j-1/2} (\Pi^0 f)_{j-1/2} \\ \frac{1}{2} (p_j + p_{j-1}) - D_{p,j-1/2} (p_j - p_{j-1}) + \frac{\varepsilon}{h_{j-1/2}} (u_j - u_{j-1}) = 0 \\ u_0 = u_J = 0 \end{cases} \quad (4.6)$$

où le coefficient de décentrement est donné par la formule :

$$D_{p,j-1/2} = \frac{1}{2} \operatorname{sgn}(c) \max\left(0; 1 - \frac{1}{\operatorname{Pe}_{j-1/2}}\right).$$

Le schéma boîte d'ordre 4 valable pour  $\operatorname{Pe}_{j-1/2} \leq 1$  :

$$\begin{cases} c(u_j - u_{j-1}) + (p_j - p_{j-1}) = h_{j-1/2} (\Pi^0 f)_{j-1/2} \\ \left(\frac{1}{2} - \frac{1}{12} \frac{ch_{j-1/2}}{\varepsilon}\right) p_j + \left(\frac{1}{2} + \frac{1}{12} \frac{ch_{j-1/2}}{\varepsilon}\right) p_{j-1} + \frac{\varepsilon}{h_{j-1/2}} (u_j - u_{j-1}) = \frac{1}{12} h_{j-1/2}^2 (\Pi^0 f')_{j-1/2} \\ u_0 = u_J = 0 \end{cases} \quad (4.7)$$

On peut hybrider ces deux schémas boîte sous la forme suivante pour la formule de moyenne pour  $\bar{p}_{j-1/2}$  :

$$\bar{p}_{j-1/2} \simeq \frac{1}{2} (p_j + p_{j-1}) - B_{j-1/2} (p_j - p_{j-1}) - A_{j-1/2} h_{j-1/2} (p_{x,j} - p_{x,j-1}) \quad (4.8)$$

où  $A_{j-1/2}$  et  $B_{j-1/2}$  sont deux coefficients par boîte.

$$p_x = f - c u_x = f + \frac{c}{\varepsilon} p \quad (4.9)$$

Donc

$$\bar{p}_{j-1/2} \simeq \left(\frac{1}{2} - B_{j-1/2} - 2A_{j-1/2} \operatorname{Pe}_{j-1/2}\right) p_j + \left(\frac{1}{2} + B_{j-1/2} + 2A_{j-1/2} \operatorname{Pe}_{j-1/2}\right) p_{j-1} \quad (4.10)$$

Ce qui motive le choix du coefficient  $D_p$

$$D_{p,j-1/2} = 2A_{j-1/2} \operatorname{Pe}_{j-1/2} + B_{j-1/2} \quad (4.11)$$

Le choix des coefficients  $A_{j-1/2}$  et  $B_{j-1/2}$  est :

• Schéma d'ordre 2 :

$$\begin{cases} B_{j-1/2} = \frac{\operatorname{sgn}(c)}{2} \max\left(0; 1 - \frac{1}{\operatorname{Pe}_{j-1/2}}\right) \\ A_{j-1/2} = 0 \end{cases} \quad (4.12)$$

• Schéma d'ordre 4 :

$$\begin{cases} B_{j-1/2} = 0 \\ A_{j-1/2} = \frac{1}{12} \operatorname{sgn}(c_{j-1/2}) \end{cases} \quad (4.13)$$

On obtient la formulation unique du schéma boîte

$$\begin{cases} c(u_j - u_{j-1}) + (p_j - p_{j-1}) = h_{j-1/2} (\Pi^0 f)_{j-1/2} \\ \frac{1}{2} (p_j + p_{j-1}) - D_{p,j-1/2} (p_j - p_{j-1}) + \frac{\varepsilon}{h_{j-1/2}} (u_j - u_{j-1}) = A_{j-1/2} h_{j-1/2}^2 (\Pi^0 f')_{j-1/2} \\ u_0 = u_J = 0 \end{cases} \quad (4.14)$$

qui est d'ordre 2 si  $\operatorname{Pe}_{j-1/2} \geq 1$  et d'ordre 4 si  $\operatorname{Pe}_{j-1/2} < 1$ .

Les coefficients  $A_{j-1/2}$  et  $B_{j-1/2}$  sont donnés de façon unique par

$$\begin{cases} A_{j-1/2} = \frac{1}{12} \operatorname{sgn}(c_{j-1/2}) \mathbb{1}_{\operatorname{Pe}_{j-1/2} < 1} \\ B_{j-1/2} = \frac{1}{2} \operatorname{sgn}(c_{j-1/2}) \max\left(0; 1 - \frac{1}{\operatorname{Pe}_{j-1/2}}\right) \mathbb{1}_{\operatorname{Pe}_{j-1/2} \geq 1} \end{cases} \quad (4.15)$$

Les coefficients ne sont pas continus en fonction de  $\operatorname{Pe}_{j-1/2}$ . Nous renvoyons à [18] pour des résultats numériques.

## 4.3 L'équation de convection-diffusion 1d instationnaire

### 4.3.1 Introduction

Considérons le problème de convection-diffusion instationnaire en dimension 1 donné sur le domaine  $I = ]0, 1[$  par :

$$\begin{cases} u_t + cu_x - \varepsilon u_{xx} = f(x, t), & x \in I, t > 0 \\ u(x, 0) = u^0(x), & x \in [0, 1] \\ u(0, t) = 0, u(1, t) = 0, & t > 0 \end{cases} \quad (4.16)$$

où  $c \in \mathbb{R}$  est la vitesse et  $\varepsilon > 0$  est le coefficient de diffusion. La solution exacte du problème (4.16) est donnée par la formule de Duhamel

$$u(\cdot, t) = T(t) \cdot u_0 + \int_0^t T(t-s) \cdot f(\cdot, s) ds \quad (4.17)$$

où  $T(t) \cdot u_0 = v(\cdot, t)$  est la solution du problème de convection-diffusion homogène sur  $I = ]0, 1[$ . Un calcul en série de Fourier donne

$$v(x, t) = e^{\lambda x} \sum_{k \geq 1} c_k(u_0) \sin(\mu_k x) e^{-\varepsilon(\mu_k^2 + \lambda^2)t} \quad (4.18)$$

où les coefficients  $c_k(u_0)$ ,  $\lambda$ ,  $\mu_k$  sont

$$c_k(u_0) = 2 \int_0^1 u_0(x) e^{\lambda x} \sin(\mu_k x) dx, \quad \lambda = \frac{c}{2\varepsilon}, \quad \mu_k = k\pi, \quad k \geq 1 \quad (4.19)$$

On en déduit que le problème (4.16) est bien posé, par exemple dans  $C^0([0, T_0[, L^2(]0, 1[)) \cap C^\infty(]0, 1[ \times ]0, T_0[)$  de condition initiale  $u^0 \in L^2(]0, 1[)$  et de terme source  $f \in C^0([0, T_0[, L^2(]0, 1[))$  et  $T_0 > 0$ .

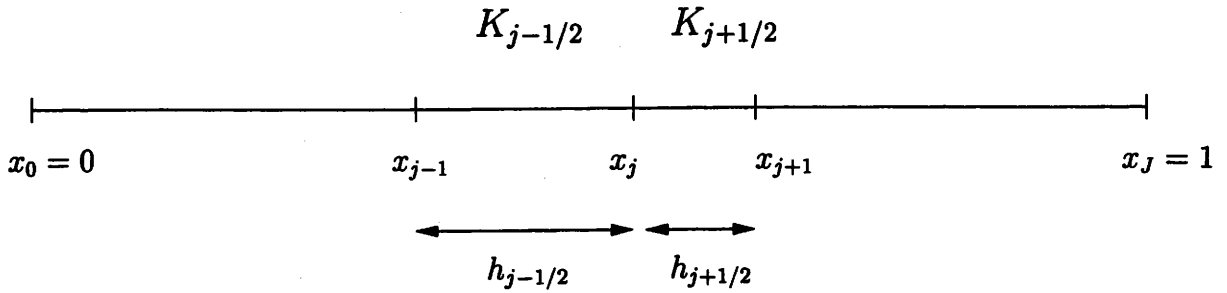
#### Notations :

Considérons un maillage quelconque du segment  $[0, 1]$  en  $J$  intervalles ( $J$  est un entier,  $J \geq 2$ ). Notons  $x_0 = 0 < x_1 < \dots < x_j < \dots < x_J = 1$  les coordonnées des noeuds du maillage, représentées sur la Figure 4.1. La boîte  $K_{j-1/2}$  est le segment  $]x_{j-1}, x_j[$  de longueur  $h_{j-1/2} = x_j - x_{j-1}$ .

### 4.3.2 Le schéma boîte semi-discret

Considérons la forme mixte de l'équation de convection-diffusion dans laquelle on introduit le flux de diffusion  $p = -\varepsilon u_x$  comme inconnue auxiliaire :

$$\begin{cases} u_t + cu_x + p_x = f(x, t), & x \in I, t > 0 \\ p = -\varepsilon u_x, & x \in I, t > 0 \\ u(x, 0) = u^0(x), & x \in I \\ p(x, 0) = -\varepsilon \frac{d}{dx} u^0(x) = p^0(x), & x \in I \\ u(0, t) = u(1, t) = 0, & t > 0 \end{cases} \quad (4.20)$$

FIG. 4.1 - Maillage du segment  $[0, 1]$ 

Noter que nous n'avons pas d'équation d'évolution sur  $p$ , mais simplement la relation  $p(x, t) = -\varepsilon u_x(x, t)$  à tout instant. En particulier, à l'instant initial,  $p(x, 0) = -\varepsilon \frac{d}{dx} u^0(x)$ . Soit  $\Pi^0$  la projection orthogonale sur les fonctions constantes par maille, donnée pour toute fonction  $g$  par :

$$(\Pi^0 g)_{j-1/2} = \frac{1}{h_{j-1/2}} \int_{K_{j-1/2}} g(x) dx.$$

En intégrant les équations (4.20)<sub>1</sub> et (4.20)<sub>2</sub> sur chaque boîte  $K_{j-1/2}$ ,  $1 \leq j \leq J$ , nous obtenons les relations semi-discrètes en espace vérifiées par la solution exacte  $(u, p)$  de (4.20) :

$$\begin{cases} h_{j-1/2} \frac{d}{dt} (\Pi^0 u(t))_{j-1/2} + c [u(x_j, t) - u(x_{j-1}, t)] \\ \quad + [p(x_j, t) - p(x_{j-1}, t)] = h_{j-1/2} (\Pi^0 f(t))_{j-1/2}, & 1 \leq j \leq J, t > 0 \\ h_{j-1/2} (\Pi^0 p)_{j-1/2}(t) = -\varepsilon [u(x_j, t) - u(x_{j-1}, t)], & 1 \leq j \leq J, t > 0 \\ u(x_j, 0) = u^0(x_j), & 0 \leq j \leq J \\ p(x_j, 0) = p^0(x_j), & 0 \leq j \leq J \\ u(x_0, t) = u(x_J, t) = 0, & t > 0 \end{cases} \quad (4.21)$$

On approche les inconnues  $u(x_j, t)$ ,  $p(x_j, t)$  par les fonctions semi-discrètes  $u_j(t)$ ,  $p_j(t)$ . Considérons les fonctions  $u_h(\cdot, t) \in P_{c,0}^1$ ,  $p_h(\cdot, t) \in P_c^1$ , où  $P_{c,0}^1$  et  $P_c^1$  sont les espaces d'éléments finis  $P^1$ -Lagrange usuels monodimensionnels, définies par

$$u_h(x, t) = \sum_{j=0}^J u_j(t) \varphi_j(x) \quad \text{et} \quad p_h(x, t) = \sum_{j=0}^J p_j(t) \varphi_j(x) \quad (4.22)$$

où  $\varphi_j(x)$  est la fonction chapeau  $P^1$ -Lagrange associée au sommet  $j$ . Alors le problème semi-discret (4.21) équivaut à : chercher  $(u_h(\cdot, t), p_h(\cdot, t)) \in P_{c,0}^1 \times P_c^1$  tel que

$$\begin{cases} \left( \frac{d}{dt} [\Pi^0 u_h(\cdot, t)]; v_h \right) + (c u_{h,x}(\cdot, t); v_h) + (p_{h,x}; v_h) = (f(\cdot, t); v_h), & \forall v_h \in P^0 \\ (\Pi^0 p_h(\cdot, t); q_h) + \varepsilon (u_{h,x}(\cdot, t); q_h) = 0, & \forall q_h \in P^0 \end{cases} \quad (4.23)$$

Supposons que  $\bar{u}_{j-1/2}$  soit une approximation de  $(\Pi^0 u)_{j-1/2}$ ,  $\bar{p}_{j-1/2}$  une approximation de  $(\Pi^0 p)_{j-1/2}$  et  $\bar{f}_{j-1/2}$  une approximation de la moyenne de  $f$ ,  $(\Pi^0 f)_{j-1/2}$ . Alors, en remplaçant  $(\Pi^0 u(t))_{j-1/2}$  par  $\bar{u}_{j-1/2}(t)$ ,  $(\Pi^0 p(t))_{j-1/2}$  par  $\bar{p}_{j-1/2}$  et  $(\Pi^0 f)_{j-1/2}$  par  $\bar{f}_{j-1/2}$  dans (4.21), on

obtient le schéma semi-discrétisé en espace, continu en temps :

$$\left\{ \begin{array}{l} \frac{d}{dt} \bar{u}_{j-1/2}(t) + c \frac{u_j(t) - u_{j-1}(t)}{h_{j-1/2}} + \frac{p_j(t) - p_{j-1}(t)}{h_{j-1/2}} = \bar{f}_{j-1/2}(t), \quad 1 \leq j \leq J, t > 0 \\ \bar{p}_{j-1/2}(t) = -\varepsilon \frac{u_j(t) - u_{j-1}(t)}{h_{j-1/2}}, \quad 1 \leq j \leq J, t > 0 \\ u(x_j, 0) = u^0(x_j), \quad 0 \leq j \leq J \\ p(x_j, 0) = p^0(x_j), \quad 0 \leq j \leq J \\ u_0(t) = u_J(t) = 0, \quad t > 0 \end{array} \right. \quad (4.24)$$

Le design du schéma boîte semi-discret consiste donc à exprimer les moyennes  $\bar{u}_{j-1/2}(t)$  et  $\bar{p}_{j-1/2}(t)$  en fonction des inconnues d'interface  $u_j(t)$ ,  $u_{j-1}(t)$  et  $p_j(t)$ ,  $p_{j-1}(t)$ , de sorte que (4.24) définisse effectivement une équation d'évolution en  $u_j(t)$  et que  $p_j(t)$  se déduise de  $u_j(t)$ . Pour  $\bar{p}_{j-1/2}(t)$ , on adopte une formule du type :

$$\bar{p}_{j-1/2}(t) = \frac{1}{2} (p_j(t) + p_{j-1}(t)) - D_{p,j-1/2}(t) (p_j(t) - p_{j-1}(t)) \quad (4.25)$$

où  $D_{p,j-1/2}(t)$  est un coefficient de décentrement, constant par maille, à préciser. Rappelons que (4.25) est un coefficient de décentrement "stationnaire", indispensable pour assurer la non-oscillation de la solution approchée de

$$\left\{ \begin{array}{l} c u_x - \varepsilon u_{xx} = f(x) \\ u(0) = u(1) = 0 \end{array} \right. \quad (4.26)$$

Ce résultat est démontré dans [17, 18] et rappelé au Paragraphe 4.2. Un choix du coefficient de décentrement  $D_p$ , qui assure la monotonie de  $(u_j)_j$  est

$$D_{p,j-1/2} = \frac{\text{sgn}(c)}{2} \max(0, 1 - \frac{1}{\text{Pe}_{j-1/2}}) \quad (4.27)$$

où le nombre de Peclet par maille est  $\text{Pe}_{j-1/2} = \frac{|c|h_{j-1/2}}{2\varepsilon}$ . Dans la suite on supposera que  $D_{p,j-1/2}$  est indépendant du temps, donné par (4.27). On introduit à présent un second paramètre de décentrement  $D_{u,j-1/2}(t)$ , [12], dans chaque boîte  $K_{j-1/2}$ , tel que

$$\bar{u}_{j-1/2}(t) = \frac{1}{2} (u_j(t) + u_{j-1}(t)) + D_{u,j-1/2}(t) (u_j(t) - u_{j-1}(t)). \quad (4.28)$$

Noter qu'à l'état stationnaire,  $\frac{d}{dt} \bar{u}_{j-1/2} = 0$ , donc le coefficient  $D_{u,j-1/2}$  ne joue plus de rôle, la précision du schéma ne dépend plus alors que de  $D_{p,j-1/2}$ . On s'attend à ce que le décentrement en  $u$  soit colinéaire à la vitesse  $c$  du déplacement ; c'est-à-dire  $c D_{u,j-1/2} \geq 0$  dans chaque boîte  $K_{j-1/2}$ . En remplaçant  $\bar{u}_{j-1/2}(t)$  et  $\bar{p}_{j-1/2}(t)$  par leurs valeurs (4.28) et (4.25) dans l'équation (4.24), on obtient la semi-discrétisation spatiale pour  $t > 0$  et  $1 \leq j \leq J$  :

$$\left\{ \begin{array}{l} \frac{d}{dt} \left\{ \left( \frac{1}{2} + D_{u,j-1/2}(t) \right) u_j(t) \right\} + \frac{d}{dt} \left\{ \left( \frac{1}{2} - D_{u,j-1/2}(t) \right) u_{j-1}(t) \right\} \\ \quad + c \frac{u_j(t) - u_{j-1}(t)}{h_{j-1/2}} + \frac{p_j(t) - p_{j-1}(t)}{h_{j-1/2}} = \bar{f}_{j-1/2}(t), \quad 1 \leq j \leq J \\ \left( \frac{1}{2} - D_{p,j-1/2}(t) \right) p_j(t) + \left( \frac{1}{2} + D_{p,j-1/2}(t) \right) p_{j-1}(t) + \varepsilon \frac{u_j(t) - u_{j-1}(t)}{h_{j-1/2}} = 0, \quad 1 \leq j \leq J \\ u(x_j, 0) = u^0(x_j), \quad 0 \leq j \leq J \\ p(x_j, 0) = p^0(x_j), \quad 0 \leq j \leq J \\ u_0(t) = u_J(t) = 0, \quad t > 0 \end{array} \right. \quad (4.29)$$

Dans toute la suite, les coefficients de décentrement  $D_{u,j-1/2}$  et  $D_{p,j-1/2}$  seront choisis constants par maille et indépendants du temps.

**Lemme 4.3.1** *Le problème semi-discret (4.29) admet une unique solution  $(u_j(t), p_j(t)) \in C^1([0, \infty[; \mathbb{R}^{2(J+1)})$ , sous les conditions suffisantes  $D_{u,j-1/2} D_{p,j-1/2} \geq 0$  sur chaque boîte  $K_{j-1/2}$ .*

**Preuve :**

Pour démontrer ce résultat, on se limite au cas de maillages équidistants ( $h > 0$  est fixé), où  $D_{p,j-1/2} = D_p$  et  $D_{u,j-1/2} = D_u$  sont constants sur le maillage. Après élimination du flux  $p_j(t)$  dans la première équation de (4.29) et de  $p_{j-1}(t)$  dans la deuxième équation de (4.29), on obtient  $p_{j-1}(t)$  en fonction de  $u_j(t)$ ,  $u_{j-1}(t)$  pour la première équation et  $p_j(t)$  en fonction de  $u_j(t)$ ,  $u_{j-1}(t)$  pour la deuxième équation. En considérant la maille  $K_{j+1/2}$  pour la première équation,  $p_j$  est donné en fonction de  $u_{j+1}(t)$  et  $u_j(t)$ . On peut donc identifier la valeur de  $p_j(t)$  à l'interface des mailles  $K_{j-1/2}$  et  $K_{j+1/2}$ . On obtient alors le système différentiel ordinaire linéaire en  $(u_j(t))$  uniquement :

$$\begin{cases} \left( \frac{1}{2} - D_p \right) \left( \frac{1}{2} + D_u \right) \frac{d}{dt} u_{j+1}(t) + \left( \frac{1}{2} + 2D_p D_u \right) \frac{d}{dt} u_j(t) + \left( \frac{1}{2} + D_p \right) \left( \frac{1}{2} - D_u \right) \frac{d}{dt} u_{j-1}(t) \\ = \left( -\left( \frac{1}{2} - D_p \right) \frac{c}{h} + \frac{c}{h^2} \right) u_{j+1}(t) - 2 \left( \frac{c}{h} D_p + \frac{c}{h^2} \right) u_j(t) + \left( \left( \frac{1}{2} + D_p \right) \frac{c}{h} + \frac{c}{h^2} \right) u_{j-1}(t) \\ + \left( \frac{1}{2} - D_p \right) \bar{f}_{j+1/2}(t) + \left( \frac{1}{2} + D_p \right) \bar{f}_{j-1/2}(t), & 1 \leq j \leq J-1 \\ u(x_j, 0) = u^0(x_j), & 0 \leq j \leq J \\ u_0(t) = u_J(t) = 0, & t > 0 \end{cases} \quad (4.30)$$

Le problème semi-discret en  $u = (u_j(t))$  s'écrit donc

$$A \dot{u}(t) = B u(t) + F(t). \quad (4.31)$$

**Rappel :** Lemme de Gershgorin, [27]

Les valeurs propres d'une matrice  $A$  sont telles que  $Sp(A) \subseteq \bigcup_{i \in I} D(a_{ii}, r_i)$  où  $D$  est le disque fermé de centre  $a_{ii}$  et de rayon  $r_i = \sum_{j \neq i, j \in I} |a_{ij}|$  et  $I$  est l'ensemble des indices matriciels.

Sous la condition  $D_{u,j-1/2} D_{p,j-1/2} > 0$ , on vérifie à l'aide du théorème de Gershgorin que les valeurs propres de la matrice  $A$  sont non nulles, c'est-à-dire que  $A$  est inversible. En effet, si  $D_{u,j-1/2} D_{p,j-1/2} > 0$ , alors l'inégalité

$$\left| \left( \frac{1}{2} - D_p \right) \left( \frac{1}{2} + D_u \right) \right| + \left| \left( \frac{1}{2} + D_p \right) \left( \frac{1}{2} - D_u \right) \right| \leq \left| \left( \frac{1}{2} + 2D_p D_u \right) \right|$$

est toujours vérifiée. Si  $D_{u,j-1/2} D_{p,j-1/2} = 0$ , on prouve par le calcul du déterminant de la matrice  $A$  que  $A$  est inversible. Il existe donc un unique  $u(t)$  solution de (4.31). On reconstruit le flux  $p(t)$  en fonction de  $u(t)$  par l'intermédiaire des équations précédentes. ■

### 4.3.3 Intégration en temps par un $\vartheta$ -schéma

Il reste à définir à présent le schéma en temps. On se limite dans la suite à un  $\vartheta$ -schéma, avec  $\vartheta$  constant et des coefficients de décentrement  $D_{u,j-1/2}$  et  $D_{p,j-1/2}$  indépendants du temps, constants par maille. En posant  $\delta^n v_j = \frac{v_j^{n+1} - v_j^n}{k}$ , la discrétisation de l'équation (4.29)<sub>1</sub> est sous forme incrémentale

$$\begin{aligned} & \left\{ h_{j-1/2} \left( \frac{1}{2} + D_{u,j-1/2} \right) \right\} \delta^n u_j + \left\{ h_{j-1/2} \left( \frac{1}{2} - D_{u,j-1/2} \right) \right\} \delta^n u_{j-1} \\ & + (1 - \vartheta) c (u_j^n - u_{j-1}^n) + \vartheta c (u_j^{n+1} - u_{j-1}^{n+1}) + (1 - \vartheta) (p_j^n - p_{j-1}^n) + \vartheta (p_j^{n+1} - p_{j-1}^{n+1}) \\ & = h_{j-1/2} \left( (1 - \vartheta) \bar{f}_{j-1/2}^n + \vartheta \bar{f}_{j-1/2}^{n+1} \right). \end{aligned} \quad (4.32)$$

L'équation (4.29)<sub>2</sub> est valable pour tout  $t$ , elle est donc vérifiée à l'instant  $t^n$  et à l'instant  $t^{n+1}$ . En particulier, la solution exacte  $p$  au point  $x_j$  satisfait le système suivant en  $\delta^n p_j$  et  $p_j^n$

$$\begin{cases} \left( \frac{1}{2} - D_{p,j-1/2} \right) \delta^n p_j + \left( \frac{1}{2} + D_{p,j-1/2} \right) \delta^n p_{j-1} + \varepsilon \frac{\delta^n u_j - \delta^n u_{j-1}}{h_{j-1/2}} = 0 \\ \left( \frac{1}{2} - D_{p,j-1/2} \right) p_j^n + \left( \frac{1}{2} + D_{p,j-1/2} \right) p_{j-1}^n + \varepsilon \frac{u_j^n - u_{j-1}^n}{h_{j-1/2}} = 0. \end{cases} \quad (4.33)$$

Les conditions initiales et les conditions limite sont discrétisées de façon naturelle par

$$\begin{cases} u_j^0 = u^0(x_j), & 0 \leq j \leq J \\ p_j^0 = p^0(x_j), & 0 \leq j \leq J \\ u_0^n = u_j^n = 0, & 1 \leq n. \end{cases} \quad (4.34)$$

**Définition 4.3.1** (Schéma boîte pour l'équation de convection-diffusion instationnaire 1d)

Soit le schéma boîte associé au problème de convection-diffusion (4.20) : pour tout  $n \geq 0$ , chercher  $(u^n = (u_j^n), p^n = (p_j^n)) \in \mathbb{R}^{J+1} \times \mathbb{R}^{J+1}$  solution du système pour tout  $0 \leq j \leq J$ ,

$$\begin{cases} (i) & \left( \frac{1}{2} + D_{u,j-1/2} \right) \delta^n u_j + \left( \frac{1}{2} - D_{u,j-1/2} \right) \delta^n u_{j-1} + k \vartheta c (\delta^n u_j - \delta^n u_{j-1}) + c (u_j^n - u_{j-1}^n) \\ & + k \vartheta (\delta^n p_j - \delta^n p_{j-1}) + p_j^n - p_{j-1}^n = h_{j-1/2} \left( (1 - \vartheta) \bar{f}_{j-1/2}^n + \vartheta \bar{f}_{j-1/2}^{n+1} \right), & 1 \leq j \leq J \\ (ii) & \left( \frac{1}{2} - D_{p,j-1/2} \right) \delta^n p_j + \left( \frac{1}{2} + D_{p,j-1/2} \right) \delta^n p_{j-1} + \varepsilon \frac{\delta^n u_j - \delta^n u_{j-1}}{h_{j-1/2}} = 0, & 1 \leq j \leq J \\ (iii) & \left( \frac{1}{2} - D_{p,j-1/2} \right) p_j^n + \left( \frac{1}{2} + D_{p,j-1/2} \right) p_{j-1}^n + \frac{\varepsilon}{h_{j-1/2}} (u_j^n - u_{j-1}^n) = 0, & 1 \leq j \leq J, n \geq 1 \\ (iv) & u_j^0 = u^0(x_j), & 0 \leq j \leq J \\ (v) & p_j^0 = p^0(x_j), & 0 \leq j \leq J \\ (vi) & u_0^n = u_j^n = 0, & 1 \leq n \end{cases} \quad (4.35)$$

Considérons le système d'équations (4.35(i)-4.35(ii)). En éliminant  $\delta^n p_j$  dans l'équation (4.35(i)) et  $\delta^n p_{j-1}$  dans (4.35(ii)), on obtient le système : pour tout  $1 \leq j \leq J$  et  $0 \leq n$

$$\left\{ \begin{array}{l} \text{(i)} \quad h_{j-1/2} \left( \frac{1}{2} - D_{p,j-1/2} \right) \left( \frac{1}{2} + D_{u,j-1/2} \right) \delta^n u_j \\ \quad + h_{j-1/2} \left( \frac{1}{2} - D_{p,j-1/2} \right) \left( \frac{1}{2} - D_{u,j-1/2} \right) \delta^n u_{j-1} \\ \quad + k \vartheta (\delta^n u_j - \delta^n u_{j-1}) \left( c \left( \frac{1}{2} - D_{p,j-1/2} \right) - \frac{\varepsilon}{h_{j-1/2}} \right) - k \vartheta \delta^n p_{j-1} \\ \quad = \left( \frac{1}{2} - D_{p,j-1/2} \right) \left( -c(u_j^n - u_{j-1}^n) - (p_j^n - p_{j-1}^n) + h_{j-1/2} \left( (1 - \vartheta) \bar{f}_{j-1/2}^n + \vartheta \bar{f}_{j-1/2}^{n+1} \right) \right) \\ \\ \text{(ii)} \quad h_{j-1/2} \left( \frac{1}{2} + D_{p,j-1/2} \right) \left( \frac{1}{2} + D_{u,j-1/2} \right) \delta^n u_j \\ \quad + h_{j-1/2} \left( \frac{1}{2} + D_{p,j-1/2} \right) \left( \frac{1}{2} - D_{u,j-1/2} \right) \delta^n u_{j-1} \\ \quad + k \vartheta (\delta^n u_j - \delta^n u_{j-1}) \left( c \left( \frac{1}{2} + D_{p,j-1/2} \right) + \frac{\varepsilon}{h_{j-1/2}} \right) + k \vartheta \delta^n p_j \\ \quad = \left( \frac{1}{2} + D_{p,j-1/2} \right) \left( -c(u_j^n - u_{j-1}^n) - (p_j^n - p_{j-1}^n) + h_{j-1/2} \left( (1 - \vartheta) \bar{f}_{j-1/2}^n + \vartheta \bar{f}_{j-1/2}^{n+1} \right) \right) \end{array} \right. \quad (4.36)$$

Ces relations sont vraies pour tout  $1 \leq j \leq J$ , par élimination de  $\delta^n p_j$  à l'interface des boîtes  $K_{j-1/2}$  et  $K_{j+1/2}$ , on obtient le système tridiagonal en  $\delta^n u_j$

$$\begin{aligned} & \left[ h_{j+1/2} \left( \frac{1}{2} - D_{p,j+1/2} \right) \left( \frac{1}{2} + D_{u,j+1/2} \right) + k \vartheta \left( c \left( \frac{1}{2} - D_{p,j+1/2} \right) - \frac{\varepsilon}{h_{j+1/2}} \right) \right] \delta^n u_{j+1} \\ & + \left[ h_{j+1/2} \left( \frac{1}{2} - D_{p,j+1/2} \right) \left( \frac{1}{2} - D_{u,j+1/2} \right) - k \vartheta \left( c \left( \frac{1}{2} - D_{p,j+1/2} \right) - \frac{\varepsilon}{h_{j+1/2}} \right) \right. \\ & \quad \left. + h_{j-1/2} \left( \frac{1}{2} + D_{p,j-1/2} \right) \left( \frac{1}{2} + D_{u,j-1/2} \right) + k \vartheta \left( c \left( \frac{1}{2} + D_{p,j-1/2} \right) + \frac{\varepsilon}{h_{j-1/2}} \right) \right] \delta^n u_j \\ & + \left[ h_{j-1/2} \left( \frac{1}{2} + D_{p,j-1/2} \right) \left( \frac{1}{2} - D_{u,j-1/2} \right) - k \vartheta \left( c \left( \frac{1}{2} + D_{p,j-1/2} \right) + \frac{\varepsilon}{h_{j-1/2}} \right) \right] \delta^n u_{j-1} \\ & = \left( \frac{1}{2} - D_{p,j+1/2} \right) \left( -c(u_{j+1}^n - u_j^n) - (p_{j+1}^n - p_j^n) \right) \\ & + \left( \frac{1}{2} + D_{p,j-1/2} \right) \left( -c(u_j^n - u_{j-1}^n) - (p_j^n - p_{j-1}^n) \right) \\ & + h_{j+1/2} \left( \frac{1}{2} - D_{p,j+1/2} \right) \left( (1 - \vartheta) \bar{f}_{j+1/2}^n + \vartheta \bar{f}_{j+1/2}^{n+1} \right) \\ & + h_{j-1/2} \left( \frac{1}{2} + D_{p,j-1/2} \right) \left( (1 - \vartheta) \bar{f}_{j-1/2}^n + \vartheta \bar{f}_{j-1/2}^{n+1} \right) \end{aligned} \quad (4.37)$$

D'autre part, l'équation (4.35(iii)) donne  $p_j^n$  en fonction de  $u_j^n$  :

$$\left\{ \begin{array}{l} \left( \frac{1}{2} - D_{p,j+1/2} \right) p_{j+1}^n + \left( \frac{1}{2} + D_{p,j+1/2} \right) p_j^n + \varepsilon \frac{u_{j+1}^n - u_j^n}{h_{j+1/2}} = 0 \\ \left( \frac{1}{2} - D_{p,j-1/2} \right) p_j^n + \left( \frac{1}{2} + D_{p,j-1/2} \right) p_{j-1}^n + \varepsilon \frac{u_j^n - u_{j-1}^n}{h_{j-1/2}} = 0 \end{array} \right. \quad (4.38)$$

C'est-à-dire

$$\left\{ \begin{array}{l} \left( \frac{1}{2} - D_{p,j+1/2} \right) (p_{j+1}^n - p_j^n) = -p_j^n - \varepsilon \frac{u_{j+1}^n - u_j^n}{h_{j+1/2}} \\ \left( \frac{1}{2} + D_{p,j-1/2} \right) (p_j^n - p_{j-1}^n) = p_j^n + \varepsilon \frac{u_j^n - u_{j-1}^n}{h_{j-1/2}} \end{array} \right. \quad (4.39)$$

Donc l'équation (4.37) devient :

$$\begin{aligned}
 A_1 \delta^n u_{j+1} + A_0 \delta^n u_j + A_{-1} \delta^n u_{j-1} = & \left( -c \left( \frac{1}{2} - D_{p,j+1/2} \right) + \frac{\varepsilon}{h_{j+1/2}} \right) u_{j+1}^n \\
 & + \left( c \left( \frac{1}{2} - D_{p,j+1/2} \right) - c \left( \frac{1}{2} + D_{p,j-1/2} \right) - \frac{\varepsilon}{h_{j+1/2}} - \frac{\varepsilon}{h_{j-1/2}} \right) u_j^n \\
 & + \left( c \left( \frac{1}{2} + D_{p,j-1/2} \right) + \frac{\varepsilon}{h_{j-1/2}} \right) u_{j-1}^n + h_{j+1/2} \left( \frac{1}{2} - D_{p,j+1/2} \right) \left( (1 - \vartheta) \bar{f}_{j+1/2}^n + \vartheta \bar{f}_{j+1/2}^{n+1} \right) \\
 & + h_{j-1/2} \left( \frac{1}{2} + D_{p,j-1/2} \right) \left( (1 - \vartheta) \bar{f}_{j-1/2}^n + \vartheta \bar{f}_{j-1/2}^{n+1} \right)
 \end{aligned} \tag{4.40}$$

où les coefficients  $A_1, A_0, A_{-1}$  sont donnés par les formules suivantes :

$$\begin{aligned}
 A_1 &= h_{j+1/2} \left( \frac{1}{2} - D_{p,j+1/2} \right) \left( \frac{1}{2} + D_{u,j+1/2} \right) + k \vartheta \left( c \left( \frac{1}{2} - D_{p,j+1/2} \right) - \frac{\varepsilon}{h_{j+1/2}} \right) \\
 A_0 &= h_{j+1/2} \left( \frac{1}{2} - D_{p,j+1/2} \right) \left( \frac{1}{2} - D_{u,j+1/2} \right) - k \vartheta \left( c \left( \frac{1}{2} - D_{p,j+1/2} \right) - \frac{\varepsilon}{h_{j+1/2}} \right) \\
 &+ h_{j-1/2} \left( \frac{1}{2} + D_{p,j-1/2} \right) \left( \frac{1}{2} + D_{u,j-1/2} \right) + k \vartheta \left( c \left( \frac{1}{2} + D_{p,j-1/2} \right) + \frac{\varepsilon}{h_{j-1/2}} \right) \\
 A_{-1} &= h_{j-1/2} \left( \frac{1}{2} + D_{p,j-1/2} \right) \left( \frac{1}{2} - D_{u,j-1/2} \right) - k \vartheta \left( c \left( \frac{1}{2} + D_{p,j-1/2} \right) + \frac{\varepsilon}{h_{j-1/2}} \right)
 \end{aligned} \tag{4.41}$$

On définit les coefficients  $B_1, B_0, B_{-1}$  par

$$\begin{aligned}
 B_1 &= A_1 - k \left( c \left( \frac{1}{2} - D_{p,j+1/2} \right) - \frac{\varepsilon}{h_{j+1/2}} \right) \\
 B_0 &= A_0 + k \left( c \left( \frac{1}{2} - D_{p,j+1/2} \right) - \frac{\varepsilon}{h_{j+1/2}} \right) - k \left( c \left( \frac{1}{2} + D_{p,j-1/2} \right) + \frac{\varepsilon}{h_{j-1/2}} \right) \\
 B_{-1} &= A_{-1} + k \left( c \left( \frac{1}{2} + D_{p,j-1/2} \right) + \frac{\varepsilon}{h_{j-1/2}} \right)
 \end{aligned} \tag{4.42}$$

En utilisant la définition de  $\delta^n u_j$ , on obtient le schéma boîte découplé en  $u_j^n$  et en  $p_j^n$ , pour tout  $n \geq 0$ ,

$$\left\{ \begin{array}{l}
 (i) \quad A_1 u_{j+1}^{n+1} + A_0 u_j^{n+1} + A_{-1} u_{j-1}^{n+1} = B_1 u_{j+1}^n + B_0 u_j^n + B_{-1} u_{j-1}^n \\
 \quad + k h_{j+1/2} \left( \frac{1}{2} - D_{p,j+1/2} \right) \left( (1 - \vartheta) \bar{f}_{j+1/2}^n + \vartheta \bar{f}_{j+1/2}^{n+1} \right) \\
 \quad + k h_{j-1/2} \left( \frac{1}{2} + D_{p,j-1/2} \right) \left( (1 - \vartheta) \bar{f}_{j-1/2}^n + \vartheta \bar{f}_{j-1/2}^{n+1} \right), \quad 1 \leq j \leq J-1 \\
 (i)bis \quad k \vartheta \delta^n p_0 = \left[ h_{1/2} \left( \frac{1}{2} - D_{p,1/2} \right) \left( \frac{1}{2} + D_{u,1/2} \right) + k \vartheta \left( c \left( \frac{1}{2} - D_{p,1/2} \right) - \frac{\varepsilon}{h_{1/2}} \right) \right] \delta^n u_1 \\
 \quad + \left[ h_{1/2} \left( \frac{1}{2} - D_{p,1/2} \right) \left( \frac{1}{2} - D_{u,1/2} \right) - k \vartheta \left( c \left( \frac{1}{2} - D_{p,1/2} \right) - \frac{\varepsilon}{h_{1/2}} \right) \right] \delta^n u_0 \\
 \quad - \left( \frac{1}{2} - D_{p,1/2} \right) \left( -c (u_j^n - u_0^n) - (p_1^n - p_0^n) + h_{1/2} \left( (1 - \vartheta) \bar{f}_{1/2}^n + \vartheta \bar{f}_{1/2}^{n+1} \right) \right) \\
 (ii) \quad k \vartheta \delta^n p_j = \\
 \quad - \left[ h_{j-1/2} \left( \frac{1}{2} + D_{p,j-1/2} \right) \left( \frac{1}{2} + D_{u,j-1/2} \right) + k \vartheta \left( c \left( \frac{1}{2} + D_{p,j-1/2} \right) + \frac{\varepsilon}{h_{j-1/2}} \right) \right] \delta^n u_j \\
 \quad - \left[ h_{j-1/2} \left( \frac{1}{2} + D_{p,j-1/2} \right) \left( \frac{1}{2} - D_{u,j-1/2} \right) - k \vartheta \left( c \left( \frac{1}{2} + D_{p,j-1/2} \right) + \frac{\varepsilon}{h_{j-1/2}} \right) \right] \delta^n u_{j-1} \\
 \quad + \left( \frac{1}{2} + D_{p,j-1/2} \right) \left( -c (u_j^n - u_{j-1}^n) - (p_j^n - p_{j-1}^n) \right) \\
 \quad + h_{j-1/2} \left( \frac{1}{2} + D_{p,j-1/2} \right) \left( (1 - \vartheta) \bar{f}_{j-1/2}^n + \vartheta \bar{f}_{j-1/2}^{n+1} \right), \quad 1 \leq j \leq J \\
 (iii) \quad \left( \frac{1}{2} - D_{p,j-1/2} \right) p_j^n + \left( \frac{1}{2} + D_{p,j-1/2} \right) p_{j-1}^n + \frac{\varepsilon}{h_{j-1/2}} (u_j^n - u_{j-1}^n) = 0, \quad 1 \leq j \leq J, n \geq 1 \\
 (iv) \quad u_j^0 = u_0(x_j), \quad 0 \leq j \leq J \\
 (v) \quad p_j^0 = p^0(x_j), \quad 0 \leq j \leq J \\
 (vi) \quad u_0^n = u_j^n = 0, \quad 1 \leq n
 \end{array} \right. \tag{4.43}$$

L'équation (i) en  $u$  est équivalente à

$$(B - k \vartheta C) u^{n+1} = (B + k(1 - \vartheta) C) u^n + k D f \quad (4.44)$$

où les opérateurs  $B$ ,  $C$  et  $D$  sont définis par

$$\begin{aligned} B v &= h_{j+1/2} \left( \frac{1}{2} - D_{p,j+1/2} \right) \left( \frac{1}{2} + D_{u,j+1/2} \right) v_{j+1} \\ &+ \left[ h_{j+1/2} \left( \frac{1}{2} - D_{p,j+1/2} \right) \left( \frac{1}{2} - D_{u,j+1/2} \right) + h_{j-1/2} \left( \frac{1}{2} + D_{p,j-1/2} \right) \left( \frac{1}{2} + D_{u,j-1/2} \right) \right] v_j \\ &+ h_{j-1/2} \left( \frac{1}{2} + D_{p,j-1/2} \right) \left( \frac{1}{2} - D_{u,j-1/2} \right) v_{j-1} \end{aligned} \quad (4.45)$$

$$\begin{aligned} C v &= - \left( c \left( \frac{1}{2} - D_{p,j+1/2} \right) - \frac{\varepsilon}{h_{j+1/2}} \right) v_{j+1} \\ &+ \left[ \left( c \left( \frac{1}{2} - D_{p,j+1/2} \right) - \frac{\varepsilon}{h_{j+1/2}} \right) - \left( c \left( \frac{1}{2} + D_{p,j-1/2} \right) + \frac{\varepsilon}{h_{j-1/2}} \right) \right] v_j \\ &+ \left( c \left( \frac{1}{2} + D_{p,j-1/2} \right) + \frac{\varepsilon}{h_{j-1/2}} \right) v_{j-1} \end{aligned} \quad (4.46)$$

$$\begin{aligned} D f &= h_{j+1/2} \left( \frac{1}{2} - D_{p,j+1/2} \right) \left( (1 - \vartheta) \bar{f}_{j+1/2}^n + \vartheta \bar{f}_{j+1/2}^{n+1} \right) \\ &+ h_{j-1/2} \left( \frac{1}{2} + D_{p,j-1/2} \right) \left( (1 - \vartheta) \bar{f}_{j-1/2}^n + \vartheta \bar{f}_{j-1/2}^{n+1} \right) \end{aligned} \quad (4.47)$$

pour certains vecteurs  $v$  et  $f$ .

**Lemme 4.3.2** Le schéma boîte (4.35) associé au problème de convection-diffusion (4.16) est équivalent à

(1) La résolution d'un problème en  $u = (u_j^n)_{0 \leq j \leq J, 0 \leq n \leq N}$

$$\begin{cases} (i) & (B - k \vartheta C) u^{n+1} = (B + k(1 - \vartheta) C) u^n + k D f \\ (ii) & u_j^0 = u^0(x_j), \quad 0 \leq j \leq J \\ (iii) & u_0^n = u_j^n = 0, \quad 1 \leq n \end{cases} \quad (4.48)$$

(2) La reconstruction locale sur chaque maille du flux de diffusion  $p$ , pour  $n \geq 0$

$$\begin{cases} (i) k \vartheta \delta^n p_j = \\ \quad - \left[ h_{j-1/2} \left( \frac{1}{2} + D_{p,j-1/2} \right) \left( \frac{1}{2} + D_{u,j-1/2} \right) + k \vartheta \left( c \left( \frac{1}{2} + D_{p,j-1/2} \right) + \frac{\varepsilon}{h_{j-1/2}} \right) \right] \delta^n u_j \\ \quad - \left[ h_{j-1/2} \left( \frac{1}{2} + D_{p,j-1/2} \right) \left( \frac{1}{2} - D_{u,j-1/2} \right) - k \vartheta \left( c \left( \frac{1}{2} + D_{p,j-1/2} \right) + \frac{\varepsilon}{h_{j-1/2}} \right) \right] \delta^n u_{j-1} \\ \quad + \left( \frac{1}{2} + D_{p,j-1/2} \right) \left( -c(u_j^n - u_{j-1}^n) - (p_j^n - p_{j-1}^n) \right) \\ \quad + h_{j-1/2} \left( \frac{1}{2} + D_{p,j-1/2} \right) \left( (1 - \vartheta) \bar{f}_{j-1/2}^n + \vartheta \bar{f}_{j-1/2}^{n+1} \right), \quad 1 \leq j \leq J \\ (i) bis & k \vartheta \delta^n p_0 = \left[ h_{1/2} \left( \frac{1}{2} - D_{p,1/2} \right) \left( \frac{1}{2} + D_{u,1/2} \right) + k \vartheta \left( c \left( \frac{1}{2} - D_{p,1/2} \right) - \frac{\varepsilon}{h_{1/2}} \right) \right] \delta^n u_1 \\ &+ \left[ h_{1/2} \left( \frac{1}{2} - D_{p,1/2} \right) \left( \frac{1}{2} - D_{u,1/2} \right) - k \vartheta \left( c \left( \frac{1}{2} - D_{p,1/2} \right) - \frac{\varepsilon}{h_{1/2}} \right) \right] \delta^n u_0 \\ (ii) & \left( \frac{1}{2} - D_{p,j-1/2} \right) p_j^n + \left( \frac{1}{2} + D_{p,j-1/2} \right) p_{j-1}^n + \frac{\varepsilon}{h_{j-1/2}} (u_j^n - u_{j-1}^n) = 0, \quad 1 \leq j \leq J, \quad n \geq 1 \\ (iii) & p_j^0 = p^0(x_j), \quad 0 \leq j \leq J \end{cases} \quad (4.49)$$

La résolution du schéma boîte (4.35) est équivalente à la résolution du problème découplé ((4.48)-(4.49)). En pratique, on résout en premier lieu le système (4.48) qui donne la solution  $u^{n+1}$  au temps  $t^{n+1}$  en fonction de la donnée initiale  $u^0$ , puis on reconstruit le flux  $p^{n+1}$  à l'instant  $t^{n+1}$  en fonction de la solution calculée  $u^{n+1}$  grâce aux équations (4.49).

#### Remarque :

La matrice  $B$  étant inversible, soit  $A$  l'opérateur spatial défini par  $A = B^{-1}C$ . Alors la formulation (4.48-(i)) en  $u_j^n$  du schéma boîte (4.35) s'écrit aussi dans le cas homogène

$$(I - k\theta A)u^{n+1} = (I + k(1 - \theta)A)u^n \quad (4.50)$$

On utilisera par la suite cette formulation pour le splitting en dimension 2 du schéma boîte (4.35) obtenu en dimension 1.

### 4.3.4 Schéma tridiagonal

On suppose que le maillage est équidistant de pas d'espace  $h$  et que les coefficients de décentrement sont égaux sur tout le maillage; c'est-à-dire  $D_{p,j-1/2} = D_p$  et  $D_{u,j-1/2} = D_u$  pour tout  $1 \leq j \leq J$ . Soient  $\lambda = \frac{ck}{h}$  le nombre de Courant par maille et  $\mu = \frac{\varepsilon k}{h^2}$ . Dans le cas homogène, la formulation (4.48-(i)) est équivalente au schéma compact à trois points suivant :

$$a_1 u_{j+1}^{n+1} + a_0 u_j^{n+1} + a_{-1} u_{j-1}^{n+1} = b_1 u_{j+1}^n + b_0 u_j^n + b_{-1} u_{j-1}^n \quad (4.51)$$

où les coefficients  $a_i$  et  $b_i$  ( $i = -1, 0, 1$ ) sont donnés par les formules suivantes :

$$\begin{cases} a_1 = \left(\frac{1}{2} - D_p\right) \left(\frac{1}{2} + D_u + \vartheta \lambda\right) - \vartheta \mu \\ b_1 = \left(\frac{1}{2} - D_p\right) \left(\frac{1}{2} + D_u - \lambda(1 - \vartheta)\right) + \mu(1 - \vartheta) \\ a_0 = \frac{1}{2} + 2\vartheta \mu + 2D_p(D_u + \vartheta \lambda) \\ b_0 = \frac{1}{2} - 2(1 - \vartheta)\mu + 2D_p(D_u - (1 - \vartheta)\lambda) \\ a_{-1} = \left(\frac{1}{2} + D_p\right) \left(\frac{1}{2} - D_u - \vartheta \lambda\right) - \vartheta \mu \\ b_{-1} = \left(\frac{1}{2} + D_p\right) \left(\frac{1}{2} - D_u + \lambda(1 - \vartheta)\right) + \mu(1 - \vartheta) \end{cases} \quad (4.52)$$

Noter que la forme (4.51) correspond à la forme (2) de Rigal, [41], qui étudie des schémas implicites à trois points. Le coefficient de décentrement  $D_p$  (constant par maille) donné par la formule (4.27) vérifie

$$(a_1 - b_1)(a_{-1} - b_{-1}) \geq 0 \quad (4.53)$$

qui est la condition suffisante de Rigal de monotonie de l'état stationnaire (Lemme 2 de [41]).

**Lemme 4.3.3** *Le schéma boîte (4.48-4.49) admet une unique solution  $(u_j^n, p_j^n) \in \mathbb{R}^J \times \mathbb{R}^J$  au temps  $n$ .*

#### Preuve :

La formulation boîte en  $u$  (4.48-(i)) s'écrit :

$$(B - k\vartheta C)u^{n+1} = (B + k(1 - \vartheta)C)u^n + kDf \quad (4.54)$$

Il suffit donc de vérifier que la matrice  $B - k\theta C$  (qui contient les conditions aux limites Dirichlet) est inversible. Le calcul du déterminant de  $B - k\theta C$  donne  $\det(B - k\theta C) = \frac{1}{r_1 - r_2} (r_1^J - r_2^J)$ , où  $r_1$  et  $r_2$  sont les deux racines distinctes de l'équation caractéristique :  $r^2 - a_0 r - a_1 a_{-1} = 0$ . Puisque  $r_1 \neq r_2$ ,

$$\begin{aligned} \det(B - k\vartheta C) = 0 &\iff r_1^J - r_2^J = 0 \\ &\iff r_1 = -r_2 \text{ si } J \text{ est pair} \\ &\iff a_0 = 0 \end{aligned} \quad (4.55)$$

Or,  $\mu > 0$  et  $D_p, D_u + \vartheta \lambda$  sont du signe de  $c$ . Donc  $a_0 > 0$ . Ainsi  $\det(B - k\vartheta C)$  est toujours non nul. Ce qui prouve l'existence et l'unicité de la solution  $u$ . De plus,  $p$  est donné de façon unique en fonction de  $u$  par les équations (4.49). Ce qui conclut la preuve. ■

## 4.4 Interprétation éléments finis du schéma boîte

On définit les deux fonctions de décentrement constantes par boîte  $K_{j-1/2}$ . Elles sont définies par :

$$d_p(x) = \sum_{j=2}^J D_{p,j-1/2} h_{j-1/2} \mathbb{1}_{K_{j-1/2}}(x) \quad \text{décentrement stationnaire} \quad (4.56)$$

$$d_u(x) = \sum_{j=2}^J D_{u,j-1/2} h_{j-1/2} \mathbb{1}_{K_{j-1/2}}(x) \quad \text{décentrement instationnaire} \quad (4.57)$$

On note  $u_h(\cdot, t) \in P_{c,0}^1, p_h(\cdot, t) \in P_c^1$  les fonctions semi-discrètes de type éléments finis

$$u_h(x, t) = \sum_{j=0}^J u_j(t) \varphi_j(x) \quad \text{et} \quad p_h(x, t) = \sum_{j=0}^J p_j(t) \varphi_j(x) \quad (4.58)$$

où  $(\varphi_j)_j$  sont les fonctions  $P^1$ -Lagrange associées au sommet  $x_j$ .

### Proposition 4.4.1 (Interprétation SUPG du schéma boîte)

Le schéma-boîte (4.35) est équivalent au problème semi-discrét : chercher  $(u_h(\cdot, t), p_h(\cdot, t)) \in P_{c,0}^1 \times P_c^1$  tel que

(i)  $u_h(\cdot, t) \in P_{c,0}^1$  est solution de la formulation SUPG pour tout  $v_h \in P_{c,0}^1$

$$\begin{aligned} \left( \frac{d}{dt} [\Pi^0 u_h(\cdot, t) + d_u u_{h,x}(\cdot, t)] ; v_h + d_p v_{h,x} \right) + (c u_{h,x}(\cdot, t) ; v_h + d_p v_{h,x}) \\ + (\varepsilon u_{h,x}(\cdot, t) ; v_{h,x}) = ((\Pi^0 f)(\cdot, t) ; v_h + d_p v_{h,x}) \end{aligned} \quad (4.59)$$

(ii) La reconstruction locale de  $p_h(\cdot, t)$  est

$$\begin{aligned} p_h(\cdot, t)|_{K_{j-1/2}} = -\varepsilon u_{h,x}(\cdot, t)|_{K_{j-1/2}} \\ + [\Pi^0 f(\cdot, t) - c u_{h,x}(\cdot, t) - \frac{d}{dt} (\Pi^0 u_h(\cdot, t) + d_u u_{h,x}(\cdot, t))] [D_{p,j-1/2} + \overline{x_{j-1/2}}] \end{aligned} \quad (4.60)$$

où  $x_{j-1/2}$  désigne le milieu de la boîte  $K_{j-1/2}$ .

**Preuve :**

Le schéma boîte semi-discret (4.35) peut se réécrire sous la forme de la méthode d'éléments finis mixte (Petrov-Galerkin) suivante : chercher  $(u_h(\cdot, t), p_h(\cdot, t)) \in P_{c,0}^1 \times P_c^1$  tel que pour tout  $(\tilde{v}_h, \tilde{q}_h) \in P^0 \times P^0$ , on ait

$$\begin{cases} \left( \frac{d}{dt} [\Pi^0 u_h(\cdot, t) + d_u u_{h,x}(\cdot, t)]; \tilde{v}_h \right) + (c u_{h,x}(\cdot, t); \tilde{v}_h) + (p_{h,x}; \tilde{v}_h) = (f(\cdot, t); \tilde{v}_h), \\ (\Pi^0 p_h(\cdot, t) - d_p p_{h,x}(\cdot, t); \tilde{q}_h) + \varepsilon (u_{h,x}(\cdot, t); \tilde{q}_h) = 0 \end{cases} \quad (4.61)$$

(i) Soit  $v_h \in P_{c,0}^1$ , choisissons  $\tilde{q}_h = v_{h,x} \in P^0$  dans (4.61)<sub>2</sub>. Ceci donne

$$(\Pi^0 p_h(\cdot, t), v_{h,x}) - (d_p(\cdot) p_{h,x}(\cdot, t), v_{h,x}) + \varepsilon (u_{h,x}(\cdot, t); v_{h,x}) = 0 \quad (4.62)$$

Or,  $(\Pi^0 p_h(\cdot, t))|_{K_{j-1/2}} = p_h(\cdot, t)|_{K_{j-1/2}} - p_{h,x}(\cdot, t)|_{K_{j-1/2}} \overrightarrow{x_{j-1/2}}$ , où  $x_{j-1/2}$  est le milieu de la cellule  $K_{j-1/2}$ . En remplaçant l'expression de  $\Pi^0 p_h(\cdot, t)$  dans (4.62), on obtient après intégration par parties

$$-(p_{h,x}(\cdot, t), v_h) - \sum_{K_{j-1/2}} (p_{h,x}(\cdot, t)|_{K_{j-1/2}} \overrightarrow{x_{j-1/2}}, v_{h,x}) - (d_p p_{h,x}(\cdot, t), v_{h,x}) + \varepsilon (u_{h,x}(\cdot, t); v_{h,x}) = 0 \quad (4.63)$$

Puisque  $p_{h,x}(\cdot, t) v_{h,x} \in P^0$ , le terme  $\sum_{K_{j-1/2}} (p_{h,x}(\cdot, t)|_{K_{j-1/2}} \overrightarrow{x_{j-1/2}}, v_{h,x}) = 0$ . D'où on déduit que

$$-(p_{h,x}(\cdot, t), v_h) - (d_p p_{h,x}(\cdot, t), v_{h,x}) + \varepsilon (u_{h,x}(\cdot, t); v_{h,x}) = 0 \quad (4.64)$$

L'équation (4.61)<sub>1</sub> est vraie pour  $\tilde{v}_h = \Pi^0 v_h \in P^0$ , donc par propriété de  $\Pi^0$ , on obtient

$$0 = \left( \frac{d}{dt} [\Pi^0 u_h(\cdot, t) + d_u u_{h,x}(\cdot, t)]; v_h \right) + (c u_{h,x}(\cdot, t), v_h) + (p_{h,x}(\cdot, t); v_h) - (\Pi^0 f(\cdot, t), v_h) \quad (4.65)$$

Ce qui donne, en sommant les égalités (4.64) et (4.65) :

$$0 = \left( \frac{d}{dt} [\Pi^0 u_h(\cdot, t) + d_u u_{h,x}(\cdot, t)]; v_h \right) + (c u_{h,x}(\cdot, t), v_h) + \varepsilon (u_{h,x}(\cdot, t); v_{h,x}) - (\Pi^0 f(\cdot, t), v_h) - (d_p p_{h,x}(\cdot, t), v_{h,x}) \quad (4.66)$$

Nous prenons maintenant  $\tilde{v}_h = d_p v_{h,x} \in P^0$  dans (4.61)<sub>1</sub>, ce qui donne, à chaque instant  $t$

$$(d_p p_{h,x}(\cdot, t), v_{h,x}) = (\Pi^0 f(\cdot, t), d_p v_{h,x}) - \left( \frac{d}{dt} [\Pi^0 u_h(\cdot, t) + d_u u_{h,x}(\cdot, t)], d_p v_{h,x} \right) - (c u_{h,x}(\cdot, t), d_p v_{h,x}(\cdot, t)) \quad (4.67)$$

En remplaçant cette expression dans l'équation (4.66) on obtient la formulation (4.59).

(ii) Le flux  $p_h$  est donné sur chaque maille  $K_{j-1/2}$  par la formule affine

$$p_h(\cdot, t)|_{K_{j-1/2}} = (\Pi^0 p_h(\cdot, t))|_{K_{j-1/2}} + p_{h,x}(\cdot, t)|_{K_{j-1/2}} \overrightarrow{x_{j-1/2}} \quad (4.68)$$

où  $x_{j-1/2}$  désigne le milieu de la boîte  $K_{j-1/2}$ . Puisque  $u_h \in P^1$  et  $p_h \in P^1$  localement, le terme  $\Pi^0 p_h(\cdot, t) - d_p p_{h,x}(\cdot, t) + \varepsilon u_{h,x}(\cdot, t)$  est un polynôme constant, l'équation (4.61)<sub>2</sub> donne donc  $\Pi^0 p_h(\cdot, t)$  :

$$\Pi^0 p_h(\cdot, t)|_{K_{j-1/2}} = -\varepsilon u_{h,x}(\cdot, t)|_{K_{j-1/2}} + D_{p,j-1/2} p_{h,x}(\cdot, t)|_{K_{j-1/2}} \quad (4.69)$$

De même, l'écriture de  $p_{h,x} \in P^0$  est déduite de l'équation (4.61)<sub>1</sub>

$$p_{h,x}(\cdot, t) = \Pi^0 f(\cdot, t) - c u_{h,x}(\cdot, t) - \frac{d}{dt} (\Pi^0 u_h(\cdot, t) + d_u u_{h,x}(\cdot, t)) \quad (4.70)$$

## 4.5 Equation équivalente

Afin d'obtenir des conditions sur le coefficient de décentrement  $D_u$ , nous étudions maintenant l'équation équivalente associée au schéma boîte en  $u$  donné par (4.48). Nous étendons l'analyse par l'équation équivalente dans le cas de l'équation de convection de [12], au cas de l'équation de convection-diffusion. Si  $A$  est un opérateur différentiel linéaire spatial d'ordre maximal  $O(A)$  défini par

$$A u = \sum_{\alpha=1}^{O(A)} a_\alpha \partial_\alpha u, \quad (4.71)$$

l'équation équivalente du problème d'évolution suivant

$$\frac{du}{dt} = A u \quad (4.72)$$

est l'équation formelle

$$\frac{du}{dt} = A u + \sum_{\alpha \geq O(A)} h^\alpha E_{\alpha+1} \partial_{\alpha+1} u \quad (4.73)$$

obtenue par un développement limité de Taylor du schéma, en remplaçant les dérivées partielles en temps par des dérivées partielles en espace, obtenues à partir de l'équation équivalente elle-même [33, 20].

**Proposition 4.5.1** *L'équation équivalente du schéma (4.48) est*

$$u_t + c u_x - \varepsilon u_{xx} = h E_2 u_{xx} + h^2 E_3 u_{xxx} + h^3 E_4 u^{(4)} + \dots \quad (4.74)$$

où le coefficient de dissipation  $E_2$  et le coefficient de dispersion  $E_3$  sont donnés respectivement par les formules

$$E_2 = c \tilde{D}_u \quad ; \quad E_3 = c \left[ \frac{1}{12} (1 - \lambda^2) - \tilde{D}_u^2 \right] - \frac{\varepsilon}{h} \left[ \tilde{D}_u + \left( \vartheta - \frac{1}{2} \right) \lambda - D_p \right] \quad (4.75)$$

avec  $\tilde{D}_u = D_u + (\vartheta - 1/2)\lambda$ .

Le terme  $E_3$  s'écrit encore en fonction du nombre de Courant  $\lambda$  et du nombre de Peclet  $Pe$  :

$$E_3 = c \left[ \frac{1}{12} (1 - \lambda^2) - \tilde{D}_u^2 - \frac{1}{2 Pe} \left[ \tilde{D}_u + \left( \vartheta - \frac{1}{2} \right) \lambda - D_p \right] \right] \quad (4.76)$$

L'équation équivalente donne quelques informations sur le coefficient de décentrement  $D_u$ . Elle peut se réécrire :

$$u_t + cu_x = (\varepsilon + ch\tilde{D}_u)u_{xx} + h^2 E_3 u_{xxx} + h^3 E_4 u^{(4)} + \dots \quad (4.77)$$

Le coefficient  $ch\tilde{D}_u$  joue le rôle de diffusion artificielle du schéma. Si le nombre de Peclet est assez petit, c'est-à-dire si le problème de convection-diffusion (4.16) est suffisamment diffusif, il n'est pas nécessaire de rajouter de la diffusion artificielle. Le coefficient  $D_u$  doit donc être nul. En particulier, si  $c = 0$ , on choisit  $D_u = 0$ . Sur la base d'expériences numériques pour l'équation de convection pure, une valeur expérimentale de  $D_u$  de l'ordre de 0.1 donne des profils non oscillants dans la plupart des cas. Nous prendrons dans la suite  $D_{u,0} = 0.2 = \frac{\text{sgn}(c)}{2\text{Pe}_0}$ , où  $\text{Pe}_0 = 2.5$  pour la convection pure. En nous basant sur cette remarque et sur l'écriture (4.77), nous pouvons choisir de façon analogue une valeur de  $D_u$  telle que :

$$\varepsilon + ch\tilde{D}_u \geq ch\tilde{D}_{u,0} \quad (4.78)$$

Or,  $\tilde{D}_u = D_u + \lambda(\vartheta - \frac{1}{2})$  et  $\tilde{D}_{u,0} = D_{u,0} + \lambda(\vartheta - \frac{1}{2})$ , la formule (4.78) est équivalente à

$$\text{sgn}(c) D_u \geq \frac{1}{2\text{Pe}_0} - \frac{\varepsilon}{|c|h} \quad (4.79)$$

C'est-à-dire

$$\text{sgn}(c) D_u \geq \frac{1}{2} \left( \frac{1}{\text{Pe}_0} - \frac{1}{\text{Pe}} \right) \quad (4.80)$$

D'autre part, nous cherchons un décentrement de la variable  $u$  colinéaire à la convection  $c$ , c'est-à-dire tel que  $\text{sgn}(c) D_u \geq 0$ . Une façon de choisir  $D_u$  est de prendre

$$D_u = \frac{\text{sgn}(c)}{2} \max\left(0, \frac{1}{\text{Pe}_0} - \frac{1}{\text{Pe}}\right). \quad (4.81)$$

Dans la suite, nous utiliserons cette formule pour  $D_u$ . En particulier, pour un nombre de Peclet  $\text{Pe} \leq 2.5$ , le coefficient  $D_u$  est nul. Notons que  $D_u$  intervient en rajoutant de la diffusion artificielle à l'équation de convection-diffusion. Si la quantité de diffusion donnée par  $\mu$  est suffisante, il est inutile de rajouter de la diffusion artificielle. Dans ce cas, le coefficient de décentrement  $D_u$  est nul. Par contre, dans un régime plutôt convectif, il est nécessaire de rajouter de la diffusion artificielle pour éliminer les oscillations dispersives. En augmentant la valeur du décentrement  $D_u$ , on stabilise le schéma, puisqu'il devient plus diffusif. En contrepartie, la solution calculée par le schéma boîte est moins précise. En effet, on le constate dans l'équation équivalente (4.74), le schéma n'est précis qu'à l'ordre 1 en espace si  $E_2$  est non nul.

Le régime de l'équation de convection-diffusion s'interprète par le biais du nombre de Peclet. C'est donc aussi le nombre de Peclet qui intervient pour le calcul des valeurs de décentrement  $D_u$  et  $D_p$ , données par les formules (4.81) et (4.27).

**Remarques :**

1- L'expression (4.75) est valable pour  $|\lambda| = \mathcal{O}(1)$  et  $\text{Pe} = \mathcal{O}(1)$ .

2- Si  $Pe > \mathcal{O}(\frac{1}{h})$ , alors le terme  $\frac{1}{2Pe} \left[ \tilde{D}_u + (\vartheta - \frac{1}{2}) \lambda - D_p \right]$  donne un terme d'ordre  $h^\alpha$ ,  $\alpha \geq 3$  dans l'équation équivalente. On retrouve dans ce cas l'équation équivalente de B. Courbet pour l'équation de convection pure :

$$u_t + c u_x = c \tilde{D}_u h u_{xx} + c \left[ \frac{1}{12} (1 - \lambda^2) - \tilde{D}_u^2 \right] h^2 u_{xxx} + \mathcal{O}(h^3)$$

3- Le schéma boîte proposé présente l'inconvénient de n'avoir qu'un paramètre  $D_u$  à optimiser,  $\vartheta$  et  $D_p$  étant supposés fixés par des contraintes de stabilité. On doit donc choisir  $D_u$  au mieux pour limiter les oscillations dispersives.

4- La formule (4.81) est linéaire et donne uniquement un schéma d'ordre 1 quand  $Pe \geq Pe_0$ . Ceci pourrait être amélioré par un réglage non linéaire de  $D_u$  analogue à ceux des limiteurs de pente pour la méthode volumes finis.

## 4.6 Analyse numérique de type différences finies

Nous allons étudier quelques propriétés (stabilité, consistance) du schéma boîte (4.35) associé au problème de convection-diffusion homogène défini sur un maillage régulier de type différences finies. Plus particulièrement, nous nous intéressons aux propriétés de la formulation en l'inconnue  $u$  du schéma boîte (4.35), donnée par (4.48), par rapport à l'équation de convection-diffusion (4.16). En fait, nous comparons la solution exacte de l'équation de convection-diffusion (4.16) et la solution approchée  $u$  du schéma boîte (4.35), donnée par (4.48), le flux de diffusion  $p$  étant déduit de  $u$  par la formulation (4.49).

### 4.6.1 Stabilité

Nous allons étudier la stabilité du schéma (4.48) au sens de Von Neumann, sur un maillage régulier de type différences finies. Le facteur d'amplification du schéma (4.48) est donné par

$$g(\theta) = \frac{g_1(\theta)}{g_2(\theta)} = \frac{b_0 + (b_1 + b_{-1}) \cos \theta + i(b_1 - b_{-1}) \sin \theta}{a_0 + (a_1 + a_{-1}) \cos \theta + i(a_1 - a_{-1}) \sin \theta}, \quad \theta \in [0, 2\pi[. \quad (4.82)$$

D'après [20], nous avons les conditions nécessaires et suffisantes de stabilité du schéma en  $u$ , (4.48) données par l'étude du facteur d'amplification :

#### Proposition 4.6.1 (Stabilité)

Soit  $\tilde{D}_u = (\vartheta - \frac{1}{2}) \lambda + D_u$ . Le schéma (4.48) est stable au sens de Von Neumann si et seulement si les conditions suivantes sont vérifiées :

$$(i) \quad \tilde{D}_u \lambda + \mu \geq 0 \quad \text{et} \quad (ii) \quad [D_p \lambda + \mu] \left[ \tilde{D}_u D_p + \left( \vartheta - \frac{1}{2} \right) \mu \right] \geq 0$$

En particulier, la condition  $\vartheta \geq \frac{1}{2}$  est une condition suffisante assurant la stabilité du schéma (4.48) au sens de Von Neumann.

**Preuve :**

Nous rappelons brièvement la preuve de [20], déduite du résultat général de Rigal [41]. A savoir la condition nécessaire et suffisante de stabilité du schéma  $\sup_{\theta \in [0, 2\pi[} |g(\theta)| \leq 1$  est équivalente d'après Rigal, [41] à

$$a_1 + a_{-1} - b_1 - b_{-1} \leq \min [(a_1 - a_{-1})^2 - (b_1 - b_{-1})^2 ; (a_1 + a_{-1})^2 - (b_1 + b_{-1})^2] \quad (4.83)$$

Or, nous avons les égalités suivantes :

$$\begin{aligned} a_1 - a_{-1} &= D_u + \vartheta \lambda - D_p \\ a_1 + a_{-1} &= \frac{1}{2} - 2D_p(D_u + \vartheta \lambda) - 2\vartheta \mu \\ b_1 - b_{-1} &= a_1 - a_{-1} - \lambda \\ b_1 + b_{-1} &= a_1 + a_{-1} + 2D_p \lambda + 2\mu \end{aligned} \quad (4.84)$$

Donc, la condition (4.83) est équivalente à

$$-(D_p \lambda + \mu) \leq \min (\lambda (\tilde{D}_u - D_p) ; -2(D_p \lambda + \mu) (\frac{1}{2} - 2D_p \tilde{D}_u - 2(\vartheta - \frac{1}{2})\mu)) \quad (4.85)$$

Ce qui donne les conditions (i) et (ii).

Le choix de  $D_p$  donné par la formule (4.27) implique l'équivalence entre la condition (ii) et la condition suivante

$$\tilde{D}_u D_p + \left( \vartheta - \frac{1}{2} \right) \mu \geq 0$$

Nous choisissons  $D_u$  et  $c$  de même signe. Nous obtenons la condition suffisante de stabilité du schéma (4.48) :  $\vartheta \geq \frac{1}{2}$ . En effet : si  $\vartheta \geq \frac{1}{2}$ , puisque  $\lambda$  et  $D_u$  sont du signe de  $c$ ,  $\tilde{D}_u \lambda \geq 0$ . Or,  $\mu$  est toujours strictement positif, la condition (i) est donc vérifiée. De même  $\tilde{D}_u D_p \geq 0$ . Ce qui prouve (ii). ■

Si le nombre de Peclet est inférieur à 1, c'est-à-dire si l'équation de convection-diffusion est suffisamment diffusive,  $D_p$  est nul d'après (4.27). Le schéma est donc stable si et seulement si  $\vartheta \geq \frac{1}{2}$ . On retrouve en particulier, le résultat de stabilité du schéma boîte pour l'équation de la chaleur (cf Chapitre 1). Dans la suite, le coefficient de décentrement en temps  $\vartheta$  sera choisi  $\vartheta \geq \frac{1}{2}$ , assurant la stabilité du schéma. Rappelons toutefois que la stabilité du schéma n'exclut pas les oscillations observées pour l'équation de la chaleur, au Chapitre 1. En effet, nous verrons au Paragraphe 4.7.2 que de telles oscillations peuvent apparaître. Nous en ferons l'interprétation au Paragraphe 4.7.3.

## 4.6.2 Consistance du schéma boîte

Considérons le problème de convection-diffusion homogène. Nous allons étudier la consistance de la formulation en  $u$  (4.48), du schéma boîte (4.35) par rapport au problème de

convection-diffusion (4.16); c'est-à-dire l'équivalence du schéma discret et du problème continu lorsque les pas de temps et d'espace tendent vers 0. Soit  $\lambda = \frac{c k}{h}$  le nombre de Courant et  $\mu = \frac{\varepsilon k}{h^2}$ . Le nombre de Peclet qui mesure le rapport de la convection sur la diffusion est  $Pe = \frac{|\lambda|}{\mu} = \frac{|c|h}{2\varepsilon}$ .

### Proposition 4.6.2 (Consistance)

La formulation en  $u$  (4.48) du schéma boîte (4.95) est consistante avec le problème (4.16) à l'ordre 1 en espace et l'ordre 1 en temps si  $\vartheta \neq \frac{1}{2}$ , à l'ordre 2 en temps sinon.

#### Preuve :

Nous étudions la consistance du schéma (4.48) par rapport à  $u(x, t)$  en évaluant, ([42]) pour tout  $\xi \in \mathbb{R}$  la différence

$$\frac{1}{k} \left( e^{kq(\xi)} - g(h\xi) \right) \quad (4.86)$$

où  $q$  est le symbole de l'opérateur spatial continu  $-cu_x + \varepsilon u_{xx}$ , donné par  $q(\xi) = -c i \xi - \varepsilon \xi^2$  et  $g(h\xi)$  est le facteur d'amplification du schéma boîte (4.48). On considère que  $h, k \rightarrow 0$  indépendamment, avec l'hypothèse que  $\lambda$  et  $\mu$  vérifient  $\lambda_1 < |\lambda| < \lambda_2$  et  $\mu_1 < |\mu| < \mu_2$ . Le pas de temps  $k$  est supposé donné en fonction du pas d'espace  $h$  par une fonction  $k = \Lambda(h^\alpha)$ , pour un certain  $\alpha$ . Dans le cas d'un régime plutôt convectif, on prend  $k = \mathcal{O}(h)$  et dans le cas d'un régime de type diffusion dominante,  $k = \mathcal{O}(h^2)$ . Le facteur d'amplification  $g$  du schéma boîte (4.48) est donné par (4.82), pour  $\theta = h \xi \in [0, 2\pi[$  :

$$g(\theta) = \frac{g_1(\theta)}{g_2(\theta)} = \frac{b_0 + (b_1 + b_{-1}) \cos \theta + i(b_1 - b_{-1}) \sin \theta}{a_0 + (a_1 + a_{-1}) \cos \theta + i(a_1 - a_{-1}) \sin \theta} \quad (4.87)$$

Un développement limité en  $h$  de  $g(\theta)$ ,  $\theta = h \xi$ ,  $\xi$  fixé à l'ordre 4 est

$$\begin{aligned} g(\theta) &= 1 - i\theta((a_1 - a_{-1}) - (b_1 - b_{-1})) \\ &\quad + \theta^2 \left( \frac{1}{2}((a_1 + a_{-1}) - (b_1 + b_{-1})) + (a_1 - a_{-1})((b_1 - b_{-1}) - (a_1 - a_{-1})) \right) \\ &\quad + i\theta^3 \left( \frac{1}{6}((a_1 - a_{-1}) - (b_1 - b_{-1})) - (a_1 - a_{-1})(a_1 + a_{-1}) \right) \\ &\quad + (a_1 - a_{-1})^2 ((a_1 - a_{-1}) - (b_1 - b_{-1})) + (b_1 - b_{-1}) \frac{(a_1 + a_{-1})}{2} + (b_1 + b_{-1}) \frac{(a_1 - a_{-1})}{2} \\ &\quad + A_4 \theta^4 + \mathcal{O}(\theta^5) \end{aligned} \quad (4.88)$$

où  $A_4$  est égal à

$$\begin{aligned} A_4 &= \frac{1}{4!} \left( (b_1 + b_{-1}) - (a_1 + a_{-1}) \right) + \frac{1}{4} (a_1 + a_{-1}) \left( (a_1 + a_{-1}) - (b_1 + b_{-1}) \right) \\ &\quad - \frac{3}{2} (a_1 - a_{-1})^2 (a_1 + a_{-1}) + \frac{1}{2} (b_1 + b_{-1}) (a_1 - a_{-1})^2 \\ &\quad - \frac{1}{3} (a_1 - a_{-1}) (b_1 - b_{-1}) + \frac{1}{3} (a_1 - a_{-1})^2 \\ &\quad + (b_1 - b_{-1}) (a_1 - a_{-1}) (a_1 + a_{-1}) + (a_1 - a_{-1})^4 - (b_1 - b_{-1}) (a_1 - a_{-1})^3 \end{aligned} \quad (4.89)$$

Pour la commodité du calcul, on conserve les notations avec le paramètre  $\theta = \xi h$ ,  $h \rightarrow 0$ . De plus,  $\vartheta$ ,  $\lambda$ ,  $\mu$  et  $Pe = \frac{\lambda}{2\mu}$  sont fixés. D'autre part, nous avons les égalités suivantes :

$$\begin{aligned} a_1 - a_{-1} &= D_u + \vartheta \lambda - D_p \\ a_1 + a_{-1} &= \frac{1}{2} - 2D_p(D_u + \vartheta \lambda) - 2\vartheta \mu \\ b_1 - b_{-1} &= a_1 - a_{-1} - \lambda \\ b_1 + b_{-1} &= a_1 + a_{-1} + 2D_p \lambda + 2\mu \end{aligned} \quad (4.90)$$

En remplaçant ces valeurs dans l'équation (4.88), on obtient

$$g(\theta) = 1 - i\theta\lambda - \theta^2 \left( \mu + \lambda(D_u + \vartheta\lambda) \right) + i\theta^3 \left( -\frac{\lambda}{12} + \lambda(D_u + \vartheta\lambda)^2 + \mu(D_u + 2\vartheta\lambda - D_p) \right) + A_4\theta^4 + \mathcal{O}(\theta^5) \quad (4.91)$$

D'autre part, on a

$$e^{kq(\xi)} = 1 - k(ci\xi + \varepsilon\xi^2) + \frac{k^2}{2}(ci\xi + \varepsilon\xi^2)^2 + \mathcal{O}(k^3) \quad (4.92)$$

On garde  $h$  et  $k$  distincts pour le moment. Le terme  $e^{kq(\xi)} - g(h\xi)$  est donné par :

$$\begin{aligned} e^{kq(\xi)} - g(h\xi) &= 1 - k(ci\xi + \varepsilon\xi^2) + \frac{k^2}{2}(ci\xi + \varepsilon\xi^2)^2 + \mathcal{O}(k^3) \\ &\quad - 1 + i\xi h\lambda + \xi^2 h^2 \left( \mu + \lambda(D_u + \vartheta\lambda) \right) \\ &\quad - i\xi^3 h^3 \left( -\frac{\lambda}{12} + \lambda(D_u + \vartheta\lambda)^2 + \mu(D_u + 2\vartheta\lambda - D_p) \right) \\ &\quad - A_4 \xi^4 h^4 + \dots \end{aligned} \quad (4.93)$$

En remplaçant les valeurs de  $\lambda$  et  $\mu$ , l'équation (4.93) est encore égale à :

$$\begin{aligned} e^{kq(\xi)} - g(h\xi) &= k^2 \left( \xi^2 c^2 \left( \vartheta - \frac{1}{2} \right) + \xi^4 \frac{\varepsilon^2}{2} + i\xi^3 c \varepsilon (1 - 2\vartheta) \right) - i\xi^3 c^3 \vartheta^2 k^3 + \mathcal{O}(k^3) \\ &\quad + kh \left( \xi^2 c D_u - i\xi^3 (D_u - D_p) \varepsilon \right) \\ &\quad + i\xi^3 h^2 k c \left( \frac{1}{12} - D_u^2 \right) - 2i\xi^3 c^2 D_u \vartheta h k^2 \\ &\quad - \xi^4 h^4 A_4 + \dots \end{aligned} \quad (4.94)$$

Le coefficient  $A_4$  est donné par :

$$\begin{aligned} A_4 \theta^4 = \xi^4 A_4 h^4 &= k \left[ \vartheta \varepsilon^2 k \xi^4 + 3k^2 \vartheta^2 \varepsilon c^2 \xi^4 + \varepsilon h^2 \left( -\frac{1}{6} + D_p D_u + (D_u - D_p)^2 \right) \xi^4 \right. \\ &\quad \left. + 2kh \vartheta \varepsilon c (2D_u - D_p) \xi^4 + \mathcal{O}(\|(h, k)\|^3) \right] \end{aligned} \quad (4.95)$$

où on définit  $\mathcal{O}(\|(h, k)\|) = \mathcal{O}(\|h\|) + \mathcal{O}(\|k\|)$ . Après simplification,  $\frac{1}{k} (e^{kq(\xi)} - g(h\xi))$  est donné par

$$\begin{aligned} \frac{1}{k} (e^{kq(\xi)} - g(h\xi)) &= k \left[ \xi^2 c^2 \left( \vartheta - \frac{1}{2} \right) + i\xi^3 c \varepsilon (1 - 2\vartheta) + \xi^4 \varepsilon^2 \left( \frac{1}{2} - \vartheta \right) \right] \\ &\quad - k^2 \left( i\xi^3 c^3 \vartheta^2 + 3c^2 \varepsilon \vartheta^2 \xi^4 \right) \\ &\quad + h \left( c D_u \xi^2 - i\xi^3 (D_u - D_p) \varepsilon \right) \\ &\quad + h^2 \left( i\xi^3 c \left( \frac{1}{12} - D_u^2 \right) - \varepsilon \xi^4 \left( -\frac{1}{6} + D_p D_u + (D_u - D_p)^2 \right) \right) \\ &\quad - h k \left( 2i\xi^3 c^2 D_u \vartheta + 2c \varepsilon \vartheta \xi^4 (2D_u - D_p) \right) \\ &\quad + \mathcal{O}(\|(h, k)\|^3) \end{aligned} \quad (4.96)$$

C'est-à-dire

$$\frac{1}{k} (e^{kq(\xi)} - g(h\xi)) = \left( \vartheta - \frac{1}{2} \right) \mathcal{O}(k) + \mathcal{O}(k^2) + \mathcal{O}(\|(h, k)\|) \quad (4.97)$$

Le schéma boîte (4.48) est donc d'ordre 1 en temps si  $\vartheta \neq \frac{1}{2}$ , d'ordre 2 en temps sinon et toujours d'ordre 1 en espace. Si le nombre de Peclet est inférieur à 1, les coefficients de décentrement  $D_p$  et  $D_u$  sont nuls dans l'équation (4.96). Dans ce cas, le schéma est consistant à l'ordre 2 en espace. On retrouve également les résultats de consistance obtenus pour l'équation de la chaleur (Chapitre 1) si  $c = 0$ . ■

Par application du théorème de Lax-Richtmyer, [42], on obtient

**Théorème 4.6.1** *Le schéma boîte en  $u$  donné par (4.48) est consistant avec le problème (4.16) et stable sous les conditions de la Proposition 4.6.1, il est donc convergent sous ces conditions. C'est-à-dire :*

$$\max_{0 \leq t \leq T} \|u(\cdot, t) - u_h(\cdot, t)\|_{L^2(\Omega)} \leq C(T) h.$$

### Exemples numériques :

Nous cherchons à illustrer l'effet des coefficients de décentrement  $D_u$  et  $D_p$  sur la solution  $u$  du schéma boîte (4.35) grâce à quelques tests numériques. On suppose que les coefficients de décentrement  $D_u$  et  $D_p$  sont donnés par les formules (4.81) et (4.27) :

$$D_u = \frac{\text{sgn}(c)}{2} \max\left(0, \frac{1}{\text{Pe}_0} - \frac{1}{\text{Pe}}\right),$$

$$D_{p,j-1/2} = \frac{\text{sgn}(c)}{2} \max\left(0, 1 - \frac{1}{\text{Pe}_{j-1/2}}\right).$$

On considère le problème de convection-diffusion

$$\begin{cases} u_t + u_x - \varepsilon u_{xx} = 0, & x \in ]0, 2[, t > 0 \\ u(x, 0) = u_0(x), & x \in [0, 2] \\ u(0, t) = 1, u(2, t) = 0 \end{cases} \quad (4.98)$$

de solution initiale de type créneau

$$u_0(x) = \begin{cases} 1 & \text{si } 0 < x < 0.5 \\ 0 & \text{si } 0.5 < x < 2. \end{cases} \quad (4.99)$$

Le segment  $[0, 2]$  est maillé par 101 points, le pas d'espace est  $h = 2 \cdot 10^{-2}$ . On choisit un pas de temps constant pour tous les tests  $k = 0.3 h = 6 \cdot 10^{-3}$ , le paramètre  $\vartheta$  de l'intégration en temps est  $\vartheta = \frac{1}{2}$ .

**Test 1 : action de  $D_p$  :** On considère le cas où le coefficient de diffusion est  $\varepsilon = 4.4 \cdot 10^{-3}$ , ce qui donne  $\lambda = 0.3$ ,  $\mu = 0.066$  et un nombre de Peclet  $\text{Pe} = 2.2727$ . Les coefficients de décentrement prennent les valeurs  $D_p = 0.28$ ,  $D_u = 0$ . La solution discrète  $u$  du schéma boîte (4.48) est représentée sur la Figure 4.3. La Figure 4.2 représente la solution discrète du schéma boîte (4.48) dans le cas où le coefficient de décentrement  $D_p$  est choisi  $D_p = 0$  sans utiliser la formule (4.27). Quelques oscillations apparaissent alors, au niveau du front initial. Elles n'apparaissent pas pour un choix du décentrement  $D_p$  donné par la formule

(4.27). Ceci prouve, que le décentrement  $D_p$  est indispensable même en phase transitoire.

**Test 2 : action de  $D_u$  :** On considère la cas où le coefficient de diffusion est  $\varepsilon = h^2 = 4.10^{-4}$ , ce qui donne  $\lambda = 0.3$ ,  $\mu = 6.10^{-3}$  et un nombre de Peclet  $Pe = 25$ . Les coefficients de décentrement prennent les valeurs  $D_p = 0.48$ ,  $D_u = 0.18$ . La solution discrète  $u$  du schéma boîte (4.48) est représentée sur la Figure 4.5. La Figure 4.4 représente la solution discrète du schéma boîte (4.48) dans le cas où le coefficient de décentrement  $D_p$  est gardé tel quel et le coefficient de décentrement  $D_u$  est choisi  $D_u = 0$ , sans utiliser la formule (4.81). Alors d'importantes oscillations dispersives apparaissent au niveau du front, ce qui n'est pas le cas si le coefficient de décentrement  $D_u$  est non nul. Le coefficient de décentrement  $D_u$  permet d'éliminer les oscillations dispersives du schéma. La solution obtenue est moins précise (seulement d'ordre 1), mais ne présente plus d'oscillations.

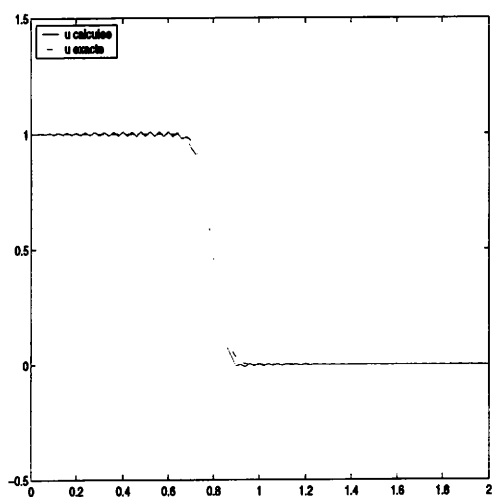


FIG. 4.2 - Test 1 : Aucun décentrement :  $D_p = 0$

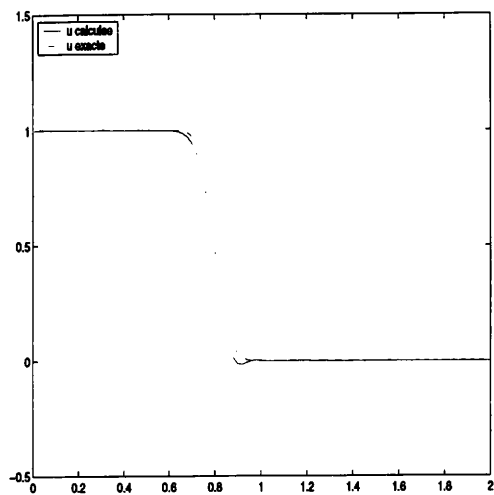


FIG. 4.3 - Test 1 : Décentrement  $D_p = 0.28$  donné par (4.27)

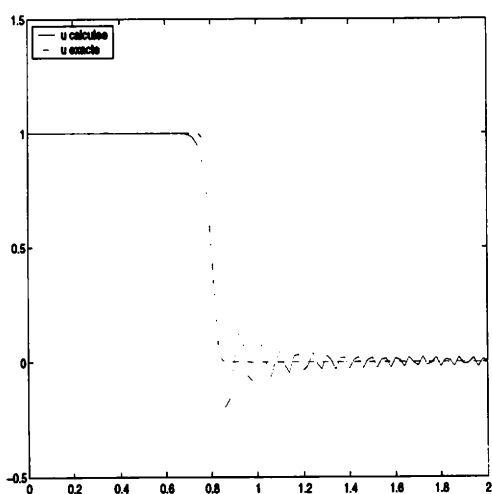


FIG. 4.4 - Test 2 : Aucun décentrement :  $D_u = 0$ . On observe des oscillations dispersives.

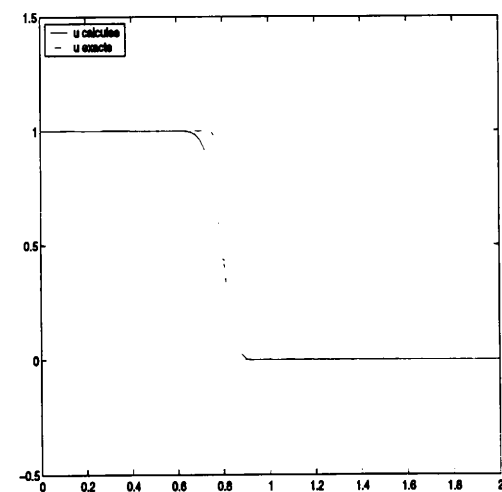


FIG. 4.5 - Test 2 : Décentrement  $D_u = 0.18$  donné par (4.81). Le schéma est d'ordre 1. On observe la diffusion artificielle.

## 4.7 Comportement numérique du schéma sur le créneau

### 4.7.1 Introduction

Nous étudions la solution du schéma boîte selon les différents régimes de convection-diffusion du schéma. En premier lieu, nous étudions le cas où le nombre de Courant  $\lambda$  est  $\lambda = \mathcal{O}(1)$  et ensuite  $\lambda = \mathcal{O}(h)$ . Ceci a pour conséquence de fixer le pas de temps  $k$  en fonction du pas d'espace  $h$ . Nous distinguons plusieurs cas selon l'ordre du nombre de Peclet  $Pe$  par rapport au pas d'espace  $h$ .

Nous considérons quelques cas représentatifs des différents régimes classiques de l'équation (4.16), c'est-à-dire :

- convection dominante si  $Pe = \mathcal{O}(\frac{1}{h})$
- convection-diffusion si  $Pe = \mathcal{O}(1)$
- diffusion dominante si  $Pe = \mathcal{O}(h)$

où  $Pe$  est le nombre de Peclet par maille. Il peut être choisi distinct par maille, puisque les coefficients  $c$  et  $\varepsilon$  sont donnés dans chaque maille. Pour simplifier, nous considérons le cas où le coefficient de convection  $c$  est  $c = 1$ . Le choix du pas de temps  $k$  se fait en fonction du pas d'espace  $h$ , selon les valeurs prises par le nombre de Courant  $\lambda = \frac{k}{h}$ . Puisque nous étudions l'équation de convection-diffusion *instationnaire*, nous nous intéressons à la partie instationnaire du problème, c'est-à-dire à de petits pas de temps. Nous nous restreignons donc dans cette étude à des nombres de Courant en  $\mathcal{O}(1)$  ou  $\mathcal{O}(h)$ .

$\lambda$   $Pe$	$\mathcal{O}(\frac{1}{h})$	$\mathcal{O}(1)$	$\mathcal{O}(h)$
$\mathcal{O}(1)$	$\mu \sim h$	$\mu \sim 1$	$\mu \sim \frac{1}{h}$
	$\varepsilon \sim h^2$	$\varepsilon \sim h$	$\varepsilon \sim 1$
	$k \sim h$	$k \sim h$	$k \sim h$
$\mathcal{O}(h)$	$\mu \sim h^2$	$\mu \sim h$	$\mu \sim 1$
	$\varepsilon \sim h^2$	$\varepsilon \sim h$	$\varepsilon \sim 1$
	$k \sim h^2$	$k \sim h^2$	$k \sim h^2$

TAB. 4.1 – Tableau récapitulatif des différents couplages possibles entre le nombre de Courant et le nombre de Peclet.

### 4.7.2 Tests numériques

Nous calculons la solution du schéma boîte (4.35) associé à l'équation de convection diffusion suivante

$$\begin{cases} u_t + u_x - \varepsilon u_{xx} = 0, & x \in ]0, 2[, t > 0 \\ u(x, 0) = u_0(x), & x \in [0, 2] \\ u(0, t) = 1, u(2, t) = 0, & t > 0 \end{cases} \quad (4.100)$$

de solution initiale

$$u_0(x) = \begin{cases} 1 & \text{si } 0 < x < 0.5 \\ 0 & \text{si } 0.5 < x < 2. \end{cases} \quad (4.101)$$

Le segment  $[0, 2]$  est maillé par 100 boîtes de même longueur  $h = 0.02$ . On observe la solution calculée au bout du temps  $T = 1$  selon les différents régimes du nombre de Courant  $\lambda$ .

### 1. Tests pour $\lambda = \mathcal{O}(1)$

Nous nous plaçons dans le cas où le nombre de Courant  $\lambda$  est d'ordre 1, c'est-à-dire que le pas d'espace  $k$  est du même ordre que le pas d'espace  $h$ . Le coefficient  $\vartheta$  d'intégration en temps est choisi égal à  $1/2$  (Crank-Nicolson). Nous distinguons selon l'ordre du nombre de Peclet  $Pe$ , l'allure de la solution discrète  $u$  du schéma boîte (4.35). Si des oscillations apparaissent, on observe numériquement les conséquences que peuvent avoir l'augmentation artificielle de la valeur de  $\vartheta$  ou l'augmentation de décentrement  $D_u$  sur la solution calculée.

• **Cas 1.1** :  $Pe = \mathcal{O}(\frac{1}{h})$ ,  $\lambda = \mathcal{O}(1)$  :

L'équation est à convection dominante. Puisque le nombre de Peclet est très grand, les coefficients de décentrement  $D_u$  et  $D_p$  sont donnés par les formules (4.81) et (4.27) et sont donc non nuls. La solution calculée  $u$  est représentée sur la Figure 4.6 au bout du temps  $T = 1$  (c'est-à-dire 50 itérations), pour les paramètres  $k = h$ ,  $\vartheta = 0.5$ ,  $\varepsilon = h^2$ . On observe très nettement l'effet de  $D_u$  sur la solution du schéma. Le schéma boîte obtenu est très diffusif, la solution obtenue est peu précise. En effet : le créneau est amorti par la diffusion artificielle provenant de  $D_u$  dans l'équation équivalente. Pour éviter les oscillations dispersives du schéma, on augmente fortement la diffusion du schéma, mais on obtient une solution moins précise. Il faudrait avoir recours ici à une variante de schéma boîte de plus haute précision, utilisant en particulier un réglage non linéaire de la diffusion artificielle (coefficient  $D_u$ ), dans le même esprit que celui des limiteurs de pente dans les méthodes de volumes finis. Nous n'avons pas étudié une telle variante dans ce travail.

• **Cas 1.2** :  $Pe = \mathcal{O}(1)$ ,  $\lambda = \mathcal{O}(1)$  :

On distingue trois cas selon les valeurs du nombre de Peclet, pour lesquels les coefficients de décentrement sont soit simultanément nuls, soit  $D_p$  est non nul et  $D_u$  est nul, soit simultanément non nuls. Le pas d'espace  $k$  est choisi égal au pas d'espace  $h$  pour ces trois sous-cas.

•• **Cas 1.2.1** :  $Pe < 1$  :

Le nombre de Peclet est inférieur à 1, les formules (4.27) et (4.81) impliquent que  $D_u = 0$  et  $D_p = 0$ . On conserve les données précédentes :  $\vartheta = 0.5$ ,  $h = 0.02$ ,  $k = h$ . On choisit maintenant  $\varepsilon = h$ . Donc le nombre de Peclet prend la valeur  $Pe = 0.5$ . La solution discrète  $u$  du schéma boîte (4.35) est représentée sur la Figure 4.7. On constate l'apparition d'oscillations au niveau du front de la solution initiale au point  $x = 0.5$ . Ces oscillations sont de même nature que celles observées au Chapitre 1 pour le schéma boîte associé à l'équation de la chaleur. L'interprétation de ces oscillations provient du mode oscillant qui sera mis

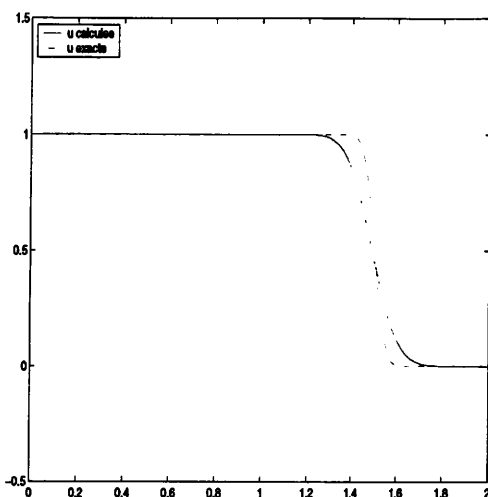


FIG. 4.6 - Cas 1.1 :  $\lambda = 1$ ,  $Pe = 25$ ,  
 $T = 1, D_u = 0.18, \vartheta = 0.5$ .

en évidence au Lemme 4.7.1. Les Figures 4.8 et 4.9 représentent la solution  $u$  du schéma (4.35), dans lequel on augmente de façon artificielle la valeur de  $\vartheta$  ou de  $D_u$ . On constate, que l'augmentation (même faible) de  $\vartheta$  atténue les oscillations, alors qu'une augmentation de  $D_u$  ou de  $D_p$  est sans conséquence sur les oscillations de la solution.

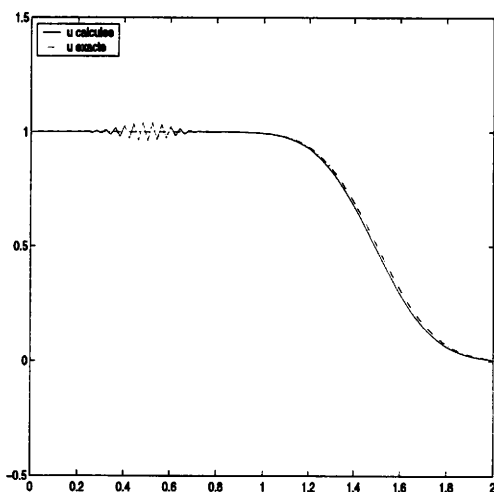


FIG. 4.7 - Cas 1.2.1 :  $\lambda = 1$ ,  $Pe = 0.5$ ,  
 $T = 1, D_u = 0, \vartheta = 0.5$ .

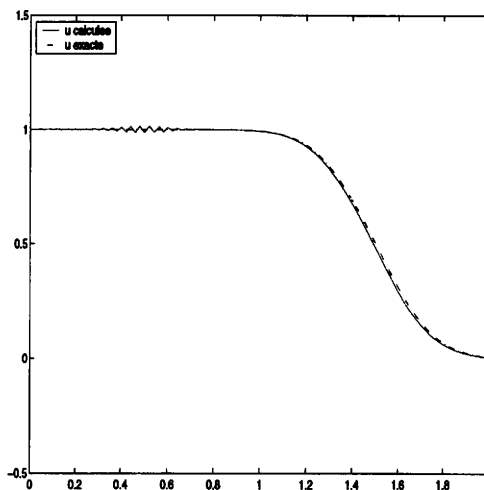


FIG. 4.8 - Cas 1.2.1 :  $\lambda = 1$ ,  $Pe = 0.5$ ,  
 $T = 1$ , augmentation de  $\vartheta = 0.505$ ,  $D_u = 0$ .

●● Cas 1.2.2 :  $1 < Pe < Pe_0 (= 2.5)$  :

Dans ce test, nous considérons les cas où le nombre de Peclet prend des valeurs comprises entre 1 et 2.5, ce qui a pour conséquence de ne plus annuler le coefficient de décentrement  $D_p$ . Pour les données  $\vartheta = 0.5$ ,  $h = 0.02$ ,  $k = h$  et  $\varepsilon = 0.006 = 0.3h$ , le nombre de Peclet

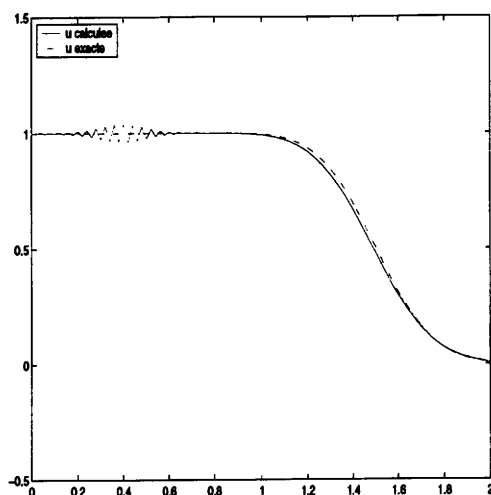


FIG. 4.9 - Cas 1.2.1 :  $\lambda = 1$ ,  $Pe = 0.5$ ,  
 $T = 1$ , augmentation de  $D_u = 0.1$ ,  $\vartheta = 0.5$ ,

est  $Pe = 5/3$ , donc  $D_p = 0.2$  par la formule (4.27) et  $D_u$  reste nul. La solution  $u$  du schéma boîte (4.35) est représentée sur la Figure 4.10. Cette fois encore les oscillations apparaissent au niveau du front de la solution initiale et sont convectées par l'équation. Une augmentation du coefficient  $\vartheta$  ou du coefficient de décentrement  $D_u$  atténuent les oscillations (Figures 4.11 et 4.12). Notons que pour des valeurs de  $\lambda < 1$ , les oscillations apparaissent après le front initial et sont convectées par l'équation. Dans ce cas, l'augmentation de  $D_u$  élimine instantanément les oscillations.

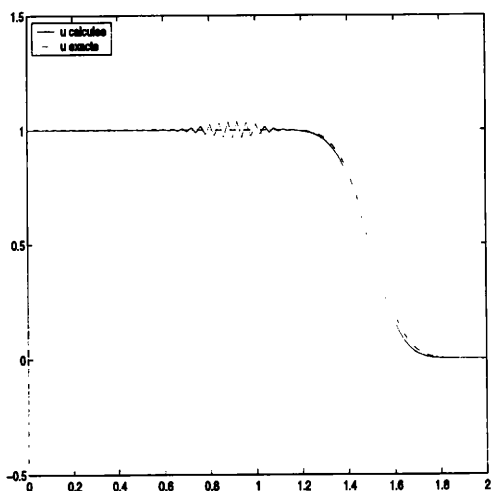


FIG. 4.10 - Cas 1.2.2 :  $\lambda = 1$ ,  $Pe = 5/3$ ,  
 $T = 1$ ,  $D_u = 0$ ,  $\vartheta = 0.5$

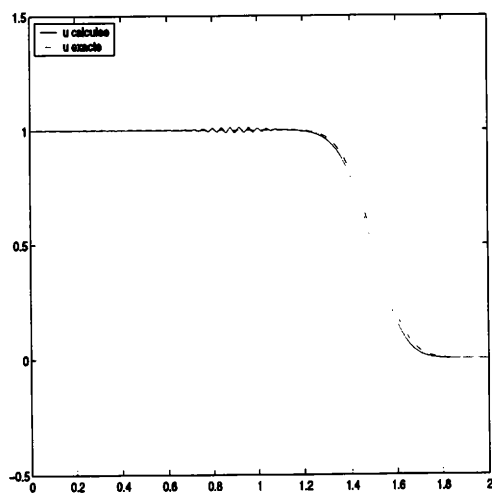


FIG. 4.11 - Cas 1.2.2 :  $\lambda = 1$ ,  $Pe = 5/3$ ,  
 $T = 1$ , augmentation de  $\vartheta = 0.505$ ,  $D_u = 0$

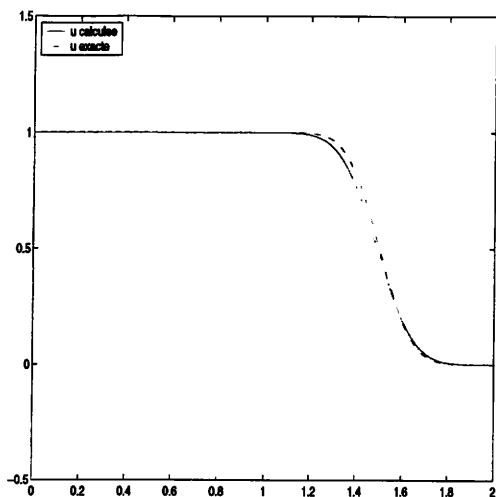


FIG. 4.12 - Cas 1.2.2 :  $\lambda = 1$ ,  $Pe = 5/3$ ,  $T = 1$ , augmentation de  $D_u = 0.1$ ,  $\vartheta = 0.5$ .

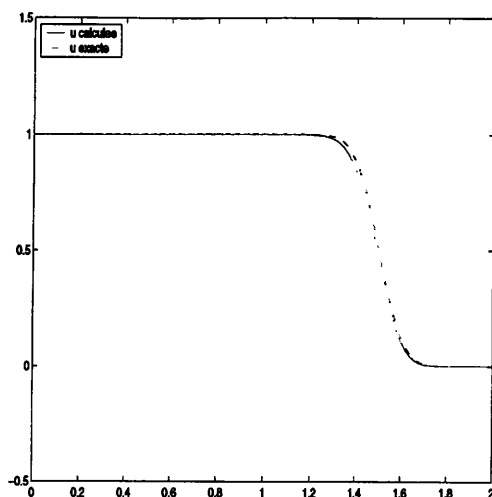


FIG. 4.13 - Cas 1.2.3 :  $\lambda = 1$ ,  $Pe = 3$ ,  $T = 1$ ,  $\vartheta = 0.5$ ,  $D_u = 0.0333$ ,  $D_p = 0.3333$ .

•• Cas 1.2.3 :  $Pe > 2.5$  :

Nous considérons le cas où le nombre de Peclet est supérieur à 2.5. Alors, les coefficients de décentrement  $D_p$  et  $D_u$  sont non nuls. Soient les données  $\vartheta = 0.5$ ,  $\varepsilon = k/6$ ,  $k = h$ ,  $h = 0.02$ , le nombre de Peclet est  $Pe = 3$ . Les coefficients de décentrement prennent les valeurs  $D_p = 0.3333$ ,  $D_u = 0.0333$ . La solution discrète du schéma est représentée sur la Figure 4.13 au bout de 50 itérations. Quelques oscillations apparaissent au niveau du front initial. Elles disparaissent assez rapidement (totalement au bout de 40 itérations).

• Cas 1.3 :  $Pe = \mathcal{O}(h)$ ,  $\lambda = \mathcal{O}(1)$

Le nombre de Peclet est inférieur à 1. Le régime d'équation est plutôt diffusif du type d'une équation de la chaleur. On observe les résultats donnés par le schéma boîte pour  $k = \mathcal{O}(h)$  ( $\lambda = \mathcal{O}(1)$ ) et non pas  $k = \mathcal{O}(h^2)$ . Le pas de temps est sélectionné en fonction du nombre de Courant  $\lambda$  et non pas en fonction du paramètre  $\mu$  qui semblerait plus approprié. Les coefficients de décentrement  $D_p$  et  $D_u$  sont donc nuls d'après les formules (4.27) et (4.81). On considère les données  $\varepsilon = 1$ ,  $\vartheta = 0.5$ ,  $h = 0.02$ ,  $k = h$ . Le nombre de Peclet est  $Pe = 10^{-2}$ . La solution  $u$  du problème (4.35) est représentée sur la Figure 4.14. Une forte oscillation apparaît au niveau du front de la solution initiale au point d'abscisse  $x = 0.5$  et n'est pas amortie. C'est un phénomène qui semble typique des schémas boîte; il entretient les oscillations au démarrage. L'augmentation de  $\vartheta$  atténue ce phénomène (Figure 4.15), comme on l'a déjà vu pour l'équation de la chaleur au Chapitre 1. L'augmentation de  $D_u$  est sans effet (Figure 4.16). On constate qu'une augmentation plus forte de  $D_u$  à la valeur 1 n'améliore pas le résultat. Noter cependant une augmentation simultanée de  $D_u$  et  $D_p$  élimine ces oscillations.

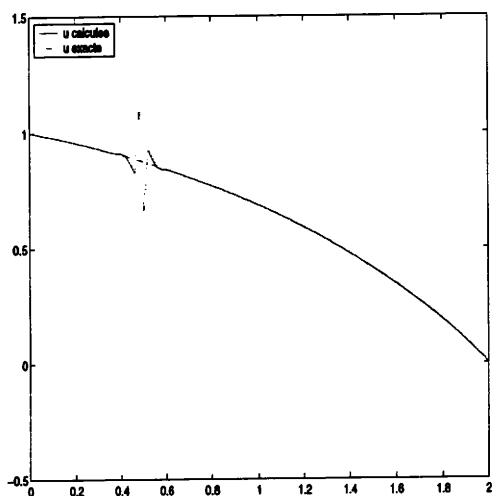


FIG. 4.14 - Cas 1.3 :  $\lambda = 1$ ,  $Pe = 10^{-2}$ ,  $T = 1$ ,  $D_u = 0$ ,  $\vartheta = 0.5$ .

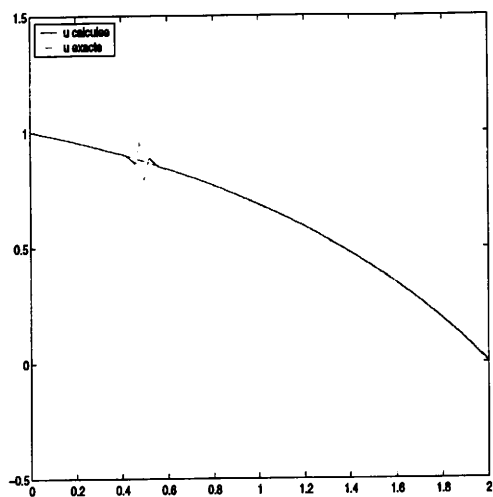


FIG. 4.15 - Cas 1.3 :  $\lambda = 1$ ,  $Pe = 10^{-2}$ ,  $T = 1$ , augmentation de  $\vartheta = 0.505$ ,  $D_u = 0$ .

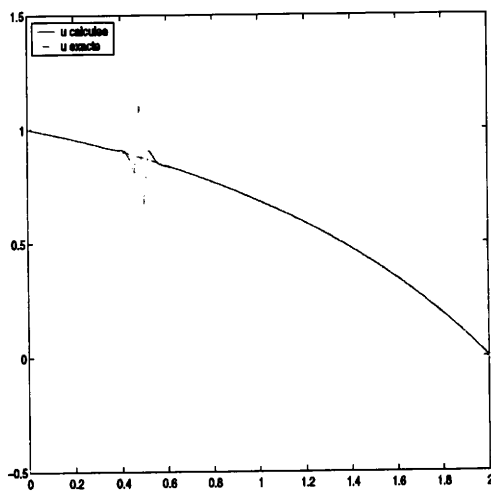


FIG. 4.16 - Cas 1.3 :  $\lambda = 1$ ,  $Pe = 10^{-2}$ ,  $T = 1$ , augmentation de  $D_u = 0.1$ ,  $\vartheta = 0.5$ .

## 2. Tests pour $\lambda = \mathcal{O}(h)$

Nous nous intéressons maintenant au cas où  $\lambda$  est d'ordre  $h$ . Le pas de temps  $k$  est donc en  $\mathcal{O}(h^2)$ ; c'est-à-dire caractéristique d'une équation de diffusion. Comme précédemment, on considère différentes valeurs du nombre de Peclet.

- **Cas 2.1** :  $Pe = \mathcal{O}(\frac{1}{h})$ ,  $\lambda = \mathcal{O}(h)$  :

Nous sommes dans un régime d'équation de type convectif, pour lequel le pas de temps est choisi en fonction de l'échelle de temps de la diffusion. Dans ce cas, les coefficients de décentrement  $D_p$  et  $D_u$  sont non nuls. Pour  $\varepsilon = h^2$ ,  $\vartheta = 0.5$ ,  $h = 0.02$ ,  $k = h^2 = 4.10^{-4}$ , le nombre de Peclet est  $Pe = 25$ . D'après les formules (4.81) et (4.27) les paramètres de décentrement sont non nuls :  $D_u = 0.18$ ,  $D_p = 0.48$ . On représente la solution du problème approché (4.35) au temps intermédiaire  $T = 0.1$  (250 itérations en temps) sur la Figure 4.17 et au temps final  $T = 1$  (2500 itérations) sur la Figure 4.18. Les oscillations présentent lors du choc s'atténuent rapidement. On obtient un profil comparable à celui obtenu pour  $\lambda = \mathcal{O}(1)$  et  $Pe = \mathcal{O}(\frac{1}{h})$  (Cas 1.2).

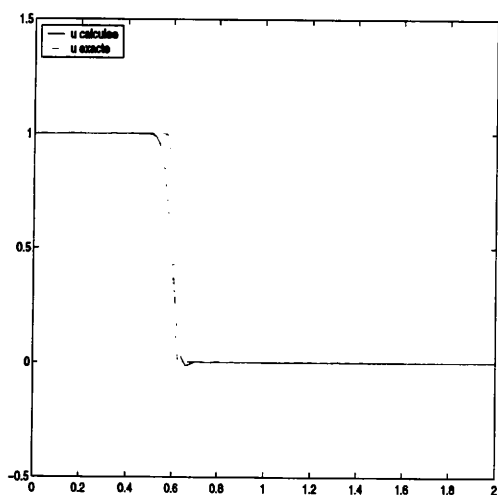


FIG. 4.17 - Cas 2.1 :  $\lambda = h$ ,  $Pe = 25$ ,  $T = 0.1$

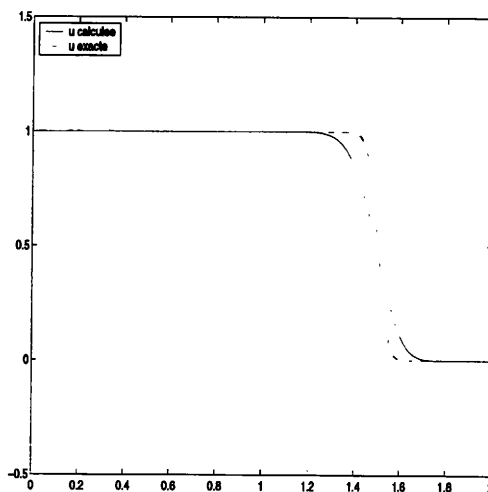


FIG. 4.18 - Cas 2.1 :  $\lambda = h$ ,  $Pe = 25$ ,  $T = 1$

- **Cas 2.2** :  $Pe = \mathcal{O}(1)$ ,  $\lambda = \mathcal{O}(h)$  :

On reprend les tests effectués au Cas 1.2. La solution discrète  $u$  du schéma est représentée sur les Figures 4.19, 4.20 et 4.21, pour des nombres de Peclet respectivement égaux à  $Pe = 0.5$ ,  $Pe = 5/3$  et  $Pe = 3$ . Contrairement au Cas 1.2, le pas de temps est assez petit pour prendre en compte le front de la solution initiale. Les oscillations sont de plus faible amplitude que dans les cas 1.2.1 et 1.2.2.

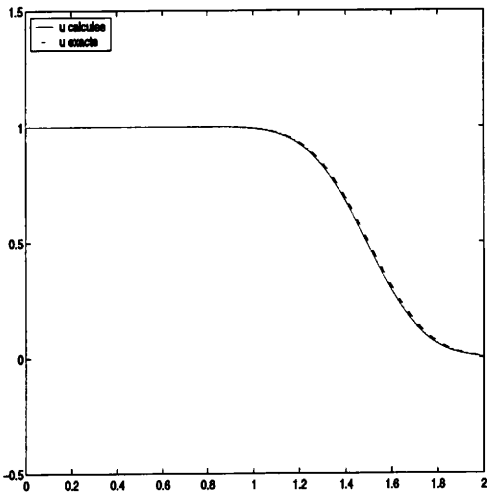


FIG. 4.19 – Cas 2.2.1 :  $\lambda = h$ ,  $Pe = 0.5$ ,  
 $T = 1$ ,  $D_u = 0$ ,  $\vartheta = 0.5$ ,  $\varepsilon = h = 0.02$ ,  
 $D_p = 0$

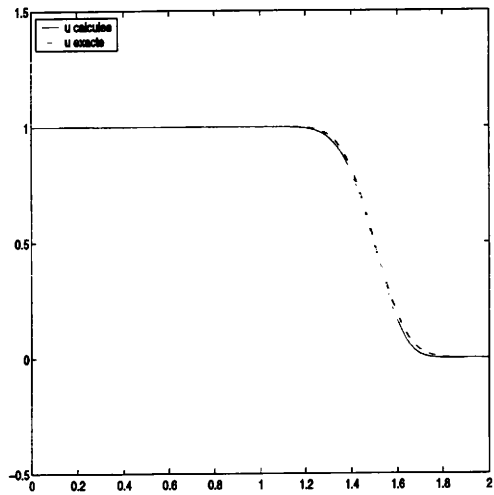


FIG. 4.20 – Cas 2.2.2 :  $\lambda = h$ ,  $Pe = 5/3$ ,  
 $T = 1$ ,  $D_u = 0$ ,  $\vartheta = 0.5$ ,  $\varepsilon = 6.10^{-3}$ ,  
 $D_p = 0.2$

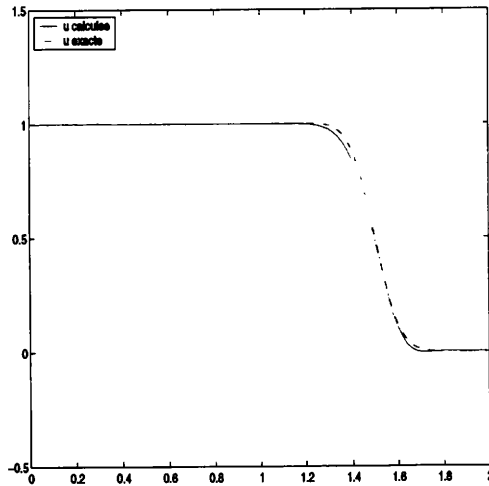


FIG. 4.21 – Cas 2.2.3 :  $\lambda = h$ ,  $Pe = 3$ ,  
 $T = 1$ ,  $D_u = 0.0033$ ,  $\vartheta = 0.5$ ,  $\varepsilon = h/6$ ,  
 $D_p = 0.3333$

• Cas 2.3 :  $Pe = \mathcal{O}(h)$

Puisque le nombre de Peclet est de l'ordre du pas d'espace, nous sommes dans un régime de type diffusif simulé avec un pas de temps convenable pour la diffusion ( $k = \mathcal{O}(h^2)$ ). Donc, les coefficients de décentrement sont nuls. Pour des valeurs du coefficient de diffusion  $\varepsilon = 1$  et des paramètres  $\vartheta = 0.5$ ,  $h = 0.02$ ,  $k = h^2 = 4.10^{-4}$ , le nombre de Peclet est  $Pe = 10^{-2}$ . On représente la solution du schéma boîte (4.35) au temps intermédiaire  $T = 0.1$  (sur la Figure 4.22) qui correspond à 250 itérations en temps et au temps final  $T = 1$  (sur la Figure 4.25),

pour 2500 itérations. Des oscillations apparaissent au niveau du front initial et s'atténuent lentement. L'augmentation de la valeur de  $\vartheta$  accélère ce phénomène (Figure 4.23). Dans le premier cas les oscillations autour de  $x = 0.5$  subsistent assez longtemps. Elles s'atténuent au bout de 250 itérations si  $\theta = 0.505$  et au bout de 500 itérations si  $D_u = 0.1$ . En diminuant le pas de temps, la solution calculée  $u$  présente moins d'oscillations et converge vers la solution exacte. Nous constatons que la diminution du pas de temps contribue à l'étalement des oscillations. Ce phénomène s'explique probablement par l'augmentation du coefficient  $E_3$  de l'équation équivalente (4.74) ; c'est-à-dire de la dispersion du schéma.

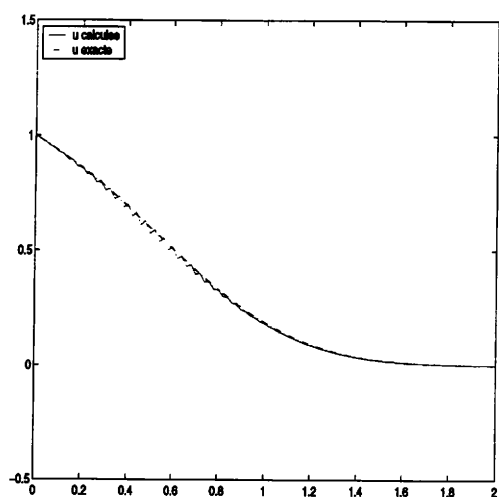


FIG. 4.22 - Cas 2.3 :  $\lambda = h$ ,  $Pe = 10^{-2}$ ,  $T = 0.1$ ,  $D_u = 0$ ,  $\vartheta = 0.5$

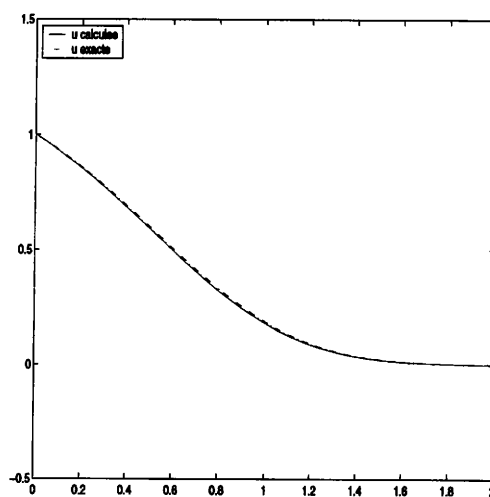


FIG. 4.23 - Cas 2.3 :  $\lambda = h$ ,  $Pe = 10^{-2}$ ,  $T = 0.1$ , augmentation de  $\vartheta = 0.505$ ,  $D_u = 0$

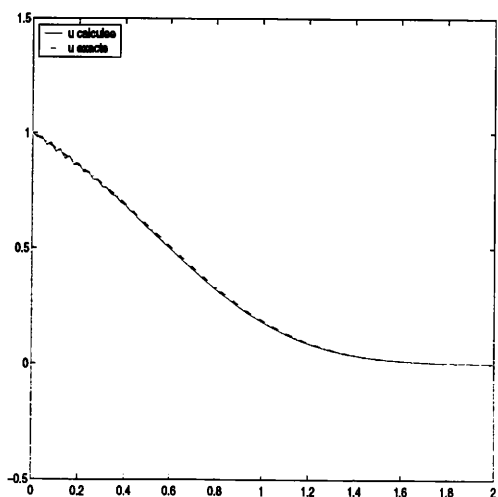


FIG. 4.24 - Cas 2.3 :  $\lambda = h$ ,  $Pe = 10^{-2}$ ,  $T = 0.1$ , augmentation de  $D_u = 0.1$ ,  $\vartheta = 0.5$

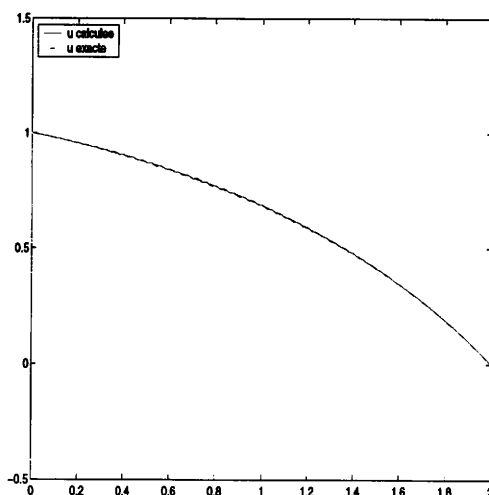


FIG. 4.25 - Cas 2.3 :  $\lambda = h$ ,  $Pe = 10^{-2}$ ,  $T = 1$ ,  $D_u = 0$ ,  $\vartheta = 0.5$

On remarque donc que dans certains cas, un mode oscillant vient parasiter la solution du schéma boîte. Toutefois, une augmentation de  $\vartheta$  permet toujours de réduire le phénomène d'oscillation jusqu'à l'éliminer complètement. A noter qu'une augmentation artificielle du coefficient de décentrement  $D_u$  lorsqu'il est nul a une action similaire à celle de  $\vartheta$ , si le coefficient de décentrement  $D_p$  est non nul. Nous allons maintenant interpréter ce phénomène par l'étude du facteur d'amplification  $g$  de la formulation en  $u$  du schéma boîte (4.35).

### 4.7.3 Interprétation

Dans cette partie, nous allons donner une explication des oscillations produites par le schéma à l'aide d'une étude du facteur d'amplification du schéma boîte. Le facteur d'amplification est donné par la formule (4.82) :

$$g(\theta) = \frac{g_1(\theta)}{g_2(\theta)} = \frac{b_0 + (b_1 + b_{-1}) \cos \theta + i(b_1 - b_{-1}) \sin \theta}{a_0 + (a_1 + a_{-1}) \cos \theta + i(a_1 - a_{-1}) \sin \theta}, \quad \theta \in [0, 2\pi[$$

sa valeur en  $\pi$  est

$$g(\pi) = \frac{b_0 - (b_1 + b_{-1})}{a_0 - (a_1 + a_{-1})} \quad (4.102)$$

#### Lemme 4.7.1

$$g(\pi) = -1 \quad \text{si et seulement si} \quad \left( D_p \tilde{D}_u = 0 \quad \text{et} \quad 2\vartheta - 1 = 0 \right) \quad (4.103)$$

#### Preuve du Lemme 4.7.1 :

Par définition de  $g$  et en utilisant les formules (4.52), on a

$$\begin{aligned} g(\pi) = -1 &\iff b_0 + a_0 - (b_1 + b_{-1} + a_1 + a_{-1}) = 0 \\ &\iff 2D_p \tilde{D}_u - \mu(1 - 2\vartheta) = 0 \end{aligned} \quad (4.104)$$

Or,  $D_p$  et  $\tilde{D}_u$  sont du signe de  $c$ , leur produit est donc positif. D'autre part,  $\vartheta \in [\frac{1}{2}, 1]$ , donc  $1 - 2\vartheta \leq 0$ . Ainsi,  $2D_p \tilde{D}_u \geq 0$  et  $-\mu(1 - 2\vartheta) \geq 0$ , puisque  $\mu > 0$ . Ceci prouve le résultat. ■

En particulier si la solution  $u$  calculée par le schéma boîte présente à un instant donné une oscillation, celle-ci est automatiquement amplifiée par un facteur  $+1$  ou  $-1$  à chaque pas de temps suivant. Ce qui donne naissance à un mode oscillant qui parasite la solution. Ce lemme explique en particulier certains phénomènes oscillatoires, tels que ceux mis en évidence au Cas 1.2 ( $\lambda = \mathcal{O}(1)$ ,  $Pe = \mathcal{O}(1)$ ). En effet :

- pour le Cas 1.2.1,  $Pe < 1$  donne  $D_u = D_p = 0$  et si  $\vartheta = \frac{1}{2}$ , alors  $g(\pi) = -1$ . La Figure 4.7 représente le mode oscillant lié au créneau initial. Seule une augmentation de  $\vartheta$  permet d'avoir  $g(\pi) \neq -1$ , comme cela est constaté sur les Figures 4.8 et 4.9.
- de même pour le Cas 1.2.2,  $1 < Pe < Pe_0$  donne  $D_p \neq 0$  et  $D_u = 0$ . Si  $\vartheta = \frac{1}{2}$ , alors  $g(\theta) = -1$ . On constate effectivement sur la Figure 4.10, l'apparition d'un mode oscillant. En augmentant  $\vartheta$  ou  $D_u$ , on obtient  $g(\pi) \neq -1$  (voir les Figures 4.11 et 4.12).

• enfin pour le Cas 1.2.3,  $Pe > Pe_0$  donne  $D_p \neq 0$  et  $D_u \neq 0$ , donc  $g(\pi) \neq -1$ . On constate effectivement l'absence d'oscillations dans ce cas (Figure 4.13).

D'autre part, si le coefficient de décentrement  $D_u$  calculé par la formule (4.81), est non nul, alors le décentrement  $D_p$  est également non nul par la formule (4.27). Dans ce cas,  $D_p \bar{D}_u$  est non nul qui implique que  $g(\pi) \neq -1$ . On constate effectivement que pour les cas  $Pe > Pe_0$ , aucun mode oscillant n'apparaît.

Dans tous les cas, pour une valeur du paramètre  $\vartheta > \frac{1}{2}$ , on a  $g(\pi) \neq -1$ , donc l'augmentation de  $\vartheta$  permet d'éliminer certains phénomènes oscillatoires.

#### 4.7.4 Un cas test pour une équation de convection-diffusion à fort contraste de coefficient de diffusion

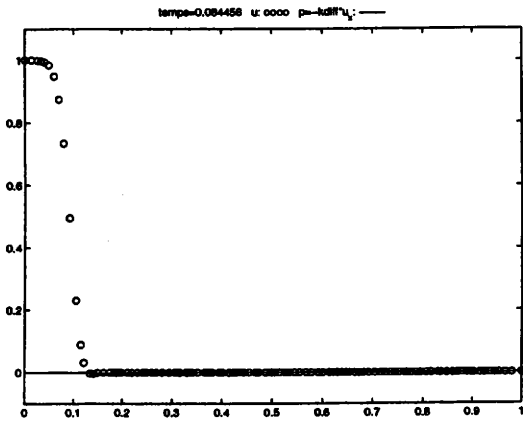
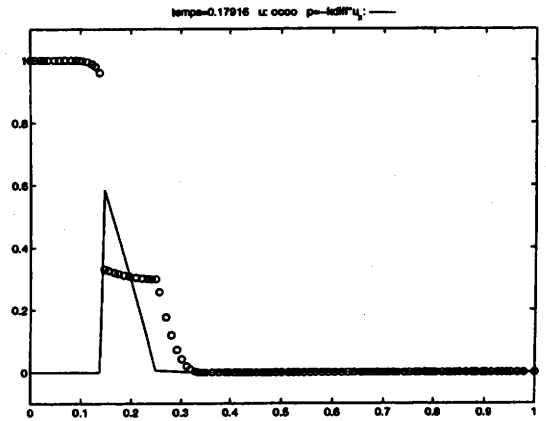
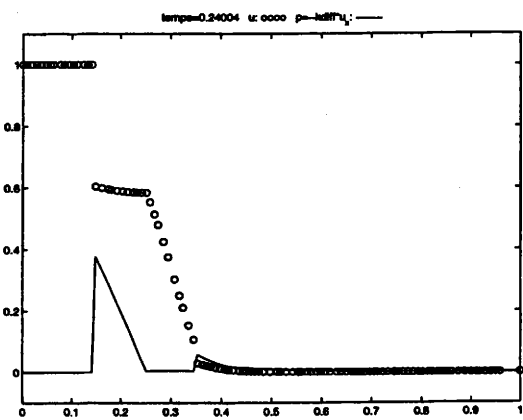
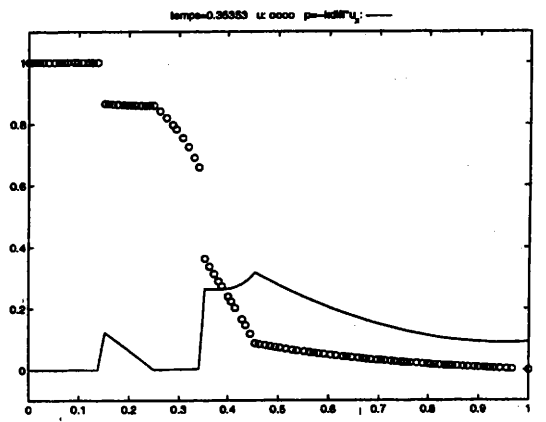
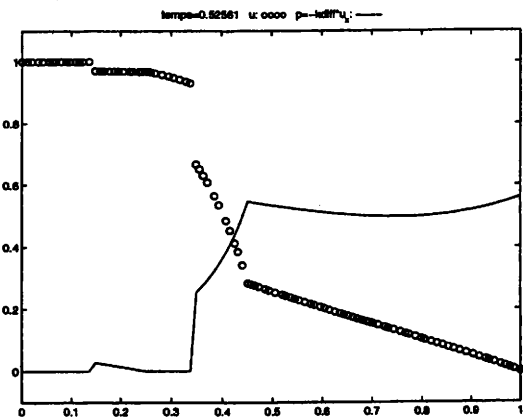
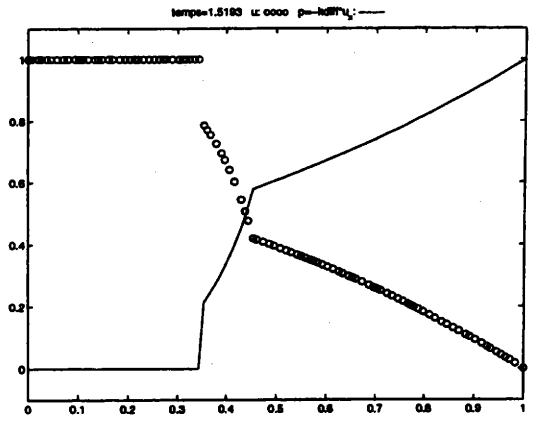
Nous considérons le problème, [20],

$$\begin{cases} u_t + u_x - (\varepsilon(x)u_x)_x = 0 & x \in ]0, 1] \\ u(x, 0) = u_0(x), & x \in ]0, 1] \\ u(0, t) = 1, \quad u(1, t) = 0 \end{cases} \quad (4.105)$$

où le coefficient de diffusion est donné par  $\varepsilon(x) = \begin{cases} 10^{-6} & 0 < x < 0.15 \\ 1 & 0.15 < x < 0.25 \\ 10^{-3} & 0.25 < x < 0.35 \\ 10^{-1} & 0.35 < x < 0.45 \\ 1 & 0.45 < x < 1 \end{cases}$

La solution initiale est  $u_0(x) = \begin{cases} 1 & \text{si } x = 0 \\ 0 & \text{sinon} \end{cases}$

Le schéma calcule simultanément  $u$  et le flux  $p = -(\varepsilon(x)u_x)$  par la résolution du système (4.48) et la reconstruction (4.49). Le pas de temps est choisi automatiquement par  $\frac{k}{\max(h_{j-1/2})} = 0.5$ . On calcule la solution pour 100 cellules,  $\vartheta = 0.5$ . Les paramètres  $D_{u,j-1/2}$  et  $D_{p,j-1/2}$  sont donnés dans chaque boîte par les formules (4.27), (4.81). Les Figures 4.26 à 4.31 représentent les fonctions  $u(x)$ ,  $p(x) = -\varepsilon u_x$  au temps  $T1 = 0.084$ ,  $T2 = 0.175$ ,  $T3 = 0.238$ ,  $T4 = 0.35$ ,  $T5 = 0.525$ ,  $T6 = 1.519$ .  $u$  est représentée par des cercles et le flux  $p$  en trait continu. Le pas d'espace varie dans chaque boîte  $K_{j-1/2}$ . Le nombre CFL local  $\lambda_{j-1/2}$  est représenté sur la Figure 4.32. Le coefficient local  $\mu_{j-1/2}$  est représenté sur la Figure 4.33. On peut noter un bon comportement du schéma, qui passe dans tous les régimes du nombre de Peclet. Le saut du coefficient de diffusion  $\varepsilon(x)$  ne gêne pas.

FIG. 4.26 - 100 points,  $T_1$ FIG. 4.27 - 100 points,  $T_2$ FIG. 4.28 - 100 points,  $T_3$ FIG. 4.29 - 100 points,  $T_4$ FIG. 4.30 - 100 points,  $T_5$ FIG. 4.31 - 100 points,  $T_6$ 

## 4.8 Convection diffusion 2d

### 4.8.1 Introduction

Après avoir étudié une version "boîte" du problème de convection-diffusion instationnaire en dimension 1, nous proposons une méthode simple permettant de généraliser ce

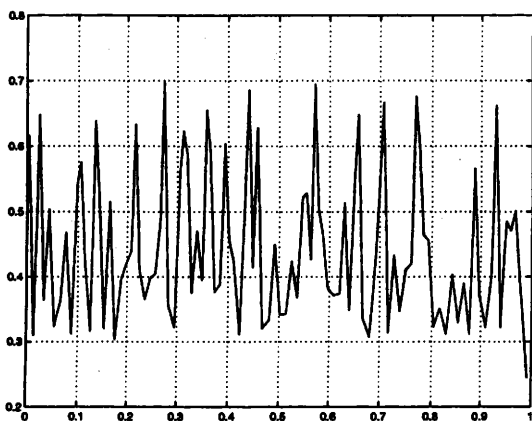
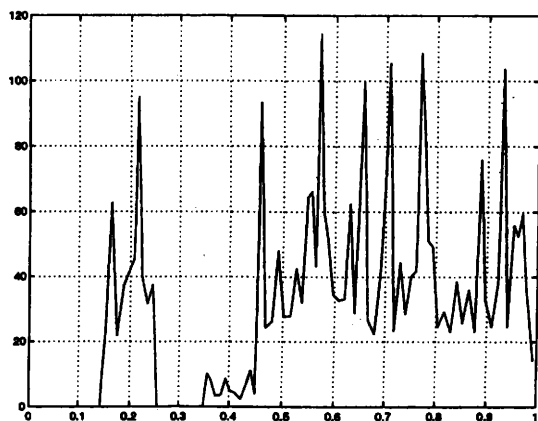
FIG. 4.32 – Représentation de  $\lambda$  pour ce testFIG. 4.33 – Représentation de  $\mu$  pour ce test

schéma en dimension 2, sur des maillages rectangulaires, notamment concernant le choix des valeurs de décentrement pour les variables de vitesse  $u$  et de pression  $p$  introduites en dimension 1. Nous nous intéressons aux techniques de splitting, plus particulièrement à la méthode ADI (Alternating Direction Implicit) introduite par Peaceman et Rachford en 1955 [37]. En effet cette technique permet de passer de schémas 1d à leurs généralisation en 2d assez rapidement. En particulier, la méthode ADI présente l'avantage de pouvoir réaliser des tests numériques basés sur les réglages des paramètres de décentrement en dimension 1. Elle ne nécessite pas une étude approfondie de type analyse numérique du schéma boîte 2d pour le choix des décentrement bidimensionnels qui semble plus compliquée. Dans ce paragraphe, nous rappelons la méthode ADI pour l'équation de la chaleur, telle qu'elle est introduite dans [42]. Ensuite, nous adaptons cette méthode pour l'étude de l'équation de convection-diffusion. Puis, nous réalisons l'analyse numérique du schéma boîte ADI ainsi obtenu. Nous concluons ce Chapitre par quelques tests numériques.

Considérons un domaine rectangulaire  $\Omega$  de frontière  $\Gamma = \partial\Omega = \Gamma_D \cup \Gamma_N$ , régulière et le problème de convection-diffusion :

$$\begin{cases} u_t + c \cdot \nabla u - \operatorname{div}(\varepsilon \nabla u) = f(x, y, t), & \varepsilon > 0, & (x, y) \in \Omega, & t > 0 \\ u(x, y, 0) = u_0(x, y), & & (x, y) \in \Omega & \\ u|_{\Gamma} = g, & & (x, y) \in \Gamma_D & \\ \nabla u \cdot \nu = g_N, & & (x, y) \in \Gamma_N & \end{cases} \quad (4.106)$$

de forme mixte :

$$\begin{cases} u_t + c \cdot \nabla u + \operatorname{div} p = f(x, y, t), & (x, y) \in \Omega, & t > 0 \\ p = -\varepsilon \nabla u, & & (x, y) \in \Omega, & \varepsilon > 0 \\ u(x, y, 0) = u_0(x, y), & & (x, y) \in \Omega & \\ u|_{\Gamma} = g, & & (x, y) \in \Gamma_D & \\ \nabla u \cdot \nu = g_N, & & (x, y) \in \Gamma_N & \end{cases} \quad (4.107)$$

où  $\nu$  désigne le vecteur unitaire normal à la frontière du domaine orienté vers l'extérieur. Nous supposons dans la suite la donnée au bord de type Dirichlet sur toute la frontière  $\Gamma$ . Rappelons que

**Lemme 4.8.1** *Ce problème admet une unique solution dans  $C_b^0([0, T]; L^2(\Omega)) \cap C^\infty(\Omega \times ]0, T])$  pour  $f$  donnée dans  $C_b^0([0, T]; L^2(\Omega))$ .*

## 4.8.2 La méthode ADI pour l'équation de la chaleur

Dans cette partie, nous rappelons le principe de la méthode ADI décrit dans Strikwerda [42], dans le cas de l'équation de la chaleur. Considérons l'équation :

$$u_t = \varepsilon_1 u_{xx} + \varepsilon_2 u_{yy}, \quad \varepsilon_1, \varepsilon_2 > 0 \quad (4.108)$$

Soient  $A_1$  et  $A_2$  les opérateurs linéaires définis par

$$\begin{aligned} A_1 u &= \varepsilon_1 u_{xx} \\ A_2 u &= \varepsilon_2 u_{yy} \end{aligned} \quad (4.109)$$

La méthode ADI permet de résoudre le problème

$$u_t = A_1 u + A_2 u \quad (4.110)$$

à l'aide des deux problèmes monodimensionnels  $u_t = A_1 u$  et  $u_t = A_2 u$ . En discrétisant l'équation (4.110) par la méthode de Crank-Nicholson, on obtient l'identité

$$\frac{u^{n+1} - u^n}{k} = \frac{1}{2}(A_1 u^{n+1} + A_1 u^n) + \frac{1}{2}(A_2 u^{n+1} + A_2 u^n) + O(k^2) \quad (4.111)$$

Ou encore, si  $I$  désigne l'opérateur identité

$$(I - \frac{k}{2}A_1 - \frac{k}{2}A_2)u^{n+1} = (I + \frac{k}{2}A_1 + \frac{k}{2}A_2)u^n + O(k^3) \quad (4.112)$$

En rajoutant de part et d'autre de l'égalité (4.112) le terme  $\frac{k^2}{4}A_1 A_2 u^{n+1}$ , puis en factorisant, nous obtenons :

$$(I - \frac{k}{2}A_1)(I - \frac{k}{2}A_2)u^{n+1} = (I + \frac{k}{2}A_1)(I + \frac{k}{2}A_2)u^n + \frac{k^2}{4}A_1 A_2 (u^{n+1} - u^n) + O(k^3) \quad (4.113)$$

D'autre part,  $u^{n+1} = u^n + O(k)$ , donc l'expression (4.113) se réécrit :

$$(I - \frac{k}{2}A_1)(I - \frac{k}{2}A_2)u^{n+1} = (I + \frac{k}{2}A_1)(I + \frac{k}{2}A_2)u^n + O(k^3) \quad (4.114)$$

La solution exacte  $u(\cdot, t)$  du problème (4.108) vérifie l'équation (4.114). On considère maintenant le problème approché :

$$(I - \frac{k}{2}A_1)(I - \frac{k}{2}A_2)u^{n+1} = (I + \frac{k}{2}A_1)(I + \frac{k}{2}A_2)u^n \quad (4.115)$$

que l'on discrétise en espace en approchant les opérateurs continus  $A_1$  et  $A_2$  par les opérateurs discrets  $A_{1,h}$  et  $A_{2,h}$ . On obtient le schéma :

$$(I - \frac{k}{2}A_{1,h})(I - \frac{k}{2}A_{2,h})u^{n+1} = (I + \frac{k}{2}A_{1,h})(I + \frac{k}{2}A_{2,h})u^n \quad (4.116)$$

La discrétisation classique du laplacien donne, dans le cas de l'équation de la chaleur, des matrices de tridiagonales  $A_{1,h}$  et  $A_{2,h}$  telles que :

$$\begin{aligned} A_{1,h} u_{i,j} &= \varepsilon_1 \frac{u_{i+1,j} - 2u_{i,j} + u_{i-1,j}}{h^2} \\ A_{2,h} u_{i,j} &= \varepsilon_2 \frac{u_{i,j+1} - 2u_{i,j} + u_{i,j-1}}{h^2} \end{aligned}$$

L'algorithme de Thomas permet alors de résoudre le système tridiagonal rapidement. Pour résoudre (4.116), Peaceman et Rachford proposent l'algorithme suivant [37, 25, 24] :

$$\begin{cases} (I - \frac{k}{2} A_{1,h}) \tilde{u}^{n+1/2} = (I + \frac{k}{2} A_{2,h}) u^n \\ (I - \frac{k}{2} A_{2,h}) u^{n+1} = (I + \frac{k}{2} A_{1,h}) \tilde{u}^{n+1/2} \end{cases} \quad (4.117)$$

L'algorithme (4.117) est appelé la méthode ADI (Alternating Direction Implicit). On alterne la résolution du problème entre une passe selon la direction ( $Ox$ ) et une passe selon la direction ( $Oy$ ). Dans un premier temps, on calcule de façon implicite  $\tilde{u}^{n+1/2}$  en fonction de  $u^n$ , ensuite on calcule  $u^{n+1}$  en fonction de la variable auxiliaire  $\tilde{u}^{n+1/2}$ . Dans chaque passe, on utilise uniquement le schéma 1d correspondant à l'opérateur spatial  $A_i$ ,  $i = 1, 2$ .

**Lemme 4.8.2** *Cette méthode est inconditionnellement stable au sens de Von Neumann.*

**Preuve :**

Ce résultat se démontre par le calcul du facteur d'amplification du schéma [42]. En remplaçant  $u_{i,m}^n$  par  $g^n e^{i\theta} e^{im\phi}$  et  $\tilde{u}_{i,m}^{n+1/2}$  par  $\tilde{g} g^n e^{i\theta} e^{im\phi}$ , on obtient

$$\begin{cases} (1 + 2\mu_1 \sin^2 \frac{\theta}{2}) \tilde{g} = (1 - 2\mu_2 \sin^2 \frac{\phi}{2}) \\ (1 + 2\mu_2 \sin^2 \frac{\phi}{2}) g = (1 - 2\mu_1 \sin^2 \frac{\theta}{2}) \tilde{g} \end{cases} \quad (4.118)$$

Ce qui donne

$$g(\theta, \phi) = \frac{(1 - 2\mu_1 \sin^2 \frac{\theta}{2}) (1 - 2\mu_2 \sin^2 \frac{\phi}{2})}{(1 + 2\mu_1 \sin^2 \frac{\theta}{2}) (1 + 2\mu_2 \sin^2 \frac{\phi}{2})} \quad (4.119)$$

Puisque  $\mu_1, \mu_2 > 0$ , on a  $\sup_{\theta, \phi} |g(\theta, \phi)| \leq 1$ . Ce qui donne le résultat. ■

### 4.8.3 La méthode ADI pour le problème de convection-diffusion

On généralise la méthode ADI pour le problème de convection-diffusion de terme source  $f$  non nul. Soit l'équation de convection-diffusion linéaire de terme source  $f \in C_b^0([0, T]; L^2(\Omega))$  :

$$u_t + c \cdot \nabla u - \varepsilon \Delta u = f(x, y, t) \quad (4.120)$$

Soient  $A_1$  et  $A_2$  sont les opérateurs spatiaux définis par

$$\begin{aligned} A_1 u &= -c_1 u_x + \varepsilon_1 u_{xx}, \\ A_2 u &= -c_2 u_y + \varepsilon_2 u_{yy}, \end{aligned} \quad (4.121)$$

l'équation (4.120) se réécrit sous la forme

$$u_t - A_1 u - A_2 u = f(x, y, t) \quad (4.122)$$

Discretisons en temps l'équation (4.120) à l'aide d'un  $\vartheta$ -schéma pour des valeurs  $\vartheta$  variant entre 0 et 1. Si  $u$  est la solution exacte de (4.120) dans  $C^0([0, +\infty[; L^2(\Omega)) \cap C^\infty(]0, \infty[ \times \Omega)$ ,

$$\frac{u^{n+1} - u^n}{k} = \vartheta[(A_1 u)^{n+1} + (A_2 u)^{n+1} + f^{n+1}] + (1 - \vartheta)[(A_1 u)^n + (A_2 u)^n + f^n] + O(k^2) \quad (4.123)$$

où  $u^{n+1} = u(x, y, t^{n+1})$  et  $u^n = u(x, y, t^n)$  désignent les valeurs prises par la solution exacte au point de coordonnées  $(x, y)$  dans le domaine  $\Omega$ , aux instants respectifs  $t^{n+1}$  et  $t^n$ ,  $k$  désigne le pas de temps associé à la méthode défini par :  $k = t^{n+1} - t^n$ .

L'égalité (4.123) est équivalente à

$$u^{n+1} - k\vartheta(A_1 u)^{n+1} - k\vartheta(A_2 u)^{n+1} = u^n + k(1 - \vartheta)(A_1 u)^n + k(1 - \vartheta)(A_2 u)^n + k\vartheta f^{n+1} + k(1 - \vartheta)f^n + O(k^3)$$

$A_1$  et  $A_2$  sont des opérateurs spatiaux indépendants du temps. Donc, en notant  $I$  l'opérateur identité, on obtient :

$$[I - k\vartheta A_1 - k\vartheta A_2]u^{n+1} = [I + k(1 - \vartheta)A_1 + k(1 - \vartheta)A_2]u^n + k(\vartheta f^{n+1} + (1 - \vartheta)f^n) + O(k^3) \quad (4.124)$$

Nous ajoutons et soustrayons dans les deux membres de l'égalité (4.124) les termes  $k^2\vartheta^2 A_1 A_2 u^{n+1}$  et  $k^2(1 - \vartheta)^2 A_1 A_2 u^n$ , on obtient

$$(I - k\vartheta A_1)(I - k\vartheta A_2)u^{n+1} = (I + k(1 - \vartheta)A_1)(I + k(1 - \vartheta)A_2)u^n + k\vartheta f^{n+1} + k(1 - \vartheta)f^n - k^2(1 - \vartheta)^2 A_1 A_2 u^n + k^2\vartheta^2 A_1 A_2 u^{n+1} + O(k^3) \quad (4.125)$$

qui est équivalent à

$$(I - k\vartheta A_1)(I - k\vartheta A_2)u^{n+1} = (I + k(1 - \vartheta)A_1)(I + k(1 - \vartheta)A_2)u^n + k(\vartheta f^{n+1} + (1 - \vartheta)f^n) + k^2[(2\vartheta - 1)A_1 A_2 u^n + \vartheta^2 A_1 A_2 (u^{n+1} - u^n)] + O(k^3) \quad (4.126)$$

D'autre part,  $u^{n+1} - u^n$  est d'ordre  $k$ , c'est à dire  $u^{n+1} - u^n = O(k)$ . L'expression (4.126) se réécrit donc :

$$(I - k\vartheta A_1)(I - k\vartheta A_2)u^{n+1} = (I + k(1 - \vartheta)A_1)(I + k(1 - \vartheta)A_2)u^n + k(\vartheta f^{n+1} + (1 - \vartheta)f^n) + k^2(2\vartheta - 1)A_1 A_2 u^n + O(k^3) \quad (4.127)$$

Ainsi, le schéma est d'ordre  $(2\vartheta - 1)k + O(k^2)$  en temps, en particulier d'ordre 2 si  $\vartheta = \frac{1}{2}$ , d'ordre 1 sinon. Par la suite, nous considérons le problème semi-discretisé en temps

$$(I - k\vartheta A_1)(I - k\vartheta A_2)u^{n+1} = (I + k(1 - \vartheta)A_1)(I + k(1 - \vartheta)A_2)u^n + k(\vartheta f^{n+1} + (1 - \vartheta)f^n) \quad (4.128)$$

**Remarque :**

Si elle existe, la solution  $u$  du problème stationnaire associé au problème semi-discret en temps (4.128), vérifie

$$k(1 - 2\vartheta)A_1A_2u + (A_1 + A_2)u + f = 0 \quad (4.129)$$

En particulier, si  $\vartheta = \frac{1}{2}$ , l'équation (4.129) devient l'équation continue du problème stationnaire associé au problème instationnaire (4.128).

Avant de discrétiser en espace le problème (4.128), définissons un maillage du domaine rectangulaire  $\Omega$ . On suppose que les côtés horizontaux de  $\Omega$  sont divisés en  $J_x + 1$  points équidistants et que les côtés verticaux sont divisés en  $J_y + 1$  points équidistants. On relie les points face à face de façon à obtenir un maillage du domaine  $\Omega$  en  $J_x J_y$  boîtes équivalentes. Les dimensions d'une boîte sont notées  $h_x$  et  $h_y$  (Figure 4.34).

Pour approcher les opérateurs spatiaux continus  $A_1$  et  $A_2$ , nous utilisons les opérateurs boîte

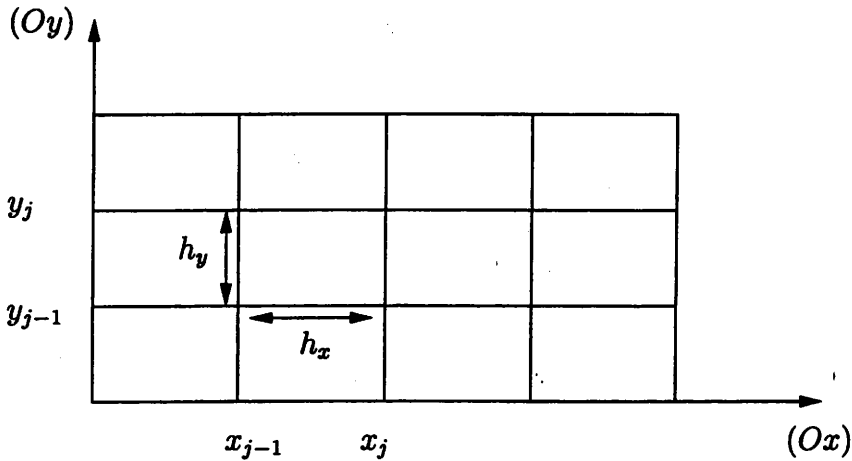


FIG. 4.34 - Maillage du domaine  $\Omega$

en dimension 1. Nous avons vu (4.48) que le schéma boîte pour le problème de convection-diffusion 1d homogène est

$$(B - k\vartheta C)u^{n+1} = (B + k(1 - \vartheta)C)u^n \quad (4.130)$$

où les opérateurs boîte  $B$ ,  $C$  sont donnés par les formules (4.45-4.46). Puisque la matrice  $B$  est inversible, la formulation en  $u$  se réécrit encore sous la forme :

$$(I - k\vartheta A)u^{n+1} = (I + k(1 - \vartheta)A)u^n \quad (4.131)$$

où  $A = B^{-1}C$ . Soient  $B_x$ ,  $C_x$  et  $B_y$ ,  $C_y$  les opérateurs boîte 1d dans chaque direction  $(Ox)$ ,  $(Oy)$ . On définit  $A_x = B_x^{-1}C_x$  et  $A_y = B_y^{-1}C_y$ . Soient les schémas boîte 1d selon les directions  $(Ox)$  et  $(Oy)$

$$\begin{aligned} (i) \quad (I - k\theta A_x)u^{n+1} &= (I + k(1 - \theta)A_x)u^n \\ (ii) \quad (I - k\theta A_y)u^{n+1} &= (I + k(1 - \theta)A_y)u^n \end{aligned} \quad (4.132)$$

associés respectivement aux problèmes de convection-diffusion 1d selon les directions respectives  $(Ox)$  et  $(Oy)$  :

$$\begin{aligned} u_t - c_1 u_x + \varepsilon_1 u_{xx} &= 0 \\ u_t - c_2 u_x + \varepsilon_2 u_{yy} &= 0 \end{aligned} \quad (4.133)$$

Nous obtenons le schéma discrétisé en temps et en espace associé au problème initial (4.106), en approchant les opérateurs continus en espaces  $I - k\vartheta A_i$  et  $I + k(1 - \vartheta)A_i$ ,  $i = 1, 2$ , par les opérateurs boîte  $I - k\vartheta A$  et  $I + k(1 - \vartheta)A$  dans les directions  $(Ox)$  et  $(Oy)$ , de la façon suivante :

- $I - k\vartheta A_1$  approché par  $I - k\vartheta A_x$ , opérateur boîte 1d selon la direction  $(Ox)$  du domaine
- $I - k\vartheta A_2$  approché par  $I - k\vartheta A_y$ , opérateur boîte 1d selon la direction  $(Oy)$  du domaine
- $I + k(1 - \vartheta)A_1$  approché par  $I + k(1 - \vartheta)A_x$
- $I + k(1 - \vartheta)A_2$  approché par  $I + k(1 - \vartheta)A_y$ .

**Définition 4.8.1** *La formulation en  $u$  du schéma boîte-ADI 2d pour le problème de convection-diffusion s'écrit alors :*

$$(I - k\vartheta A_x)(I - k\vartheta A_y)u^{n+1} = (I + k(1 - \vartheta)A_x)(I + k(1 - \vartheta)A_y)u^n + k(\vartheta f^{n+1} + (1 - \vartheta)f^n) \quad (4.134)$$

Sa résolution se fait à l'aide de l'algorithme de Peaceman-Rachford en deux étapes par la proposition suivante.

**Proposition 4.8.1 (Algorithme de Peaceman-Rachford)**

*Le seul quadruplet  $(\alpha, \beta, \gamma, \delta) \in \mathbb{R}^4$ , tel que le problème discret (4.134) soit équivalent au problème prédicteur-correcteur de la forme*

$$\begin{cases} (I - k\vartheta A_x)\tilde{u}^{n+1/2} = (I + k(1 - \vartheta)A_y)u^n + (\alpha f^n + \beta f^{n+1}) \\ (I - k\vartheta A_y)u^{n+1} = (I + k(1 - \vartheta)A_x)\tilde{u}^{n+1/2} + (\gamma f^n + \delta f^{n+1}) \end{cases} \quad (4.135)$$

est  $\alpha = k\vartheta(1 - \vartheta)$ ,  $\beta = k\vartheta^2$ ,  $\gamma = k(1 - \vartheta)^2$ ,  $\delta = k\vartheta(1 - \vartheta)$ .

**Preuve :**

Multiplions la seconde équation du système (4.135) à gauche par  $(I - k\vartheta A_x)$ , on obtient

$$\begin{aligned} &(I - k\vartheta A_x)(I - k\vartheta A_y)u^{n+1} \\ &= (I - k\vartheta A_x)(I + k(1 - \vartheta)A_x)\tilde{u} + (I - k\vartheta A_x)(\gamma f^n + \delta f^{n+1}) \\ &= (I + k(1 - \vartheta)A_x)[(I + k(1 - \vartheta)A_y)u^n + (\alpha f^n + \beta f^{n+1})] + (I - k\vartheta A_x)(\gamma f^n + \delta f^{n+1}) \\ &= (I + k(1 - \vartheta)A_x)(I + k(1 - \vartheta)A_y)u^n + (I + k(1 - \vartheta)A_x)(\alpha f^n + \beta f^{n+1}) \\ &\quad + (I - k\vartheta A_x)(\gamma f^n + \delta f^{n+1}) \\ &= (I + k(1 - \vartheta)A_x)(I + k(1 - \vartheta)A_y)u^n + ((\alpha + \gamma)I + kA_x((1 - \vartheta)\alpha - \vartheta\gamma))f^n \\ &\quad + ((\beta + \delta)I + kA_x((1 - \vartheta)\beta - \vartheta\delta))f^{n+1} \end{aligned}$$

En identifiant avec l'équation (4.134), on trouve la valeur des coefficients  $\alpha, \beta, \gamma, \delta$  donnée par  $\alpha = k\vartheta(1 - \vartheta)$ ,  $\beta = k\vartheta^2$ ,  $\gamma = k(1 - \vartheta)^2$ ,  $\delta = k\vartheta(1 - \vartheta)$ . Inversement, on peut toujours factoriser le problème discret sous la forme (4.135) pour les valeurs des coefficients  $\alpha, \beta, \gamma, \delta$



(ii)<sub>2</sub>  $p_2 = (p_{2,i,j}^n)$  est solution du système :

$$\left\{ \begin{array}{l} \bullet k \vartheta \delta^n p_{2,i,j} = \\ - \left[ h_{y,j-1/2} \left( \frac{1}{2} + D_{p,y,j-1/2} \right) \left( \frac{1}{2} + D_{u,y,j-1/2} \right) + k \vartheta \left( c_2 \left( \frac{1}{2} + D_{p,y,j-1/2} \right) + \frac{\varepsilon_2}{h_{y,j-1/2}} \right) \right] \delta^n u_{i,j} \\ - \left[ h_{j-1/2} \left( \frac{1}{2} + D_{p,y,j-1/2} \right) \left( \frac{1}{2} - D_{u,y,j-1/2} \right) - k \vartheta \left( c_2 \left( \frac{1}{2} + D_{p,y,j-1/2} \right) + \frac{\varepsilon_2}{h_{y,j-1/2}} \right) \right] \delta^n u_{i,j-1} \\ + \left( \frac{1}{2} + D_{p,y,j-1/2} \right) \left( -c_2 (u_{i,j}^n - u_{i,j-1}^n) - (p_{2,i,j}^n - p_{2,i,j-1}^n) \right. \\ \left. + h_{y,j-1/2} \left( (1 - \vartheta) \bar{f}_{j-1/2}^n + \vartheta \bar{f}_{j-1/2}^{n+1} \right) \right), \quad 1 \leq j \leq J_y \\ \bullet p_{2,i,j}^n \left( \frac{1}{2} - D_{p,y,j-1/2} \right) + p_{2,i,j-1}^n \left( \frac{1}{2} + D_{p,y,j-1/2} \right) + \frac{\varepsilon_2}{h_{j-1/2}} (u_{i,j}^n - u_{i,j-1}^n) = 0 \\ \bullet p_{2,i,j}^0 = -\varepsilon_2 \frac{d}{dy} u^0(x_i, y_j) \end{array} \right. \quad (4.138)$$

#### 4.8.4 Etude de la stabilité du schéma ADI

Dans cette partie, nous étudions la stabilité au sens de Von Neumann de la formulation en  $u$  du schéma boîte-ADI pour le problème de convection-diffusion. Calculons le facteur d'amplification  $g$  associé à (4.135).

**Lemme 4.8.4** *Le facteur d'amplification du schéma (4.135) est donné par*

$$g(\theta, \phi) = g_x(\theta)g_y(\phi) \quad (4.139)$$

où  $g_x$  et  $g_y$  désignent respectivement les facteurs d'amplifications des schémas boîte (4.133) selon la direction ( $Ox$ ) et ( $Oy$ ).

**Preuve :**

Le problème discrétisé homogène s'écrit à l'aide de l'algorithme de Peaceman-Rachford sous la forme :

$$\begin{cases} (I - k\vartheta A_x) \tilde{u}^{n+1/2} = (I + k(1 - \vartheta) A_y) u^n \\ (I - k\vartheta A_y) u^{n+1} = (I + k(1 - \vartheta) A_x) \tilde{u}^{n+1/2} \end{cases} \quad (4.140)$$

Faisons agir le schéma (4.140) sur un mode simple du type  $u_{i,m}^n = g^n e^{i\theta} e^{im\phi}$ .

Nous obtenons alors,

$$\begin{cases} \tilde{g}((I - k\vartheta A_x) e^{i\theta} e^{im\phi}) = g^n(\theta, \phi) ((I + k(1 - \vartheta) A_y) e^{i\theta} e^{im\phi}) \\ g^{n+1}(\theta, \phi) ((I - k\vartheta A_y) e^{i\theta} e^{im\phi}) = \tilde{g}((I + k(1 - \vartheta) A_x) e^{i\theta} e^{im\phi}) \end{cases} \quad (4.141)$$

Le facteur d'amplification est donné par

$$g(\theta, \phi) = \frac{((I + k(1 - \vartheta) A_x) e^{i\theta} e^{im\phi})}{((I - k\vartheta A_y) e^{i\theta} e^{im\phi})} \frac{((I + k(1 - \vartheta) A_y) e^{i\theta} e^{im\phi})}{((I - k\vartheta A_x) e^{i\theta} e^{im\phi})}$$

L'opérateur  $A_x$ , respectivement  $A_y$ , est l'opérateur discret associé au schéma boîte (4.132)(i) selon la direction ( $Ox$ ), respectivement (4.132)(ii) selon la direction ( $Oy$ ). On note  $g_x$  et  $g_y$  leurs facteurs d'amplifications respectifs définis par

$$g_x(\theta) = \frac{(I + k(1 - \vartheta) A_x)(e^{i\theta})}{(I - k\theta A_x)(e^{i\theta})} \quad (4.142)$$

$$g_y(\phi) = \frac{(I + k(1 - \vartheta) A_y)(e^{im\phi})}{(I - k\theta A_y)(e^{im\phi})} \quad (4.143)$$

L'opérateur  $A_x$  agit selon la direction  $(Ox)$ , son intervention ne modifie que les valeurs  $e^{i\theta}$ , de même,  $A_y$  agit sur la direction  $(Oy)$ , il n'intervient que sur les valeurs  $e^{i\phi}$ . Donc,  $g_x, g_y$  ne dépendent respectivement que des valeurs  $\theta$  et  $\phi$ . On obtient donc

$$g(\theta, \phi) = g_x(\theta) g_y(\phi)$$

C'est-à-dire,  $g$  est le produit des facteurs d'amplifications des schémas boîte 1d selon chaque direction du domaine  $\Omega$ . ■

Les conditions de stabilité du schéma (4.135) se déduisent donc des conditions de stabilité du schéma boîte 1d données par la Proposition 4.6.1.

### Proposition 4.8.2 (Stabilité)

Le schéma boîte-ADI en  $u$  (4.134) est stable au sens de Von Neumann si et seulement si :

- (i)  $\tilde{D}_{u,1} \lambda_1 + \mu_1 \geq 0$  et  $\tilde{D}_{u,2} \lambda_2 + \mu_2 \geq 0$   
(ii)  $[D_{p,1} \lambda_1 + \mu_1] \left[ \tilde{D}_{u,1} D_{p,1} + \left(\vartheta - \frac{1}{2}\right) \mu_1 \right] \geq 0$   
et  $[D_{p,2} \lambda_2 + \mu_2] \left[ \tilde{D}_{u,2} D_{p,2} + \left(\vartheta - \frac{1}{2}\right) \mu_2 \right] \geq 0$

Dans la suite, nous supposons que les conditions (i) et (ii) de la Proposition 4.8.2 sont satisfaites.

### 4.8.5 Consistance du schéma ADI

Nous nous intéressons à la consistance du schéma ADI par rapport à la solution exacte  $u(x, y, t)$ . Nous supposons le maillage régulier en temps et en espace. Tout comme pour la consistance du schéma boîte 1d, nous faisons une analyse numérique du type de celle effectuée par Strikwerda [42].

### Proposition 4.8.3 (Consistance du schéma ADI)

Le schéma ADI (4.134) est consistant avec le problème continu (4.106) à l'ordre 1 en espace et 1 en temps si  $\vartheta \neq \frac{1}{2}$  et à l'ordre 2 en temps sinon.

#### Preuve :

On considère que  $h_x, h_y, k \rightarrow 0$  indépendamment, avec l'hypothèse que  $\lambda_1, \lambda_2$  et  $\mu_1, \mu_2$  sont bornés. Comme pour le schéma boîte (4.48) associé au problème de convection-diffusion 1d, on étudie l'ordre du terme

$$\frac{1}{k} \left( e^{kq(\xi, \eta)} - g(h_x \xi, h_y \eta) \right) \quad (4.144)$$

pour tout  $\xi, \eta \in \mathbb{R}$ .  $g$  est le facteur d'amplification du schéma boîte (4.135) donné par le Lemme 4.8.4 par

$$g(\theta, \phi) = g_x(\theta) g_y(\phi) \quad (4.145)$$

où  $g_x, g_y$  sont les facteurs d'amplification selon chaque direction ( $O_x$ ) et ( $O_y$ ). Et  $q$  est le symbole de l'opérateur spatial  $-c \cdot \nabla u + \varepsilon_1 u_{xx} + \varepsilon_2 u_{yy}$ , donné par

$$q(\xi, \eta) = -c_1 i \xi - c_2 i \eta - \varepsilon_1 \xi^2 - \varepsilon_2 \eta^2. \quad (4.146)$$

Le facteur d'amplification  $g$  du schéma ADI s'écrit encore

$$\begin{aligned} g(h_x \xi, h_y \eta) &= g_x(h_x \xi) g_y(h_y \eta) \\ &= g_x(h_x \xi) + g_y(h_y \eta) - 1 + (g_x(h_x \xi) - 1)(g_y(h_y \eta) - 1) \end{aligned} \quad (4.147)$$

Le symbole  $q$  est donné en fonction des symboles  $q_x$  et  $q_y$  des opérateurs spatiaux  $-c_1 u_x + \varepsilon_1 u_{xx}$ , respectivement  $-c_2 u_y + \varepsilon_2 u_{yy}$  par  $q(\xi, \eta) = q_x(\xi) + q_y(\eta)$ . Donc  $e^{kq(\xi, \eta)}$  est encore égal à

$$e^{kq(\xi, \eta)} = e^{kq_x(\xi) + kq_y(\eta)} = e^{kq_x(\xi)} + e^{kq_y(\eta)} - 1 + (e^{kq_x(\xi)} - 1)(e^{kq_y(\eta)} - 1) \quad (4.148)$$

En combinant (4.147) et (4.148), on obtient l'expression de (4.144)

$$\begin{aligned} \frac{1}{k} \left( e^{kq(\xi, \eta)} - g(h_x \xi, h_y \eta) \right) &= \underbrace{\frac{1}{k} \left( e^{kq_x(\xi)} - g_x(h_x \xi) \right)}_{(I)} + \underbrace{\frac{1}{k} \left( e^{kq_y(\eta)} - g_y(h_y \eta) \right)}_{(II)} \\ &\quad + \underbrace{\frac{1}{k} \left( (e^{kq_x(\xi)} - 1)(e^{kq_y(\eta)} - 1) - (g_x(h_x \xi) - 1)(g_y(h_y \eta) - 1) \right)}_{(III)} \end{aligned} \quad (4.149)$$

Les termes (I) et (II) sont donnés par la consistance du schéma boîte en  $u$  (4.48) selon la direction ( $O_x$ ) et la direction ( $O_y$ ) (relation (4.97) selon ( $O_x$ ) et ( $O_y$ )) par

$$(I) = \frac{1}{k} \left( e^{kq(\xi)} - g(h_x \xi) \right) = \left( \vartheta - \frac{1}{2} \right) \mathcal{O}(k) + \mathcal{O}(k^2) + \mathcal{O}(\|(h_x, h_x k)\|) \quad (4.150)$$

$$(II) = \frac{1}{k} \left( e^{kq(\eta)} - g(h_y \eta) \right) = \left( \vartheta - \frac{1}{2} \right) \mathcal{O}(k) + \mathcal{O}(k^2) + \mathcal{O}(\|(h_y, h_y k)\|) \quad (4.151)$$

en notant  $\mathcal{O}(\|(h_1, h_2)\|) = \mathcal{O}(\|(h_1)\|) + \mathcal{O}(\|(h_2)\|)$ . Evaluons le terme (III). En utilisant les développements limités de  $e^{kq_x(\xi)}$ ,  $e^{kq_y(\eta)}$ ,  $g_x$  et  $g_y$ , comme cela est fait dans la preuve de la Proposition 4.6.2, on obtient

$$\begin{aligned} k(III) &= (k c_1 i \xi + k \varepsilon_1 \xi^2) (k c_2 i \eta + k \varepsilon_2 \eta^2) + \mathcal{O}(k^3) \\ &\quad - \left( -k c_1 i \xi - k \varepsilon_1 \xi^2 - \xi^2 h_x^2 \lambda_1 (D_{u,x} + \vartheta \lambda_1) + i A_3 \xi^3 h_x^3 + A_4 \xi^3 h_x^4 \right) \\ &\quad \left( -k c_2 i \eta - k \varepsilon_2 \eta^2 - \eta^2 h_y^2 \lambda_2 (D_{u,y} + \vartheta \lambda_2) + i B_3 \eta^3 h_y^3 + B_4 \eta^3 h_y^4 \right) \end{aligned} \quad (4.152)$$

où  $A_3, B_3$  et  $A_4, B_4$  sont respectivement les coefficients des termes d'ordre 3 et 4 des développements limités de  $g_x - 1$  et  $g_y - 1$ . En simplifiant l'expression (4.152), on obtient

$$\begin{aligned} k(III) &= \mathcal{O}(k^3) + \left( k c_1 i \xi + k \varepsilon_1 \xi^2 \right) \left( -\eta^2 h_y^2 \lambda_2 (D_{u,y} + \vartheta \lambda_2) + i B_3 \eta^3 h_y^3 + B_4 \eta^3 h_y^4 \right) \\ &\quad + \left( k c_2 i \eta + k \varepsilon_2 \eta^2 \right) \left( -\xi^2 h_x^2 \lambda_1 (D_{u,x} + \vartheta \lambda_1) + i A_3 \xi^3 h_x^3 + A_4 \xi^3 h_x^4 \right) \\ &\quad - \left( -\xi^2 h_x^2 \lambda_1 (D_{u,x} + \vartheta \lambda_1) + i A_3 \xi^3 h_x^3 + A_4 \xi^3 h_x^4 \right) \\ &\quad \left( -\eta^2 h_y^2 \lambda_2 (D_{u,y} + \vartheta \lambda_2) + i B_3 \eta^3 h_y^3 + B_4 \eta^3 h_y^4 \right) \end{aligned} \quad (4.153)$$

Or, par définition des expressions  $A_3, B_3$  et  $A_4, B_4$ , nous obtenons l'ordre de

$$\begin{aligned} h_x^3 A_3 &= \mathcal{O}(\|(h_x, k)\|^2) \\ h_y^3 B_3 &= \mathcal{O}(\|(h_y, k)\|^2) \\ h_x^4 A_4 &= \mathcal{O}(\|(h_x, k)\|^2) \\ h_y^4 B_4 &= \mathcal{O}(\|(h_y, k)\|^2) \end{aligned}$$

Et  $h_x^2 \lambda_1 = c_1 k h_x$  et  $h_y^2 \lambda_2 = c_2 k h_y$ , donc le terme (III) est d'ordre :

$$(III) = \mathcal{O}(\|(h_x, k)\|^2) \quad (4.154)$$

Finalement, en combinant les relations (4.150)-(4.151) et (4.154) on obtient

$$\frac{1}{k} \left( e^{kq(\xi, \eta)} - g(h_x \xi, h_y \eta) \right) = \left( \vartheta - \frac{1}{2} \right) \mathcal{O}(k) + \mathcal{O}(k^2) + \mathcal{O}(\|(h_x, h_y, h_x k, h_y k)\|)$$

Ce qui conclut la démonstration. ■

**Théorème 4.8.2** *Le schéma est stable et consistant sous les conditions (i) et (ii) de la Proposition 4.8.2. Il est donc convergent sous ces conditions.*

## 4.9 Applications numériques

### 4.9.1 Introduction

La programmation de la méthode boîte ADI se fait à l'aide de l'algorithme de Peaceman-Rachford (4.135). Dans un premier temps on calcule  $\tilde{u}^{n+1/2}$  en fonction de  $u^n$  par la résolution de (4.135)<sub>1</sub>, puis on calcule  $u^{n+1}$  en fonction de  $\tilde{u}^{n+1/2}$  par la résolution de (4.135)<sub>2</sub>.

Nous avons défini  $B_x, C_x$  et  $B_y, C_y$  comme les opérateurs du schéma boîte 1d dans la direction  $(Ox)$ ,  $y$  étant fixé (respectivement dans la direction  $(Oy)$ ,  $x$  étant fixé) donnés par les relations (4.45-4.46). Les opérateurs  $A_x = B_x^{-1} C_x$  et  $A_y = B_y^{-1} C_y$  satisfont les relations (4.132). On s'intéresse à la résolution de l'algorithme de Peaceman-Rachford

$$\begin{cases} (I - k\vartheta A_x) \tilde{u}^{n+1/2} = (I + k(1 - \vartheta) A_y) u^n + k\vartheta(\vartheta f^{n+1} + (1 - \vartheta) f^n) \\ (I - k\vartheta A_y) u^{n+1} = (I + k(1 - \vartheta) A_x) \tilde{u}^{n+1/2} + k(1 - \vartheta)(\vartheta f^{n+1} + (1 - \vartheta) f^n) \end{cases} \quad (4.155)$$

En pratique on résout le système

$$B_y v_1 = (B_y + k(1 - \vartheta) C_y) u^n$$

qui nous permet de calculer  $v_1 = (I + k(1 - \vartheta) A_y) u^n$ , puis pour calculer  $\tilde{u}^{n+1/2}$ , on résout le système

$$B_x (I - k\vartheta A_x) \tilde{u}^{n+1/2} = B_x v_1 + k\vartheta B_x (\vartheta f^{n+1} + (1 - \vartheta) f^n)$$

c'est-à-dire

$$(B_x - k\vartheta C_x) \tilde{u}^{n+1/2} = B_x v_1 + k\vartheta B_x (\vartheta f^{n+1} + (1 - \vartheta) f^n)$$

On réitère ce processus pour calculer  $v_2$  solution du système

$$B_x v_2 = (B_x + k(1 - \vartheta) C_x) \tilde{u}^{n+1/2}$$

et ensuite la solution finale  $u^{n+1}$  solution du système

$$(B_y - k\vartheta C_y) u^{n+1} = B_y v_2 + k(1 - \vartheta) B_y (\vartheta f^{n+1} + (1 - \vartheta) f^n)$$

La programmation des conditions limites se fait de la façon suivante :

• *Conditions de type Dirichlet*

Pour les conditions frontière de type Dirichlet  $u_{i_0, j_0}^n = g^n(x_{i_0}, y_{j_0})$ , on impose simplement la valeur exacte de  $u_{i_0, j_0}^{n+1} = g^{n+1}(x_{i_0}, y_{j_0})$  dans (4.135)<sub>2</sub>. Le problème est de choisir la valeur à affecter à l'état intermédiaire  $\tilde{u}^{n+1/2}$  sur la frontière. En soustrayant (4.135)<sub>2</sub> de (4.135)<sub>1</sub>, nous obtenons

$$\begin{aligned} [(I - k\vartheta A_x) + (I + k(1 - \vartheta) A_x)] \tilde{u} &= (I + k(1 - \vartheta) A_y) u^{n+1} + (I - k\vartheta A_y) u^n \\ &+ k(2\vartheta - 1)(\vartheta f^{n+1} + (1 - \vartheta) f^n) \end{aligned} \quad (4.156)$$

Puisque les opérateurs  $A_x, A_y$  n'agissent pas sur les points frontières, nous avons la relation suivante pour les points du bord :  $\tilde{u}_\partial$  (on note  $\partial$  pour tout couple  $(i, j) \in \Gamma = \partial\Omega$ )

$$\tilde{u}_\partial = \frac{1}{2}(u_\partial^n + u_\partial^{n+1}) + k(\vartheta - \frac{1}{2})(\vartheta f_\partial^{n+1} + (1 - \vartheta) f_\partial^n) \quad (4.157)$$

Cette valeur est appliquée à l'état intermédiaire.

• *Conditions de type Neumann*

Pour avoir  $\frac{\partial u^{n+1}}{\partial \nu} = g^{n+1}$  aux points frontière dans le schéma (4.134), nous utilisons la formule de reconstruction de  $p = (p_1, p_2)$  donnée par le Lemme 4.8.3 qui exprime le flux de diffusion en fonction de l'inconnue  $u$ . Considérons par exemple, la donnée de type Neumann, sur une arête frontière, horizontale du maillage définie par les points de coordonnées  $(x_{i_0}, y_0)$  et  $(x_{i_0+1}, y_0)$ , de normale extérieure  $\nu = -(1, 0)$ . Nous déduisons de (4.137) l'identité qui lie  $u_{i_0, 0}^{n+1}, u_{i_0+1, 0}^{n+1}$  aux valeurs du flux de diffusion sur la frontière  $p_{1, i_0, 0}^n = -\varepsilon g(x_{i_0}, y_0, t^n)$ ,  $p_{1, i_0, 0}^{n+1} = -\varepsilon g(x_{i_0}, y_0, t^{n+1})$ , connues par la donnée de type Neumann sur  $\Gamma_N$ .

$$\left\{ \begin{aligned} &[\vartheta \mu_{1, i_0+1/2} + (\frac{1}{2} - D_{p, x, i_0+1/2}) (\frac{1}{2} - \vartheta \lambda_{1, i_0+1/2} - D_{u, x, i_0+1/2})] u_{i_0, 0}^{n+1} \\ &- [\vartheta \mu_{1, i_0+1/2} - (\frac{1}{2} - D_{p, x, i_0+1/2}) (\frac{1}{2} + \vartheta \lambda_{1, i_0+1/2} + D_{u, x, i_0+1/2})] u_{i_0+1, 0}^{n+1} \\ &= \vartheta \frac{k}{h_{x, i_0+1/2}} p_{1, i_0, 0}^{n+1} + (1 - \vartheta) \frac{k}{h_{1/2}} p_{1, i_0, 0}^n \\ &- [(1 - \vartheta) \mu_{1, i_0+1/2} - (\frac{1}{2} - D_{p, x, i_0+1/2}) (\frac{1}{2} + (1 - \vartheta) \lambda_{1, i_0+1/2} - D_{u, x, i_0+1/2})] u_{i_0, 0}^n \\ &+ [(1 - \vartheta) \mu_{1, i_0+1/2} + (\frac{1}{2} - D_{p, x, i_0+1/2}) (\frac{1}{2} - (1 - \vartheta) \lambda_{1, i_0+1/2} + D_{u, x, i_0+1/2})] u_{i_0+1, 0}^n \\ &+ k(\frac{1}{2} - D_{u, x, i_0+1/2}) ((1 - \vartheta) f_{i_0+1/2}^n + \vartheta f_{i_0+1/2}^{n+1}) \end{aligned} \right. \quad (4.158)$$

Dans cette partie, nous résolvons le problème de convection-diffusion avec notre schéma boîte ADI, comme nous l'avons expliqué précédemment. Nous proposons trois tests. Quand cela est possible, nous comparons les résultats obtenus avec ceux existants. On choisit des maillages de pas d'espace constant dans chaque direction. Le paramètre  $\vartheta$  d'intégration en temps est  $\vartheta = \frac{1}{2}$ .

## 4.9.2 Le cas test de Noye et Tan

On considère le cas test proposé dans [36]. Il s'agit du déplacement d'une gaussienne centrée initialement au point  $(x_0, y_0) = (0.5, 0.5)$ . Elle se propage par l'équation de convection diffusion

$$u_t + c \cdot \nabla u - (\varepsilon_1 u_{xx} + \varepsilon_2 u_{yy}) = 0$$

le long de la diagonale  $y = x$  du domaine carré  $\Omega = [0, 2]^2$ , pendant 1.25 secondes. Les coefficients de diffusion sont  $\varepsilon_1 = \varepsilon_2 = 0.01$  et la vitesse est  $\vec{c} = (0.8, 0.8)$ . La solution exacte de ce problème est :

$$g(x, y, t) = \frac{1}{4t + 1} \exp \left[ -\frac{(x - c_1 t - x_0)^2}{\varepsilon_1 (4t + 1)} - \frac{(y - c_2 t - y_0)^2}{\varepsilon_2 (4t + 1)} \right].$$

Les conditions de Dirichlet sont données par la solution exacte sur la frontière. Nous comparons nos résultats avec ceux de Turner et Truscott [45], obtenus par une méthode de type volumes finis. On utilise l'erreur maillage-dépendante  $e_{TT}$  introduite par Turner et Truscott, définie par :

$$e_{TT} = \frac{1}{(J_x + 1)(J_y + 1)} \sqrt{\frac{\sum_{i=0}^{J_x} \sum_{j=0}^{J_y} (u(i, j) - g(x(i), y(j), t_0))^2}{\sum_{i=0}^{J_x} \sum_{j=0}^{J_y} u(i, j)^2}} \quad (4.159)$$

où  $J_x + 1$  et  $J_y + 1$  sont respectivement les nombres de points horizontaux et verticaux. La solution est calculée sur trois maillages différents :

- un maillage grossier composé de 961 noeuds (31 points selon l'axe  $(Ox)$  et l'axe  $(Oy)$ ) noté Maillage 1.
- un maillage medium composé de 4096 noeuds (64 points selon l'axe  $(Ox)$  et l'axe  $(Oy)$ ) noté Maillage 2.
- un maillage fin composé de 10201 noeuds (101 points selon l'axe  $(Ox)$  et l'axe  $(Oy)$ ) noté Maillage 3.

Le maillage 1 est choisi afin d'obtenir un nombre de Peclet  $Pe \geq Pe_0 = 2.5$ . Dans ce cas, le coefficient de décentrement  $D_u$  est non nul par maille d'après la formule (4.81). Ce n'est pas le cas des maillages 2 et 3 utilisés par Turner et Truscott, pour lesquels le nombre de Peclet est  $Pe \leq 1$ . Nous comparons la hauteur du pic et l'erreur  $e_{TT}$  à l'instant final  $T = 1.25$  pour la méthode boîte-ADI, avec ceux obtenus par la méthode volumes finis "contrôle" utilisée par Turner et Truscott pour les maillages 2 et 3. Nous rajoutons les résultats obtenus par la méthode boîte-ADI pour le maillage 1, ainsi que l'erreur en norme  $L^2$  pour les trois maillages. Les indices  $Box$  et  $TT$  sont utilisés respectivement pour indiquer les résultats obtenus par la méthode boîte-ADI et la méthode Turner et Truscott. Nous présentons les résultats obtenus dans le Tableau 4.2. La hauteur de la gaussienne à l'instant initial est 1 et devient 1/6 au temps final  $T = 1.25$ .

La méthode boîte-ADI donne d'assez bons résultats, comparativement à la méthode utilisée par Turner et Truscott. Nous obtenons des taux de convergence en norme  $L^2$  environ égaux à 2 entre les maillages 1 et 2 et à 3 pour les maillages 2 et 3. Nous représentons la vitesse

$u$ . Le flux  $p$  est donné par la reconstruction locale par le Lemme 4.8.3. Les Figures 4.35 et 4.36 représentent la solution exacte à l'instant initial  $T = 0$ . Les résultats obtenus pour le Maillage 1, sont regroupés sur les Figures 4.37 à 4.40, qui représentent respectivement la solution calculée, son contour, la coupe des solutions exacte et calculée le long de la première diagonale, ainsi que la différence entre la solution exacte et la solution calculée par le schéma boîte ADI. Les phénomènes de dispersion et dissipation du schéma apparaissent très nettement sur ces deux dernières figures. En effet, pour le maillage 1, le coefficient de décentrement  $D_u$  est non nul, et nous avons déjà vu qu'il intervient dans la dissipation du schéma (par l'intermédiaire du coefficient  $E_2$  de l'équation équivalente) et dans la dispersion (par l'intermédiaire de  $E_3$ ). La solution du schéma n'est donc pas très précise, mais stable, pour un maillage très grossier.

La solution  $u$  calculée par le schéma boîte-ADI obtenue pour le Maillage 3 est représentée sur les Figures 4.41 et 4.42. D'après les Figures 4.43 et 4.44, nous constatons que l'effet de dissipation et de dispersion s'est beaucoup atténué en raffinant le maillage.

Maillages	Maillage 1	Maillage 2	Maillage 3
Nombre de Peclet	2.6667	1.2698	0.8
Box hauteur du pic	0.1452	0.1636	0.1660
TT hauteur du pic		0.1382	0.1518
Box $e_{TT}$	$2.2727073 \cdot 10^{-4}$	$1.0844153 \cdot 10^{-5}$	$9.4819593 \cdot 10^{-7}$
TT $e_{TT}$		$4.975446 \cdot 10^{-5}$	$1.424502 \cdot 10^{-5}$
Box erreur $L^2$	0.0103	$2.2239 \cdot 10^{-3}$	$4.9213 \cdot 10^{-4}$
Taux de conv. $L^2$		2.0661	3.2644

TAB. 4.2 – Comparaison entre le schéma boîte-ADI et la méthode volumes finis de Turner-Truscott

### 4.9.3 Second cas test

Le second test est donné par Balaguer et co. [1]. On considère l'équation

$$u_t + v(y) u_x - D(u_{xx} + u_{yy}) = 0 \quad (4.160)$$

de conditions de Dirichlet données par la solution exacte :

$$u(x, y, t) = \frac{\Delta M}{4\pi Dt(1 + \lambda^2 t^2/12)^{1/2}} \exp \left[ -\frac{(x - \bar{x} - 0.5\lambda yt)^2}{4Dt(1 + \lambda^2 t^2/12)} - \frac{y^2}{4Dt} \right] \quad (4.161)$$

où la vitesse est  $v(y) = v_0 + \lambda y$  et  $D$  est une constante positive.  $\Delta M$  est la source de masse au point de coordonnées  $x = x_0$ ,  $y = 0$  et  $t = 0$ .  $\bar{x}$  est défini par  $\bar{x} = x_0 + v_0 t$ .

Nous considérons le domaine  $\Omega = [-20000; 20000] \times [-2000; 2000]$ , l'instant initial est  $t_{ini}$  égal à  $t_{ini} = 2400$ ,  $\Delta M = 4\pi Dt_{ini}(1 + \lambda^2 t_{ini}^2/12)^{1/2}$ . Le pic de concentration initial est égal à 1 et vaut 0.4991 au temps final  $t_{final} = 4800$ .

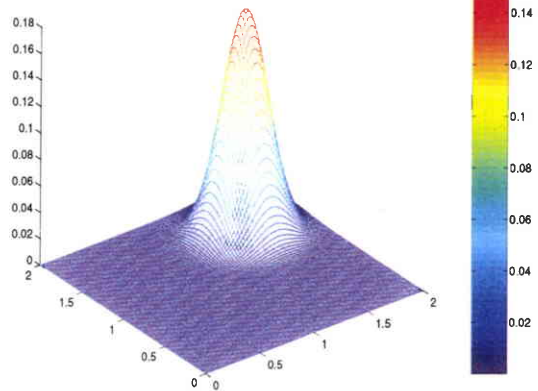


FIG. 4.35 – Test 1 : Solution initiale.

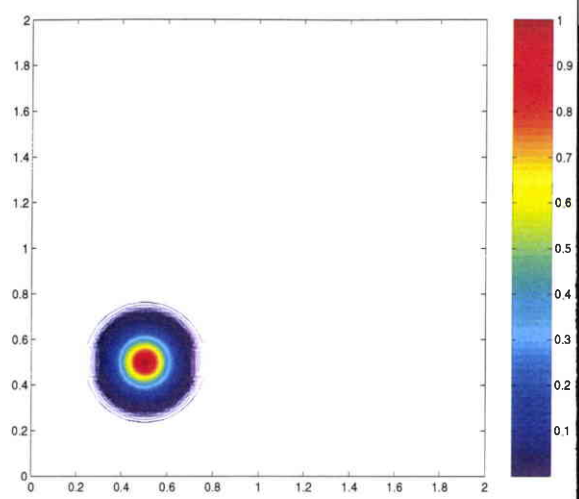


FIG. 4.36 – Test 1 : Isolignes de la solution initiale.

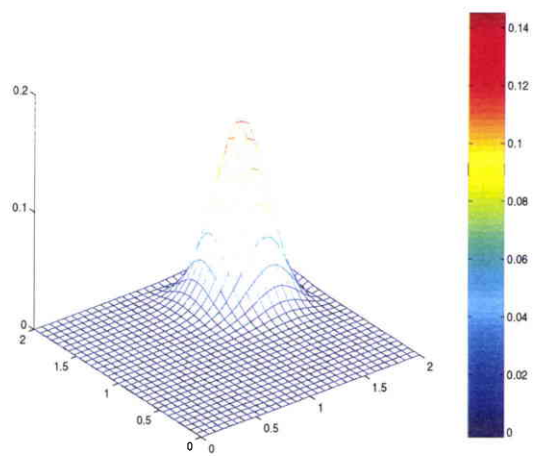


FIG. 4.37 – Test 1 : Solution calculée,  $T = 1.25$ , Maillage 1.

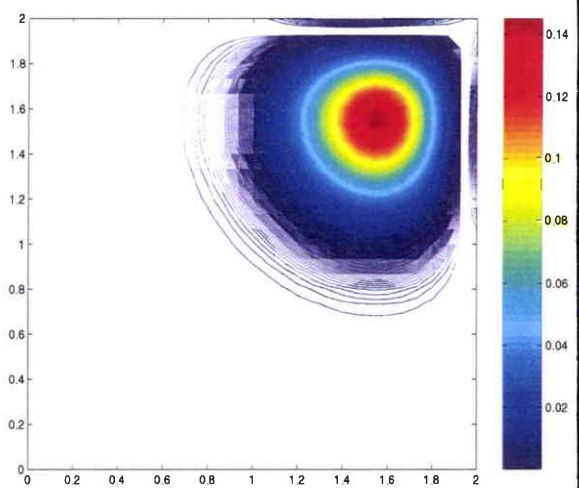


FIG. 4.38 – Test 1 : Isolignes de la solution calculée,  $T = 1.25$ , Maillage 1.

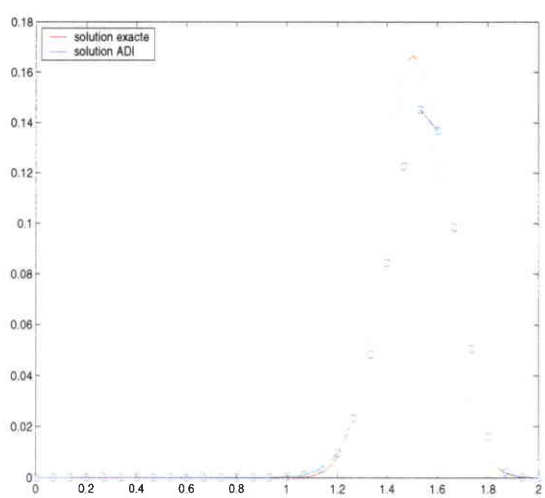


FIG. 4.39 – Test 1 : Coupe selon la diagonale  $y = x$  de la solution exacte et de la solution calculée ADI,  $T = 1.25$ , Maillage 1.

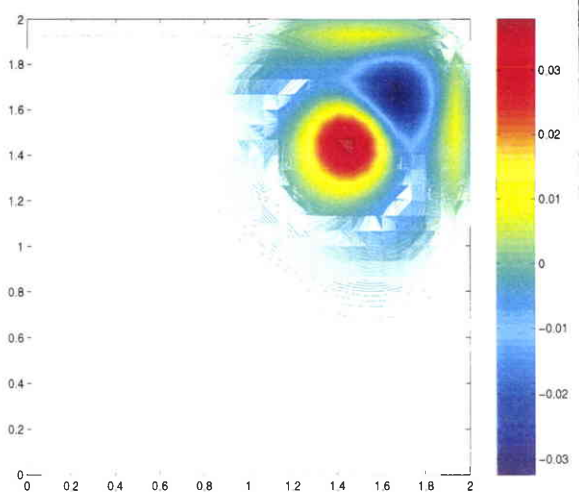


FIG. 4.40 – Test 1 : Isolignes de la différence entre la solution exacte et la solution ADI,  $T = 1.25$ , Maillage 1.

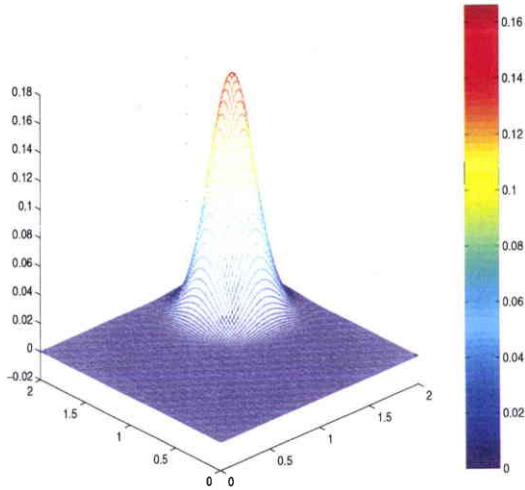


FIG. 4.41 – Test 1 : Solution calculée ADI,  $T = 1.25$ , Maillage 3.

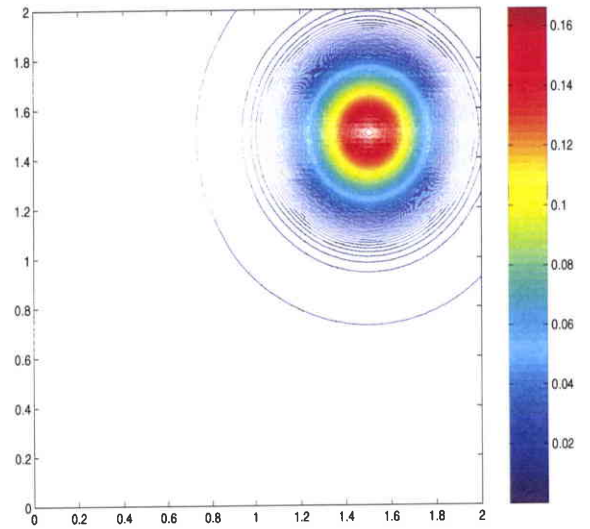


FIG. 4.42 – Test 1 : Isolignes de la solution calculée ADI,  $T = 1.25$ , Maillage 3.

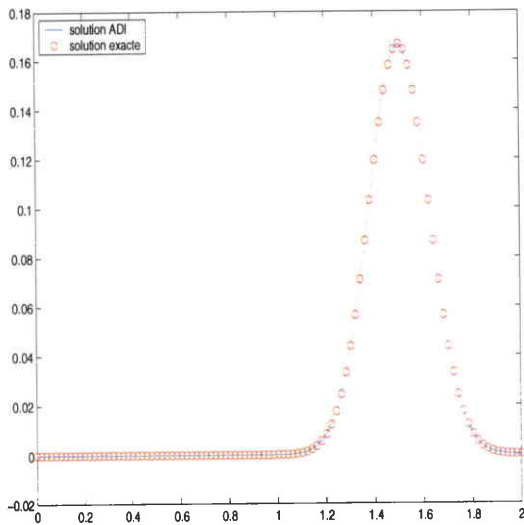


FIG. 4.43 – Test 1 : Coupe selon la diagonale  $y = x$  de la solution exacte et de la solution calculée ADI,  $T = 1.25$ , Maillage 3.

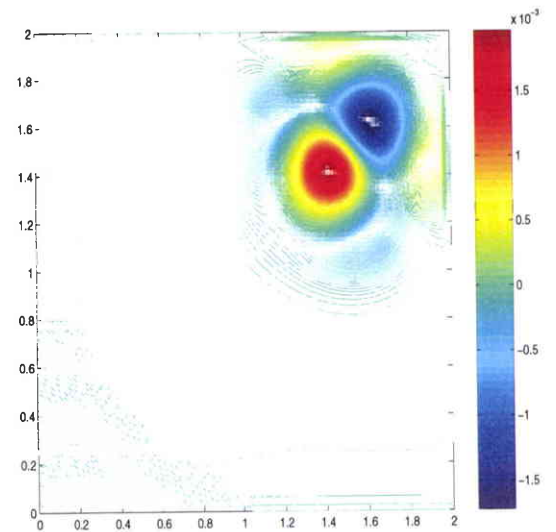


FIG. 4.44 – Test 1 : Isolignes de la différence entre la solution exacte et la solution ADI,  $T = 1.25$ , Maillage 3.

Les paramètres sont :  $x_0 = 7200$ ,  $v_0 = 0.5$ ,  $\lambda = 5 \times 10^{-5}$ ,  $D = 10$ . Le pas d'espace est  $h = h_x = h_y$ . Nous étudions trois maillages différents, pour lesquels le nombre CFL est 0.24, le pas d'espace est respectivement  $h = 200$ ,  $h = 100$  et  $h = 50$  pour les maillages 1, 2 et 3.

A noter que la vitesse  $(c_1, c_2) = (v(y), 0)$  est assymétrique, avec  $v(y) = v_0 + \lambda y$ . La gaussienne

Maillage	Maillage 1	Maillage 2	Maillage 3
h	200	100	50
Nx	201	401	801
Ny	21	41	81
Pas de temps $dt$	80	40	20
Hauteur du pic	0.3643	0.4793	0.4955
$\max( u - u_h )$	0.0652	0.0403	0.0096
Erreur $L^2$	59.5037	20.8254	4.6216
Taux de convergence		1.5146	2.1719

TAB. 4.3 – Test 2 : Résultats obtenus par le schéma boîte ADI à l'instant final  $T = 4800$ .

initiale est convectée selon la direction ( $Ox$ ). Le nombre de Peclet selon  $x$ ,  $Pe_x = \frac{|c_1|h_x}{2\varepsilon}$  est non-constant. On a  $4 \leq Pe_x \leq 6$  dans le cas  $h = 200$ , et  $2 \leq Pe_x \leq 3$  dans le cas  $h = 100$ , c'est-à-dire que  $D_{u,x}$  varie entre 0 et  $1/30$  sur chaque arête horizontale. Dans le cas  $h = 50$ , le coefficient de décentrement  $D_u$  est nul. Les coefficients verticaux  $Pe_y$  et  $D_{u,y}$  s'annulent dans les trois cas. Ces résultats sont regroupés dans le Tableau 4.3.

On calcule les taux de convergence en norme  $L^2$  entre les maillages 1 et 2, puis les maillages 2 et 3. On obtient des taux de convergence environ égaux à 1.5 et 2. Le deuxième taux est meilleur. En effet, nous avons vu que le coefficient de décentrement  $D_u$  est nul pour le Maillage 3. La précision du schéma est donc meilleure dans ce dernier cas, puisqu'il n'y a pas de dissipation liée au coefficient de décentrement  $D_u$ . On peut noter que le schéma se comporte très bien, dans le cas d'un coefficient de convection variable, si le maillage est assez raffiné. Au temps final  $T = t_{final} = 4800$ , on représente la solution  $u$  calculée par le schéma boîte ADI (4.134). Les Figures 4.45 et 4.49 représentent les isovaleurs de la solution du schéma boîte ADI (4.134), respectivement pour les maillages 2 et 1. On compare ensuite la solution exacte et la solution calculée ADI sur les Figures 4.46 et 4.50. Comme on peut s'y attendre, l'erreur est surtout localisée au niveau de la gaussienne. Les Figures 4.47 et 4.51 représentent la coupe selon la droite  $x = 9600$  de la solution exacte en trait continu et la solution calculée par des cercles, pour les maillages 2, puis 1. De même les Figures 4.48 et 4.52 représentent la coupe selon l'axe des abscisses de la solution exacte (trait continu) et la solution calculée (des cercles), pour les maillages 2, puis 1. L'effet des coefficients de décentrement apparaît clairement sur ces figures. Lorsque nous comparons ces différents profils de coupe selon une des directions  $x$  ou  $y$  pour le maillage 1 on remarque que la dispersion du schéma n'apparaît que dans la direction  $Ox$ . Ceci est lié à la convection  $c$ , qui n'agit que selon la direction  $Ox$ . Par contre, pour le maillage 2, plus fin, ce phénomène n'est pas visible ; la dispersion est plus faible. Comme précédemment, en raffinant le maillage, la solution est beaucoup plus précise.

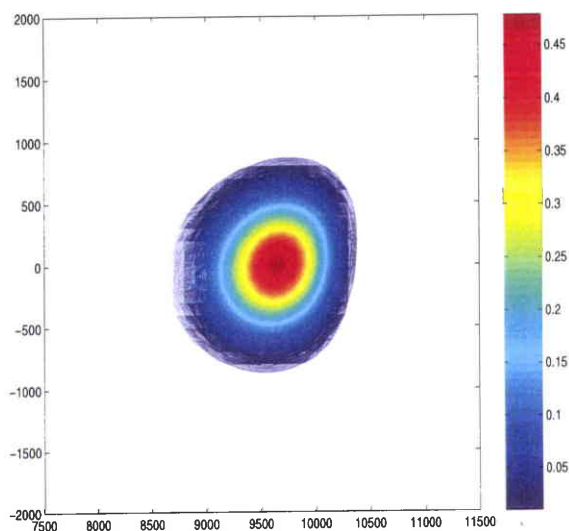


FIG. 4.45 – Test 2 : Isolignes de la solution calculée ADI,  $T = 4800$ , Maillage 2.

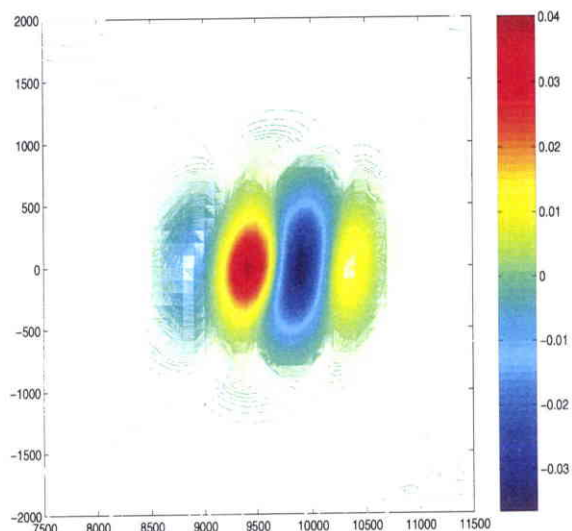


FIG. 4.46 – Test 2 : Différence entre la solution exacte et la solution calculée ADI,  $T = 4800$ , Maillage 2

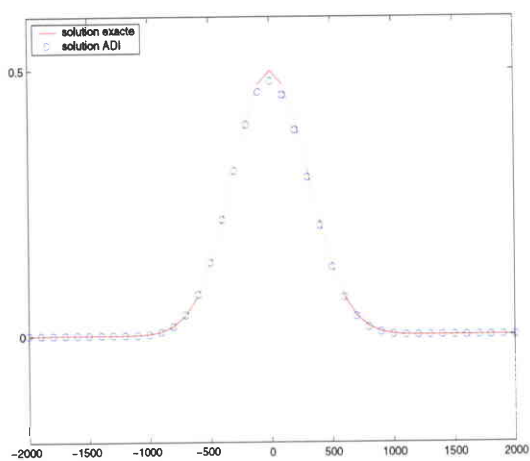


FIG. 4.47 – Test 2 : Coupe selon  $x = 9600$  des solutions exacte et calculée ADI,  $T = 4800$ , Maillage 2

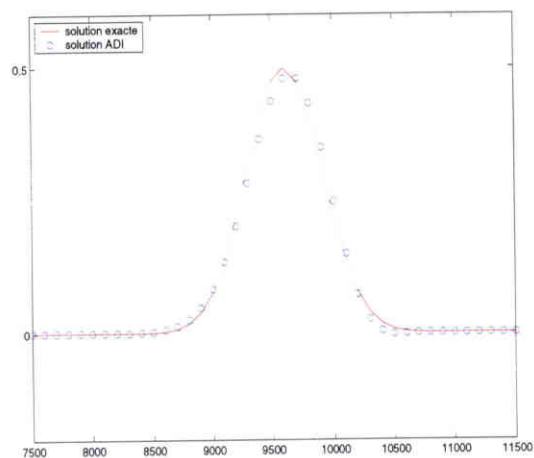


FIG. 4.48 – Test 2 : Coupe selon  $y = 0$  des solutions exacte et calculée ADI,  $T = 4800$ , Maillage 2

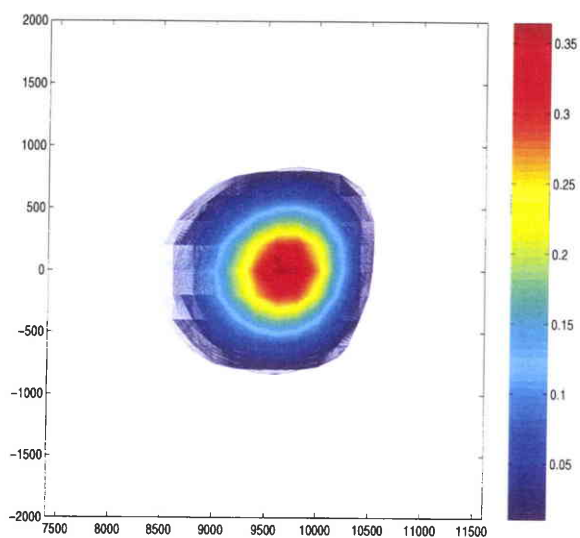


FIG. 4.49 – Test 2 : Isolignes de la solution calculée ADI,  $T = 4800$ , Maillage 1.

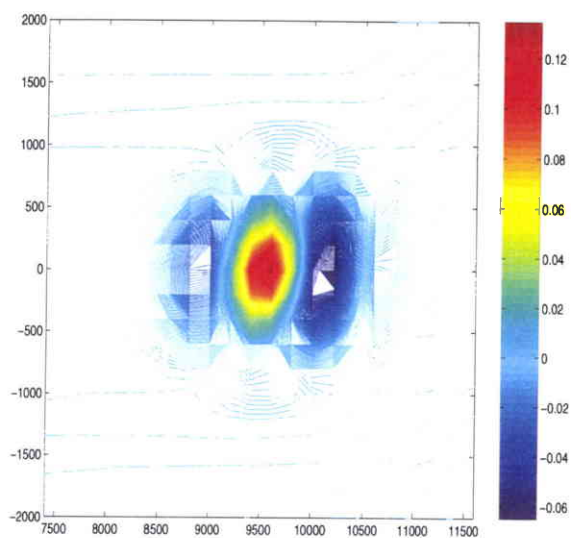


FIG. 4.50 – Test 2 : Différence entre la solution exacte  $u$  et la solution calculée ADI,  $T = 4800$ , Maillage 1.

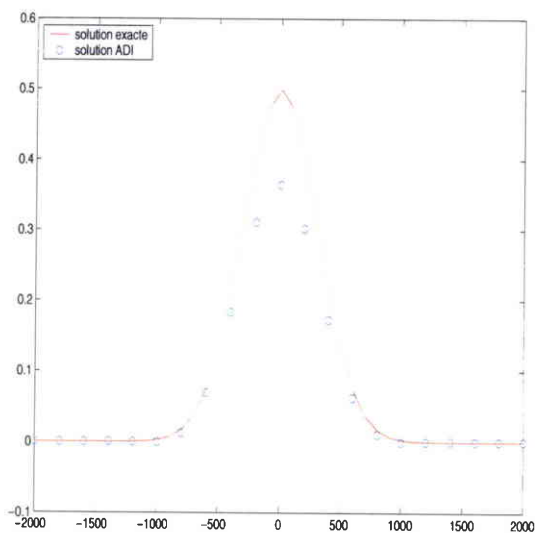


FIG. 4.51 – Test 2 : Coupe selon  $x = 9600$  des solutions exacte et calculée ADI,  $T = 4800$ , Maillage 1.

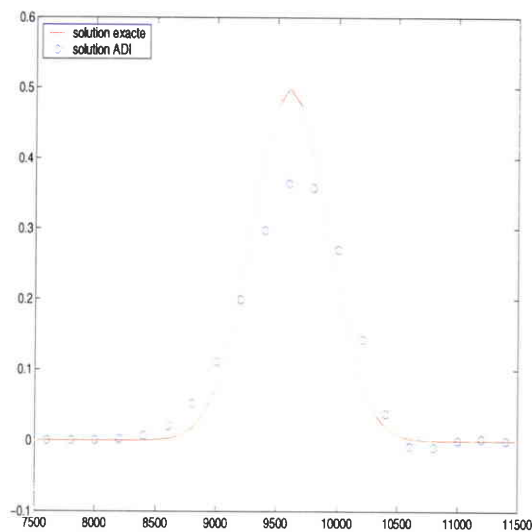


FIG. 4.52 – Test 2 : Coupe selon  $y = 0$  des solutions exacte et calculée ADI,  $T = 4800$ , Maillage 1.

#### 4.9.4 Troisième cas test

On s'intéresse maintenant au problème de convection-diffusion de coefficient de diffusion  $\varepsilon(x, y)$  variable en fonction de  $x$  et  $y$  et de convection constante. On résoud l'équation de convection-diffusion de coefficient de convection  $c = (1, 1)$  et de coefficient de diffusion  $\varepsilon(x, y) = K \sin(\frac{\pi}{4}x) \sin(\frac{\pi}{4}y)$  :

$$u_t + c \cdot \nabla u - \operatorname{div}(\varepsilon(x, y) \nabla u) = f(x, y, t)$$

Les conditions limite sont de type Dirichlet données par la solution exacte. Il s'agit de la gaussienne du cas test de Noye et Tan, centrée au point  $(x_0, y_0) = (0.5, 0.5)$  donnée par :

$$g(x, y, t) = \frac{1}{4t + 1} \exp \left[ -\frac{(x - c_1 t - x_0)^2}{K(4t + 1)} - \frac{(y - c_2 t - y_0)^2}{K(4t + 1)} \right].$$

Le terme source est défini par

$$f(x, y, t) = g_t + c \cdot \nabla g - \operatorname{div}(\varepsilon(x, y) \nabla g)$$

On étudie deux cas  $K = 10^{-2}$  et  $K = 10^{-1}$ . Les coefficients de décentrement du schéma boîte (4.134) sont calculés par les formules (4.27) et (4.81) varient dans chaque maille, le paramètre  $\vartheta = \frac{1}{2}$ . La gaussienne est convectée le long de la diagonale  $y = x$  à la vitesse  $c = (1, 1)$ . Le pas de temps est toujours  $k = 0.0125$  et le temps final est  $T = 1$ , ce qui correspond à 80 itérations en temps. On calcule la solution  $u$  du schéma boîte ADI pour chacun des cas  $K = 10^{-2}$  et  $K = 10^{-1}$ . Le coefficient de diffusion varie donc entre 0 et 0.01 ou entre 0 et 0.1. Les résultats sont réunis respectivement dans les Tableaux 4.4 et 4.5. On représente la solution calculée pour le maillage le plus fin (Maillage 4) pour les deux cas  $K = 10^{-2}$  et  $K = 10^{-1}$  sur les Figures 4.53 et 4.54, respectivement sur les Figures 4.57 et 4.58. On représente ensuite la différence entre la solution exacte et la solution calculée sur les Figures 4.55 et 4.59. Enfin, on compare la solution exacte et la solution calculée le long de la diagonale  $y = x$ , toujours pour le Maillage 4 (Figures 4.56 et 4.60). On constate que les solutions calculées dans chacun des deux cas sont proches de la solution exacte. Les taux de convergence de l'ordre de 2 pour  $K = 10^{-2}$  et l'ordre de 1 pour  $K = 10^{-1}$  confirment cette constatation. Le taux de convergence du cas  $K = 10^{-1}$  est plus faible ; en effet, pour ce test, la variation de  $\varepsilon$  est plus importante que dans le cas  $K = 10^{-2}$ . Il faudrait donc raffiner d'avantage le maillage pour obtenir de meilleurs résultats.

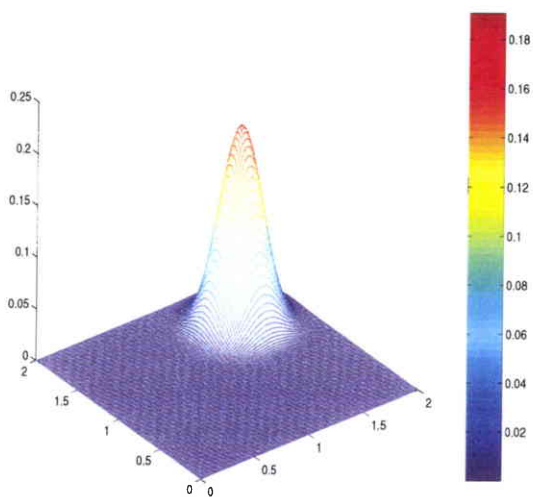


FIG. 4.53 – Test 3 :  $K = 0.01$ , Solution calculée ADI,  $T = 1$ , Maillage 4.

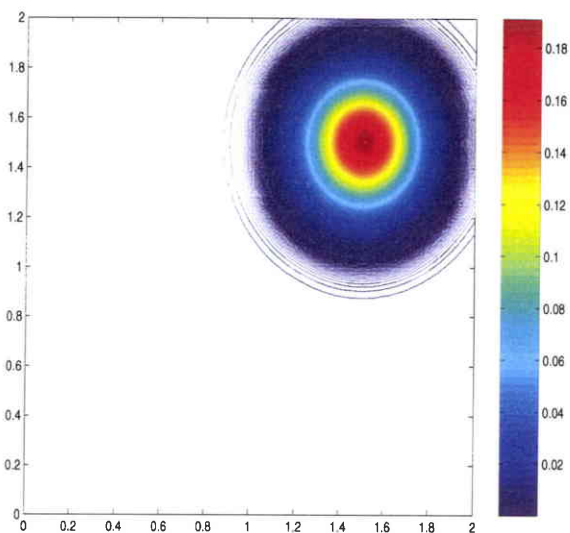


FIG. 4.54 – Test 3 :  $K = 0.01$ , Isolignes de la solution calculée,  $T = 1$ , Maillage 4.

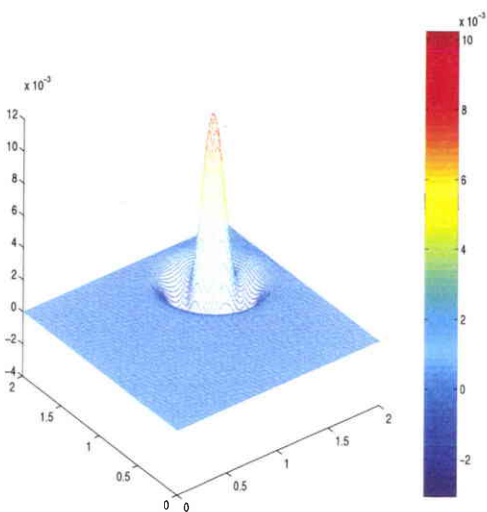


FIG. 4.55 – Test 3 :  $K = 0.01$ , Différence entre la solution exacte  $u$  et la solution calculée ADI,  $T = 1$ , Maillage 4.

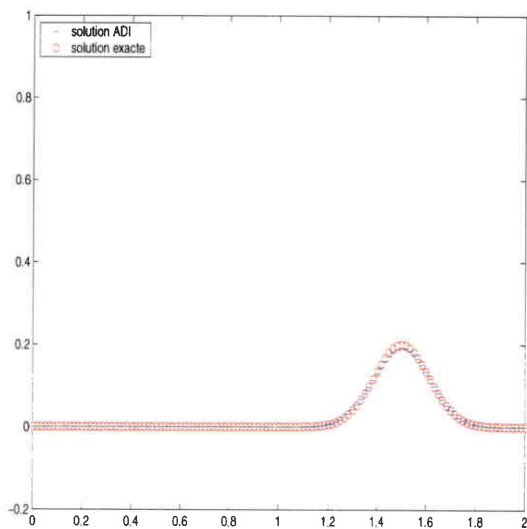


FIG. 4.56 – Test 3 :  $K = 0.01$ , Diagonale de la solution exacte et de la solution calculée ADI,  $T = 1$ , Maillage 4.

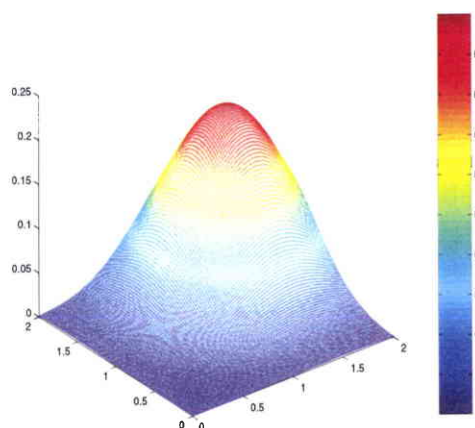


FIG. 4.57 – Test 3 :  $K = 0.1$ , Solution calculée ADI,  $T = 1$ , Maillage 4.

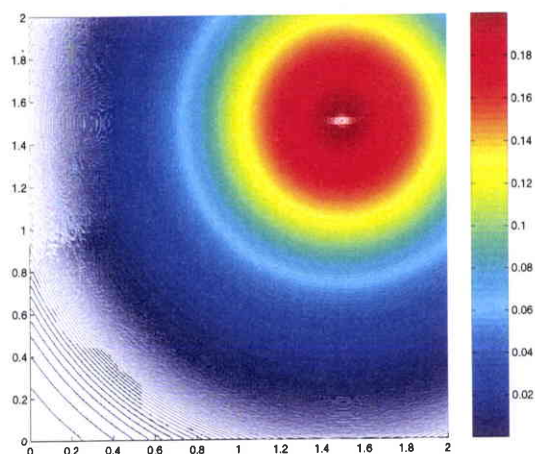


FIG. 4.58 – Test 3 :  $K = 0.1$ , Isolignes de la solution calculée ADI,  $T = 1$ , Maillage 4.

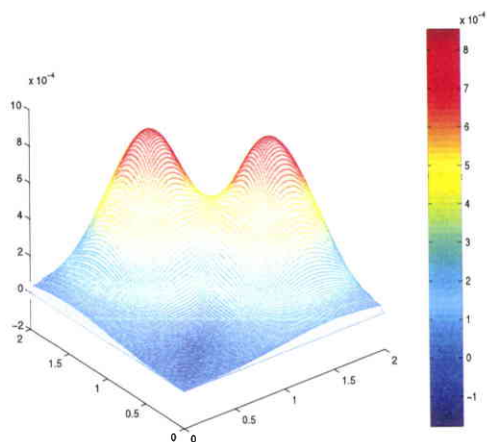


FIG. 4.59 – Test 3 :  $K = 0.1$ , Différence entre la solution exacte  $u$  et la solution calculée ADI,  $T = 1$ , Maillage 4.

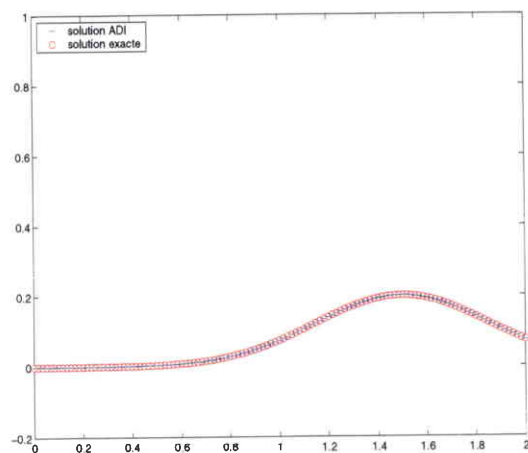


FIG. 4.60 – Test 3 :  $K = 0.1$ , Diagonale de la solution exacte et de la solution calculée ADI,  $T = 1$ , Maillage 4.

Maillage	Maillage 1	Maillage 2	Maillage 3	Maillage 4
h	1/15	1/30	1/45	1/60
Nx	31	61	91	121
Hauteur du pic	0.0969	0.1523	0.1790	0.1907
$\max( u - u_h )$	0.1	0.0492	0.0229	0.0102
Erreur $L^2$ relative	0.3981	0.1630	0.0702	0.0312
Erreur $L^2$ absolue	0.0220	0.0091	0.0039	0.0017
Taux de convergence		1.2883	2.0776	2.8188

TAB. 4.4 – Test 3 :  $K = 0.01$ , Résultats obtenus par le schéma boîte ADI à l'instant final  $T = 1$ .

Maillage	Maillage 1	Maillage 2	Maillage 3	Maillage 4
h	1/15	1/30	1/45	1/60
Nx	31	61	91	121
Hauteur du pic	0.1975	0.1996	0.1998	0.2
$\max( u - u_h )$	0.0043	0.0014	0.0010	$8.5425 \cdot 10^{-4}$
Erreur $L^2$ relative	0.0158	0.0069	0.0051	0.0041
Erreur $L^2$ absolue	0.0026	0.0011	$8.3007 \cdot 10^{-4}$	$6.6552 \cdot 10^{-4}$
Taux de convergence		1.1953	0.7455	0.7587

TAB. 4.5 – Test 3 :  $K = 0.1$ , Résultats obtenus par le schéma boîte ADI à l'instant final  $T = 1$ .

## 4.10 Conclusion

En dimension 1, un  $\beta$ -schéma boîte associé à l'équation de convection-diffusion, construit sur le principe du  $\beta$ -schéma boîte associé à l'équation de la chaleur pourrait éliminer les modes oscillants quand le paramètre  $\vartheta$  prend la valeur  $1/2$ . Il s'écrit de la même façon que le  $\beta$ -schéma associé à l'équation de la chaleur. Numériquement, nous avons pu constater l'efficacité de ce schéma.

Dans le cadre du groupe de travail MoMas, pour le stockage souterrain des déchets nucléaires, on essaie de résoudre le cas test Couplex1 à l'aide des schémas boîte. On résout l'équation de Darcy à l'aide d'un schéma boîte étudié sur des maillages en triangles. La résolution de l'écoulement des nucléides dans le sol est faite par le schéma boîte ADI. Ce travail en cours est réalisé par J-M. Sac Epée qui réécrit en C++, les codes matlab des schémas boîte pour la rapidité de l'exécution.

# Conclusion générale

Dans ce mémoire, nous avons proposé un travail de prospection des schémas boîte dans divers cadres. Ce travail présente une étude de deux types :

1- Design de différents nouveaux schémas boîte pour des problèmes elliptiques sur des maillages en triangle et des maillages en rectangles. L'intérêt majeur réside dans la reconstruction du flux, donnée de façon explicite en fonction de l'inconnue  $u$ .

2- Design de schémas boîte pour l'équation de convection-diffusion. Le problème réside dans la modélisation des formules de décentrement numériques. Il faut élargir la classe des formules de quadrature numérique : trouver des formules de quadrature plus précises, utiliser des méthodes de type limiteurs de pente.

Pour le moment, les formules de décentrement utilisées sont insuffisantes, car peu précises. Le schéma boîte obtenu est d'ordre 1 si les paramètres de décentrement sont non nuls.

Les schémas boîte proposés pour les problèmes elliptiques et les équations de convection-diffusion pourraient permettre de résoudre, dans le cadre du groupe de travail MoMas, le cas test Couplex1 pour le stockage souterrain des déchets nucléaires. Cette étude est actuellement en cours, avec la collaboration de J-M. Sac Epée.

3- Des difficultés subsistent dans les deux cas. Néanmoins, les schémas boîte sont encore d'actualité. Ils sont étudiés par Linda El Alaoui (Thèse au Cermics) pour des problèmes d'estimations *a posteriori*. A noter, que S-H. Chou, S. Tang, D. Y. Kwak, K. Y. Kim, s'intéressent également à ce genre de schémas, [10, 11].

Les perspectives sont à court terme le développement des schémas boîtes pour des équations de convection-diffusion stationnaire en dimension 2, qui fait l'objet d'un travail en cours avec Linda El Alaoui. D'autre part, la résolution du cas test Couplex1 semble en bonne voie de résolution.

Parallèlement, il sera intéressant de développer un schéma boîte plus précis, du type  $\beta$ -schéma, pour éliminer certains phénomènes de type dispersif.

# Liste des figures

1.1	Cellule $K_{j-1/2}^{n-1/2}$ du maillage . . . . .	12
1.2	Schéma de Keller (1.5), $\mu = 1, T = 2.10^{-3}$ . . . . .	17
1.3	Schéma de Keller (1.5), $\mu = 1, T = 2.10^{-3}$ . Zoom sur [0.4, 0.8]. . . . .	17
1.4	Schéma de Keller (1.5), $\mu = 1, T = 2.10^{-2}$ . . . . .	17
1.5	Schéma de Keller (1.5), $\mu = 1, T = 2.10^{-2}$ . Zoom sur [0.4, 0.8]. . . . .	17
1.6	Schéma de Keller (1.5), $\mu = 1/8, T = 2.10^{-3}$ . . . . .	18
1.7	Schéma de Keller (1.5), $\mu = 1/8, T = 2.10^{-3}$ . Zoom sur [0.4, 0.8]. . . . .	18
1.8	Schéma de Keller (1.5), $\mu = 1/8, T = 2.10^{-2}$ . . . . .	18
1.9	Schéma de Keller (1.5), $\mu = 1/8, T = 2.10^{-2}$ . Zoom sur [0.4, 0.8]. . . . .	18
1.10	Solutions exacte et calculée en $T=0.008$ . . . . .	19
1.11	Solutions exacte et calculée en $T=0.8$ . . . . .	19
1.12	Maillage du segment [0, 1]. . . . .	20
1.13	Schéma de boîte (1.37), augmentation de $\vartheta = 0.505$ . $\mu = 1, T = 2.10^{-2}$ . . . . .	27
1.14	Schéma de boîte (1.37), augmentation de $\vartheta = 0.505$ . $\mu = 1/8, T = 2.10^{-2}$ . . . . .	27
1.15	Représentation du facteur d'amplification $g(\theta)$ en fonction de $\theta$ pour $\mu = 1$ , selon les valeurs prises par le paramètre $\vartheta$ . . . . .	28
1.16	$\beta$ -schéma (1.78), $\mu = 1, T = 2.10^{-3}, \beta = -0.5$ . . . . .	36
1.17	$\beta$ -schéma (1.78), $\mu = 1, T = 2.10^{-3}, \beta = -0.5$ . Zoom sur [0.3, 0.8]. . . . .	36
1.18	$\beta$ -schéma (1.78), $\mu = 1, T = 2.10^{-2}, \beta = -0.5$ . . . . .	36
1.19	$\beta$ -schéma (1.78), $\mu = 1, T = 2.10^{-2}, \beta = -0.5$ . Zoom sur [0.3, 0.8]. . . . .	36
1.20	comparaison schéma boîte (1.37) et $\beta$ -schéma boîte (1.78) $\mu = 1, T = 2.10^{-3}, \beta = -0.5$ . Zoom sur [0.3, 0.8]. . . . .	37
1.21	comparaison schéma boîte (1.37) et $\beta$ -schéma boîte (1.78) $\mu = 1, T = 2.10^{-2}, \beta = -0.5$ . Zoom sur [0.3, 0.8]. . . . .	37
1.22	$\beta$ -schéma (1.78), $\mu = 1/8, T = 2.10^{-3}, \beta = -0.5$ . . . . .	37
1.23	$\beta$ -schéma (1.78), $\mu = 1/8, T = 2.10^{-3}, \beta = -0.5$ . Zoom sur [0.3, 0.8]. . . . .	37
1.24	$\beta$ -schéma (1.78), $\mu = 1/8, T = 2.10^{-2}, \beta = -0.5$ . . . . .	38
1.25	$\beta$ -schéma (1.78), $\mu = 1/8, T = 2.10^{-2}, \beta = -0.5$ . Zoom sur [0.3, 0.8]. . . . .	38
1.26	comparaison schéma boîte (1.37) et $\beta$ -schéma boîte (1.78), $\mu = 1/8, T = 2.10^{-3}, \beta = -0.5$ . Zoom sur [0.3, 0.8]. . . . .	38
1.27	comparaison schéma boîte (1.37) et $\beta$ -schéma boîte (1.78) $\mu = 1/8, T = 2.10^{-2}, \beta = -0.5$ . Zoom sur [0.3, 0.8]. . . . .	38

2.1	Données géométriques d'un triangle $K$ . . . . .	43
2.2	Vecteur normal à l'arête $a$ . . . . .	44
2.3	Maillage du domaine $\Omega$ . . . . .	45
2.4	Degrés de liberté de $P_{nc}^1$ . . . . .	48
2.5	Degrés de liberté de $RT^0(K)$ . . . . .	50
2.6	Degrés de liberté de l'espace $P_c^2$ . . . . .	60
2.7	Points de Gauss d'un triangle $K$ . . . . .	61
2.8	Bulle quadratique non-conforme $b_K$ sur le triangle de référence $\hat{K}$ . . . . .	63
2.9	Représentation des degrés de liberté de l'espace $BDM_1$ . . . . .	67
2.10	Représentation des degrés de liberté de l'espace $RT^1$ . . . . .	68
2.11	Maillage triangulaire de type 1 . . . . .	89
2.12	Maillage triangulaire de type 2 . . . . .	89
2.13	Test 1 : Solution $u_h \in P_{nc,0}^2$ calculée par le schéma boîte $P_{nc,0}^2 \times (RT^1 + \Phi)$ . . . . .	90
2.14	Test 1 : Isolignes de la solution $u_h \in P_{nc,0}^2$ calculée par le schéma $P_{nc,0}^2 \times (RT^1 + \Phi)$ . . . . .	90
2.15	Test 1 : Flux $p_h \in (RT^1 + \Phi)$ calculé par le schéma $P_{nc,0}^2 \times (RT^1 + \Phi)$ . . . . .	90
2.16	Test 2 : Solution $u_h \in P_{nc,0}^2$ calculée par le schéma $P_{nc,0}^2 \times (RT^1 + \Phi)$ . . . . .	92
2.17	Test 2 : Isolignes de la solution $u_h \in P_{nc,0}^2$ calculée par le schéma $P_{nc,0}^2 \times (RT^1 + \Phi)$ . . . . .	92
2.18	Test 2 : Flux $p_h \in (RT^1 + \Phi)$ calculé par le schéma $P_{nc,0}^2 \times (RT^1 + \Phi)$ . . . . .	92
2.19	Test 3 : Solution $u_h \in P_{nc,0}^2$ calculée par le schéma $P_{nc,0}^2 \times (RT^1 + \Phi)$ . . . . .	95
2.20	Test 3 : Isolignes de la solution $u_h \in P_{nc,0}^2$ calculée par le schéma $P_{nc,0}^2 \times (RT^1 + \Phi)$ . . . . .	95
2.21	Flux $p_h \in (RT^1 + \Phi)$ calculé par le schéma $P_{nc,0}^2 \times (RT^1 + \Phi)$ . . . . .	95
2.22	Différence entre la solution exacte $u$ et la solution calculée $u_h \in P_{nc,0}^2$ . . . . .	95
2.23	Test 4 : Solution $u_h \in P_{nc,0}^2$ calculée par le schéma $P_{nc,0}^2 \times (RT^1 + \Phi)$ . . . . .	97
2.24	Test 4 : Isolignes de la solution $u_h \in P_{nc,0}^2$ calculée par le schéma $P_{nc,0}^2 \times (RT^1 + \Phi)$ . . . . .	97
2.25	Test 4 : Flux $p_h \in (RT^1 + \Phi)$ calculé par le schéma $P_{nc,0}^2 \times (RT^1 + \Phi)$ . . . . .	97
2.26	Test 4 : Différence entre la solution exacte $u$ et la solution calculée $u_h \in P_{nc,0}^2$ par le schéma $P_{nc,0}^2 \times (RT^1 + \Phi)$ . . . . .	97
3.1	Application affine $\varphi_K : \hat{K} \rightarrow K$ . . . . .	101
3.2	Géométrie du rectangle . . . . .	101
3.3	Notations pour un rectangle $K$ du domaine $\Omega$ . . . . .	102
3.4	Exemple de maillage du domaine $\Omega$ . . . . .	103
3.5	Base de vecteurs $(\nu_a, \tau_a)$ . . . . .	103
3.6	Rectangle $K$ . . . . .	106
3.7	Bulle non-conforme de $Q^1(\hat{K})$ . . . . .	107
3.8	Valeurs de $\text{sgn}(K)$ . . . . .	108
3.9	Degrés de liberté de l'espace $Q_{nc}^1$ . . . . .	110
3.10	Degrés de liberté de l'espace $RT^0$ . . . . .	111

3.11	Notations sur le rectangle $K$ . . . . .	125
3.12	Chemin $C$ . . . . .	134
3.13	Arête verticale . . . . .	134
3.14	Arête horizontale . . . . .	134
3.15	Chemin $C'$ parcourant le maillage $\mathcal{T}_h$ du domaine $\Omega$ . . . . .	137
3.16	Chemin $C$ parcourant le maillage $\mathcal{T}_h$ du domaine $\Omega$ . . . . .	138
3.17	Les degrés de liberté de $Q_{\text{rot}}^1$ dans le rectangle $K$ . . . . .	142
4.1	Maillage du segment $[0, 1]$ . . . . .	155
4.2	Test 1 : Aucun décentrement : $D_p = 0$ . . . . .	173
4.3	Test 1 : Décentrement $D_p = 0.28$ donné par (4.27) . . . . .	173
4.4	Test 2 : Aucun décentrement : $D_u = 0$ . On observe des oscillations dispersives. . . . .	173
4.5	Test 2 : Décentrement $D_u = 0.18$ donné par (4.81). Le schéma est d'ordre 1. On observe la diffusion artificielle. . . . .	173
4.6	Cas 1.1 : $\lambda = 1, Pe = 25, T = 1, D_u = 0.18, \vartheta = 0.5$ . . . . .	176
4.7	Cas 1.2.1 : $\lambda = 1, Pe = 0.5, T = 1, D_u = 0, \vartheta = 0.5$ . . . . .	176
4.8	Cas 1.2.1 : $\lambda = 1, Pe = 0.5, T = 1$ , augmentation de $\vartheta = 0.505, D_u = 0$ . . . . .	176
4.9	Cas 1.2.1 : $\lambda = 1, Pe = 0.5, T = 1$ , augmentation de $D_u = 0.1, \vartheta = 0.5$ , . . . . .	177
4.10	Cas 1.2.2 : $\lambda = 1, Pe = 5/3, T = 1, D_u = 0, \vartheta = 0.5$ . . . . .	177
4.11	Cas 1.2.2 : $\lambda = 1, Pe = 5/3, T = 1$ , augmentation de $\vartheta = 0.505, D_u = 0$ . . . . .	177
4.12	Cas 1.2.2 : $\lambda = 1, Pe = 5/3, T = 1$ , augmentation de $D_u = 0.1, \vartheta = 0.5$ . . . . .	178
4.13	Cas 1.2.3 : $\lambda = 1, Pe = 3, T = 1, \vartheta = 0.5, D_u = 0.033, D_p = 0.333$ . . . . .	178
4.14	Cas 1.3 : $\lambda = 1, Pe = 10^{-2}, T = 1, D_u = 0, \vartheta = 0.5$ . . . . .	179
4.15	Cas 1.3 : $\lambda = 1, Pe = 10^{-2}, T = 1$ , augmentation de $\vartheta = 0.505, D_u = 0$ . . . . .	179
4.16	Cas 1.3 : $\lambda = 1, Pe = 10^{-2}, T = 1$ , augmentation de $D_u = 0.1, \vartheta = 0.5$ . . . . .	179
4.17	Cas 2.1 : $\lambda = h, Pe = 25, T = 0.1$ . . . . .	180
4.18	Cas 2.1 : $\lambda = h, Pe = 25, T = 1$ . . . . .	180
4.19	Cas 2.2.1 : $\lambda = h, Pe = 0.5, T = 1, D_u = 0, \vartheta = 0.5, \varepsilon = h = 0.02, D_p = 0$ . . . . .	181
4.20	Cas 2.2.2 : $\lambda = h, Pe = 5/3, T = 1, D_u = 0, \vartheta = 0.5, \varepsilon = 6.10^{-3}, D_p = 0.2$ . . . . .	181
4.21	Cas 2.2.3 : $\lambda = h, Pe = 3, T = 1, D_u = 0.0033, \vartheta = 0.5, \varepsilon = h/6, D_p = 0.3333$ . . . . .	181
4.22	Cas 2.3 : $\lambda = h, Pe = 10^{-2}, T = 0.1, D_u = 0, \vartheta = 0.5$ . . . . .	182
4.23	Cas 2.3 : $\lambda = h, Pe = 10^{-2}, T = 0.1$ , augmentation de $\vartheta = 0.505, D_u = 0$ . . . . .	182
4.24	Cas 2.3 : $\lambda = h, Pe = 10^{-2}, T = 0.1$ , augmentation de $D_u = 0.1, \vartheta = 0.5$ . . . . .	182
4.25	Cas 2.3 : $\lambda = h, Pe = 10^{-2}, T = 1, D_u = 0, \vartheta = 0.5$ . . . . .	182
4.26	100 points, $T_1$ . . . . .	185
4.27	100 points, $T_2$ . . . . .	185
4.28	100 points, $T_3$ . . . . .	185
4.29	100 points, $T_4$ . . . . .	185
4.30	100 points, $T_5$ . . . . .	185
4.31	100 points, $T_6$ . . . . .	185
4.32	Représentation de $\lambda$ pour ce test . . . . .	186
4.33	Représentation de $\mu$ pour ce test . . . . .	186

4.34	Maillage du domaine $\Omega$ . . . . .	190
4.35	Test 1 : Solution initiale. . . . .	200
4.36	Test 1 : Isolignes de la solution initiale. . . . .	200
4.37	Test 1 : Solution calculée, $T = 1.25$ , Maillage 1. . . . .	200
4.38	Test 1 : Isolignes de la solution calculée, $T = 1.25$ , Maillage 1. . . . .	200
4.39	Test 1 : Coupe selon la diagonale $y = x$ de la solution exacte et de la solution calculée ADI, $T = 1.25$ , Maillage 1. . . . .	200
4.40	Test 1 : Isolignes de la différence entre la solution exacte et la solution ADI, $T = 1.25$ , Maillage 1. . . . .	200
4.41	Test 1 : Solution calculée ADI, $T = 1.25$ , Maillage 3. . . . .	201
4.42	Test 1 : Isolignes de la solution calculée ADI, $T = 1.25$ , Maillage 3. . . . .	201
4.43	Test 1 : Coupe selon la diagonale $y = x$ de la solution exacte et de la solution calculée ADI, $T = 1.25$ , Maillage 3. . . . .	201
4.44	Test 1 : Isolignes de la différence entre la solution exacte et la solution ADI, $T = 1.25$ , Maillage 3. . . . .	201
4.45	Test 2 : Isolignes de la solution calculée ADI, $T = 4800$ , Maillage 2. . . . .	203
4.46	Test 2 : Différence entre la solution exacte et la solution calculée ADI, $T = 4800$ , Maillage 2 . . . . .	203
4.47	Test 2 : Coupe selon $x = 9600$ des solutions exacte et calculée ADI, $T = 4800$ , Maillage 2 . . . . .	203
4.48	Test 2 : Coupe selon $y = 0$ des solutions exacte et calculée ADI, $T = 4800$ , Maillage 2 . . . . .	203
4.49	Test 2 : Isolignes de la solution calculée ADI, $T = 4800$ , Maillage 1. . . . .	204
4.50	Test 2 : Différence entre la solution exacte $u$ et la solution calculée ADI, $T = 4800$ , Maillage 1. . . . .	204
4.51	Test 2 : Coupe selon $x = 9600$ des solutions exacte et calculée ADI, $T = 4800$ , Maillage 1. . . . .	204
4.52	Test 2 : Coupe selon $y = 0$ des solutions exacte et calculée ADI, $T = 4800$ , Maillage 1. . . . .	204
4.53	Test 3 : $K = 0.01$ , Solution calculée ADI, $T = 1$ , Maillage 4. . . . .	206
4.54	Test 3 : $K = 0.01$ , Isolignes de la solution calculée, $T = 1$ , Maillage 4. . . . .	206
4.55	Test 3 : $K = 0.01$ , Différence entre la solution exacte $u$ et la solution calculée ADI, $T = 1$ , Maillage 4. . . . .	206
4.56	Test 3 : $K = 0.01$ , Diagonale de la solution exacte et de la solution calculée ADI, $T = 1$ , Maillage 4. . . . .	206
4.57	Test 3 : $K = 0.1$ , Solution calculée ADI, $T = 1$ , Maillage 4. . . . .	207
4.58	Test 3 : $K = 0.1$ , Isolignes de la solution calculée ADI, $T = 1$ , Maillage 4. . . . .	207
4.59	Test 3 : $K = 0.1$ , Différence entre la solution exacte $u$ et la solution calculée ADI, $T = 1$ , Maillage 4. . . . .	207
4.60	Test 3 : $K = 0.1$ , Diagonale de la solution exacte et de la solution calculée ADI, $T = 1$ , Maillage 4. . . . .	207

# Liste des tableaux

2.1	Test 1 : Résultats du schéma boîte $(u_h, p_h) \in P_{nc,0}^2 \times (RT^1 + \Phi)$ . . . . .	91
2.2	Test 1 : Résultats du schéma boîte $(u_h, p_h) \in P_{nc,0}^2 \times (BDM^1 + \Phi)$ . . . . .	91
2.3	Test 1 : Résultats du schéma boîte $(u_h, p_h) \in P_{nc,0}^1 \times RT^0$ . . . . .	91
2.4	Test 2 : Résultats du schéma boîte $(u_h, p_h) \in P_{nc,0}^2 \times (RT^1 + \Phi)$ . . . . .	93
2.5	Test 2 : Résultats du schéma boîte $(u_h, p_h) \in P_{nc,0}^2 \times (BDM_1 + \Phi)$ . . . . .	93
2.6	Test 2 : Résultats du schéma boîte $(u_h, p_h) \in P_{nc,0}^1 \times RT^0$ . . . . .	93
2.7	Test 3 : Résultats du schéma boîte $(u_h, p_h) \in P_{nc,0}^2 \times (RT^1 + \Phi)$ . . . . .	94
2.8	Test 3 : Résultats du schéma boîte $(u_h, p_h) \in P_{nc,0}^2 \times (BDM_1 + \Phi)$ . . . . .	94
2.9	Test 3 : Résultats du schéma boîte $(u_h, p_h) \in P_{nc,0}^1 \times RT^0$ . . . . .	94
2.10	Test 4 : Résultats du schéma boîte $(u_h, p_h) \in P_{nc,0}^2 \times (RT^1 + \Phi)$ . . . . .	96
2.11	Test 4 : Résultats du schéma boîte $(u_h, p_h) \in P_{nc,0}^2 \times (BDM^1 + \Phi)$ . . . . .	98
2.12	Test 4 : Résultats du schéma boîte $(u_h, p_h) \in P_{nc,0}^1 \times RT^0$ . . . . .	98
4.1	Tableau récapitulatif des différents couplages possibles entre le nombre de Courant et le nombre de Peclet. . . . .	174
4.2	Comparaison entre le schéma boîte-ADI et la méthode volumes finis de Turner-Truscott . . . . .	199
4.3	Test 2 : Résultats obtenus par le schéma boîte ADI à l'instant final $T = 4800$ .	202
4.4	Test 3 : $K = 0.01$ , Résultats obtenus par le schéma boîte ADI à l'instant final $T = 1$ . . . . .	208
4.5	Test 3 : $K = 0.1$ , Résultats obtenus par le schéma boîte ADI à l'instant final $T = 1$ . . . . .	208

# Bibliographie

- [1] A. BALAGUER, C. CONDE, J.A. LÒPEZ, V. MARTÍNEZ, A Finite Volume Method with a Modified ENO Scheme using a Hermite Interpolation to solve Advection-Diffusion Equations, *Int. J. Numer. Meth. Engng*;50 :2339-2371, 2001.
- [2] I. BABUŠKA, Error bounds for finite elements method, *Numer.Math.*,
- [3] F. BREZZI, On the existence, uniqueness and approximation of saddle point problems, arising from Lagrangian multipliers, *R.A.I.R.O.*, 16, 322-333. 8, R-2, 129-151, 1974.
- [4] D. BRAESS, *Finite Elements*, Cambridge Univ. Press, 1997.
- [5] F. BREZZI, J. DOUGLAS, L.D. MARINI, Two families of Mixed Finite Element for second order elliptic problems, *Numer. Math.*, 47, 217-235, 1985 .
- [6] S. BRENNER ET S. SCOTT, The mathematical Theory of the Finite Element Method, *Springer Verlag, Berlin/Heidelberg*, 1994.
- [7] C. BERNARDI, C. CANUTO, Y. MADAY, Generalized inf-sup conditions for Chebyshev spectral approximation of the Stokes problem, *SIAM J. Numer. Anal.*, 25,6, 1237-1271, 1988.
- [8] J.J. CHATTOT, Box-schemes for First Order Partial Differential Equations, *Advances in Comp. Fluid Dynamics*, Gordon Breach Publ., 1995, 307-331.
- [9] J.J. CHATTOT, S. MALET, A "box-scheme" for the Euler equations, *Lecture Notes in Math.*, 1270, Springer-Verlag, 1987, 82-99.
- [10] S-H. CHOU , S. TANG, Comparing two approaches of analyzing mixed finite volume methods, *J. KSIAM* ,5 ,1 55-78, 2001.
- [11] S-H. CHOU , D. Y. KWAK, K. Y. KIM, Mixed finite volume methods on nonstaggered quadrilateral grids for elliptic problems, *Mathematics of Computation*, 2001.
- [12] B. COURBET, Schémas à deux points pour la simulation numérique des écoulements, *La Recherche Aéronautique*, n°4,, 21-46, 1990.
- [13] B. COURBET, Etude d'une famille de schémas boîte à deux points et application à la dynamique des gaz monodimensionnelle, *La Recherche Aéronautique*, n°5,, pp 31-44, 1991.
- [14] B. COURBET, Schémas boîte en réseau triangulaire, *Rapport Technique ONERA n°18/3446 EN*, 1992.
- [15] B. COURBET, J.P. CROISILLE, Finite Volume Box Schemes on triangular meshes, *Math. Model. and Numer.*, 32,5, 631-649, 1998.

- [16] J-P. CROISILLE, Finite Volume Box Schemes and Mixed Methods, *Math. Model. and Numer.*, 34, 5, 1087-1106, 2000.
- [17] J-P. CROISILLE, Keller's box-scheme for the one-dimensional stationary convection-diffusion equation, *COMPUTING*, 68, 37-63, 2002.
- [18] J-P. CROISILLE, Un schéma boîte pour l'équation de convection-diffusion stationnaire 1d, *Préprint de l'Université de Metz*, 2003.
- [19] J-P. CROISILLE, I. GREFF, Some box-schemes for elliptic problems, *Numerical Methods for Partial Differential Equations*, 17, 4, 355-373, 2001.
- [20] J-P. CROISILLE, I. GREFF, A box scheme for convection-diffusion equations, Proc of the 3. ISFVMCA, Porquerolles, Hermes, 2002.
- [21] J-P. CROISILLE, I. GREFF, A box scheme for convection-diffusion equations with sharp contrast in the diffusion coefficients, *Preprint de l'Université de Metz*.
- [22] M. CROUZEIX, P-A. RAVIART, Conforming and nonconforming finite element methods for solving the stationary Stokes equations I, *R.A.I.R.O.* 7, R-3, 33-76, 1973.
- [23] M. CROUZEIX, P-A. RAVIART Introduction à l'analyse numérique des équations aux dérivées partielles.
- [24] J. DOUGLAS, J.E. GUNN, A general formulation of alternating direction methods; Part I. Parabolic and hyperbolic problems, *Num. Math*, 6, 1964, 428-453.
- [25] J. DOUGLAS, H.H. RACHFORD, On the numerical solution of heat conduction problems in two and three space variables. *TRANS. OF THE AMER. MATH. SOC*, 82, 421-439, 1956.
- [26] DOUGLAS N. ARNOLD, DANIELE BOFFI, RICHARD S. FALK, Approximation by quadrilateral finite elements, *Mathematics of computation*, 71, 239, 909-922, 2002.
- [27] W. HACKBUSCH, On first and second order box schemes, *Computing*, 41,, 277-296, 1989.
- [28] M. FORTIN, M. SOULIE, A non-conforming piecewise quadratic finite element on triangles, *Int. J. Num. meth. Eng.*, 19, 505-520, 1983.
- [29] M. FORTIN, M. FAHROUL, A non-conforming mixed finite element for second order elliptic problems, *Num. Meth. PDE*, 1997.
- [30] V. GIRAULT, COURS DE D.E.A., Université Paris 6, unpublished.
- [31] H.B. KELLER, A new difference scheme for parabolic problems, Numerical solutions of partial differential equations, II, B. Hubbard ed., Academic Press, New-York, 327-350, 1971.
- [32] B. M. IRONS, A. RAZZAQUE, Experience with the patch test for convergence of finite element, *The Mathematical Foundations of the Finite Element Method with Applications to Partial Differential Equations* (A. K. Aziz, Ed.), 557-588, academic Press, New-York, 1972.

- [33] R. CARPENTIER, A. DE LA BOURDONNAYE, B. LARROUTUROU, On the derivation of the modified equation for the analysis of linear numerical methods, *Math. Model. and Numer.*, 31, 4, 459-470, 1997.
- [34] J.F. MAITRE, About a "natural" mixed finite element method ;relation with classical methods and applications. Talk at the ENUMATH 99, July 99, Jyveskyla, Finland.
- [35] R.A. NICOLAIDES, Existence, uniqueness and approximation for generalized saddle point problems, *SIAM J. Numer. Anal.*, 19, 2, 349-357, 1982.
- [36] B.J. NOYE, H.H. TAN, Finite difference methods for solving the 2D convection-diffusion equation, *Int. Jour. Numer. Meth. Flu.*, (9), 75-98, 1989.
- [37] D.W. PEACEMAN, H.H RACHFORD, The numerical solution of parabolic and elliptic differential equations. *Journal of the Society for Industrial and Applied Mathematics*, 3, 28-41, 1955.
- [38] R. RANNACHER, S. TUREK, Simple Nonconforming Quadrilateral Stokes Element, *Numer. Meth. Partial Diff. Equations.*, 8, 97-111, 1992.
- [39] P-A. RAVIART, J-M. THOMAS, A mixed finite element method for 2nd order elliptic problems, *Lecture Notes in Math.*, 606, Springer-Verlag, 292-315, 1977.
- [40] P-A. RAVIART, J-M. THOMAS, Introduction à l'Analyse numérique des équations aux dérivées partielles, *Masson*, 1992.
- [41] A. RIGAL, High order difference methods for unsteady 1D diffusion-convection problems, *J. Comp. Phys.*, 114 , 59-76, 1994.
- [42] J. STRIKWERDA, *Finite Difference Schemes and Partial Differential Equations*, Wadsworth & Brooks/Cole Pub., 1989.
- [43] G. STRANG, G. FIX, An analysis of the Finite Element Method, *Prentice Hall, New-York*, 1973.
- [44] M. STYNES, L. TOBISKA, The streamline-diffusion method for nonconforming  $Q_{rot}^1$  elements on rectangular tensor-product meshes, *IMA Journal of Numerical Analysis*, 21, 123-142, 2001.
- [45] S.L. TRUSCOTT, I.W. TURNER, An investigation of Spatial and Temporal Weighting Schemes for use in Unstructured Mesh Control Volume Finite Element Methods, 10th Comp. Tech. App. Conf., Brisbane, July 2001, to appear in the *ANZIAM Jour.*
- [46] S.F. WORNOM, Application of compact difference schemes to the conservative Euler equations for one-dimensional flows, *NASA Tech. Mem. 83262*, 1982.
- [47] S.F. WORNOM, M.M. HAFEZ, Implicit conservative schemes for the Euler equations, *AIAA J.*, 24,2,, 215-233, 1986.

Dans cette thèse, nous étudions les **schémas boîte**. Ils ont été introduits par H.B. Keller en 1971. Dans un premier temps, on s'est intéressé à des problèmes elliptiques de type Poisson. Plusieurs schémas boîte pour des domaines de  $\mathbb{R}^2$  maillés par des triangles ou des rectangles ont été introduits. Dans ce cas, la discrétisation s'effectue sur la forme mixte du problème en prenant la moyenne des deux équations (conservation et flux) sur les cellules du maillage. La méthode peut être qualifiée de "méthode volumes finis mixte de type Petrov-Galerkin ". Une des difficultés du design de cette famille de schémas réside dans le choix des différents espaces de fonctions (approximation et test) qui doivent satisfaire des conditions de compatibilité de type Babūška-Brezzi. En revanche, cette méthode de discrétisation ne nécessite qu'un seul maillage (le maillage du domaine). De plus, on montre dans la plupart des cas que le schéma obtenu est équivalent à un problème découplé : la résolution d'un problème variationnel pour l'inconnue principale et une formule locale pour le gradient (le flux). Des résultats de stabilité et les calculs d'erreurs reposant sur la théorie des éléments finis ont été établis. Une étude numérique valide ces résultats pour quelques cas tests. Dans le cadre du Groupement de Recherche MoMaS pour le stockage des déchets nucléaires dans la Meuse, j'ai ensuite étudié des problèmes de convection-diffusion instationnaires. Un schéma boîte permettant d'approcher ces équations dans le cas monodimensionnel a été introduit. Des coefficients de décentrement propres à chaque maille permettent de contrôler le schéma (précision, stabilité). Afin de généraliser rapidement ce schéma au cas bidimensionnel, je me suis concentrée sur une extension du schéma boîte monodimensionnel par la méthode ADI (Alternating Direction Implicit).

The main object of this thesis is the theoretical and numerical analysis of **box schemes**. This class of schemes, has been introduced by H.B. Keller in 1971 for parabolic problems. In the case of elliptic problems, the basic principle is to average the two continuous equations (conservation and flux) given by the mixed form of the problem, onto the boxes of the mesh. Box schemes belong to the category of so-called mixed Petrov-Galerkin finite volume methods. The selection of the different spaces functions (trial and test) is difficult, because they have to satisfy the compatibility Babūška-Brezzi condition. However, contrary to other schemes, the method requires an unique mesh. In most of the cases, the scheme is equivalent to a variational formulation in the principal unknow ( $u$ ) and a local reconstruction of the flux ( $\nabla u$ ). Firstly, I studied the bidimensional mixed form of the Poisson problem with a box scheme on triangular or quadrangular meshes. Stability results and error estimates are given using the finite element theory. A numerical study on several test cases (Matlab code) completes our theoretical results. As part of the research group MoMaS for deep ground repositories of radioactive wastes, the potential interest of box schemes for unstationary convection-diffusion problems has been tested. A box scheme has been designed for the 1D equation. Two kinds of upwinding are introduced, each one being designed to cure the two classical oscillations sources present in the approximation of convective-diffusion equations. The generalization to the bidimensional case is perfomed using an ADI-like method (Alternating Direction Implicit).